



ISBN 978-606-8636-59-7

Copyright © Editura Academiei Oamenilor de Știință din România,

Dr. ing. Mircea Degeratu

- profesor universitar la Departamentul de Hidraulică și Protecția Mediului din Universitatea Tehnică de Construcții București;
- profesor invitat la Universitatea din București, la Universitatea Paris 12 – Val de Marne și la Universitatea Paris 7 – Denis Diderot;
- membru titular al Academiei Oamenilor de Știință din România;
- președintele grupului de lucru Modelarea Proceselor Hiperbare din cadrul comisiei Tehnologii și Instalații Hiperbare din Academia Oamenilor de Știință din România;
- consultant oficial al Centrului de Scafandri Constanța din cadrul Forțelor Navale Române în probleme de Mecanica Fluidelor aplicată tehnologiilor hiperbare.

Dr. ing. Aron Petru

- doctor în Hidraulică hiperbară la Departamentul de Hidraulică și Protecția Mediului din Universitatea Tehnică de Construcții București;
- căpitan-comandor la Centrul de Scafandri Constanța din cadrul Forțelor Navale Române (până în 1993);
- șef al Laboratorului Hiperbar și al Laboratorului Pătrunderea Omului sub Apă (până în 1993);
- director al firmei de intervenții submarine S.C. TETHYS-PRO S.R.L. din Constanța;
- Diving Manager la Saturation Diving Team din cadrul Grupului Servicii Petroliere (GSP) Constanța.

Sergiu Ioniță

- scafandru profesionist, brevetat în S.U.A. la școala Professional Diving School of New York;
- specializat în scufundarea de mare adâncime la școala Commercial Diving Institut of New York;
- angajat al unor firme de intervenții submarine de prestigiu din S.U.A. dintre care pot fi enumerate Oceaneering Int., American Oilfield Divers Inc., Martech Int. și Brundette Diving, specializate în intervenții submarine la instalațiile petroliere offshore din Golful Mexic.

Mircea DEGERATU, Aron PETRU, Sergiu IONIȚĂ

ARON PETRU MIRCEA DEGERATU SERGIU IONIȚĂ

CALCULUL APARATELOR SPECIALE DE RESPIRAT SUB APĂ



Editura Academiei Oamenilor de Știință din România

MIRCEA DEGERATU

Laureat al Premiului „Hermann Oberth” al
Academiei Oamenilor de Știință din România

ARON PETRU

SERGIU IONIȚĂ

CALCULUL APARATELOR SPECIALE DE RESPIRAT SUB APĂ



Editura Academiei Oamenilor de Știință din România
București, 2019

Referent științific: Comandor, CS III, drd. ing. Mihai DIACONU
Centrul de Scafandri Constanța
Forțele Navale Române

Descrierea CIP a Bibliotecii Naționale a României

DEGERATU, MIRCEA

Calculul aparatelor speciale de respirat sub apă / Mircea Degeratu...,

Aron Petru, Sergiu Ioniță. - București : Editura Academiei Oamenilor de
Știință din România, 2019

Conține bibliografie

ISBN 978-606-8636-59-7

I. Petru, Aron

II. Ioniță, Sergiu

62

Coperta 1: Scafandri de incursiune ai Centrului de Scafandri Constanța din cadrul
Forțelor Navale Române, echipați cu aparate de respirat sub apă cu oxigen, în circuit
închis

Copyright ©Editura Academiei Oamenilor de Știință din România, 2019

*În memoria **Viceamiralului ing. Ilie Ștefan**
fost Comandant al Centrului de Scafandri Constanța
din cadrul Forțelor Navale Române*

Mircea DEGERATU

Aron PETRU

Sergiu IONIȚĂ

CALCULUL APARATELOR SPECIALE DE RESPIRAT SUB APĂ

CUPRINS

PREFAȚĂ	9
1. GAZE UTILIZATE LA APARATELE SPECIALE DE RESPIRAT SUB APĂ	11
1.1. Date generale privind gazele utilizate în scufundarea cu aparate special	11
1.2. Caracteristicile gazelor utilizate în scufundarea cu aparate special	13
1.2.1. Oxigenul și efectele acestuia	13
1.2.1.1. Caracteristicile oxigenului	13
1.2.1.2. Efectele oxigenului asupra scafandrilor	15
1.2.2. Azotul și efectele acestuia	21
1.2.2.1. Caracteristicile azotului	21
1.2.2.2. Efectele azotului asupra scafandrilor	23
1.2.3. Heliul și efectele acestuia	24
1.2.3.1. Caracteristicile heliului	24
1.2.3.2. Efectele heliului asupra scafandrilor	25
2. AMESTECURI DE GAZE UTILIZATE LA APARATELE SPECIALE DE RESPIRAT SUB APĂ	27
2.1. Amestecuri respiratorii binare și ternare	27
2.2. Fabricarea amestecurilor respiratorii	28
2.2.1. Fabricarea amestecurilor respiratorii binare	28
2.2.1.1. Fabricarea unui amestec binar NITROX pornind de la gaze pure: oxigen și azot	30
2.2.1.2. Fabricarea unui amestec NITROX din oxigen și aer	31
2.2.1.3. Fabricarea unui amestec HELIOX din heliu și oxigen	32
2.2.1.4. Fabricarea unui amestec HELIOX din alte amestecuri HELIOX și gaze pure	32
2.2.2. Fabricarea amestecurilor respiratorii ternare	33
2.3. Corectarea amestecurilor de gaze	33
2.3.1. Corectarea unui amestec HELIOX prea sărac în oxigen	34
2.3.2. Corectarea unui amestec HELIOX prea bogat în oxigen	34
2.3.3. Corectarea unui amestec NITROX prea sărac în oxigen	35
2.3.4. Corectarea unui amestec NITROX prea bogat în oxigen	36
2.4. Procedee și instalații pentru prepararea amestecurilor respiratorii	37
2.4.1. Procedeu și instalație de preparare a amestecului respirator NITROX prin injecție succesivă de oxigen și aer	37

2.4.2. Procedeu și instalație de preparare a amestecului respirator NITROX prin injecție succesivă în două etape	38
2.4.3. Procedeu și instalație de preparare a amestecului respirator NITROX prin separarea azotului cu ajutorul membranelor	42
2.4.4. Procedeu și instalație de preparare a amestecului respirator NITROX prin omogenizarea continuă a gazelor componente	43
2.4.5. Procedeu și instalație de preparare a amestecului respirator TRIMIX prin omogenizarea continuă a gazelor componente	45
2.4.6. Procedeu și instalație de preparare a amestecului respirator în flux continuu prin injecția gazelor componente la debit masic constant	46
2.5. Omogenizarea amestecurilor de gaze	48
2.6. Înlocuirea amestecurilor respiratorii	49

3. APARATE DE RESPIRAT SUB APĂ CU CIRCUIT DESCHIS ȘI ÎNCHIS	51
3.1. Aparate de respirat sub apă cu circuit deschis. Generalități	51
3.2. Tipuri de aparate de respirat sub apă cu circuit deschis	51
3.2.1. Aparate de respirat sub apă cu circuit deschis, cu debit la cerere, autonome	51
3.2.1.1. Aparatul cu circuit deschis, autonom, cu detentor COMEX SUPER-PHYSALIE	52
3.2.1.2. Aparatul cu circuit deschis, autonom, cu detentor SHARK	54
3.2.1.3. Aparatul cu circuit deschis, autonom, MODULAR 600	54
3.2.1.4. Aparatul cu circuit deschis, autonom, PA 38	55
3.2.2. Aparate de respirat sub apă cu circuit deschis, cu debit la cerere, cu alimentare de la suprafață	56
3.2.2.1. Aparatul cu circuit deschis, cu alimentare de la suprafață, PL 70 ...	57
3.2.2.2. Aparatul cu circuit deschis, cu alimentare de la suprafață K21 MOD 1	59
3.2.2.3. Aparatul cu circuit deschis, cu alimentare de la suprafață, ISAS	60
3.3. Aparate de respirat sub apă cu circuit închis. Generalități	62
3.4. Tipuri de aparate de respirat sub apă cu circuit închis	62
3.4.1. Aparate de respirat sub apă cu circuit închis, cu oxigen	63
3.4.1.1. Aparatul cu circuit închis, cu oxigen, LAR VI	63
3.4.1.2. Aparatul cu circuit închis, cu oxigen, FROGS	66
3.4.1.3. Aparatul cu circuit închis, cu oxigen, CODE	67
3.4.1.4. Aparatul LAR VII Standard funcționând în varianta cu oxigen în circuit închis	68
3.4.1.5. Aparatele cu circuit închis, cu oxigen, EMERSON RIG și SIVA 10 .	69
3.4.1.6. Aparatul cu circuit închis, cu oxigen, CASTORO 96 PRO	70
3.4.1.7. Aparatul cu circuit închis, cu oxigen, DIVEX SHADOW	71
3.4.1.8. Aparatul cu circuit închis, cu oxigen, OXYDIVE	72
3.4.2. Aparate de respirat sub apă cu circuit închis, cu amestec respirator	73
3.4.2.1. Aparatul cu circuit închis, cu amestec, DOXGERS	73
3.4.2.2. Aparatul cu circuit închis, cu amestec, MK10 MOD 4	73
3.4.2.3. Aparatul cu circuit închis, cu amestec, MK 15	75
3.4.2.4. Aparatul cu circuit închis, cu amestec, PRISM-TOPAZ	76

3.4.2.5. Aparatul cu circuit închis, cu amestec, CISLUNAR MK5	77
3.4.2.6. Aparatul cu circuit închis, cu amestec, CLASIC KISS	78
3.4.2.7. Aparatul cu circuit închis, cu amestec, INSPIRATION	79
3.4.2.8. Aparatul cu circuit închis, cu amestec, OUROBOROS	80
3.4.2.9. Aparatul cu circuit închis, cu amestec, MK 6 DISCOVERY	81
3.4.2.10. Aparatul cu circuit închis, cu amestec, MEGALODON	82
3.4.2.11. Aparatul cu circuit închis, cu amestec, rEVO	83
3.4.2.12. Aparatul cu circuit închis, cu amestec, STEALTH	84
3.4.2.13. Aparatul cu circuit închis, cu amestec, MR9800	85
3.4.2.14. Aparatul cu circuit închis, cu amestec, VIPER E	86
4. APARATE DE RESPIRAT SUB APĂ	
CU CIRCUIT SEMIÎNCHIS ȘI MIXT	87
4.1. Aparate de respirat sub apă cu circuit semiînchis. Generalități	87
4.2. Tipuri de aparate de respirat sub apă cu circuit semiînchis	87
4.2.1. Aparate de respirat sub apă cu circuit semiînchis,	
cu amestec respirator prefabricat	88
4.2.1.1. Aparatul cu circuit semiînchis, cu amestec prefabricat, DC55	89
4.2.1.2. Aparatul LAR VII Standard funcționând în varianta cu amestec	
în circuit semiînchis	90
4.2.1.3. Aparatul cu circuit semiînchis cu amestec prefabricat, FGT I	91
4.2.1.4. Aparatul cu circuit semiînchis, cu amestec prefabricat, DOLPHIN I	92
4.2.1.5. Aparatul cu circuit semiînchis, cu amestec prefabricat, ATLANTIS I	93
4.2.1.6. Aparatul cu circuit semiînchis, cu amestec prefabricat MK 6	94
4.2.1.7. Aparatul cu circuit semiînchis, cu amestec prefabricat, HALCYON	95
4.2.1.8. Aparatul cu circuit semiînchis, cu amestec prefabricat, AZIMUTH ..	95
4.2.1.9. Aparatul cu circuit semiînchis, cu amestec prefabricat, SUBMATIX ..	96
4.2.2. Aparate de respirat sub apă cu circuit semiînchis,	
cu amestec respirator preparat local	97
4.2.2.1. Aparatul cu circuit semiînchis, cu amestec preparat local, SMT	98
4.2.2.2. Aparatul cu circuit semiînchis, cu amestec preparat local, M100M ..	100
4.2.2.3. Aparatul cu circuit semiînchis, cu amestec preparat local, SM1	101
4.2.2.4. Aparatul cu circuit semiînchis, cu amestec preparat local, FGT III ..	102
4.3. Aparate de respirat sub apă cu circuit mixt. Generalități	103
4.4. Tipuri de aparate de respirat sub apă cu circuit mixt	103
4.4.1. Aparatul cu circuit mixt, IDA-71U	104
4.4.2. Aparatul cu circuit mixt, OXYMIX 97	106
4.4.3. Aparatul cu circuit mixt, LAR VII COMBI	107
4.4.4. Aparatele cu circuit mixt, SIVA 24, SIVA 55 și SIVA +	108
4.4.5. Aparatul cu circuit mixt, MIXGERS 78	108
4.4.6. Aparatul cu circuit mixt, FGT II	109
4.4.7. Aparatul cu circuit mixt, INFINITO	110
4.4.8. Aparatul cu circuit mixt, DIVEX SHADOW EXCURSION	111
4.4.9. Aparatul cu circuit mixt, VIPER +	111
4.4.10. Aparatul cu circuit mixt, VIPER SC	112

5. CALCULUL GAZODINAMIC AL APARATELOR SPECIALE DE RESPIRAT SUB APĂ	113
5.1. Curgerea gazelor respiratorii prin ajutajele de injecție, de compensare și de spălare	113
5.1.1. Curgerea izentropică prin ajutaje. Relația lui Hugoniot	113
5.1.2. Relația lui Barré de Saint-Venant. Debitul masic în regim de blocaj	117
5.1.3. Curgerea gazelor prin ajutaje convergente	122
5.2. Descrierea matematică a curgerii fluidelor compresibile în blocurile specifice aparatelor de respirat sub apă speciale	124
5.2.1. Relațiile de calcul aferente sacului respirator	124
5.2.2. Relațiile de calcul pentru ajutajele de injecție și de spălare	128
5.2.3. Relațiile de calcul pentru ajutajele de compensare	128
5.2.4. Calculul teoretic al ajutajelor de injecție la debit masic constant	135
5.3. Concepția și calculul aparatelor de respirat sub apă speciale	137
5.3.1. Concepția și calculul aparatelor de respirat sub apă cu circuit închis cu oxigen, cu spălare automată a sacului respirator	137
5.3.1.1. Concepția aparatului de respirat sub apă cu circuit închis cu oxigen, cu spălarea automată a sacului respirator	137
5.3.1.2. Calculul gazodinamic al circuitelor aferente aparatului de respirat sub apă cu circuit închis cu oxigen	142
5.3.2. Concepția și calculul aparatelor de respirat sub apă cu circuit semiînchis	156
5.3.2.1. Concepția aparatului de respirat sub apă cu circuit semiînchis de mare autonomie	156
5.3.2.2. Calculul gazodinamic al circuitelor aferente aparatului de respirat sub apă cu circuit semiînchis de mare autonomie	158
5.3.2.3. Concepția aparatului de respirat sub apă cu circuit semiînchis, de mare autonomie, pentru scufundări de sistem	189
5.3.3. Concepția și calculul aparatelor de respirat sub apă cu circuit mixt	195
5.3.3.1. Concepția aparatului de respirat sub apă cu circuit mixt	195
5.3.3.2. Calculul gazodinamic al circuitelor aferente aparatelor de respirat sub apă cu circuit mixt	202
5.4. Comparatie asupra eficienței aparatelor speciale de respirat sub apă	214
BIBLIOGRAFIE	216

PREFAȚĂ

Scufundările militare și industriale, autonome sau cu alimentare de la suprafață, prin cerințele lor operaționale și deci prin destinația lor specială, presupun utilizarea unor aparate speciale de respirat sub apă.

Din categoria aparatelor speciale de respirat sub apă fac parte aparatele cu circuit deschis, închis, semiînchis și mixt cu mare autonomie și, mai ales, cu randament al scufundării ridicat. Aceste aparate de respirat sub apă speciale utilizează, în afară de aer, atât amestecuri de gaze respiratorii binare supraoxigenate așa cum sunt amestecurile azot-oxigen (NITROX) și heliu-oxigen (HELIOX), cât și, uneori, amestecuri de gaze respiratorii ternare așa cum este amestecul heliu-azot-oxigen (TRIMIX).

Cartea este structurată pe cinci capitole, primele două capitole referindu-se la gazele și amestecurile de gaze utilizate în circuitele aparatelor speciale de respirat sub apă, următoarele două capitole prezentând tipuri de aparate speciale de respirat sub apă cu circuit deschis, închis, semiînchis și mixt, iar ultimul capitol referindu-se la calculul gazodinamic al circuitelor aparatelor speciale de respirat sub apă de tipul cu circuit închis, semiînchis și mixt.

Lucrarea, prima de acest gen din România, este rezultatul activităților de cercetare și proiectare efectuate în comun de Departamentul de Hidraulică și Protecția Mediului din Universitatea Tehnică de Construcții București și Centrul de Scafandri din Constanța din cadrul Forțelor Navale Române și al colaborării acestor unități de învățământ și cercetare-proiectare cu faimoasa firmă germană Dräger.

Cartea se adresează, în primul rând, specialiștilor în domeniul hiperbar, inginerilor specializați în proiectarea, realizarea și exploatarea aparatelor de respirat sub apă și scafandrilor profesioniști specializați în scufundarea militară și industrială cu aparate speciale de respirat sub apă.

Autorii

1.

GAZE UTILIZATE LA APARATELE SPECIALE DE RESPIRAT SUB APĂ

Un rol important în conceperea, proiectarea, realizarea și exploatarea aparatelor de respirat sub apă îl au gazele și amestecurile de gaze respiratorii utilizate în cadrul acestor aparate. Tipul gazului sau amestecului respirator utilizat este impus de tipul aparatului de scufundare folosit și de tehnologia de scufundare adoptată.

Pentru alegerea corectă a gazului sau amestecului respirator în cadrul diferitelor aparate de respirat sub apă și pentru stabilirea cu precizie a tehnologiei de scufundare, este necesară cunoașterea în detaliu a caracteristicilor fizice ale gazelor utilizate. De asemenea, pentru obținerea unor amestecuri de gaze cu participații volumice (concentrații) ale componentelor dorite, este necesară cunoașterea metodelor de fabricare a acestor amestecuri respiratorii.

1.1. DATE GENERALE PRIVIND GAZELE UTILIZATE ÎN SCUFUNDAREA CU APARATE SPECIALE

Primul gaz utilizat în scufundare a fost *aerul* care este un amestec respirator natural. Folosit la adâncimi mari aerul pune probleme importante cu implicații în revenirea scafandrului la presiunea atmosferică, impunând precauții severe pentru evitarea unor accidente datorate fie apariției unor stări anormale, fie unei decompresii necorespunzătoare.

Pentru evitarea acestor probleme, cunoscut fiind faptul că oxigenul este gazul indispensabil vieții și considerându-se că este "inofensiv", s-a încercat executarea de scufundări numai cu oxigen pur. Din păcate, utilizarea oxigenului pur deși a eliminat accidentele de decompresie, a condus, în cazul scufundărilor la adâncimi mai mari de 7...10 m, la alte accidente specifice oxigenului. Aceste accidente au fost foarte grave și uneori mortale, prin acestea înfirmându-se "inofensivitatea" oxigenului respirat la presiuni mai mari decât presiunea atmosferică. Astfel, a reapărut necesitatea diluării oxigenului și realizării unor amestecuri respiratorii sintetice. De asemenea a apărut și necesitatea găsirii unor noi gaze zise "inerte" pentru eliminarea neajunsurilor provocate de azotul din aerul atmosferic. Considerate ca inerte, pentru că nu sunt nici metabolizate, nici produse de organism, ele sunt totuși generatoare de efecte biochimice cu atât mai evidente cu cât presiunea parțială a gazului inert, din amestecul gazos respirator, crește o dată cu creșterea adâncimii de scufundare.

Indiferent de gazul inert utilizat ca diluant al oxigenului, unul din marile neajunsuri ale gazului inert este efectul narcotic pe care îl induce. În prezent, se admite că acțiunea fiziologică a unui amestec gazos respirator depinde de compoziția sa, de concentrațiile (participațiile volumice) ale gazelor care alcătuiesc amestecul, precum și

de presiunea la care este respirat. Ultimii doi factori, corelați cu acțiunea fiziologică a amestecului respirator, determină valoarea maximă admisă a presiunii parțiale a gazului inert astfel încât efectul narcotic să nu-și facă apariția.

Este deci important să se cunoască faptul că toate gazele zise "inerte" au o putere narcotică apropiată de aceea a gazelor anestezice (cum ar fi protoxidul de azot), că această putere narcotică este funcție de solubilitatea lor în grăsimi raportată la solubilitatea lor în apă (coeficientul Mayer-Overton) și funcție, de asemenea, de masa lor specifică (densitatea), ceea ce este evident pentru gazele grele. Astfel, narcoza începe de la adâncimea de 60 m cu azot, de la 40 m cu argon și chiar la presiunea atmosferică cu xenon, pentru amestecuri cu 80% gaz inert. Din contră, deși este cel mai ușor gaz dintre gazele utilizate ca diluant pentru oxigen, hidrogenul este mai narcotic ca heliul care este de două ori mai greu, motiv pentru care hidrogenul se distinge de celelalte gaze prin proprietățile sale originale. Heliul poate fi considerat deci ca cel mai inert dintre gaze, dar puterea sa narcotică, cunoscută ca foarte slabă, este perfect perceptibilă la adâncimi foarte mari.

În tabelul 1.1 sunt prezentate câteva proprietăți ale gazelor zise "inerte", legate de puterea lor narcotică.

Tabelul 1.1

Câteva proprietăți ale gazelor zise "inerte"

Gaz	Masa molară [kg/kmol]	Densitatea [kg/m ³]*	Numărul Van der Waals** <i>a</i>	Solubilitatea [mℓ/ℓ]		
				în apă (la 37°C)	în grăsimi (la 37°C)	M.O.***
Heliu	4	0,18	0,034	9,2	17	1,85
Neon	20	0,90	0,21	10,6	22	2,07
Hidrogen	2	0,09	0,24	18,0	57	3,17
Azot	28	1,25	1,39	14,5	76	5,24
Argon	40	1,78	1,34	33,0	150	4,54
Kripton	83,8	3,75	2,32	70,0	490	7,00
Xenon	131	5,90	4,19	130,0	1700	13,07

*Valorile densităților sunt la 0°C și la presiunea atmosferică normală;

**Numărul lui Van der Waals *a* exprimă forța de atracție intermoleculară;

***Coeficientul Mayer-Overton = $\frac{\text{Solubilitatea în grăsimi}}{\text{Solubilitatea în apă}}$, în relație cu puterea narcotică.

Un alt neajuns, la fel de important, îl constituie faptul că, la decompresie, gazul inert se poate degaja cu formarea de bule, care pot provoca accidente serioase în cazul nerespectării unei proceduri speciale de revenire la presiunea atmosferică. În plus, absența prelungită a azotului din amestecurile respiratorii poate sta la baza unor importante modificări de ordin fiziologic, iar în perioada schimbării amestecurilor respiratorii apare, la nivelul membranelor, o contradifuzie izobarică a gazelor inerte dizolvate în țesuturi.

1.2. CARACTERISTICILE GAZELOR UTILIZATE ÎN SCUFUNDAREA CU APARATE SPECIALE

Prin urmare, pentru contracararea efectelor hiperoxiei, oxigenul trebuie diluat prin amestecare cu gaze diluante, zise și gaze "inerte". Dintre acestea, în continuare sunt prezentate, pe lângă oxigen, cele mai utilizate gaze diluante în fabricarea amestecurilor respiratorii folosite la aparatele de respirat sub apă speciale, azotul și heliul.

1.2.1. OXIGENUL ȘI EFECTELE ACESTUIA

Oxigenul este cel mai important dintre toate gazele utilizate în scufundare deoarece este indispensabil vieții și este elementul chimic cel mai răspândit din natură. Aerul atmosferic conține aproximativ 21% oxigen liber, în stare moleculară.

1.2.1.1. Caracteristicile oxigenului

Acest gaz, inodor, incolor și insipid este foarte activ combinându-se ușor cu alte elemente. În tabelul 1.2 sunt prezentate cele mai importante caracteristici fizice ale oxigenului.

Tabelul 1.2

Proprietățile fizice ale oxigenului

Mărimea	Valoarea	Mărimea	Valoarea
Volumul molar [m ³ /kmol]	22,403	$k/\mu c_v$	1,93
Masa molară [kg/ kmol]	31,999	$D\rho/\mu$	$1,4 \cdot 10^{-3}$
Temperatura critică T_{cr} [K]	154,4	Constante Van der Waals: a – at/(l/mol) ² b – l/mol	1,36 0,0318
Temperatura de fierbere la 1,013 bar (sc.abs.) T_f [K]	90,2	Presiunea critică p_{cr} [ata] **	49,7
Conductibilitatea termică k [μcal/cm·s·K]	58,5	T_f/T_{cr}	0,58
Coeficientul de autodifuzie D [cm ² /s]	0,189	Diametrul moleculei [Å]***	3,62
Densitatea ρ [g/l]	1,429	Solubilitatea în apă [l/l]	0,0314
Coeficientul dinamic de viscozitate μ [micropoise]*	192,6	Solubilitatea în alcool etic [l/l]	0,1431
Căldura specifică masică la volum constant c_v [cal/g K]	0,157	Solubilitatea în benzen [l/l]	0,163

*1 micropoise = 10⁻³ poise = 10⁻³ g/(cm s) = dyn s/cm²; **ata – atmosferă în scara absolută;

***Å – angström (1 Å = 10⁻⁸ cm).

În scufundare, pentru prima dată a fost utilizat oxigenul pur, în cel de-al doilea război mondial, de către scafandrii de luptă italieni. Aceștia, echipați cu combinezoane grele, etanșe și cu aparate de respirat sub apă în circuit închis, au efectuat intervenții sub apă cu scop militar. Nu cunoșteau nimic despre toxicitatea oxigenului, motiv pentru care au avut pierderi chiar pe timpul antrenamentelor.

În prezent, când fenomenele de toxicitate ale oxigenului sunt cunoscute și controlate, oxigenul este utilizat, la aparatele de respirat sub apă, atât pur cât și amestecat cu gaze inerte sub formă de amestecuri respiratorii. Pentru dozarea corespunzătoare a oxigenului pur sau a amestecului respirator către scafandru, este necesară cunoașterea consumului individual de oxigen funcție de activitatea subacvatică desfășurată de scafandru (tab. 1.3).

Tabelul 1.3

Consumul individual de oxigen funcție de activitatea subacvatică desfășurată de scafandru (NOAA Diving Manual)

Activitatea desfășurată de scafandru	Consum O ₂ [lN/min]	Ventilație pulmonară [lN/min]
Repaus	0,4	8
Lucrări ușoare, înot cu viteză $v = 0,5 \text{ Nd}^* = 0,257 \text{ m/s}$	0,8	18
Lucrări moderate, înot cu viteză $v = 0,8 \text{ Nd} = 0,411 \text{ m/s}$	1,3	30
Lucrări intense, înot cu viteză $v = 1,0 \text{ Nd} = 0,514 \text{ m/s}$	1,7	40
Lucrări foarte grele, înot cu viteză $v = 1,2 \text{ Nd} = 0,617 \text{ m/s}$	2,5	60

*Nd – nod, unitate de măsură a vitezei egală cu 1 milă marină pe oră: $1 \text{ Nd} = 1,852 \text{ km/h} = 0,514 \text{ m/s}$.

În cazul scufundărilor cu alimentare la narghilea și a scufundărilor autonome cu plecare de la suprafață, în cadrul aparatelor de respirat sub apă, se utilizează de obicei amestecuri gazoase binare supraoxigenate. Utilizarea amestecurilor respiratorii cu concentrații mari de oxigen (cu participații volumice ale oxigenului, r_{O_2} , mari) se justifică prin aceea că viteza de revenire la presiunea atmosferică, deci viteza de decompresie, este dictată de timpul necesar eliminării gazului inert dizolvat la un moment dat în organismul uman. Cantitatea de gaz inert dizolvată este funcție de presiunea parțială a acestuia din amestecul respirator, cu alte cuvinte, pentru o adâncime dată, cu cât participația volumică a oxigenului în amestecul respirator, r_{O_2} , este mai mare, cu atât cantitatea de gaz inert ce se va dizolva în țesuturi va fi mai mică și implicit viteza de revenire la presiunea atmosferică va fi mai mare.

Astfel, pentru o anumită adâncime de scufundare, care corespunde unei presiuni totale a amestecului gazos respirator, p_{am} , și pentru un amestec de gaz azot-oxigen (NITROX) caracterizat prin participațiile volumice ale componentelor r_{O_2} și r_{N_2} , ($r_{\text{O}_2} + r_{\text{N}_2} = 1$), presiunile parțiale ale celor două componente ale amestecului sunt

$p_{O_2} = r_{O_2} p_{am}$ și respectiv $p_{N_2} = r_{N_2} p_{am}$, ($p_{O_2} + p_{N_2} = p_{am}$). Este evident faptul că, pentru reducerea timpului de decompresie, este necesară reducerea presiunii parțiale a gazului inert (azotului) din amestec, p_{N_2} și deci creșterea corespunzătoare a presiunii parțiale a oxigenului din amestec, p_{O_2} . Pentru un p_{am} dat, creșterea presiunii parțiale p_{O_2} conduce la necesitatea utilizării unui amestec gazos azot-oxigen cu o participație volumică a oxigenului din amestec, r_{O_2} , ridicată, deci a unui amestec NITROX supraoxigenat (cu o valoare a participației volumice a oxigenului, r_{O_2} , mai mare ca 0,21, valoare corespunzătoare aerului). Aceleași considerații sunt valabile și pentru amestecurile gazoase binare heliu-oxigen (HELIOX).

Creșterea participației volumice a oxigenului, r_{O_2} , în amestecul respirator, pentru o anumită adâncime de scufundare și deci pentru o anumită valoare a presiunii totale a amestecului gazos p_{am} , este limitată de creșterea peste o anumită valoare a presiunii parțiale a oxigenului din amestec, p_{O_2} , dincolo de care pot apărea fenomenele de hiperoxie.

Concludent este tabelul 1.4, care prezintă comparativ duratele de decompresie pentru scufundări efectuate cu utilizarea amestecurilor respiratorii azot-oxigen (NITROX) caracterizate prin diferite concentrații de oxigen.

Tabelul 1.4

Comparație între duratele decompresiei la scufundări folosind amestecuri respiratorii azot-oxigen (NITROX) cu diferite concentrații de oxigen
(decompresii calculate după metoda Laboratorului Hiperbar din Constanța)

Scufundare de 100 minute la 30 m adâncime				
Amestec respirator	Aer	NITROX		
	21% O ₂	30% O ₂	40% O ₂	50% O ₂
Durata totală a decompresiei [minute]	88,4	45,6	20,8	2,8

1.2.1.2. Efectele oxigenului asupra scafandrilor

Limitele impuse de oxigen în scufundare, au fost determinate experimental și sunt prezentate grafic în figura 1.1.

Pe abscisă este reprezentată adâncimea de scufundare, în metri și presiunea corespunzătoare adâncimii, în bar (sc. abs.), iar pe ordonată, concentrația oxigenului (%O₂) și concentrația gazului inert (% gaz inert) în amestec. Curba I reunește punctele a căror presiune parțială a oxigenului este $p_{O_2} = 0,17$ bar (sc. abs.), curba II punctele a căror presiune parțială a oxigenului este $p_{O_2} = 2$ bar (sc. abs.), iar curba reprezentată cu linie întreruptă punctele a căror presiune parțială a oxigenului este $p_{O_2} = 0,21$ bar (sc. abs.). Curba I reprezintă curba limită inferioară a zonei de securitate, sub această curbă existând zona de hipoxie și anoxie, curba II reprezintă curba limită superioară a zonei de securitate, peste această curbă existând zona de hiperoxie, iar curba desenată cu linie întreruptă este curba de normoxie corespunzătoare unei presiuni parțiale a oxigenului $p_{O_2} = 0,21$ bar (sc. abs.) egală cu cea a oxigenului din aerul la presiunea atmosferică.

Înainte de a face comentarii asupra graficului din figura 1.1, este necesar să se precizeze importanța factorului timp în apariția accidentelor datorate deficitului de oxigen (hipoxie) și lipsei de oxigen (anoxie) sau presiunii în exces a acestuia (hiperoxie).

Respirând un amestec cu presiunea parțială a oxigenului sub valoarea corespunzătoare curbei I ($p_{O_2} < 0,17$ bar (sc. abs.)) se riscă o sincopă hipoxică sau anoxică, ce apare fără nici un semnal de avertizare. Timpul de latență este 1...2 minute, funcție de activitatea desfășurată sub apă. Pot apărea însă semnale de alarmă în zona presiunilor parțiale ale oxigenului cuprinse între 0,17 bar (sc. abs.) și 0,1 bar (sc. abs.), dar aceste semnale nu sunt întotdeauna percepute de scafandri și deci, nu se poate pune bază pe acestea ca elemente de stabilire a începutului unei crize de hipoxie.

În continuare, se prezintă efectele presiunii parțiale a oxigenului, p_{O_2} , în cazul hipoxiei:

- $p_{O_2} < 0,17$ bar (sc. abs.): pulsul și frecvența respirației cresc, atenția scade, mișcările delicate diminuează;
- $p_{O_2} \leq 0,1$ bar (sc. abs.): judecată eronată, insensibilitate, oboseală, apariția cianozei;
- $p_{O_2} = 0,06...0,07$ bar (sc. abs.): greață, vomă, imposibilitate de efort, cianoză intensă;
- $p_{O_2} < 0,06$ bar (sc. abs.): respirație neregulată, convulsii, sincopă, moarte.

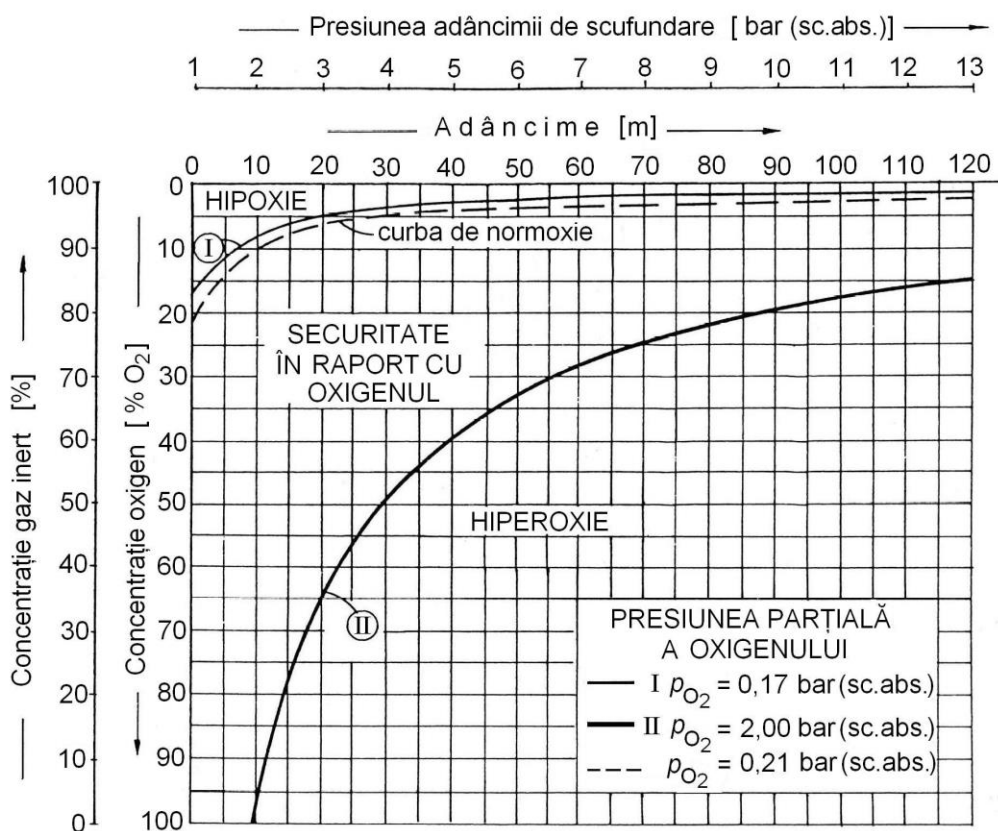


Fig. 1.1. Reprezentarea grafică a limitelor impuse pentru oxigen în amestecurile respiratorii.

Respirând un amestec cu presiunea parțială a oxigenului peste valoarea corespunzătoare curbei II ($p_{O_2} > 2$ bar (sc. abs.)) se riscă o criză convulsivă de tip hiperoxic. Această criză nu apare imediat ce s-a depășit pragul critic, ea producându-se dacă expunerea se prelungește peste anumite limite de timp, care definesc latența fenomenului. Latența variază de la individ la individ sau chiar la același individ funcție de efortul depus, frig, oboseală etc. După U.S. Navy Diving Manual, timpii de latență la respirarea oxigenului pur, sunt:

- 7 ore la 7 metri adâncime ($p_{O_2} = 1,7$ bar (sc. abs.));
- 3 ore la 8 metri ($p_{O_2} = 1,8$ bar (sc. abs.));
- 50 minute la 10 metri ($p_{O_2} = 2$ bar (sc. abs.));
- 30 minute la 20 metri ($p_{O_2} = 3$ bar (sc. abs.));
- 10 minute la 25 metri ($p_{O_2} = 3,5$ bar (sc. abs.)).

Activitatea în mediul marin scurtează timpul de latență. Astfel, pentru adâncimea de 18 m, în incinte hiperbare uscate (barocamere), timpul de latență poate ajunge până la 2 ore, iar în mediul marin el este de numai 40 minute. Pentru exemplificare, în figura 1.2 se prezintă curbele aproximative ale timpilor de latență ce preced criza convulsivă neurotoxică, funcție de adâncime, pentru cazul în care se respiră oxigen pur.

Variațiile individuale ale timpului de latență sunt, de asemenea, foarte întinse și imprevizibile. La același individ, timpul de latență poate fi cuprins între 7 minute și 2,5 ore. Semnele de alarmă iau aspectul unor mici crize foarte localizate, cu durată scurtă, grețuri, indispoziții, tremur al buzelor sau mușchilor feței, crampe musculare, jenă respiratorie, accelerarea pulsului și palpitații. Apoi, totul reintră în normal până la o nouă criză respiratorie. Astfel, pot apărea mai multe crize mici până la marea criză convulsivă. Acest efect neurotoxic al oxigenului a fost descris pentru prima dată de Paul Bert în anul 1878. Câțiva ani mai târziu, în 1899, Lorrain Smith a arătat că oxigenul inhalat în mod continuu și timp îndelungat, provoacă leziuni pulmonare chiar și la presiunea atmosferică. Primul efect, *efectul Paul Bert*, interesează scafandrii autonomi ce folosesc aparate cu oxigen pur sau cu amestecuri supraoxigenate, iar cel de-al doilea efect, *efectul Lorrain Smith*, interesează scafandrii ce staționează timp îndelungat în incinte hiperbare supraoxigenate, cum este cazul scafandrilor aflați în saturație, sau al tratamentelor prin oxigenoterapie hiperbară.

Limitele de securitate pentru utilizarea oxigenului pur, recomandate în urma experimentărilor sunt:

- în scufundări unitare reale: 6,5...7 m adâncime ($p_{O_2} = 1,65...1,7$ bar (sc. abs.));
 - la paliere de decompresie în apă: 6 m adâncime ($p_{O_2} = 1,6$ bar (sc. abs.));
 - la paliere de decompresie în turele de scufundare sau în barocamere: 12 m adâncime ($p_{O_2} = 2,2$ bar (sc. abs.));
 - în tratamentul accidentelor de scufundare: 9 m adâncime ($p_{O_2} = 1,9$ bar (sc. abs.));
- în acest caz, cea mai bună combinație este 25 minute oxigen și 5 minute aer sau alt amestec oxigen-gaz inert;

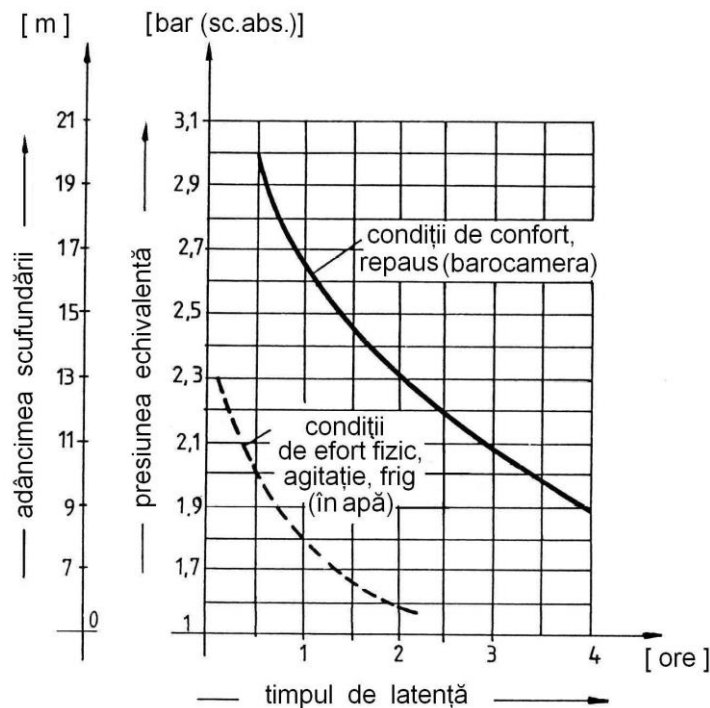


Fig. 1.2. Curbele aproximative ale timpilor de latență ce preced criza convulsivă neurotoxică, funcție de adâncimea scufundării (sau de presiunea echivalentă).

- la testele de aptitudine în stabilirea toleranței la oxigenul hiperbar: 18 m adâncime ($p_{O_2} = 2,8$ bar (sc. abs.)); la scafandri de luptă, cei mai expuși dintre scafandri la hiperoxie, se recomandă ca testul să se efectueze la adâncimea de 20 m ($p_{O_2} = 3$ bar (sc. abs.)) cu urmărirea răspunsului pe electroencefalogramă.

În cazul scufundărilor cu amestecuri respiratorii sintetice sau cu aer, presiunea parțială a oxigenului se va menține în limitele maxime admisibile de 1,2...1,6 bar (sc. abs.).

Cu alte cuvinte, aerul atmosferic poate fi folosit, din punct de vedere al toxicității oxigenului, în condiții de securitate deplină până la adâncimea de 75 m. În realitate, la scufundarea cu aer, această adâncime nu poate fi atinsă decât de profesioniști antrenați, datorită limitei impuse de narcoza cu azot (50...60 m). După unii autori, pentru durată limitată, presiunea parțială a oxigenului de 2 bar (sc. abs.) într-un amestec respirator este foarte bine suportată de scafandri.

Pentru scafandrii militari, de incursiune și deminori, care utilizează de obicei aparate de respirat sub apă cu circuit închis cu oxigen pur sau aparate de respirat sub apă cu circuit semiînchis cu amestec NITROX, au fost propuse o serie de limite de timp practice privind utilizarea oxigenului pur sau a amestecului binar NITROX de către U. S. Navy sau de către NOAA (National Oceanic and Atmospheric Administration). Aceste valori limită de expunere funcție de presiunea parțială a oxigenului p_{O_2} sunt prezentate comparativ în tabelul 1.5.

Tabelul 1.5

Valori limită ale timpului de expunere a scafandrilor la diferitele presiuni parțiale ale oxigenului în cazul scufundărilor autonome cu oxigen pur și cu amestec NITROX

Limitele de utilizare a oxigenului pur U.S.Navy			Limitele de utilizare a amestecului NITROX U.S.Navy		Limitele de expunere pentru scufundări cu amestec NITROX NOAA		
P_{O_2} [bar(sc.abs.)]	Adâncime [m]	Durata maximă [min]	P_{O_2} [bar(sc.abs.)]	Durata maximă [min]	P_{O_2} [bar(sc.abs.)]	Durata maximă pentru o singură scufundare pe zi [min]	Durata maximă pentru mai multe scufundări pe zi [min]
Expuneri normale							
					0,6	720	720
					0,7	570	570
					0,8	450	450
					0,9	360	360
			1,0	240	1,0	300	300
			1,1	120	1,1	240	270
			1,2	80	1,2	210	240
1,3	3	240	1,3	60	1,3	180	210
			1,4	50	1,4	150	180
1,45	4,5	120					
			1,5	40	1,5	120	180
			1,6	30	1,6	45	150
1,7	7	90					
1,85	8,5	65					
Expuneri excepționale							
			1,3	240	1,3	240	
			1,4	180	1,4	180	
			1,5	120	1,5	150	
			1,6	100	1,6	120	
			1,7	80	1,7	75	
			1,8	60	1,8	60	
1,9	9	45					
2,05	10,5	34					
2,2	12	25					
2,35	13,5	15					

Din prezentarea comparativă a limitelor de timp privind expunerea la oxigen a scafandrilor militari autonomi respirând oxigen pur sau amestecuri NITROX (tab. 1.5), rezultă diferențele importante între valorile impuse de diferitele școli și deci marele grad de incertitudine inerentă studiilor privind expunerea scafandrilor la oxigen.

În cazul scufundărilor care necesită staționarea îndelungată a scafandrilor într-o ambianță cu presiunea parțială a oxigenului ridicată, problema se pune diferit, ținând cont de *efectul Lorrain Smith*. Intoxicația pulmonară a oxigenului descrisă de Lorrain Smith în 1897 sub numele de *pneumonie cauzată de oxigen* trece foarte rapid prin mai multe faze de gravitate până la edem pulmonar. Aceasta este o intoxicație cronică ale cărei prime simptome, absolut benigne, nu apar decât după un interval de timp mai mare și la o presiune parțială a oxigenului de peste 0,5 bar (sc. abs.). Spre exemplu, pentru un scafandru care respiră oxigen pur ($r_{O_2} = 1$) la adâncimea de 10 m ($p_{O_2} = 2$ bar (sc. abs.)) evoluția semnelor și simptomelor *pneumoniei* este următoarea:

- după aproximativ 4 ore: jenă respiratorie;
- după aproximativ 6 ore: jenă respiratorie netă și tuse;
- după aproximativ 8 ore: arsuri retrosternale;
- după aproximativ 9 ore: arsuri și tuse cu frecvență mărită.

În anul 1971 Clark și Lambertsen au propus cuantificarea dozei de toxicitate a oxigenului respirat cu ajutorul unei unități toxice cumulative **UPTD** (Unit Pulmonary Toxicity Dose):

$$UPTD = -1,2 \sqrt{\frac{0,5}{p_{O_2} - 0,5}} t = t(2 \cdot p_{O_2} - 1)^{0,833}, \quad (1-1)$$

unde:

- t este timpul de expunere la oxigenul hiperbar (min);
- p_{O_2} – presiunea parțială a oxigenului din amestecul respirator (bar (sc. abs.)).

Trebuie menționat faptul că în cazul utilizării oxigenului pur, presiunea parțială a oxigenului este chiar presiunea totală a gazului pur.

Clark și Lambertsen au demonstrat că oxigenul hiperbar are influență asupra capacității vitale micșorând-o, la 50% din subiecți, cu până la 20%, funcție de timpul de expunere. Variația capacității vitale funcție de UPTD este prezentată în tabelul 1.6.

În cazul scufundărilor în saturație cu un UPTD = 1900...2200, nu apar modificări semnificative ale capacității vitale, doza fiind considerată ca admisibilă.

Relația stabilită de Clark și Lambertsen este satisfăcătoare când presiunea parțială a oxigenului, p_{O_2} , este constantă și depășește 1 bar (sc. abs.) (Lemaire, 1977).

Pentru expuneri la valori variabile ale presiunii parțiale a oxigenului, fie expuneri cu întreruperi, fie expuneri de nivel scăzut cuprinse între 0,5 și 0,8 bar (sc. abs.), dar pentru durate lungi, cuantificarea propusă de Clark și Lambertsen nu este cea mai concludentă.

Variația capacității vitale la 50% din subiecți, funcție de UPTD
(după Clark, 1970)

UPTD	Variația capacității vitale [%]
615	-2
825	-4
1035	-6
1230	-8
1425	-10
1815	-15
2190	-20

Ținând cont de variațiile capacității vitale, de simptomele apărute și de faptul că în timpul decompresiei presiunea parțială a oxigenului este destul de aproape de limita toxică, 0,6 bar (sc. abs.), sau de faptul că aceasta poate varia, școala franceză de scufundare a renunțat la cuantificarea lui Clark și Lambertsen. După Lemaire (1977), cuantificarea dozei de toxicitate a oxigenului respirat se determină cu formula:

$$U_2 = (p_{O_2})^2 t, \quad (1-2)$$

unde:

- t este timpul de expunere la oxigenul hiperbar (ore);
- p_{O_2} – presiunea oxigenului pur sau presiunea parțială a oxigenului din amestecul respirator (bar (sc. abs.)).

Determinarea efectului toxic cumulativ al oxigenului nu se poate face decât dacă presiunea lui parțială depășește 0,5 bar (sc. abs.). Pe timpul expunerilor la amestecuri supraoxigenate, după Lemaire (1977), se pot atinge valori de $30 U_2$ până la $36 U_2$, funcție de subiecți, fără să apară diminuarea capacității vitale sau a simptomelor specifice pneumoniei.

Revenind la limitele de securitate ale presiunii parțiale a oxigenului, în cazul scufundărilor cu expuneri de lungă durată, în ambianță hiperbară, se poate preciza:

- presiunea parțială a oxigenului la nivelul de viață: 300...400 mbar (sc. abs.), adică 0,3...0,45 bar (sc. abs.);
- presiunea parțială a oxigenului pe timpul decompresiei: mai mare de 500 mbar (sc. abs.), adică 0,5 bar (sc. abs.), dar astfel încât să nu se depășească doza de toxicitate.

1.2.2. AZOTUL ȘI EFECTELE ACESTUIA

În scufundare, azotul se folosește ca diluant al oxigenului, fie în amestecul natural, aerul atmosferic, fie în amestecuri sintetice. Este componentul principal al aerului atmosferic, unde se găsește în proporție de 78...79%.

1.2.2.1. Caracteristicile azotului

Ca și oxigenul, *azotul* este un gaz incolor, inodor și insipid, aflându-se în componența tuturor organismelor în viață. În tabelul 1.7 sunt prezentate cele mai importante caracteristici fizice ale azotului.

Din punct de vedere chimic, aerul atmosferic se compune din 78...79% azot ($r_{N_2} = 0,78...0,79$), 20...21% oxigen $r_{O_2} = 0,20...0,21$, 0,03...0,04% dioxid de carbon ($r_{CO_2} = 0,0003...0,0004$), 0,01% gaze rare ($r_{gr} = 0,0001$) și 0,2...0,6% vapori de apă ($r_{H_2O} = 0,002...0,006$). Prin compoziția sa chimică, aerul influențează schimbul de gaze dintre organism și mediu. În acest sens, omul inhalează zilnic 14...15 m³ de aer, volum exprimat în condiții normale (m_N³), ceea ce reprezintă o cantitate mult mai mare față de apă (2,5 dm³) sau alimente (1,5 kg). În plus, contactul dintre aer și organism, măsurat la nivelul aparatului respirator, se realizează pe o suprafață de peste 90 m².

În amestecuri respiratorii sintetice, azotul se folosește la scufundări în saturație până la 50...70 m adâncime. Tot în amestecuri sintetice, azotul se folosește și pentru scufundări autonome cu așa numitele amestecuri supraoxigenate, în care concentrația oxigenului poate fi 30 (32 sau 32,5), 40, 50, 60% ceea ce corespunde unor participații volumice $r_{O_2} = 0,30$ (0,32 sau 0,325); 0,40; 0,50; 0,60. Adâncimea de scufundare cu astfel de amestecuri este limitată de efectul toxic datorat presiunii parțiale a oxigenului crescute.

Tabelul 1.7

Proprietățile fizice ale azotului

Mărimea	Valoarea	Mărimea	Valoarea
Volumul molar [m ³ /kmol]	22,403	$k / \mu c_v$	1,95
Masa molară [kg/ kmol]	28,013	$D\rho/\mu$	$1,33 \cdot 10^{-3}$
Temperatura critică T_{cr} [K]	126,1	Constante Van der Waals: a – at/(l/mol) ² b – l/mol	1,39 0,0394
Temperatura de fierbere la 1,013 bar (sc. abs.) T_f [K]	77,4	Presiunea critică p_{cr} [ata]	33,5
Conductibilitatea termică k [μ cal / cm · s · K]	58,0	T_f / T_{cr}	0,61
Coeficientul de autodifuzie D [cm ² /s]	0,178	Diametrul moleculei [Å]	3,76
Densitatea ρ [g/l]	1,251	Solubilitatea în apă [l/l]	0,0155
Coeficientul dinamic de viscozitate μ [micropoise]	167,4	Solubilitatea în alcool etilic [l/l]	0,1304
Căldura specifică masică la volum constant c_v [cal/g K]	0,177	Solubilitatea în benzen [l/l]	0,1038

Scufundările cu amestecuri azot-oxigen (NITROX) supraoxigenate au câștig de cauză la adâncimi cuprinse între 18 și 54 m datorită siguranței pe care o conferă față de

scufundarea cu aer. Aceste amestecuri NITROX supraoxigenate sunt utilizate în mod curent la aparatele de respirat sub apă autonome cu circuit deschis, închis, semîncîchis și mixt.

Azotul se mai folosește injectat în amestecuri pe bază de heliu-oxigen pentru scufundări profunde, în proporție de 5...10% ($r_{N_2} = 0,05...0,1$), în vederea ameliorării sindromului nervos al înaltelor presiuni (S.N.I.P.). Aceste amestecuri ternare heliu-azot-oxigen se mai numesc și TRIMIX.

În țara noastră, prin cercetările și experimentările efectuate la Laboratorul Hiperbar de pe lângă Centrul de Scafandri din Constanța, aparținând Forțelor Navale Române, au fost puse la punct tehnologii de pătrundere sub apă cu aer și cu amestecuri azot-oxigen, elaborându-se tabele de decompresie pentru scufundări cu aer, tabele de decompresie pentru scufundări cu amestecuri NITROX supraoxigenate și tabele de decompresie pentru scufundări cu amestecuri NITROX în condiții de saturatie. Aceste tehnologii și-au găsit aplicația în operațiunile cu scafandri efectuate la instalațiile petroliere offshore din Marea Neagră, pentru amplasarea și controlul periodic al platformelor de foraj marin și al conductelor submarine.

1.2.2.2. Efectele azotului asupra scafandrilor

Limitele impuse de azot sunt legate de efectul narcotic al acestuia. Efectele sunt detectabile, pentru respirarea de aer, începând de la 35...40 m adâncime. Primele simptome nu sunt grave, dar la subiecții neantrenați pot apărea complicații. Limitele impuse de azot în scufundare sunt prezentate în figura 1.3.

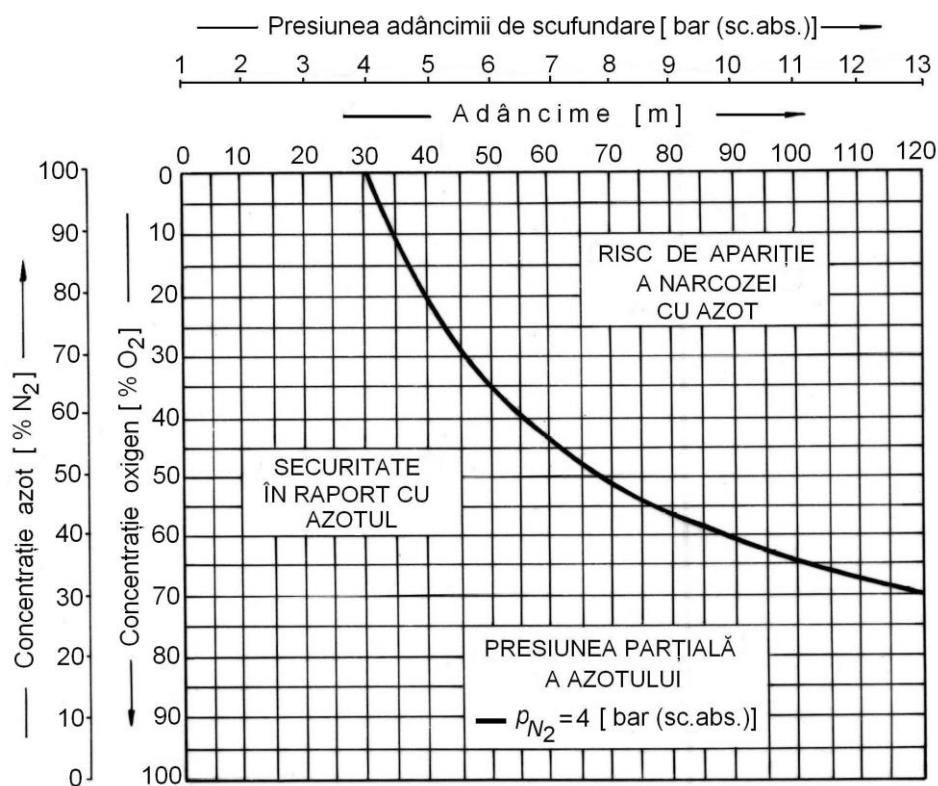


Fig. 1.3. Reprezentarea grafică a limitelor impuse pentru azot în amestecurile respiratorii.

Pe abscisă este reprezentată adâncimea de scufundare în metri și presiunea corespunzătoare în bar (sc. abs.), iar pe ordonată sunt reprezentate concentrațiile de oxigen (% O_2) și de azot (% N_2) din amestecul binar NITROX. Curba din figură este locul geometric al punctelor a căror presiune parțială a azotului este $p_{N_2} = 4$ bar (sc. abs.). Respirând un amestec NITROX caracterizat printr-o presiune parțială a azotului peste valoarea corespunzătoare curbei cu $p_{N_2} = 4$ bar (sc. abs.), se riscă apariția narcozei cu azot (beția adâncurilor).

Practic, se poate spune că narcoza cu azot pentru utilizarea aerului ca amestec respirator, apare începând de la adâncimea de 50 m, funcție de individ și că, de la 70 m adâncime, nimeni nu scapă de acest efect.

Narcoza cu azot a fost observată încă din anul 1835 de către Franchman care arată: "funcțiile creierului sunt activate, imaginea este vioaie, ideile au un șarm ciudat". Abia după o sută de ani, în 1935, Behnke descrie pentru prima dată tulburările provocate de azot, acea beție a adâncurilor, numită de către Hill și MacLeod, în anul 1930, "nitrogen narcosis".

Efectele narcotice ale azotului din aerul respirat la presiuni ridicate par mai apropiate de efectele provocate LSD-25 sau de efectele datorate intoxicațiilor etilice. De asemenea, se mai pot compara cu efectele narcotice ale unor droguri ca morfina, barbituricele sau etanolul. Totuși, mecanismele nu sunt similare.

1.2.3. HELIUL ȘI EFECTELE ACESTUIA

Heliul este un element rar, găsit în aerul atmosferic numai în proporție de 1:200000. Heliul a fost descoperit în anul 1868, prin analiza spectrografică a Soarelui de unde și numele de Helios, numele grecesc al Soarelui. Heliul este de 70 de ori mai ușor decât aerul și a fost folosit, la începutul secolului XX, pentru umplerea baloanelor și a dirijabilelor. Heliul se găsește în cantități ceva mai mari în gazele naturale din unele zone din S.U.A., Canada și Federația Rusă.

1.2.3.1. Caracteristicile heliului

Heliul este un gaz monoatomic, incolor, inodor și insipid. Este total inert, atât de inert încât nu se combină nici cu el însuși. Este un gaz insolubil în apă. În tabelul 1.8 sunt prezentate cele mai importante caracteristici fizice ale heliului.

În scufundare, heliul se folosește ca diluant al oxigenului. Heliul are dezavantajele unei distorsionări a spectrului sonor provocând fenomenul cunoscut sub numele de *efectul Donald Duck* și unei foarte ridicate conductibilități termice, ceea ce cauzează răcirea rapidă a organismului prin intermediul respirației.

Ideea folosirii heliului ca înlocuitor al azotului în amestecurile respiratorii, pentru eliminarea efectului narcotic al acestuia din urmă, aparține lui Edgar End, internist la spitalul din Milwaukee County, Wisconsin, SUA și datează din anul 1937. Acesta, împreună cu un scafandru, Max Gene Nohl, au respirat un amestec binar heliu-oxigen într-o barocameră a spitalului, la adâncimea de 30 m. După acest experiment a urmat o serie de scufundări în lacul Michigan la adâncimi tot mai mari. În final, utilizând aparatul autonom al lui Nohl, Frank Crilley a stabilit un nou record mondial, în decembrie 1937, scufundându-se la 128 m adâncime.

Proprietățile fizice ale heliului

Mărimea	Valoarea	Mărimea	Valoarea
Volumul molar [m ³ /kmol]	22,43	$k / \mu c_v$	2,50
Masa molară [kg/ kmol]	4,002	$D\rho/\mu$	-
Temperatura critică T_{cr} [K]	5,26	Constante Van der Waals: $a - \text{at}/(\text{l/mol})^2$ $b - \text{l/mol}$	0,034 0,0236
Temperatura de fierbere la 1,013 bar (sc. abs.) T_f [K]	4,26	Presiunea critică p_{cr} [ata]	2,26
Conductibilitatea termică k [μcal/cm·s·K]	352,0	T_f/T_{cr}	0,81
Coeficientul de autodifuzie D [cm ² /s]	-	Diametrul moleculei [Å]	2,17
Densitatea ρ [g/l]	0,1785	Solubilitatea în apă [l/l]	0,0088
Coeficientul dinamic de viscozitate μ [micropoise]	188,7	Solubilitatea în alcool etilic [l/l]	0,0281
Căldura specifică masică la volum constant c_v [cal/g K]	0,745	Solubilitatea în benzen [l/l]	0,0180

După aceste experimentări și datorită faptului că nevoile operaționale au impus lucrul sub apă la adâncimi tot mai mari, utilizarea heliului s-a generalizat, atingându-se adâncimea record de 686 m în cadrul programului ATLANTIS, printr-o scufundare efectuată de către americani la Duke University. Europeanii, la rândul lor, au extins tehnologiile de pătrundere sub apă cu amestecuri heliu-oxigen. Astfel, tot mai multe state interesate în exploatarea mărilor și oceanelor, anunță performanțe în jurul adâncimii de 500 m, printre care Franța, Anglia, Norvegia, Germania, România etc.

1.2.3.2. Efectele heliului asupra scafandrilor

Numeroși cercetători, printre care Case și Haldane, Marshale, Behnke, Bennett și Brauer au efectuat corelații între proprietățile gazelor inerte și puterea lor narcotică. Toți au fost de acord că heliul ocupă o poziție privilegiată față de celelalte gaze inerte. Într-adevăr, dacă se iau în considerație polarizabilitatea diferitelor gaze inerte și raportul acestora la volumul molar, constanta a de atracție intermoleculară (forța Van der Waals), solubilitatea în lipide și raportul solubilității în grăsimi și apă, funcție de teoria *coeficientului de partaj* a lui Mayer-Overton, prin care un anestezic are o putere narcotică cu atât mai mare cu cât este mai solubil în apă, heliul se află pe primul loc în ceea ce privește majoritatea proprietăților fizice. Hidrogenul și neonul se află imediat după heliu și înaintea azotului.

Presurizarea scafandrului cu amestecuri heliu-oxigen, induce, la adâncimi ce depășesc 150...180 m, apariția așa numitului sindrom nervos al înaltelor presiuni (S.N.I.P.). Acest sindrom se traduce prin:

- tulburări motorii: tremur și dismetrie, imprecizie și necoordonare a gesturilor, pierderea echilibrului;
- scăderea nivelului de vigilență, tendințe spre dezinteres, încetinire mintală și somnolență;
- modificări electroencefalografice precare și discrete la început, importante mai apoi, cu instalarea de trasee și bufee de unde lente. Aceste trasee sunt îngrijorătoare pentru că nu corespund nici somnului normal nici celui anestezic.

Pentru ameliorarea S.N.I.P. au fost efectuate cercetări care s-au axat pe două direcții:

- reducerea vitezelor de compresie (presurizare) a scafandrilor și efectuarea de paliere de acomodare la diferite adâncimi considerate critice;
- injectarea de azot în amestecul respirator heliu-oxigen în proporții de 5...20%, pentru a se profita de efectul narcotic al acestuia în ameliorarea S.N.I.P.

2.

AMESTECURI DE GAZE UTILIZATE LA APARATELE SPECIALE DE RESPIRAT SUB APĂ

Amestecurile de gaze respiratorii sunt amestecuri gazoase cu două sau trei componente, o componentă fiind oxigenul, iar celelalte componente fiind gazele inerte. Aceste amestecuri rezultă din amestecarea, în proporție dorită, a două sau trei din gazele prezentate în capitolul 1, unul dintre ele fiind întotdeauna oxigenul.

2.1. AMESTECURI RESPIRATORII BINARE ȘI TERNARE

După numărul componentelor principale din amestecurile respiratorii, acestea se împart în: amestecuri binare (cu două componente) și amestecuri ternare (cu trei componente).

Amestecurile respiratorii binare cel mai des utilizate în domeniul pătrunderii omului sub apă, sunt amestecurile azot-oxigen, cunoscute sub denumirea de amestecuri NITROX și amestecurile heliu-oxigen denumite amestecuri HELIOX. Pentru scufundările autonome, aceste tipuri de amestecuri sunt standardizate din punct de vedere al conținutului de oxigen. Cele mai frecvente amestecuri respiratorii utilizate în scufundări autonome sunt cele caracterizate prin următoarele concentrații ale oxigenului: 30% (uneori 32% sau 32,5%), 40%, 50% și 60%, deci prin următoarele participații volumice ale oxigenului r_{O_2} în amestec: 0,30 (0,32 sau 0,325); 0,40; 0,50 și 0,60. În ultimii ani se utilizează, în mod experimental, și amestecuri binare hidrogen-oxigen (HIDROX) cu concentrații ale oxigenului mai mici de 4% ($r_{O_2} < 0,04$).

Pentru scufundări cu amestecuri respiratorii se ține seama nu numai de concentrația oxigenului din amestec ci și de natura gazului inert, din punct de vedere al efectelor lui narcotice.

Amestecurile respiratorii ternare (TRIMIX) utilizate frecvent la pătrunderea omului sub apă, sunt amestecuri heliu-azot-oxigen. Pentru scufundări autonome și aceste amestecuri sunt standardizate. În general, concentrațiile heliului și azotului sunt egale, iar concentrația oxigenului este funcție de limitele impuse la utilizarea acestuia. Amestecurile ternare se folosesc și în scufundări profunde. La astfel de scufundări, se utilizează amestecurile HELIOX în care se injectează azot necesar pentru ameliorarea S.N.I.P., obținându-se în acest fel amestecuri ternare cu concentrații ale azotului de 5...10% ($r_{N_2} = 0,05...0,10$).

Amestecurile heliu-azot-oxigen se fabrică, de obicei, plecându-se de la heliu în care se adaugă aer comprimat. Presiunea parțială maximă admisibilă a azotului în amestec pentru evitarea oricăror forme de nacoză este cea corespunzătoare azotului din aerul respirat la 30 m adâncime ($p_{am} = p_{aer} = 4$ bar (sc. abs.)), adică $(p_{N_2})_{max} = r_{N_2} \cdot p_{am} = 0,79 \cdot 4 = 3,16$ bar (sc. abs.).

În cadrul experimentărilor de laborator, se mai utilizează și amestecuri ternare hidrogen-heliu-oxigen (HIDRELIOX).

2.2. FABRICAREA AMESTECURILOR RESPIRATORII

Amestecurile gazoase binare sau ternare utilizate în scufundare se pot fabrica fie printr-o injecție succesivă și controlată a gazelor componente în recipiente cu volum constant, urmărindu-se presiunea din recipienti, fie printr-o separare a azotului din aer pentru sărăcirea amestecului în azot, fie printr-o omogenizare continuă a gazelor componente, fie printr-o amestecare în flux continuu, cu injectarea simultană a gazelor componente la proporția dorită, utilizându-se pentru aceasta dispozitive prevăzute cu ajutaje calibrate lucrând în domeniul critic (sonic), ce asigură livrarea componentelor gazoase la debite masice constante.

2.2.1. FABRICAREA AMESTECURILOR RESPIRATORII BINARE

Amestecurile azot-oxigen (NITROX) se fabrică de obicei, prin injectarea aerului comprimat într-un recipient în care se află oxigen la o anumită presiune.

Amestecurile heliu-oxigen (HELIOX) se fabrică prin injectarea de oxigen într-un recipient în care se află heliu la o anumită presiune.

Amestecurile respiratorii de gaze se fabrică prin comprimarea gazelor componente în recipienti cu volume cunoscute. Dacă se lucrează la temperatură constantă, cantitățile de gaz comprimate în recipient se pot determina prin măsurarea variațiilor de presiune din recipient rezultate în urma injectării gazelor pure sau amestecurilor de gaze. Principalele instrumente de măsură necesare fabricării amestecurilor de gaze sunt manometrul cu clasă de precizie corespunzătoare și analizorul de oxigen. La analiza oxigenului din amestecul fabricat trebuie să se țină cont că acestuia îi sunt necesare minim 12 ore pentru o bună omogenizare, iar pentru măsurarea presiunii, după comprimarea gazelor în recipient, este necesară trecerea unui anumit interval de timp pentru ca temperatura amestecului să revină la temperatura ambiantă astfel încât să nu fie necesare corecții de calcul rezultate din temperatură. Deci, amestecurile gazoase respiratorii se fabrică în recipienti cu volume cunoscute și la o temperatură constantă, respectiv temperatura ambiantă, ce permite aplicarea legii Boyle-Mariotte:

$$pV = \text{const.} \quad (2-1)$$

De asemenea, se ține cont și de legea lui Dalton care arată că, la o temperatură dată, presiunea unui amestec gazos p_{am} este egală cu suma presiunilor parțiale ale fiecărui gaz component p_{g_i} ($i = 1, 2, \dots, n$). Astfel, pentru un amestec de n gaze, legea lui Dalton se poate scrie:

Amestecuri de gaze utilizate la aparatele speciale de respirat sub apă

$$p_{am} = \sum_{i=1}^n p_{g_i} = p_{g_1} + p_{g_2} + \dots + p_{g_i} + \dots + p_{g_n} , \quad (2-2)$$

iar legea lui Amagat se scrie:

$$\sum_{i=1}^n r_{g_i} = r_{g_1} + r_{g_2} + \dots + r_{g_i} + \dots + r_{g_n} = 1. \quad (2-3)$$

Presiunea parțială a unui gaz component dintr-un amestec de gaze se obține prin înmulțirea presiunii amestecului de gaze cu participația volumică r_{g_i} a gazului component considerat:

$$p_{g_i} = p_{am} r_{g_i} . \quad (2-4)$$

Pentru a se putea calcula mai ușor un amestec de gaze în vederea fabricării acestuia, se propune o schemă simplă. Astfel, se reprezintă recipientul în care se dorește prepararea amestecului cu un dreptunghi (fig. 2.1) și se presupune că gazele rămân stratificate fără să se amestece. Deci, în dreptunghiul "recipient" se poate reprezenta fiecare gaz component înscriind în fiecare compartiment gazul sau amestecul de gaze considerat. În dreapta dreptunghiului "recipient" se notează presiunile parțiale finale ale fiecărui gaz sau amestec gazos component $p_{g_i,f}$ și presiunea finală a amestecului $p_{am,f}$ exprimate în scară manometrică, iar în stânga se notează participațiile volumice $r_{g_i}^{(j)}$ ale gazului pur i din amestecurile injectate prin fiecare tranșă de injecție (j), precum și concentrația finală dorită a acestui gaz $r_{g_i,f}$ din amestecul care este propus a fi obținut în recipient.

Participații volumice pentru gazul g_i		Presiuni finale		
Finală	Pe tranșă		Presiuni parțiale	Presiunea amestecului
$r_{g_i,f}$	$r_{g_i}^{(n)}$	Tranșa (n) $r_{g_1}^{(n)} + r_{g_2}^{(n)} + \dots + r_{g_i}^{(n)} + \dots + r_{g_n}^{(n)} = 1$	$p_{g_n,f}$	$p_{am,f}$
	$r_{g_i}^{(3)}$	Tranșa (3) $r_{g_1}^{(3)} + r_{g_2}^{(3)} + \dots + r_{g_i}^{(3)} + \dots + r_{g_n}^{(3)} = 1$	$p_{g_3,f}$	
	$r_{g_i}^{(2)}$	Tranșa (2) $r_{g_1}^{(2)} + r_{g_2}^{(2)} + \dots + r_{g_i}^{(2)} + \dots + r_{g_n}^{(2)} = 1$	$p_{g_2,f}$	
	$r_{g_i}^{(1)}$	Tranșa (1) $r_{g_1}^{(1)} + r_{g_2}^{(1)} + \dots + r_{g_i}^{(1)} + \dots + r_{g_n}^{(1)} = 1$	$p_{g_1,f}$	

Fig. 2.1. Schema generală de calcul pentru fabricarea unui amestec respirator de gaze.

Pe baza schemei din figura 2.1 și a relațiilor prezentate mai sus se poate exprima presiunea parțială finală a unui gaz component astfel:

$$p_{g_i,f} = p_{am,f} r_{g_i,f} =$$

$$= p_{g_1,f} r_{g_i}^{(1)} + p_{g_2,f} r_{g_i}^{(2)} + \dots + p_{g_i,f} r_{g_i}^{(j)} + \dots + p_{g_n,f} r_{g_i}^{(n)} \quad (2-5)$$

unde exponentul $(j)[(j) = (1), (2) \dots (n)]$ reprezintă numărul tranșei de injecție de gaze în recipient. Pentru o mai bună înțelegere, în cele ce urmează se prezintă câteva cazuri întâlnite mai des la fabricarea amestecurilor gazoase binare.

2.2.1.1. Fabricarea unui amestec binar NITROX pornind de la gaze pure: oxigen și azot

Schema recipientului pentru calculul fabricării amestecului NITROX din gaze pure este prezentată în figura 2.2.

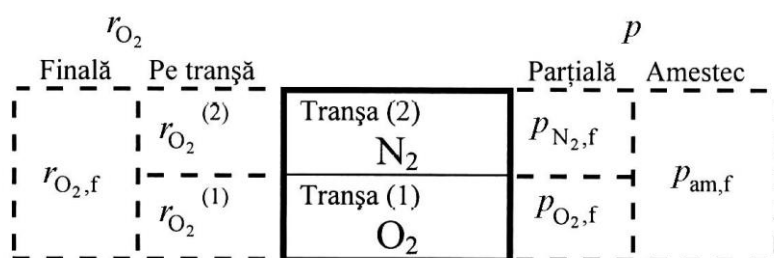


Fig. 2.2. Schema de calcul pentru fabricarea unui amestec respirator NITROX pornind de la oxigen și azot.

Pentru acest caz, relația (2-5) devine:

$$p_{O_2,f} = p_{am,f} r_{O_2,f} = p_{O_2,f} r_{O_2}^{(1)} + p_{N_2,f} r_{O_2}^{(2)}. \quad (2-6)$$

Astfel, calculul fabricării unui amestec NITROX 30/70 (30% oxigen și 70% azot) la presiunea de 200 bar (sc. man.), se reduce la rezolvarea ecuației scrise pe baza schemei de calcul din figura 2.3:

$$200 \cdot 0,3 = x \cdot 1 + (200 - x) \cdot 0, \quad (2-7)$$

de unde rezultă $x = 60$ bar (sc. man.) care reprezintă atât valoarea presiunii parțiale finale a oxigenului cât și presiunea la sfârșitul primei tranșe de presurizare a recipientului prin injecție de oxigen pur.

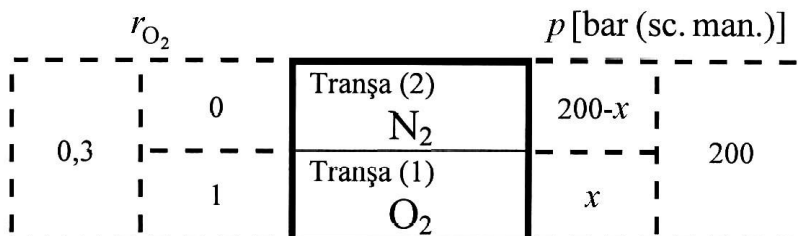


Fig. 2.3. Schema de calcul pentru fabricarea unui amestec respirator NITROX 30/70 din oxigen și azot.

Prin urmare, amestecul NITROX 30/70 la 200 bar (sc. man.) se va fabrica astfel: se presurizează recipientul mai întâi cu oxigen pur până când presiunea devine 60 bar (sc. man.), apoi se presurizează în continuare recipientul cu azot pur cu încă 140 bar, până când presiunea amestecului din recipient devine egală cu 200 bar (sc. man.).

2.2.1.2. Fabricarea unui amestec NITROX din oxigen și aer

Având în vedere normele de tehnica securității muncii, este recomandabil să se evite manevrarea oxigenului pur la presiuni înalte, motiv pentru care, pentru fabricarea unui amestec binar NITROX din oxigen și aer, se va proceda la injectarea de aer (21% oxigen și 79% azot) în oxigenul stocat în recipient.

Astfel, pentru fabricarea unui amestec NITROX 30/70 (30% oxigen și 70% azot) la presiunea de 200 bar (sc. man.), se va rezolva ecuația de mai jos, corespunzătoare schemei de calcul din figura 2.4:

$$p_{am,f} r_{N_2,f} = p_{O_2,f} r_{N_2}^{(1)} + p_{aer,f} r_{N_2}^{(2)}, \quad (2-8)$$

adică:

$$200 \cdot 0,7 = (200 - x) \cdot 0 + x \cdot 0,79, \quad (2-9)$$

de unde rezultă $x = 177,2$ bar (sc. man.).

Deci, amestecul NITROX 30/70 la 200 bar (sc. man.) se va fabrica astfel: se presurizează mai întâi cu oxigen pur până când presiunea devine $200 - 177,2 = 22,8$ bar (sc. man.), după care se continuă presurizarea cu încă 177,2 bar cu aer, până când presiunea amestecului din recipient devine egală cu 200 bar (sc. man.).

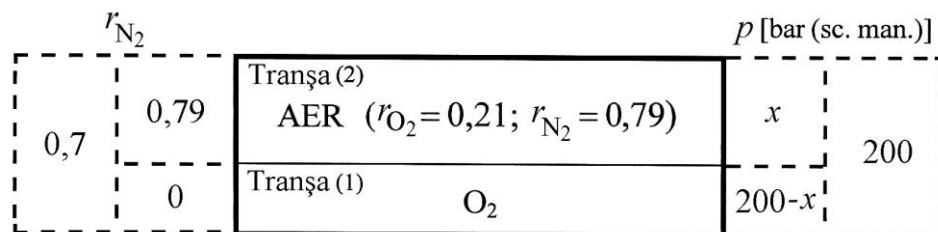


Fig. 2.4. Schema de calcul pentru fabricarea unui amestec respirator NITROX 30/70 din oxigen și aer.

Deoarece amestecurile respiratorii binare NITROX sunt cele mai utilizate în scufundările industriale, dar mai ales în cele cu scop militar și datorită faptului că metoda fabricării acestor amestecuri prin injectare succesivă de oxigen și aer este cea mai utilizată, în tabelul 2.1 se prezintă variațiile de presiune rezultate prin cele două tranșe de presurizare, mai întâi cu oxigen și apoi cu aer, în vederea obținerii amestecurilor respiratorii binare NITROX, la o presiune finală de 200 bar (sc. man.).

Tabelul 2.1

Fabricarea amestecurilor NITROX prin injectarea succesivă de oxigen și aer

Amestec NITROX [% O ₂ / % N ₂]	Presiunea din recipient după presurizarea cu oxigen pur [bar (sc. man.)]	Creșterea de presiune prin presurizarea cu aer [bar]	Presiunea finală a amestecului [bar (sc. man.)]
60/40	98,7	101,3	200
50/50	73,4	126,6	200
40/60	48,1	151,9	200
32,5/67,5	29,1	170,9	200
32/68	27,8	172,2	200
30/70	22,8	177,2	200

La fabricarea amestecurilor NITROX se utilizează oxigen cu puritate ridicată (minimum 99,5% O₂) și aer respirator corespunzător normativelor în vigoare (21% O₂ și 79% N₂).

2.2.1.3. Fabricarea unui amestec HELIOX din heliu și oxigen

Datorită diferenței mari de densitate dintre cele două gaze, întotdeauna se injectează oxigenul peste heliu și aceasta cât mai violent posibil pentru a se realiza o mai bună omogenizare a amestecului. Spre exemplu, pentru fabricarea unui amestec HELIOX 20/80 (20% oxigen și 80% heliu) la 200 bar (sc. man.), schema recipientului va fi cea din figura 2.5, iar ecuația corespunzătoare va fi:

$$p_{am,f} \cdot r_{O_2,f} = p_{He,f} \cdot r_{O_2}^{(1)} + p_{O_2,f} \cdot r_{O_2}^{(2)}, \quad (2-10)$$

adică:

$$200 \cdot 0,2 = (200 - x) \cdot 0 + x \cdot 1, \quad (2-11)$$

de unde rezultă $x = 40$ bar (sc. man.).

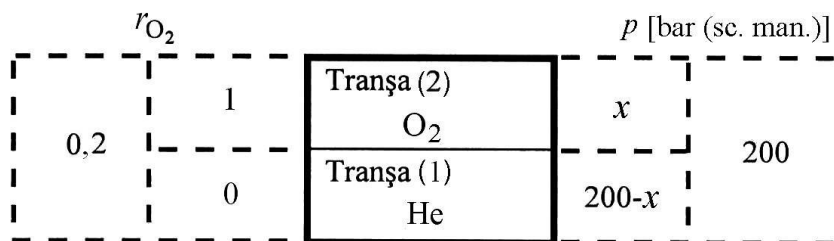


Fig. 2.5. Schema de calcul pentru fabricarea unui amestec respirator HELIOX 20/80 din heliu și oxigen.

Prin urmare, amestecul HELIOX 20/80 la 200 bar (sc. man.) se va fabrica astfel: se presurizează recipientul mai întâi cu heliu pur până la presiunea $200 - 40 = 160$ bar (sc. man.), iar, în continuare, se continuă presurizarea cu încă 40 bar cu oxigen pur până când presiunea amestecului din recipient devine egală cu 200 bar (sc. man.).

2.2.1.4. Fabricarea unui amestec HELIOX din alte amestecuri HELIOX și gaze pure

Metoda de fabricare a unui amestec HELIOX din alt amestec HELIOX, se utilizează atunci când se dorește economisirea heliului. Spre exemplu, se consideră un amestec HELIOX 10/90 (10% O₂ și 90% He) aflat într-un recipient la presiunea de 20 bar (sc. man.) și un amestec HELIOX 14/86 (14% O₂ și 86% He) aflat într-un alt recipient la presiunea de 160 bar (sc. man.) și se dorește ca să se fabrice un amestec HELIOX 12/88 (12% O₂ și 88% He) la 200 bar (sc. man.). Inițial, nu se cunoaște dacă trebuie adăugat heliu sau oxigen pur și, de aceea, schema inițială a recipientului de calcul va fi cea din figura 2.6, iar ecuația corespunzătoare va fi:

$$200 \cdot 0,12 = x \cdot 1 + 160 \cdot 0,14 + (200 - 160 - 20 - x) \cdot 0 + 20 \cdot 0,10 \quad (2-12)$$

de unde rezultă $x = -0,4$, lucru imposibil. De aceea, se revine asupra schemei recipientului, renunțându-se la injectarea oxigenului. Schema recipientului de calcul va fi cea din figura 2.7, iar ecuația corespunzătoare va fi:

$$200 \cdot 0,12 = x \cdot 0,14 + (200 - 20 - x) \cdot 0 + 20 \cdot 0,10 \quad (2-13)$$

de unde rezultă $x = 157,14$ bar (sc. man.)

Amestecuri de gaze utilizate la aparatele speciale de respirat sub apă

r_{O_2}		p [bar (sc. man.)]	
0,12	1	O ₂	x
	0,14	HELIOX 14/86 ($r_{O_2}=0,14, r_{He}=0,86$)	160
	0	He	200-160-20- x
	0,10	HELIOX 10/90 ($r_{O_2}=0,10, r_{He}=0,90$)	20
		200	

Fig. 2.6. Schema inițială de calcul pentru fabricarea unui amestec HELIOX 12/88 din alte amestecuri HELIOX și gaze pure.

r_{O_2}		p [bar (sc. man.)]	
0,12	0,14	HELIOX 14/86 ($r_{O_2}=0,14, r_{He}=0,86$)	x
	0	He	200 - 20 - x
	0,10	HELIOX 10/90 ($r_{O_2}=0,10, r_{He}=0,90$)	20
		200	

Fig. 2.7. Schema finală de calcul pentru fabricarea unui amestec HELIOX 12/88 din alte amestecuri HELIOX și gaze pure.

Deci, amestecul HELIOX 12/88 la 200 bar (sc. man.) se obține astfel: recipientul conținând amestecul HELIOX 10/90 la presiunea de 20 bar (sc. man.) se presurizează, în continuare, cu încă $200 - 20 - 157,14 = 22,86$ bar (sc. man.), cu heliu pur, după care se continuă presurizarea cu încă 157,14 bar (sc. man.) cu amestec HELIOX 14/86 până când presiunea amestecului din recipient devine egală cu 200 bar (sc. man.).

2.2.2. FABRICAREA AMESTECURILOR RESPIRATORII TERNARE

Pentru fabricarea amestecurilor ternare se aplică aceeași metodă ca cea prezentată la fabricarea amestecurilor binare. Astfel, pentru fabricarea amestecurilor ternare heliu-azot-oxigen (TRIMIX) se pot utiliza fie heliu și aer, fie heliu și amestec binar azot-oxigen (NITROX). În primul caz se presurizează mai întâi recipientul cu heliu, apoi se continuă presurizarea cu aer. În al doilea caz, se fabrică mai întâi amestecul binar NITROX care apoi se injectează în recipient peste heliu.

2.3. CORECTAREA AMESTECURILOR DE GAZE

Indiferent de metoda utilizată pentru fabricarea amestecurilor de gaze, este necesar controlul permanent al participațiilor gazelor componente ale amestecurilor cu ajutorul unor analizoare de gaze specializate și corectarea acestora în vederea obținerii amestecurilor dorite.

Corectarea amestecurilor respiratorii de gaze se face după analiza lor din punct de vedere al concentrației de oxigen. În cele ce urmează se vor prezenta patru cazuri de corecție a amestecurilor respiratorii.

2.3.1. CORECTAREA UNUI AMESTEC HELIOX PEA SĂRAC ÎN OXIGEN

Se consideră că se dispune de un amestec HELIOX 10/90 (10% O₂ și 90% He) aflat într-un recipient la presiunea de 180 bar (sc. man.) și se dorește corectarea acestuia pentru obținerea unui amestec HELIOX 12/88 (12% O₂ și 88% He). În acest caz nu se cunoaște presiunea finală a amestecului dorit. Schema recipientului este cea din figura 2.8, iar ecuația corespunzătoare va fi:

$$x \cdot 0,88 = 180 \cdot 0,9 + (x - 180) \cdot 0, \quad (2-14)$$

de unde rezultă $x = 184$ bar (sc. man.)

Prin urmare, amestecul HELIOX 12/88 se obține astfel: peste amestecul HELIOX 10/90 aflat la 180 bar (sc. man.) se injectează 4 bar (sc. man.) oxigen pur, până când presiunea ajunge la valoarea finală de 184 bar (sc. man.).

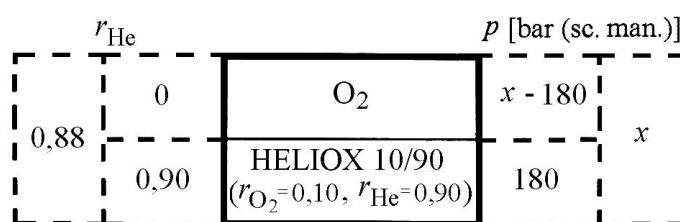


Fig. 2.8. Schema de calcul privind corectarea amestecului HELIOX 10/90 pentru obținerea amestecului HELIOX 12/88.

2.3.2. CORECTAREA UNUI AMESTEC HELIOX PEA BOGAT ÎN OXIGEN

Datorită diferenței mari de densitate dintre heliul pur și un amestec HELIOX, întotdeauna amestecul HELIOX se va injecta peste heliul aflat în recipient.

Spre exemplu, se consideră un amestec HELIOX 12/88 (12% O₂ și 88% He) la presiunea de 150 bar (sc. man.) și se dorește corectarea acestuia în vederea obținerii unui amestec HELIOX 10/90 (10% O₂ și 90% He). Și în acest caz nu se cunoaște presiunea finală a amestecului dorit. Pentru o astfel de corectare pot fi folosite două variante: varianta utilizării unui compresor și a unei bașe recuperatoare și varianta utilizării unui supresor.

a. Dacă pentru fabricarea amestecului se folosește un compresor și o bașă recuperatoare, se poate utiliza întregul amestec HELIOX și schema recipientului de calcul este prezentată în figura 2.9.

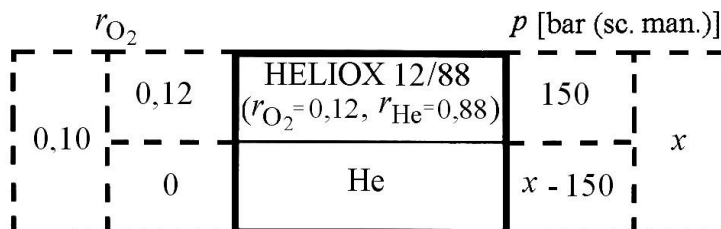


Fig. 2.9. Schema de calcul pentru fabricarea amestecului HELIOX 10/90 prin corectarea unui amestec HELIOX 12/88 (cazul utilizării unui compresor și a unei bașe recuperatoare).

Se poate scrie ecuația corespunzătoare acestui caz:

$$x \cdot 0,10 = 150 \cdot 0,12 + (x - 150) \cdot 0, \quad (2-15)$$

de unde rezultă $x = 180$ bar (sc. man.)

Deci, în acest caz, pentru obținerea amestecului HELIOX 10/90 se procedează astfel: într-un recipient cu heliu la 30 bar (sc. man.) se vor injecta 150 bar (sc. man.) amestec HELIOX 12/88, deci până presiunea finală din recipient devine 180 bar (sc. man.).

b. Dacă pentru fabricarea amestecului se folosește un surpresor care aspiră de la 20 bar (sc. man.) atunci din amestecul HELIOX 12/88 se pot utiliza numai 130 bar (sc. man.), iar schema de calcul este arătată în figura 2.10.

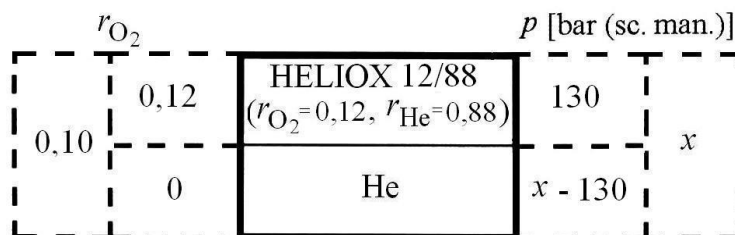


Fig. 2.10. Schema de calcul pentru fabricarea amestecului HELIOX 10/90 prin corectarea unui amestec HELIOX 12/88 (cazul utilizării unui surpresor).

Se poate scrie ecuația pentru acest caz:

$$x \cdot 0,10 = 130 \cdot 0,12 + (x - 130) \cdot 0, \quad (2-16)$$

de unde rezultă $x = 156$ bar (sc. man.).

Deci, în acest caz, pentru obținerea amestecului HELIOX 10/90 se procedează astfel: într-un recipient cu heliu la 26 bar (sc. man.) se vor injecta 130 bar (sc. man.) amestec HELIOX 12/88, până când presiunea finală din recipient devine 156 bar (sc. man.)

2.3.3. CORECTAREA UNUI AMESTEC NITROX PREA SĂRAC ÎN OXIGEN

În principiu, ar trebui injectat oxigen în amestecul NITROX inițial dar, din motive de protecția muncii este preferabil să se injecteze amestecul NITROX inițial peste oxigen.

Spre exemplu, se consideră un amestec NITROX 30/70 (30% O_2 și 70% N_2) aflat la presiunea de 160 bar (sc. man.) și se dorește realizarea unui amestec NITROX 40/60 (40% O_2 și 60% N_2). Schema de calcul este prezentată în figura 2.11.

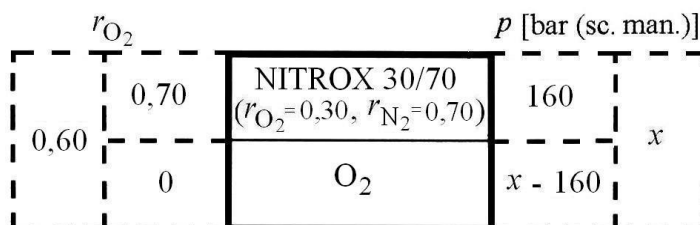


Fig. 2.11. Schema de calcul pentru fabricarea amestecului NITROX 40/60 prin corectarea unui amestec NITROX 30/70.

Ecuația caracteristică a acestui caz este:

$$x \cdot 0,60 = 160 \cdot 0,70 + (x - 160) \cdot 0, \quad (2-17)$$

de unde rezultă $x = 186$ bar (sc. man.)

Prin urmare, amestecul NITROX 40/60 se obține astfel: într-un recipient cu oxigen aflat la presiunea de 26 bar (sc. man.), se injectează 160 bar (sc. man.) de amestec NITROX 30/70 până când presiunea din recipient devine egală cu 186 bar (sc. man.).

2.3.4. CORECTAREA UNUI AMESTEC NITROX PEA BOGAT ÎN OXIGEN

Pentru efectuarea unei astfel de corectări, s-ar putea injecta azot în amestecul inițial de NITROX prea bogat în oxigen dar, din motive de economie, se preferă injectarea de aer, acesta fiind oricând la dispoziție.

Spre exemplu, se consideră că se dispune de un amestec NITROX 40/60 (40% O₂ și 60% N₂) la presiunea de 130 bar (sc. man.) și se dorește realizarea unui amestec NITROX 30/70 (30% O₂ și 70% N₂).

Schema de calcul pentru acest caz este prezentată în figura 2.12.

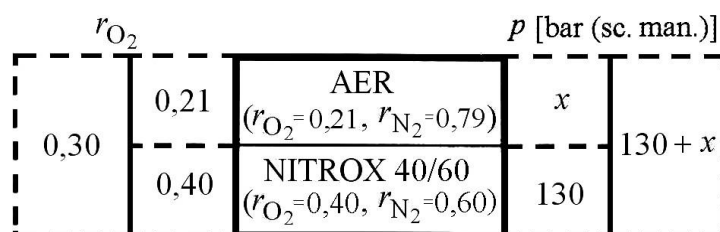


Fig. 2.12. Schema inițială de calcul pentru fabricarea amestecului NITROX 30/70 prin corectarea unui amestec NITROX 40/60.

Ecuatia caracteristică acestui caz este:

$$(130 + x) \cdot 0,30 = x \cdot 0,21 + 130 \cdot 0,40, \quad (2-18)$$

de unde rezultă $x = 144$ bar (sc. man.). Presiunea finală ar fi $130 + 144 = 274$ bar (sc. man.), aceasta depășind presiunea maximă admisibilă a recipientului. De aceea, datele problemei vor fi modificate, impunându-se presiunea finală a amestecului dorit de 196 bar (sc. man.) și, pentru acest caz, noua schemă de calcul este prezentată în figura 2.13.

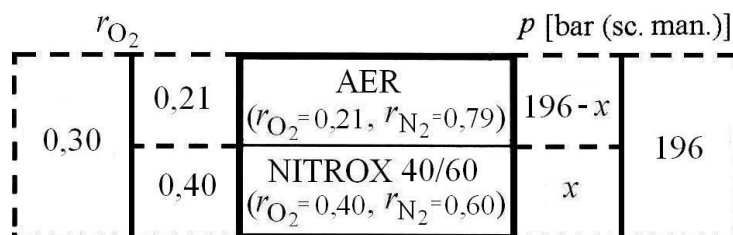


Fig. 2.13. Schema finală de calcul pentru fabricarea amestecului NITROX 30/70 prin corectarea unui amestec NITROX 40/60.

Pentru noua schemă de calcul se poate scrie ecuația:

$$196 \cdot 0,30 = (196 - x) \cdot 0,21 + x \cdot 0,40, \quad (2-19)$$

de unde rezultă $x = 93$ bar (sc. man.).

Prin urmare, pentru fabricarea amestecului NITROX 30/70 va trebui să se transvazeze sau să renunțe la $130 - 93 = 37$ bar (sc. man.) din amestecul NITROX 40/60 pentru a se putea face corecția impusă. Apoi, peste amestecul NITROX 40/60 aflat la 93 bar (sc. man.) se injectează $196 - 93 = 103$ bar (sc. man.) aer până când presiunea finală din recipient devine egală cu 196 bar (sc. man.).

2.4. PROCEDEE ȘI INSTALAȚII PENTRU PREPARAREA AMESTECURILOR RESPIRATORII

Pentru prepararea amestecurilor binare și ternare de gaze, pot fi utilizate mai multe procedee. În continuare, se prezintă câteva procedee întâlnite mai des în prepararea amestecurilor gazoase utilizate pentru aparatele de respirat sub apă speciale.

2.4.1. PROCEDEU ȘI INSTALAȚIE DE PREPARARE A AMESTECULUI RESPIRATOR NITROX PRIN INECȚIE SUCCESIVĂ DE OXIGEN ȘI AER

Procedeul de preparare a amestecului respirator NITROX prin inecție succesivă de oxigen și aer, presupune injectarea de oxigen pur într-o butelie de scufundare unde, mai apoi, este introdus aer comprimat „curat”, numit și aer compatibil cu oxigenul (Oxygen Compatible Air) realizându-se astfel amestecul dorit. Trebuie spus că termenul „curat” este o noțiune relativă, calitatea aerului respirabil fiind stabilită în standarde precum CGA Grade E, BS4275 sau DIN 3188.

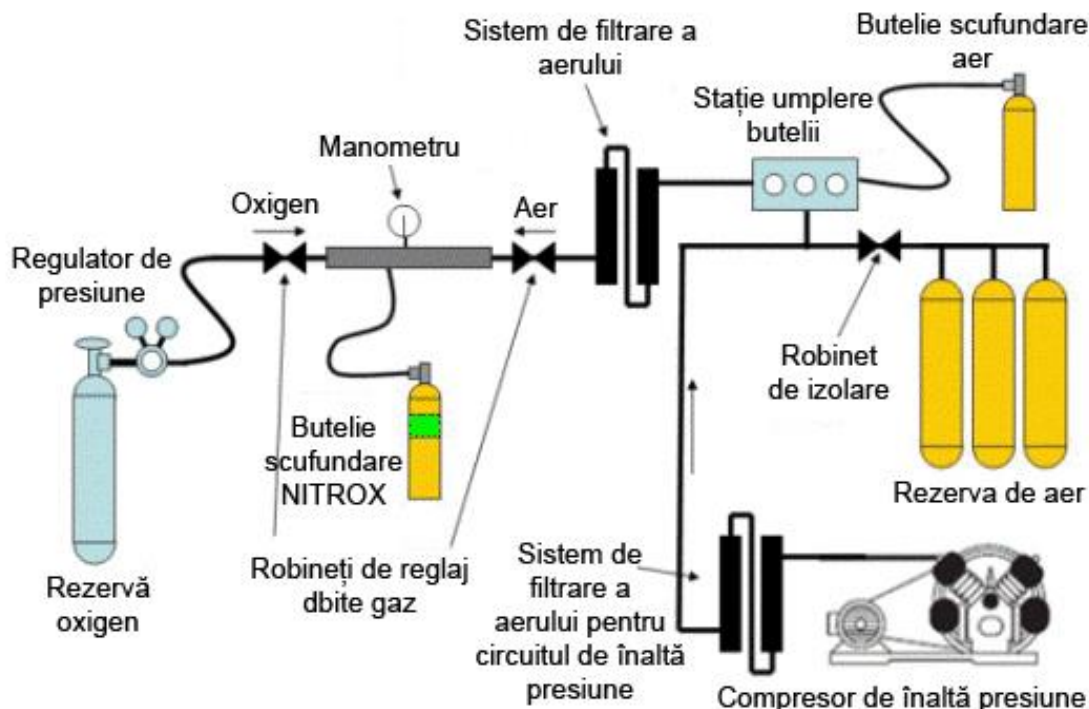


Fig. 2.14. Schema instalației de preparare a amestecurilor NITROX prin procedeu bazat pe inecție succesivă de oxigen și aer.

În ceea ce privește noțiunea de „compatibilitate” a aerului comprimat folosit la prepararea amestecurilor NITROX, aceasta se referă la o serie de criterii operaționale

legate de amestecarea aerului cu oxigen pur sau cu un amestec bogat în oxigen. Trebuie menționat faptul că nu există un standard unic legat de calitatea aerului utilizat la crearea amestecurilor NITROX.

În anul 1992 agențiile de formare în domeniul scufundărilor și alte agenții guvernamentale din S.U.A., la întâlnirea din Orlando, Florida, au căzut de acord asupra unui set de standarde privind aerul compatibil cu oxigenul. Aceste standarde reprezintă o aprobare unanimă bazată pe cunoaștere, experiență și tehnologiile disponibile la acea dată.

În figura 2.14 este prezentată, schematic, o instalație pentru prepararea amestecurilor NITROX prin procedeul bazat pe injecție succesivă de oxigen și aer.

Avantajele acestui procedeu de preparare sunt:

- costuri inițiale reduse;
- capabil să producă amestecuri cu orice procentaj.

Dezavantajele procedurii sunt:

- procesul de încărcare al buteliilor necesită un volum mare de muncă și este lent, circa 20 ... 30 minute o butelie;
- buteliile și sistemul de umplere trebuie să respecte normele privind puritatea oxigenului;
- potențial periculos în cazul în care în butelie ajunge în mod accidental ulei (efect diesel ce duce la explozie);
- nu se poate folosi întreaga cantitate de oxigen din butelia ce înmagazinează acest gaz; pentru a depăși acest neajuns este nevoie de o pompă specială (booster);
- realizarea corectă și precisă a amestecului depinde de priceperea operatorului instalației este nevoie să se prevadă un stoc de butelii cu oxigen.

2.4.2. PROCEDU ȘI INSTALAȚIE DE PREPARARE A AMESTECULUI RESPIRATOR NITROX PRIN INECȚIE SUCCESIVĂ ÎN DOUĂ ETAPE

Pentru exemplificarea modului concret în care se fabrică amestecurile respiratorii prin *procedeul de preparare a amestecului respirator NITROX prin inecție succesivă în două etape*, în figura 2.15 se prezintă schema unei instalații pentru fabricarea de amestecuri NITROX prin inecție succesivă în două etape în vederea încărcării cu acest amestec a buteliilor aparatelor de respirat sub apă speciale.

Instalația este alcătuită, în primul rând, dintr-un *compresor de aer*, la ieșirea căruia s-a prevăzut un *element de filtrare suplimentar* pentru eliminarea tuturor urmelor de ulei. De aici, aerul sub presiune este trimis la tabloul de manevră și control (fig. 2.16). Acesta comportă și o a doua intrare și anume intrarea oxigenului pur furnizat de *butelii de oxigen* de 50 l cu oxigen stocat la 200 bar (sc. man.). Cele două circuite, echipate cu robinete și clapete anti-retur, duc la un ansamblu de *butelii tampon* (fig. 2.17) unde se stochează amestecul NITROX primar 40/60 (40% oxigen și 60% azot) obținut prin amestecare de oxigen și aer. Trebuie menționat faptul că doar partea de circuit cuprinsă între buteliile de oxigen pur și buteliile tampon de NITROX 40/60 trebuie degresate conform normelor de lucru cu oxigen, prin restul circuitelor de umplere,

Amestecuri de gaze utilizate la aparatele speciale de respirat sub apă

între buteliile tampon și *buteliile de scufundare*, circulând amestecuri NITROX cu un procentaj de oxigen de până la 40%, deci fără risc.

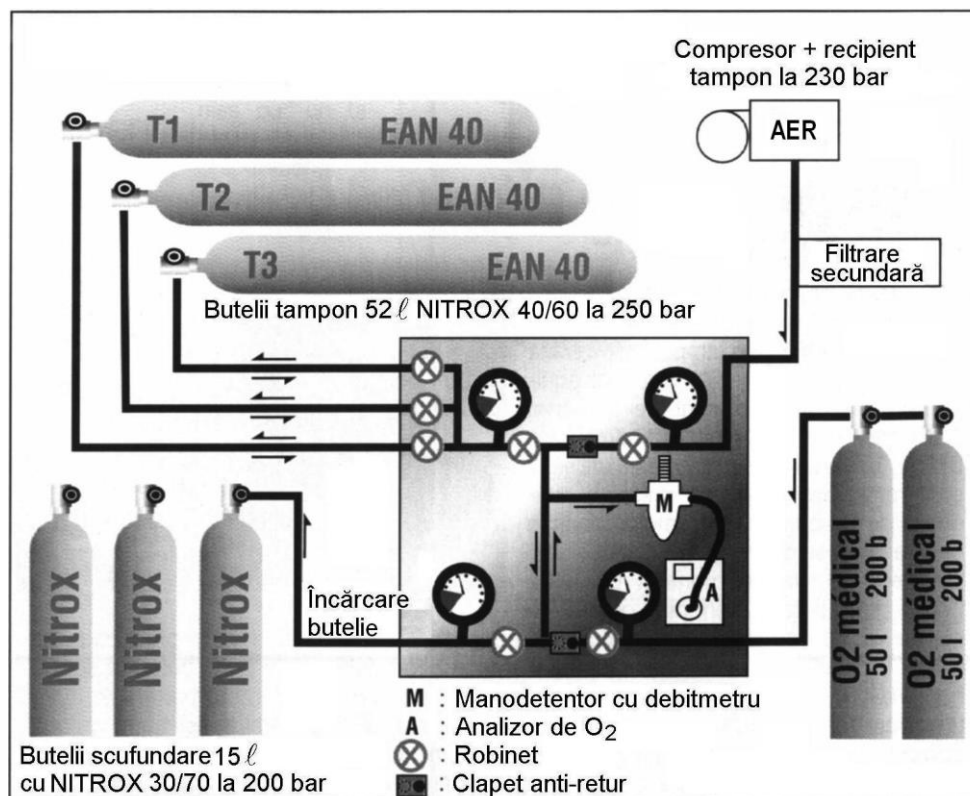


Fig. 2.15. Schema unei instalații de fabricare de amestecuri NITROX pentru încărcarea buteliilor de scufundare.

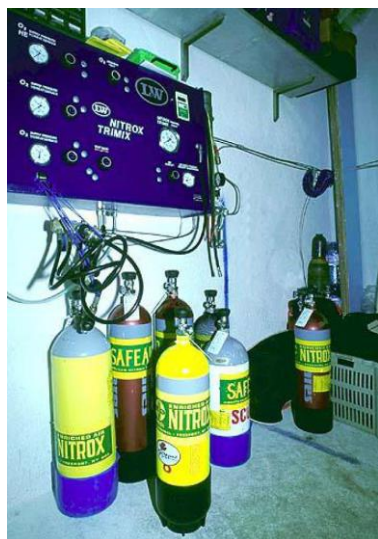


Fig. 2.16. Tabloul de manevră și control al instalației de preparare a amestecurilor NITROX.



Fig. 2.17. Buteliile tampon pentru stocarea de amestec NITROX primar 40/60.

În continuare, se prezintă un exemplu concret de preparare a unui amestec NITROX 30/70 (30% oxigen și 70% azot) în buteliile de scufundare ce trebuie

umplute cu acest amestec la presiunea de 200 bar (sc. man.). Prepararea acestui amestec se face în două etape:

– în prima etapă se fabrică amestecul primar NITROX 40/60 din oxigen și aer în buteliile tampon la 250 bar (sc. man.), ecuația corespunzătoare fiind:

$$250 \cdot 0,6 = (250 \cdot x) \cdot 0 + x \cdot 0,79, \quad (2-20)$$

de unde rezultă $x \cong 190$ bar (sc. man.); prin urmare, amestecul NITROX 40/60 la 250 bar (sc. man.) se prepară astfel: se presurizează buteliile tampon mai întâi cu oxigen pur livrat din buteliile de oxigen până când presiunea din buteliile tampon devine $250 - 190 = 60$ bar (sc. man.), după care, cu ajutorul compresorului de aer se continuă presurizarea cu încă 190 bar cu aer comprimat, până când presiunea amestecului din buteliile tampon devine egală cu 250 bar (sc. man.); astfel, s-a obținut în buteliile tampon un amestec primar NITROX 40/60, la presiunea de 250 bar (sc. man.); această primă serie de operațiuni se va relua de fiecare dată când este necesar să se obțină o rezervă suficientă de NITROX 40/60 la o presiune superioară presiunii de 150 bar (sc. man.), caz limită de umplere cu NITROX a buteliilor de scufundare;

– în a doua etapă, se prepară amestecul NITROX definitiv în buteliile de scufundare la procentajul de oxigen dorit, pornind la amestecul NITROX primar; pentru exemplificare se prezintă cazul în care se dorește prepararea unui amestec NITROX 30/70 (30% oxigen și 70% azot) la presiunea de 200 bar (sc. man.), în buteliile de scufundare, prin corectarea amestecului NITROX 40/60 cu aer comprimat furnizat de compresor; procedura este cea privind corectarea unui amestec NITROX prea bogat în oxigen, ecuația caracteristică fiind:

$$200 \cdot 0,30 = (200 - x) \cdot 0,21 + x \cdot 0,40, \quad (2-21)$$

de unde rezultă $x \cong 95$ bar (sc. man.); prin urmare, pentru fabricarea amestecului NITROX 30/70 la 200 bar (sc. man.), se presurizează butelia de scufundare cu amestec NITROX 40/60 din buteliile tampon, până când presiunea din butelia de scufundare devine egală cu 95 bar (sc. man.), după care, cu ajutorul compresorului se injectează în butelia de scufundare $200 - 95 = 105$ bar aer comprimat, până când presiunea din butelia de scufundare devine egală cu 200 bar (sc. man.); astfel, în butelia de scufundare s-a obținut un amestec NITROX 30/70 la presiunea dorită de 200 bar (sc. man.).

Cu aceeași instalație, se pot prepara și amestecuri NITROX la un procentaj de oxigen superior lui 40% (în acest caz, toată instalația și buteliile de scufundare trebuie degresate). Astfel, este suficient de a injecta în buteliile de scufundare oxigen pur din buteliile de oxigen și apoi de a completa, prin injectare de amestec primar NITROX 40/60, până la presiunea dorită, urmând procedura de corectare a unui amestec NITROX prea sărac în oxigen.

Fiecare dintre circuite este echipat cu câte un *manometru cu clasă superioară* de precizie, pentru a se asigura prepararea unui amestec cu concentrație volumică de oxigen cât mai exactă. Tabloul de manevră și control mai este echipat cu un *manodetentor* și cu un *analizor de oxigen* care permite controlarea amestecului preparat în fiecare butelie de scufundare. De asemenea, se mai poate utiliza un analizor de mână ce poate fi bransat la ieșirea fiecăreia dintre buteliile de scufundare. În cazul în care analizorul de oxigen este integrat tabloului de manevră și control, trebuie purjat circuitul de analiză pentru fiecare butelie controlată.

Amestecuri de gaze utilizate la aparatele speciale de respirat sub apă

Pentru prepararea locală de amestecuri respiratorii binare sau ternare se pot utiliza instalații portabile (fig. 2.18) de mici dimensiuni care cuprind un *tablou de control* de mici dimensiuni sub forma unei valize, prevăzut cu trei bransamente: primul este pentru intrare oxigen pur de la o *butelie de oxigen medical*, al doilea este pentru intrare aer comprimat de la un *compresor portabil* și al treilea pentru ieșire gaze către *butelia de scufundare*. Fiecare circuit este echipat cu câte un manometru, umplerea buteliei de scufundare fiind reglată printr-un manometru de precizie, de preferință digital.

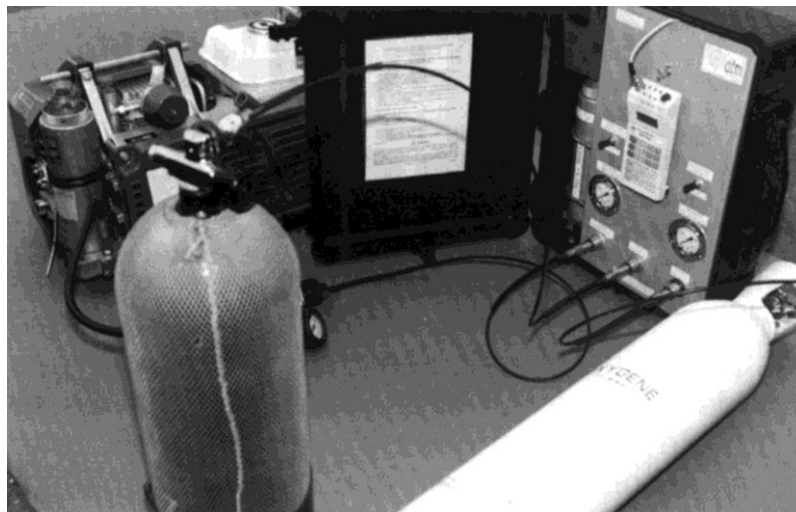


Fig. 2.18. Instalație portabilă pentru prepararea locală a amestecurilor respiratorii.



Fig. 2.19. Instalație pentru prepararea unor cantități mari de amestecuri respiratorii.

Pentru prepararea de amestecuri respiratorii binare sau ternare în cantitate mare și foarte mare care să asigure stocaje importante de amestecuri pentru scufundări colective în sisteme hiperbare specializate, se vor utiliza *instalații de fabricare a amestecurilor respiratorii de mari dimensiuni* așa cum este cea prezentată în figura 2.19.

2.4.3. PROCEDEU ȘI INSTALAȚIE DE PREPARARE A AMESTECULUI RESPIRATOR NITROX PRIN SEPARAREA AZOTULUI CU AJUTORUL MEMBRANELOR

Procedeul de preparare a amestecului respirator NITROX prin separarea azotului cu ajutorul membranelor, a cărei instalație este prezentată în figura 2.21, a fost utilizat inițial în industria sudurii pentru producerea azotului. Presupune utilizarea unei surse de aer furnizat la o presiune redusă. Curentul de aer format este dirijat printr-un dispozitiv de separare cu membrane (fig. 2.20). Membranele sunt de două tipuri, una destinată trecerii azotului, iar cealaltă pentru permeat (amestec NITROX îmbogățit în oxigen) care este distribuit compresorului de înaltă presiune.

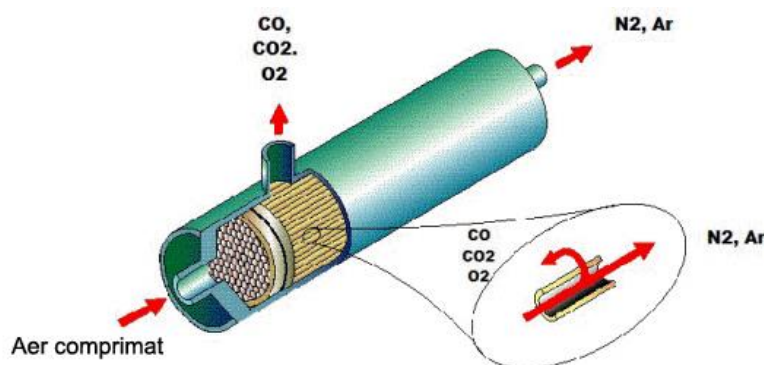


Fig. 2.20. Dispozitiv de separare cu membrane.

Conținutul de oxigen este reglat fie prin modificarea presiunii de furnizare către membrane, fie prin reglarea deschiderii destinată trecerii azotului. Funcționarea optimă a sistemului de membrane se realizează după circa 30 de minute de la punerea în funcțiune.

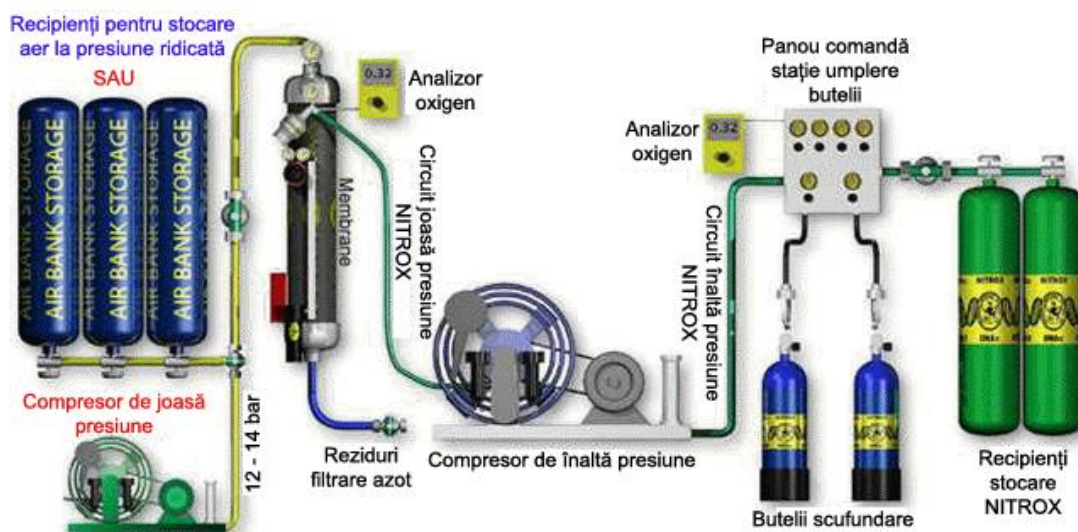


Fig. 2.21. Schema instalației de preparare a amestecurilor NITROX prin procedeul de separare a azotului cu ajutorul membranelor.

Amestecuri de gaze utilizate la aparatele speciale de respirat sub apă

Compresorul de înaltă presiune este conectat fie direct la buteliile utilizate pentru scufundări, fie la recipientii de stocare a amestecului binar NITROX.

Avantajele procedurii de preparare a amestecului sunt:

- nu necesită oxigen stocat în butelii (independență față de producătorii de oxigen);
- se poate fabrica amestec NITROX în condiții de siguranță (până la 40%);
- sistemul de umplere și buteliile nu trebuie să respecte condiții legate de necesitatea absenței oxigenului în fază inițială.

Dezavantajele procedurii sunt:

- costuri de achiziție mari;
- punerea în funcțiune a sistemului este greoaie, iar explorarea acestuia este dificilă; reglarea amestecului de oxigen este greu de realizat; aerul încălzit ce intră în contact cu membrana provoacă o reacție chimică în senzorul de oxigen ce duce la decalibrarea analizorului de oxigen;
- costuri adiționale (electricitate/mentenanță) asociate operării compresorului de joasă presiune ce asigură aerul către sistemul de membrane;
- dacă, în locul compresorului de joasă presiune, sistemul de membrane este alimentat de la recipienti sub presiune pentru stocarea aerului atunci, ca urmare a creșterii consumului de energie electrică, cheltuielile de exploatare cresc și uzura compresorului de înaltă presiune, care în această situație produce aerul comprimat, este în acest caz mai mare;
- dacă filtrele pentru îmbunătățirea calității aerului nu sunt schimbate la timp atunci este posibil ca membranele să se colmateze cu particule fapt ce duce la necesitatea schimbării acestora și implicit la costuri suplimentare;
- membranele sunt fragile și pot fi deteriorate cu ușurință dacă sistemul nu este exploatat corect; dacă este furnizat un curent de aer la presiune mai mare, sau dacă acesta nu are o temperatură corespunzătoare, structura internă poate fi deteriorată fapt care duce la necesitatea înlocuirii membranei;
- pentru un sistem dotat cu compresor de joasă presiune, înlocuirea membranei costă cât circa jumătate din sistem;
- sistemul trebuie monitorizat permanent în timpul funcționării;
- producerea de amestec NITROX cu ajutorul acestui sistem duce la cele mai mari costuri per butelie de scufundare.

2.4.4. PROCEDU ȘI INSTALAȚIE DE PREPARARE A AMESTECULUI RESPIRATOR NITROX PRIN OMOGENIZAREA CONTINUĂ A GAZELOR COMPONENTE

Procedura de preparare a amestecului respirator NITROX prin omogenizarea continuă a gazelor componente presupune utilizarea unor recipiente pentru stocarea oxigenului și un dispozitiv special, brevetat (NITROX Stick), care asigură omogenizarea aerului și a oxigenului pur înainte de a fi admis în compresorul de înaltă presiune.

Schema constructivă și imaginea unui astfel de dispozitiv de omogenizare este prezentată în figura 2.23.

Pornirea sistemului presupune mai întâi izolarea recipientilor de stocare a aerului, eliminarea aerului din instalație respectând direcția normală de curgere (prin secțiunea de refulare a compresorului), iar apoi, în timp ce compresorul funcționează, se cuplează butelia de oxigen și se furnizează un aport de oxigen astfel încât să se atingă concentrația dorită în amestec. Procesul de purjare trebuie continuat până când analizorul de oxigen care monitorizează refularea compresorului indică concentrația de oxigen dorită. Din acest moment, compresorul de aer, filtrele asociate și conductele pentru transportul aerului se consideră curățate. Refularea compresorului de înaltă presiune poate alimenta acum fie buteliile folosite la scufundări fie recipientii de stocare a amestecului NITROX (fig. 2.22). Întreaga operație, de la punerea în funcțiune a sistemului până la începerea umplerii buteliilor sau a recipientilor de stocare, durează circa 5...10 minute.

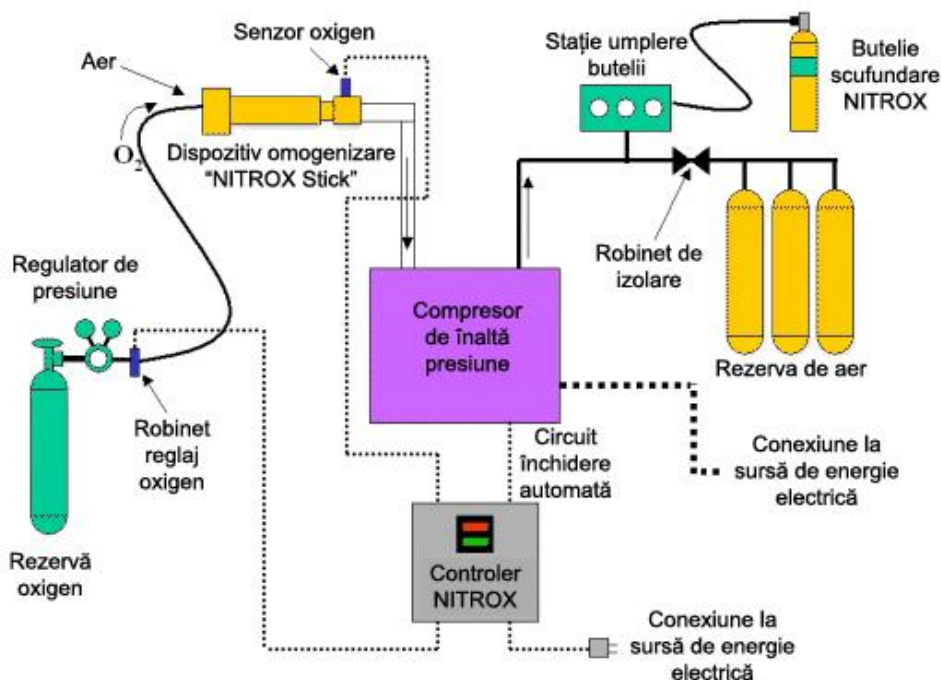


Fig. 2.22. Schema instalației de preparare a amestecurilor NITROX prin procedeul de omogenizare continuă a gazelor.

Avantajele utilizării unui astfel de sistem sunt reprezentate de:

- costul moderat de achiziție al aparaturii și posibilitatea fabricării în condiții de siguranță a unui amestec de până la 40% oxigen;
- nu există restricții la încărcare privind prezența oxigenului în butelii;
- prezența controller-ului NITROX (fig. 2.22) oferă operatorului posibilitatea să deruleze și alte activități în timp ce procesul de umplere al buteliilor este în desfășurare;
- prin aplicarea acestui procedeu, costurile aferente forței de muncă scad;
- precizie ridicată în prepararea amestecului NITROX;
- siguranță sporită în exploatare;

Amestecuri de gaze utilizate la aparatele speciale de respirat sub apă

- costurile cele mai reduse, în comparație cu alte sisteme, pentru umplerea unei butelii cu amestec NITROX.

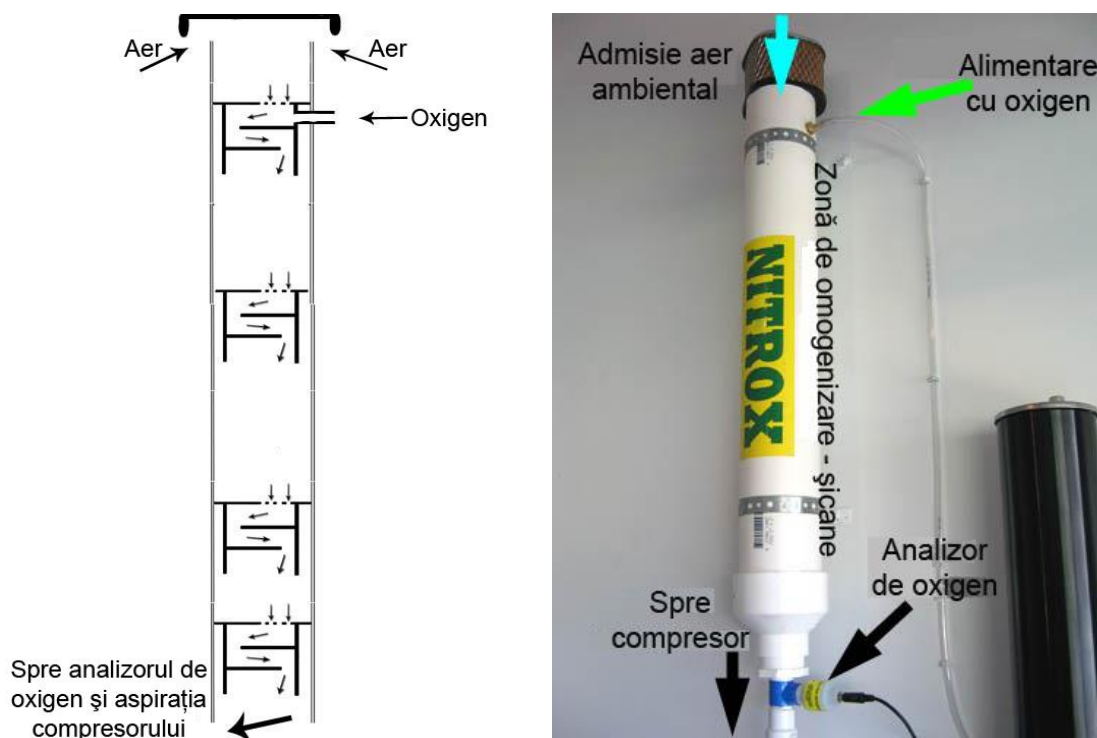


Fig. 2.23. Schema constructivă și imaginea unui dispozitiv „NITROX Stick”.

Dezavantajele sunt reprezentate de necesitatea supravegherii permanente a sistemului dacă acesta nu a fost dotat cu controller NITROX și de necesitatea existenței permanente a unei rezerve de oxigen. Trebuie menționat faptul că exploatarea unui astfel de sistem este justificată în special când acesta este dotat cu controller NITROX.

2.4.5. PROCEDEU ȘI INSTALAȚIE DE PREPARARE A AMESTECULUI RESPIRATOR TRIMIX PRIN OMOGENIZAREA CONTINUĂ A GAZELOR COMPONENTE

Procedeul de preparare a amestecului respirator TRIMIX prin omogenizarea continuă a gazelor componente reprezintă un procedeu realizat printr-o variantă constructivă, mai complexă decât cea a procedurii prezentat anterior și asigură prepararea amestecurilor TRIMIX (Heliu-Azot-Oxigen) ca cea corespunzătoare dispozitivului prezentat în figura 2.24.

Dispozitivul este conectat la sursa de oxigen și heliu prin intermediul a două regulatoare de înaltă performanță care asigură reglarea, cu foarte mare precizie, a cantității de gaz. Fiecare regulator comunică cu o unitate de control pe al cărui ecran se poate citi procentajul celor două gaze. De asemenea, unitatea de control asigură întreruperea livrării oxigenului sau heliului dacă:

- comanda de calibrare automată este activă în timp ce compresorul funcționează;
- se produce o cădere de tensiune;
- senzorul de oxigen înregistrează valoarea de 39.9%;

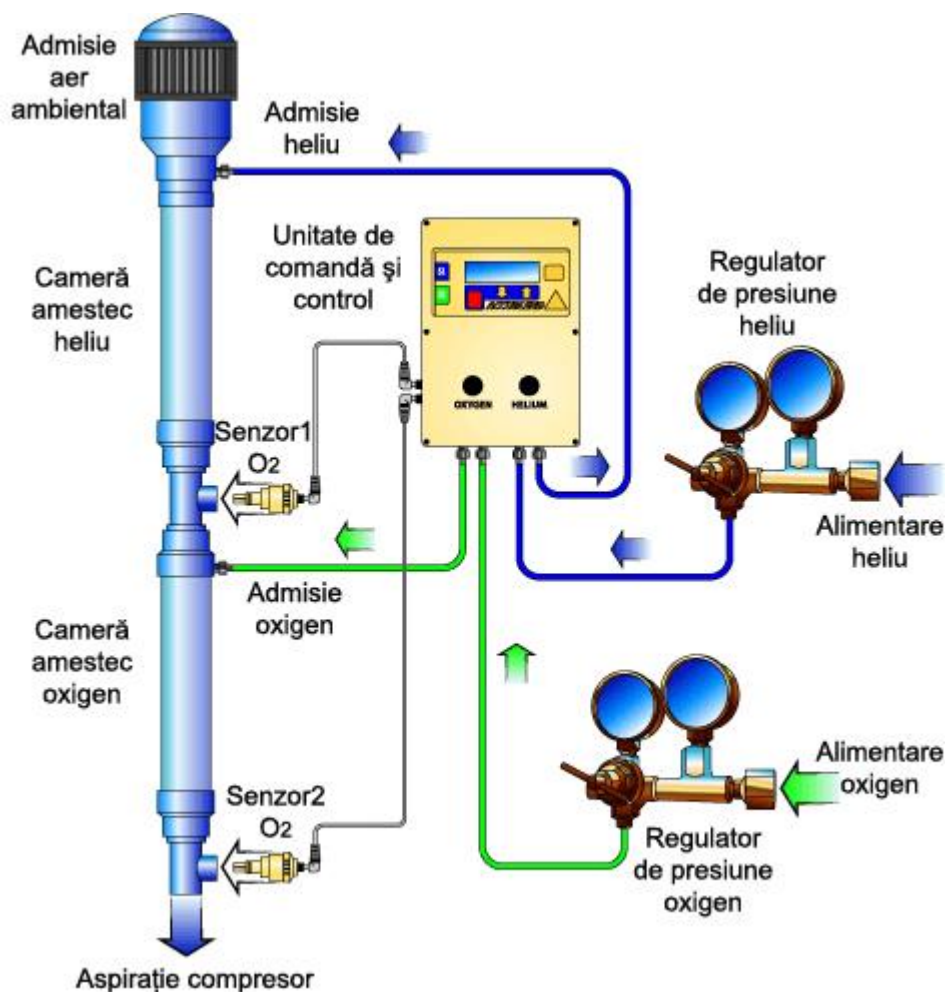


Fig. 2.24. Dispozitiv pentru realizarea amestecului în vederea producerii de amestec respirator TRIMIX prin omogenizarea continuă a gazelor componente.

- cablurile senzorilor sunt decuplate;
- comutatorul de alimentare cu energie electrică este oprit;
- funcționarea compresorului este întreruptă.

Unitatea de control, prin software-ul său, oferă posibilitatea operatorului de a stabili diverse amestecuri NITROX și TRIMIX, totodată poate specifica adâncimea echivalentă la care poate apărea narcoza și de asemenea prin intermediul său pot fi modificate amestecurile NITROX și TRIMIX existente fără a goli recipientii.

2.4.6. PROCEDEU ȘI INSTALAȚIE DE PREPARARE A AMESTECULUI RESPIRATOR ÎN FLUX CONTINUU PRIN INECȚIA GAZELOR COMPONENTE LA DEBIT MASIC CONSTANT

Procedeeul de preparare a amestecului respirator în flux continuu prin inecȚia gazelor componente la debit masic constant, reprezintă un procedee original pus la punct prin colaborarea specialiștilor din Departamentul de Hidraulică și ProtecȚia Mediului a Universității Tehnice de ConstrucȚii București cu specialiștii Centrului de Scafandri Constanța din cadrul Forțelor Navale Române.

Instalația de preparare a amestecurilor respiratorii în flux continuu, este concepută pentru realizarea de amestecuri gazoase binare de tip azot-oxigen (NITROX) sau de tip heliu-oxigen (HELIOX) și de amestecuri ternare de tip heliu-azot-oxigen (TRIMIX). Deci, funcție de gazele necesare realizării amestecurilor binare sau ternare dorite, cele două sau trei componente gazoase ce se vor injecta și amesteca în flux continuu în cadrul instalației pot fi: oxigen cu azot, oxigen cu heliu, oxigen cu azot și heliu și eventual oxigen cu aer.

Instalația se compune, în principal, din două sau trei linii de injecție masică ce alimentează cu cele două sau trei componente gazoase, la debite masice prestabilite, amestecate în proporția dorită prin intermediul unei camere de amestec, un rezervor deformabil (sac deformabil) de tipul unui sac respirator. În figura 2.25 se prezintă schema instalației de preparare a amestecurilor respiratorii binare NITROX, sau HELIOX și ternare TRIMIX, în flux continuu (lucrând cu două sau trei linii de injecție masică) prin injecția gazelor componente la debit masic constant.

Fiecare linie de injecție masică este alcătuită, în principal, dintr-o **butelie** conținând gazul respectiv la presiune înaltă, prevăzută cu un **robinet de butelie** și cu un **manometru de înaltă presiune**. Butelia alimentează, prin intermediul unui **reductor de presiune nepilotat**, un **bloc de control și injecție masică** alcătuit dintr-un **bloc de control** și dintr-un **bloc de injecție masică** propriu-zis. Blocul de control cuprinde un microajutaj de măsură lucrând în regim subsonic, iar blocul de injecție masică un microajutaj de injecție masică lucrând în regim critic (sonic).

Microajutajul de măsură este prevăzut cu **două manometre**, unul în amonte și altul în aval de microajutaj, care măsoară diferența de presiune între presiunile preluate prin prizele de presiune din amonte și aval de acest ajutaj, prin aceasta punându-se în evidență atât curgerea gazului prin ajutaj, deci funcționarea liniei de injecție, cât și menținerea la o valoare constantă a debitului masic al componentei gazoase de pe linia de injecție respectivă.

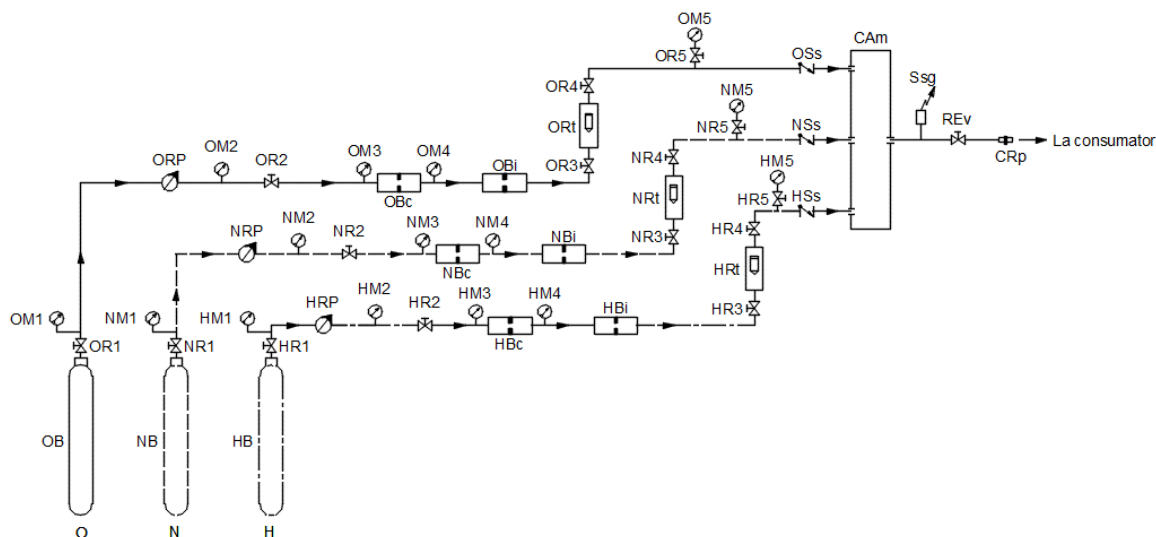
Microajutajul de injecție masică asigură, pentru un anumit diametru al colului ajutajului și pentru o anumită presiune de alimentare a ajutajului, realizarea unui debit masic constant, independent de presiunea din aval de ajutaj și deci independent de presiunea din sacul respirator (din sacul deformabil), al componentei gazoase respective.

Cele două sau trei linii de injecție masică alimentează **camera de amestec** unde cele două sau trei componente gazoase se amestecă, rezultând amestecul gazos de tip NITROX, HELIOX sau TRIMIX. După camera de amestec, urmează, în sensul curgerii amestecului gazos binar sau ternar, un **robinet sferic** pentru alimentarea cu amestec binar sau ternar a consumatorului.

Caracteristici importante ale instalației cu injecția gazelor componente la debit masic constant:

- poate prepara și livra amestecuri respiratorii binare sau ternare în flux continuu, cu proporția dorită a componentelor și la diferite debite masice de amestec, independente de presiunea de la consumator;
- poate, prin efectuarea unor simple manevre de modificare a presiunilor de alimentare a ajutajelor de injecție masică cu debit masic blocat de pe liniile componentelor gazoase, să schimbe atât compoziția cât și debitul masic al amestecului respirator livrat către consumator;

- dimensiunile ajutoarelor de injecție masică și presiunile de alimentare a acestora pot fi astfel alese și respectiv reglate încât debitele masice ale componentelor să rămână constante, independent de presiunea de la consumator, ceea ce asigură un debit masic al amestecului constant și cu concentrații dorite.



LEGENDA

O – Linia oxigenului
 N – Linia azotului
 H – Linia heliului
 OB – Butelie oxigen
 NB – Butelie azot
 HB – Butelie heliu
 OR1 ÷ OR5 – Robinete pe linia oxigenului
 NR1 ÷ NR5 – Robinete pe linia azotului
 HR1 ÷ HR5 – Robinete pe linia heliului
 OM1 ÷ OM4 – Manometre pe linia oxigenului
 NM1 ÷ NM4 – Manometre pe linia azotului
 HM1 ÷ HM4 – Manometre pe linia heliului
 ORP – Reductor de presiune nepilotat pe linia oxigenului
 NRP – Reductor de presiune nepilotat pe linia azotului
 HRP – Reductor de presiune nepilotat pe linia heliului
 OBc – Bloc de control pe linia oxigenului

NBc – Bloc de control pe linia azotului
 HBc – Bloc de control pe linia heliului
 OBI – Bloc de injecție masică pe linia oxigenului
 NBI – Bloc de injecție masică pe linia azotului
 HBI – Bloc de injecție masică pe linia heliului
 ORt – Rotametrul pe linia oxigenului
 NRt – Rotametrul pe linia azotului
 HRt – Rotametrul pe linia heliului
 OSs – Supapă de sens pe linia oxigenului
 NSs – Supapă de sens pe linia azotului
 HSs – Supapă de sens pe linia heliului
 CAm – Camera de amestec
 Ssg – Supapă de siguranță
 REv – Robinet de evacuare
 CRp – Sistem/element cuplare

Fig. 2.25. Schema instalației de preparare a amestecurilor respiratorii binare NITROX sau HELIOX și a amestecurilor ternare TRIMIX, în flux continuu, prin injecția gazelor componente la debit masic constant.

2.5. OMOGENIZAREA AMESTECURILOR DE GAZE

La fabricarea amestecurilor respiratorii o problemă deosebit de importantă o reprezintă omogenizarea amestecului de gaze, care se produce, pe de o parte, prin fenomenul de difuzie moleculară și, pe de altă parte, prin fenomenul de difuzie turbulentă specifică turbulenței jetului creat la injecția gazului în recipientul cu amestec.

Amestecuri de gaze utilizate la aparatele speciale de respirat sub apă

Ținând cont de teoriile din literatura de specialitate, se poate spune că difuzia unui gaz este cu atât mai mare cu cât viteza și traiectoria liberă a moleculelor sunt mai mari.

În tabelul 2.2 sunt prezentați coeficienții de difuzie ai câtorva gaze din aer la temperatura de 0°C.

Tabelul 2.2

Coeficienții de difuzie ai câtorva gaze din aer la 0°C

Gaz	Coeficienții de difuzie [cm ² /s]	Observații
CO ₂	0,139	Winkelmann
H ₂	0,634	Obermayer
O ₂	0,178	Obermayer

Din experiențele efectuate de Alfred Taylor rezultă că omogenizarea, în condiții de repaus, a unui amestec care conține 25% CO₂ ($r_{\text{CO}_2} = 0,25$) și care a rezultat prin injectarea bioxidului de carbon într-un recipient cu argon, are loc după aproximativ 45 de zile. În prezent, cea mai folosită tehnică de omogenizare a amestecurilor de gaze este agitația mecanică (rotirea buteliei). În aceste noi condiții, la o turație de 10 până la 20 rot/min, omogenizarea amestecului argon-dioxid de carbon ($r_{\text{Ar}} = 0,75$, $r_{\text{CO}_2} = 0,25$), prezentat mai sus, are loc în 1,5 ore. Metoda agitației mecanice este obligatorie când se execută amestecuri în volume mici.

Făcând apel la legile care guvernează amestecarea gazelor sub presiune, trebuie menționate două probleme importante. Astfel, în timpul compresiei temperatura gazului în recipient crește și cu cât viteza compresiei este mai mare cu atât temperatura gazului este mai mare. În acest caz masa de gaz introdusă în recipient este mai mică decât în cazul în care procesul ar fi izotermic. În astfel de situații, pentru amestecurile realizate cu urmărirea presiunii din recipient, este interzisă efectuarea unor corecții ulterioare. Chiar și în cazul unor procese izoterme pot apărea neconcordanțe datorită faptului că gazele nu sunt perfecte. Totuși, abaterile sunt neglijabile atunci când amestecarea gazelor are loc la temperatura camerei și la presiuni relativ mici (vezi procesele de compresie pe timpul scufundărilor în saturatie când amestecarea gazelor este locală, având loc chiar pe timpul procesului compresiei). Abaterile nu sunt neglijabile atunci când procesul de amestecare are loc la presiuni mari și în recipiente cu volume mici.

2.6. ÎNLOCUIREA AMESTECURILOR RESPIRATORII

Când azotul din gazul respirat este înlocuit cu heliu, acesta din urmă este absorbit de plămâni și simultan azotul este eliminat. Între alveole și sânge și între sânge și țesuturile organismului are loc o difuzie în contracurent a gazelor. Amestecul respirator HELIOX poate fi respirat timp îndelungat, fără ca organismul să fie afectat. În acest timp, organismul se saturează cu heliu și țesuturile sale sunt spălate complet de azot.

Neonul nu este mai ușor decât azotul, dar este mai solubil decât heliul. Argonul este nepotrivit pentru a înlocui azotul din cauza solubilității sale mari în soluții apoase sau grăsimi.

În practică se folosește metoda schimbării amestecurilor respiratorii chiar pe timpul decompresiei. Spre exemplu, în cazul decompresiei după o scufundare cu amestec respirator HELIOX, decompresie îngreunată de numeroase accidente osteo-

articulare, se recomandă ca de la 10 m adâncime, spre suprafață, să se înlocuiască amestecul HELIOX cu aer. Această înlocuire avantajează desaturarea mai rapidă a țesuturilor de gazul inert care inițial a fost heliul. Prin urmare, schimbarea amestecurilor respiratorii favorizează executarea mai rapidă a decompresiei.

Un exemplu edificator în ceea ce privește înlocuirea amestecurilor respiratorii pentru scurtarea decompresiei, este reprezentat în figura 2.26. Se observă diferențe foarte mari, funcție de amestecurile respiratorii utilizate, micșorându-se decompresia de la aproximativ 316 minute la numai 35 minute. Se consideră o scufundare cu amestec respirator HELIOX la adâncimea de 30 m [4 bar (sc. abs.) = 400 kPa (sc. abs.)] cu durata lucrului în imersiune de 120 minute. Dacă decompresia s-ar executa cu același amestec respirator HELIOX, durata acesteia va fi de 316 minute. Dacă se schimbă amestecul respirator la primul palier de decompresie cu aer, durata decompresiei se reduce la 170 minute. Dacă în loc de aer se respiră oxigen pur, decompresia se reduce la 83 minute. Cea mai rapidă decompresie se obține dacă se schimbă amestecul HELIOX cu aer, după 45 minute de la începerea scufundării, iar la decompresie se respiră oxigen încă de la primul palier. În acest caz decompresia va dura numai 35 minute.

Acest sistem de revenire rapidă la presiunea atmosferică se practică numai în cazuri de strictă necesitate, când asupra scafandrului este obligatorie o intervenție de securitate la presiunea atmosferică.

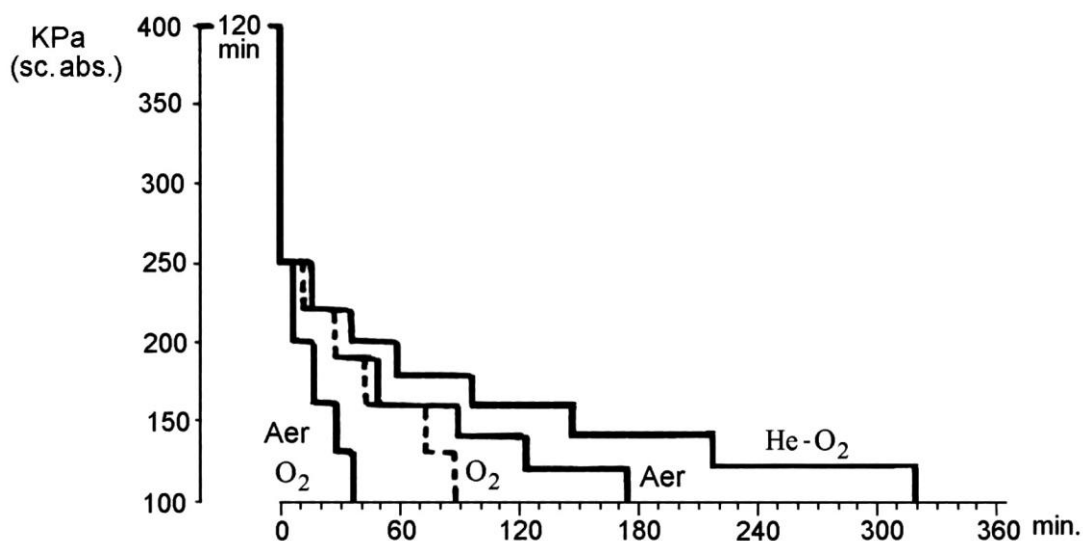


Fig. 2.26. Profilul decompresiei după o scufundare cu amestec HELIOX timp de 120 min., utilizând diferite amestecuri respiratorii (după A. A. Bühlmann).

3.

APARATE DE RESPIRAT SUB APĂ CU CIRCUIT DESCHIS ȘI ÎNCHIS

3.1. APARATE DE RESPIRAT SUB APĂ CU CIRCUIT DESCHIS. GENERALITĂȚI

Aparatele de respirat sub apă cu circuit deschis sunt aparatele la care întregul amestec gazos, rezultat din expirație, este evacuat în mediul acvatic exterior. Aceste aparate sunt alcătuite din buteliile de stocaj pentru rezerva de gaz sau de amestec gazos respirator înmagazinate sub presiune, atunci când aparatele sunt autonome, și dintr-un regulator de presiune care asigură respirația la o presiune egală cu presiunea corespunzătoare adâncimii de imersie. Autonomia acestor aparate este relativ redusă. Atunci când se dorește ca timpul de imersie să fie mai mare, se utilizează aparate de respirat sub apă cu circuit deschis alimentate cu aer sau cu amestec gazos sintetic de la suprafață sau dintr-un mijloc imersat. Adâncimea de scufundare cu aparatele în circuit deschis este relativ mare, până la 50...75 m.

3.2. TIPURI DE APARATE DE RESPIRAT SUB APĂ CU CIRCUIT DESCHIS

Aparatele de respirat sub apă cu circuit deschis sunt de două feluri:

- aparate cu circuit deschis, *cu debit continuu*;
- aparate cu circuit deschis, *cu debit la cerere*.

În figura 3.1 se prezintă schematic caracteristicile și performanțele aparatelor de respirat sub apă cu circuit deschis.

3.2.1. APARATE DE RESPIRAT SUB APĂ CU CIRCUIT DESCHIS, CU DEBIT LA CERERE, AUTONOME

Aparatul autonom pentru respirat sub apă este acel aparat constituit, în principal, dintr-un recipient cu gaze respiratorii și prevăzut cu o instalație de distribuție și control, care asigură întreaga cantitate de amestec respirator necesară scufundării pentru executarea unei scufundări. Optim pentru un aparat de scufundare înseamnă: timp mare în imersiune, adâncime cât mai mare și timp de decompresie cât mai scurt.

Aparatele cu circuit deschis cu debit la cerere se caracterizează prin aceea că amestecul respirator este livrat numai în faza de inspirație, livrarea având o durată egală cu durata inspirației. În fazele de apnee și de expirație livrarea de amestec este întreruptă.

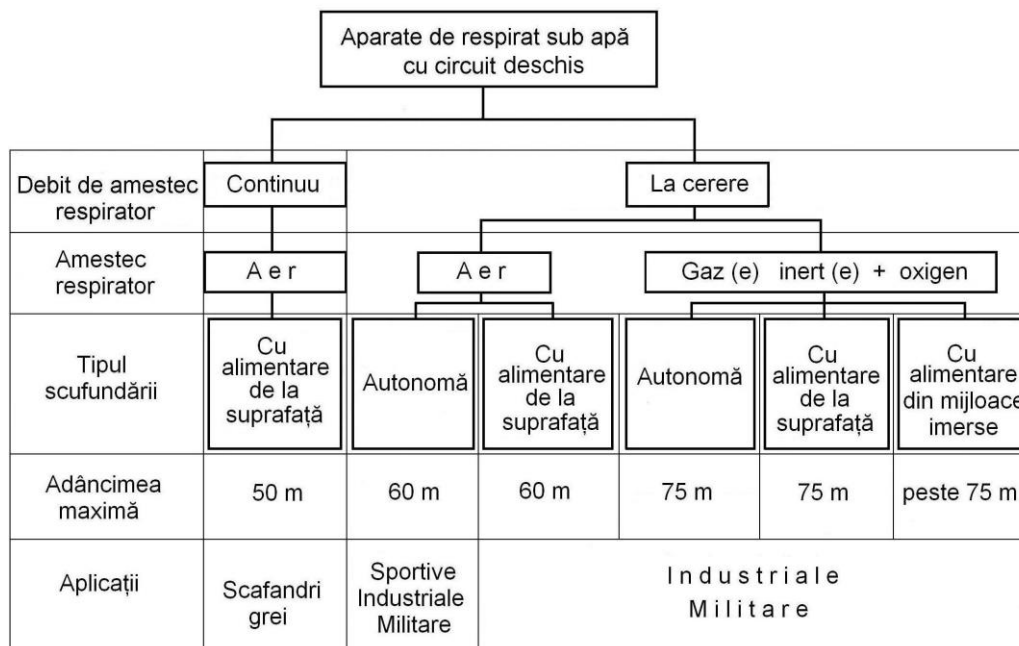


Fig. 3.1. Schema generală cu caracteristicile, performanțele și domeniile de aplicare pentru aparatele de respirat sub apă cu circuit deschis.

Elementul comun al *aparatelor cu circuit deschis, cu debit la cerere, autonome* îl reprezintă aparatul de respirat propriu-zis. Aparatele de respirat sub apă cu circuit deschis, cu debit de gaz respirator livrat la cerere, autonome, au în componență și rezerva de gaz necesară respirației pe timpul lucrului în imersiune, rezervă ce este transportată de către scafandru.

3.2.1.1. Aparatul cu circuit deschis, autonom, cu detentor COMEX SUPER-PHYSALIE

Aparatele de respirat sub apă cu circuit deschis, autonome, echipate cu detentor SUPER-PHYSALIE, sunt utilizate pe scară largă de către scafandrii profesioniști, atât militari cât și civili. Acest detentor, cu reducerea presiunii în două trepte, este fabricat de firma franceză COMEX și reprezintă un detentor profesional. În figura 3.2 se prezintă schema detentorului treapta I SUPER-PHYSALIE cu elementele componente principale, iar în figura 3.3 se prezintă schematic detentorul treapta a II-a.

Urmărind schema simplificată din figura 6.28 se observă că detentorul treapta I este cu membrană necompensată, așa numitul model standard. De o parte a membranei acționează forța dată de presiunea gazului din camera de medie presiune, iar de cealaltă parte, forța elastică a resortului de taraj împreună cu cea generată de presiunea hidrostatică a mediului exterior. La inspir, echilibrul se rupe, membrana se înalță și deschide clapetul de admisie. Gazul pătrunde până când presiunea medie atinge o valoare cu 8...12 bar peste presiunea mediului exterior și echilibrul se restabilește.

Detentorul treapta a II-a, conform schemei din figura 6.29 are interiorul împărțit în două camere de către o membrană de cauciuc, aflată în echipresiune. De o parte a ei acționează forța dată de presiunea hidrostatică (fiind în contact direct cu apa), iar de cealaltă parte, forța dată de presiunea gazului inspirat.

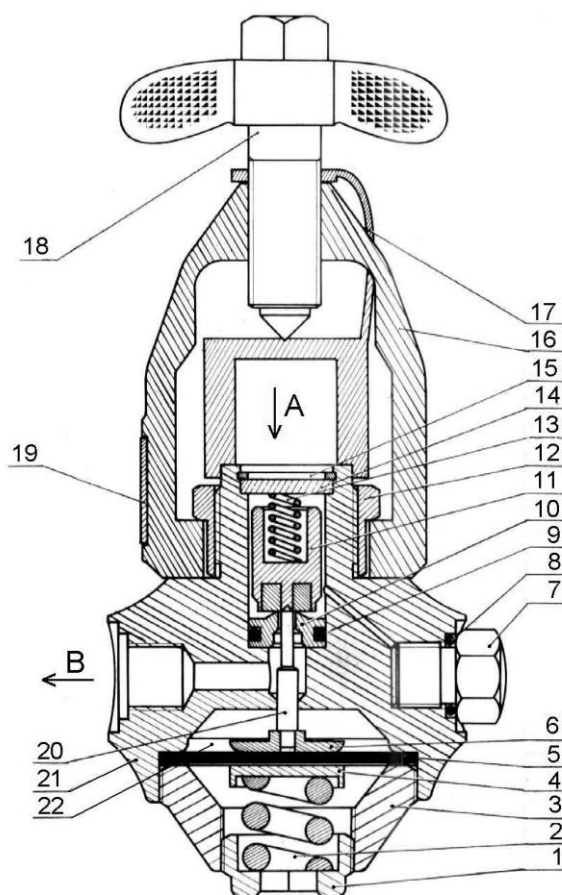


Fig. 3.2. Schema detentorului treapta I SUPER-PHYSALIE:

A. Alimentare cu amestec respirator la înaltă presiune;

B. Ieșire amestec respirator la medie presiune;

1- șurub de reglaj; 2- resort de taraj;

3- capac; 4- taler resort;

5- membrană; 6- taler tijă;

7- dop; 8,9- inele de etanșare;

10- scaun clapet; 11- clapet;

12- piuliță de fixare;

13- resort clapet; 14- filtru sinterizat;

15- inel de siguranță;

16- jug de fixare pe butelie;

17- dop de protecție;

18- șurub de fixare;

19- placă de inscripționare; 20- tijă;

21- corp detentor;

22- cameră medie presiune.

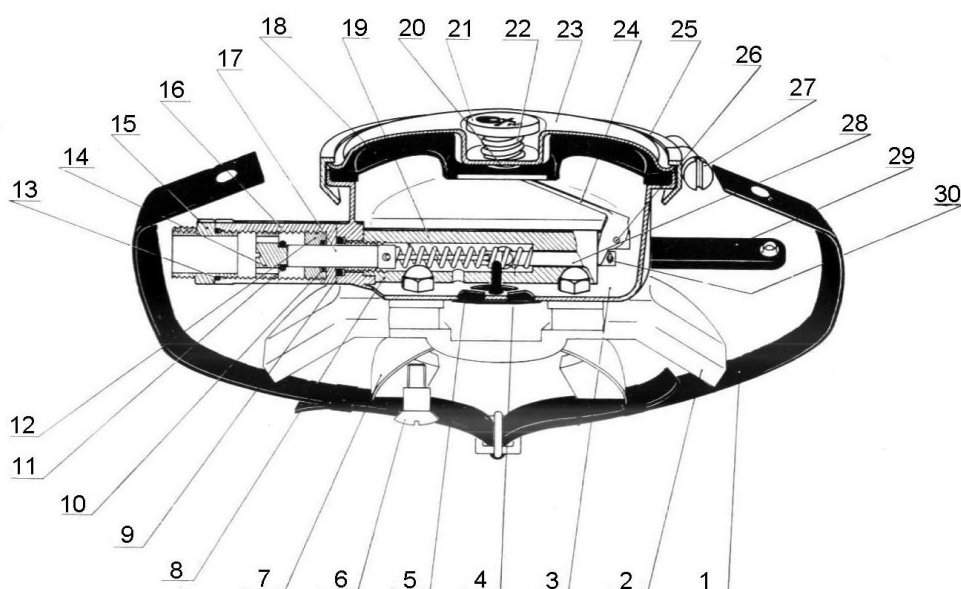


Fig. 3.3. Schema detentorului treapta a II-a SUPER-PHYSALIE:

1- baretă; 2- deflector; 3- cutie; 4- resort de rapel; 5- supapă expirație; 6- șurub; 7- piesă bucală; 8- corp joasă presiune; 9,10,11- garnituri oring; 12- suport oring; 13- oring; 14- scaun clapet; 15- manșon; 16- port clapet; 17- piston clapet; 18- membrană; 19- tijă ac; 20- rondea; 21- buton debit continuu; 22- resort buton; 23- capac; 24- pârghie; 25- inel de închidere; 26- ax levier; 27- șurub; 28- tijă piston clapet; 29- bridă piesă bucală; 30- opritor.

Noutatea adusă de acest model este că scaunul supapei de admisie este mobil și nu clapetul, ca la modelele anterioare. Scaunul, care are forma unui cilindru, este mișcat axial prin intermediul pârgheii de către membrană. Scaunul urmărește mișcările alternative ale membranei, deschizând și închizând supapa după mișcările respiratorii ale scafandrului. Detentorul este prevăzut și cu buton de debit continuu. Aparatul livrează gazul respirator la cerere sau continuu dacă se apasă butonul respectiv.

Detentorul SUPER-PHYSALIE asigură scafandrului un debit de 300 l_N/min , la o depresiune de 3...4 cm H_2O (3...4 mbar) creată prin inspirație. Gazul respirator din butelii este comprimat la o presiune de maximum 200 bar (sc. man.).

3.2.1.2. Aparatul cu circuit deschis, autonom, cu detentor SHARK

Detentorul SHARK (fig. 3.4), fabricat de firma germană DRÄGER, este un regulator de înaltă performanță cu două trepte legate între ele printr-un furtun de medie presiune. Detentorul treapta I este de tipul cu piston compensat care asigură o independență a presiunii medii la ieșirea din prima treaptă în raport cu scăderea presiunii din buteliile de stocaj. Detentorul treapta a II-a este conceput ținând cont de *principiul amonte*, asigurând o creștere a debitului la același efort de inspirație.

Detentorul SHARK este prevăzut, la treapta I, cu două racorduri de înaltă presiune și cu patru racorduri de medie presiune. De asemenea, este prevăzut cu un conector de înaltă presiune pentru racordarea la butelii atât tip DIN cât și tip INT. Detentorul treapta a doua este prevăzut și cu un deflector de bule de concepție specială.

Detentorul SHARK treapta I poate fi racordat, prin intermediul unui furtun de medie presiune prevăzut cu un cuplaj rapid, la o mască facială ORCA, fabricată de firma DRÄGER, cu detentor treapta a II-a integrat (fig. 3.5).

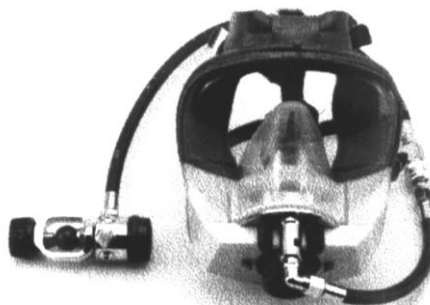


Fig. 3.4. Detentorul cu două trepte SHARK. **Fig. 3.5.** Detentor treapta I SHARK racordat la detentor treapta a II-a integrat la masca facială ORCA.

3.2.1.3. Aparatul cu circuit deschis, autonom, MODULAR 600

Aparatul MODULAR 600 (fig. 3.6) fabricat de firma DRÄGER este un aparat de scufundare ce poate fi utilizat atât ca aparat autonom cât și ca aparat de rezervă în cazul scafandrilor alimentați cu aer de la suprafață. Aparatul MODULAR 600 este compus din aparatul de bază BASIC 600 și din masca facială SECORA 600.

Aparatul de bază BASIC 600 constă din două butelii ($2 \times 4 \text{ l}$ la 300 bar (sc. man.), corespunzător unei rezerve de aer de 2800 l_N , sau $2 \times 6 \text{ l}$ la 300 bar (sc. man.), corespunzător unei rezerve de aer de 3500 l_N), un detentor treapta I robust și protejat contra înghețului și murdăriei și un detentor treapta a II-a direct integrat la mască protejat de asemenea contra formării de gheață și murdăriei.

Detentorul treapta I este prevăzut cu patru racorduri de presiune medie oferind suficiente posibilități de conectare la detentor treapta a II-a, la ventilul de siguranță, la sistemul de umplere a costumului cu volum constant etc. Detentorul treapta a II-a este caracterizat printr-o rezistență la respirație foarte scăzută, conferind aparatului un confort ridicat. Aparatul este prevăzut cu un echipament electronic de avertizare, scafandru primind un semnal optic în mască atunci când presiunea din butelii scade sub 50 bar (sc. man.). Totuși, aparatul este dotat și cu un manometru de control, independent de sistemul electronic de avertizare. Maska facială SECORA 600 este o mască cu un vizor astfel construit încât, prin sistemul antirefracție, asigură perceperea de către scafandru a unei imagini nedeformate, la scară reală. De asemenea, masca dispune de un dispozitiv special integrat care conduce la îndepărtarea bulelor de aer expirat și permite o egalizare rapidă a presiunii.

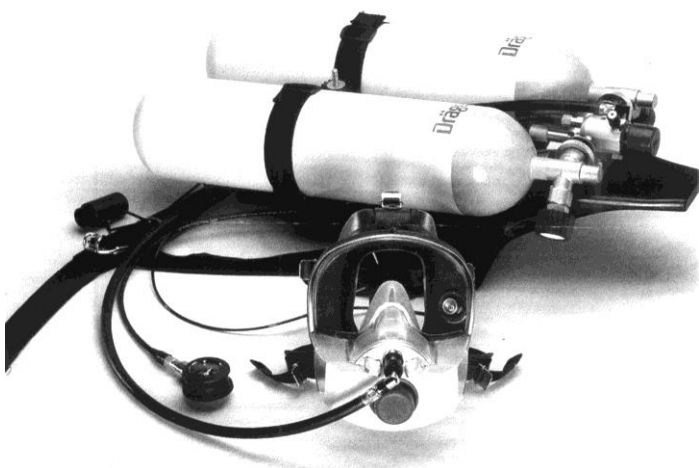


Fig. 3.6. Aparatul de respirat sub apă autonom cu circuit deschis și debit la cerere MODULAR 600.

3.2.1.4. Aparatul cu circuit deschis, autonom, PA 38

Aparatul autonom de respirat sub apă cu circuit deschis, cu debit de aer livrat în sistemul la cerere PA 38, este un aparat realizat de firma DRÄGER și utilizat pentru intervenții subacvatice de scurtă durată. Caracteristicile aparatului PA 38 sunt următoarele (fig. 3.7):

- utilizează butelii de 4 l, 6 l sau 7 l;
- stocajul de gaz poate fi de 1600 l_N , 2800 l_N sau 3600 l_N ;
- este echipat cu un detentor treapta a II-a pentru conectarea la masca facială simplă sau la masca cagulei costumului cu volum constant;
- este prevăzut cu un manometru de control a presiunii din butelii;
- este echipat cu un detentor treapta I care reduce presiunea de la valoarea presiunii înalte din butelii, ce poate avea valoarea maximă de 200 bar (sc. man.) sau 300 bar (sc. man.), la o valoare de 5 bar (sc. man.), independentă de adâncimea de imersie.

Aparatul PA 38 este fabricat în trei variante și anume PA 38/1600, PA 38/2800 și PA 38/3600.

Modelul PA 38/1600 este utilizat pentru scufundări cu durată scurtă având un stocaj de gaz de 1600 l_N (butelii 2×4 l umplute cu aer la 200 bar (sc. man.)). Aparatul prevăzut cu un sistem de rezervă corespunzătoare unei presiuni a gazului din butelii de 40 bar (sc. man.), echivalent cu un volum de rezervă de gaz de 320 l_N . Acest model este utilizat pentru scufundări la adâncimi de până la 10 m.

Modelul PA 38/2800 are un stocaj de 2800 l_N (butelii 2×7 l umplute cu aer la 200 bar (sc. man.)). Aparatul este prevăzut cu un sistem de rezervă corespunzătoare unei presiuni a aerului din butelii de 40 bar (sc. man.), echivalent cu un volum de rezervă de gaz de 560 l_N . Acest aparat este utilizat la adâncimi de până la 20 m.

Modelul PA 38/3600 are un stocaj de 3600 l_N (butelii 2×6 l umplute cu aer la 300 bar (sc. man.)). Aparatul este prevăzut cu un sistem de rezervă corespunzătoare unei presiuni a aerului din butelii de 60 bar (sc. man.), echivalent cu un volum de rezervă de gaz de 720 l_N . Acest model este utilizat la adâncimi de până la 20 m.

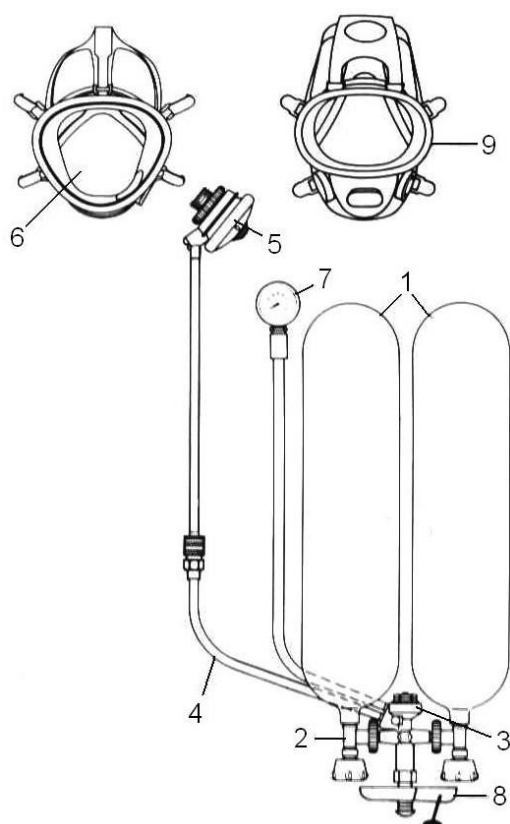


Fig. 3.7. Schema aparatului de respirat sub apă autonom și cu circuit deschis PA 38:

- 1- butelii aer comprimat;
- 2- robinet butelie;
- 3- detentor treapta I;
- 4- furtun de medie presiune;
- 5- detentor treapta a II-a;
- 6- mască facială simplă;
- 7- manometru de control;
- 8- levierul de acționare a rezervei;
- 9- masca cagulei costumului cu volum constant.

3.2.2. APARATE DE RESPIRAT SUB APĂ CU CIRCUIT DESCHIS, CU DEBIT LA CERERE, CU ALIMENTARE DE LA SUPRAFAȚĂ

Aparatele de respirat sub apă cu circuit deschis, cu debit la cerere, în varianta cu alimentare de la suprafață prin ombilical oferă scafandrului posibilitatea staționării un timp îndelungat la adâncimea de lucru deoarece sursa de amestec gazos respirator folosită poate fi ori o baterie de butelii cu capacitate mare de stocare, ori un compresor. Pentru acest tip de aparate cu alimentare de la suprafață prin ombilical, se folosesc, de obicei, stații de stocare a amestecului respirator formate din mai multe butelii de 50 l încărcate cu amestec respirator la o presiune de 200 bar (sc. man.). Buteliile sunt grupate sub formă de rack alcătuit, în general, din nouă butelii având o

capacitate maximă de stocare de 90 m_N^3 . În condițiile unei nave suport specializate sau în condiții de laborator hiperbar, se mai pot utiliza și recipiente sferice de 600 l la 200 bar (sc. man.) asigurând o capacitate de 120 m_N^3 .

Scufundarea de sistem cu astfel de aparate de respirat sub apă este pusă în aplicare pentru lucrări la adâncimi mari sau pentru lucrări de lungă durată. Are avantajul unei alimentări permanente cu amestec respirator, unei protecții termice foarte bune și unui sistem de comunicație permanentă cu suprafața.

Dezavantajul metodei constă într-o desfășurare înceată, într-o mobilitate redusă a scafandrului și în necesitatea unui suport logistic de suprafață foarte important.

3.2.2.1. Aparatul cu circuit deschis, cu alimentare de la suprafață, PL 70

Aparatul PL 70 este un aparat cu circuit deschis, alimentat de la suprafață, cu debit livrat la cerere, fabricat de firma DRÄGER. Acest aparat are o greutate mică și poate fi folosit până la adâncimea maximă de scufundare cu aer (50 m).

Conform schemei aparatului din figura 3.8, aparatul PL 70 este caracterizat printr-o alimentare cu aer prin furtun, fiind echipat totodată și cu o baterie de butelii cu aer de securitate cu un volum de 800 l_N . La alegere, aparatul poate fi dotat cu un robinet de comutare de la alimentarea de la suprafață la alimentarea din rezerva de securitate, fie acționat manual (PL 70 H), fie acționat automat (PL 70A).

Aparatul PL 70 este echipat și cu un detentor treapta a II-a identic cu cel al aparatului PA 38. Detentorul este o valvă de dozaj controlată de respirație care se deschide la inspirație și se închide la expirație. Acesta asigură livrarea, la cerere, a unui volum de aer necesar scafandrului în faza de inspirație. Totodată, detentorul compensează presiunea exterioară a apei. Aerul expirat este eliminat în mediul acvatic exterior printr-o supapă de evacuare. Aparatul este conectat, prin detentor, la masca facială simplă sau la masca facială a cagulei unui costum cu volum constant.

În figura 3.9 sunt prezentați doi scafandri echipați cu costume cu volum constant și alimentați cu aer prin intermediul aparatelor de respirat PL 70.

Atât la aparatul PL 68 cât și la aparatul PL 70 alimentarea cu aer este posibilă în două feluri (fig. 3.10):

- prin utilizarea unor baterii de butelii de stocare transportabile la locul scufundării, încărcate la o presiune de 150...200 bar (sc. man.) și deservite de un reductor de presiune care reduce presiunea de dinainte de detentor la valoarea de după acesta de 8...10 bar (sc. man.);
- cu un compresor de medie presiune, care livrează aer comprimat la o presiune de circa 40 bar (sc. man.) și la un debit de circa $400 \text{ l}_N/\text{min}$, la care se cuplează un reductor de presiune la ieșire, pentru a reduce presiunea aerului comprimat de la 40 bar (sc. man.) la 10 bar (sc. man.), presiune necesară aerului comprimat pe sistem înainte de detentorul treapta a II-a cuplat la masca facială.

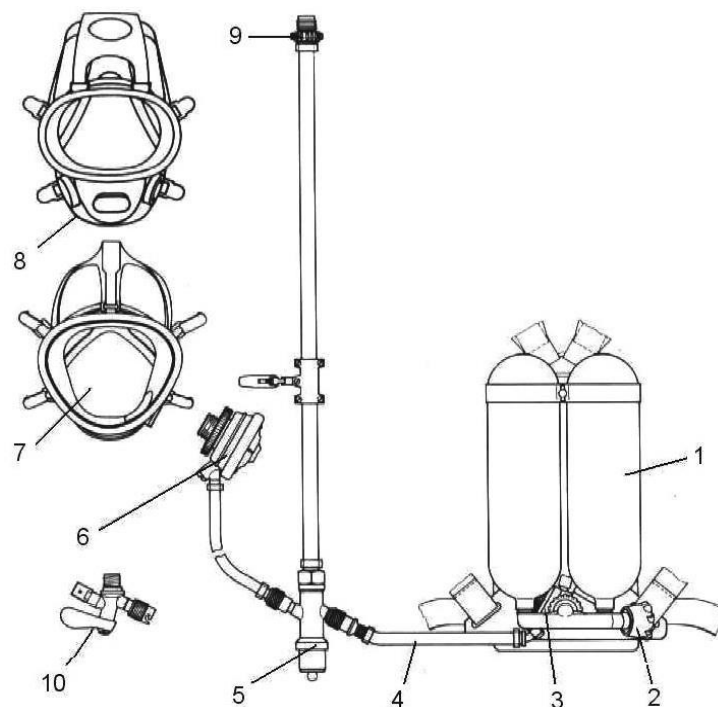


Fig. 3.8. Schema aparatului de respirat sub apă cu circuit deschis, cu alimentare de la suprafață, PL 70:

1- bloc butelii securitate; 2- robinet butelie; 3- detentor treapta I; 4- furtun de medie presiune; 5- robinet de comutare automată; 6- detentor treapta a II-a; 7- mască facială; 8- mască facială pentru cagula costumului cu volum constant; 9- conector furtun alimentare de la suprafață; 10- robinet de comutare manuală.



Fig. 3.9. Scafandri echipați cu aparate de respirat sub apă cu alimentare de la suprafață PL 70.

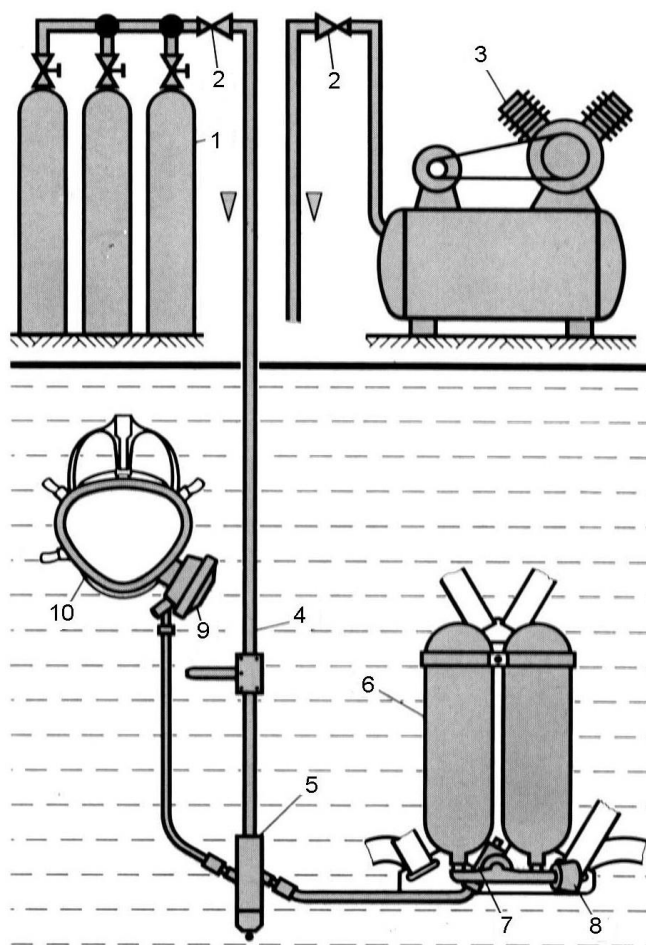


Fig. 3.10. Modalități de alimentare cu aer de la suprafață a aparatelor PL 70:

- 1- baterii de butelii de stocare;
- 2- reductor de presiune treapta I;
- 3- compresor;
- 4- furtun de alimentare;
- 5- robinet de comutare;
- 6- bloc butelii securitate;
- 7- detentor treapta I butelii;
- 8- robinet butelie;
- 9- detentor treapta a II-a;
- 10- mască facială.

3.2.2.2. Aparatul cu circuit deschis, cu alimentare de la suprafață MK21 MOD 1

În figura 3.11 este prezentată schema echipamentului MK21 MOD1 și casca rigidă aferentă, folosit de U.S. Navy pentru operațiuni de scufundare la adâncimi de până la 100 m cu amestec HELIOX și până la maximum 60 m cu aer.

Echipamentul este compus din: cască asamblată, ansamblu ombilical și sistem de alimentare de urgență.

Casca este rigidă și este echipată cu un detentor treapta a II-a de tip Kirby-Morgan alimentat de la suprafață printr-un furtun de medie presiune. Presiunea de alimentare este cu 9...11 bar peste presiunea mediului. Furtunul este prevăzut cu o supapă de sens unic, care nu permite gazului să iasă din cască în cazul în care, în mod accidental, furtunul se depresiurizează. Această supapă este amplasată lateral pe cască. Casca este înzestrată cu un dispozitiv de dezaburire. De asemenea, aceasta este prevăzută cu sistemul receptor-microfon pentru comunicația audio.

Ansamblul ombilical este alcătuit din furtunul de alimentare de la suprafață, cablul de comunicație audio și cablul de rezistență. Sistemul de alimentare pentru cazuri de urgență este compus dintr-o butelie cu detentor treapta I. Butelia are o capacitate de 2 l și presiunea maximă de încărcare de 150 bar (sc. man.). Scafandru deschide butelia de rezervă în cazul în care alimentarea de la suprafață este defectuoasă.

Echipamentul permite respirația în circuit deschis, cu un debit maxim de 300 l_N/min. Aparatul oferă un grad ridicat de siguranță în scufundare și de fiabilitate, dar libertatea de mișcare a scafandruului este mult limitată față de cea a unui scafandru autonom.

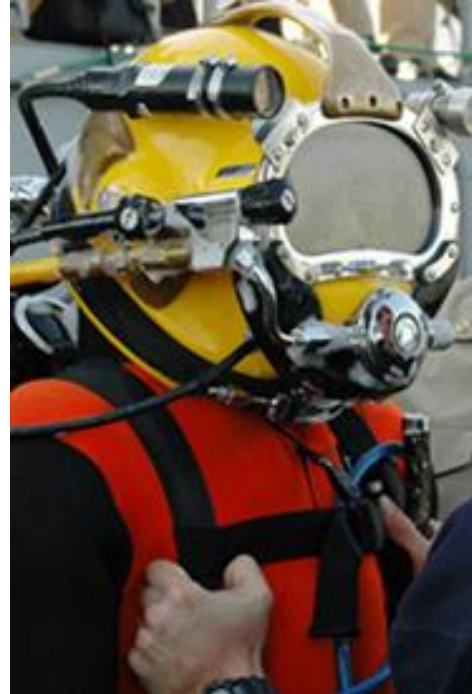
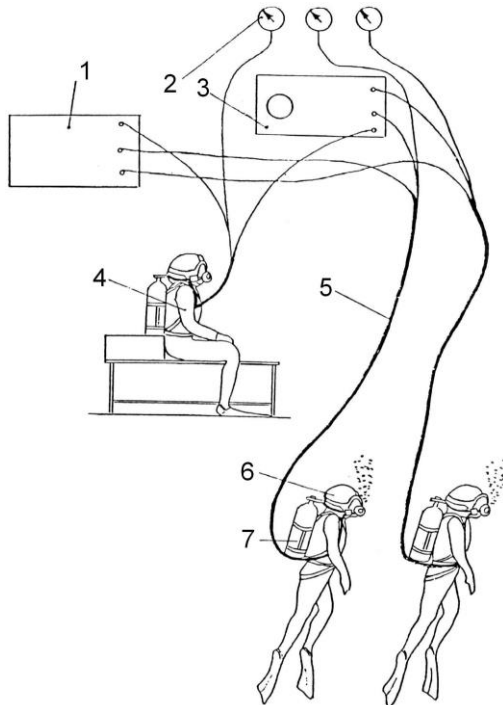


Fig. 3.11. Schema instalației de scufundare cu circuit deschis și alimentare de la suprafață MK 21 MOD 1 și cască rigidă aferentă: 1- instalație de alimentare cu gaz respirator; 2- pneumofazometre; 3- tablou comunicații; 4- scafandru însoțitor; 5- ombilical; 6- cască rigidă cu detentor treapta a II-a; 7- butelie cu rezervă de gaz pentru securitate.

3.2.2.3. Aparatul cu circuit deschis, cu alimentare de la suprafață, ISAS

Instalația de scufundare cu alimentare de la suprafață, ISAS, este un aparat de respirat sub apă cu circuit deschis, cu debit livrat în sistemul la cerere.

Circuitul respirator al instalației de scufundare cu alimentare de la suprafață ca și instalația în ansamblul ei, au fost concepute de un colectiv de specialiști aparținând Centrului de Scafandri Constanța. Instalația este concepută să asigure desfășurarea scufundărilor cu aer, cu durată mare de imersiune, în șantieri situate la adâncimi de până la 18 m. Instalația, prezentată schematic în figura 3.12, cuprinde un rezervor de aer de mare capacitate, o mască facială, ombilicalul și butelia de rezervă.

a. Rezervorul de aer, aflat la suprafață, este o butelie de mare capacitate (40 l la 200 bar (sc. man.)), sau un bloc de butelii (4×12 l la 200 bar (sc. man.)). La sursa de aer este montat un detentor treapta I, echipat cu un manometru de înaltă presiune și unul de joasă presiune, cu ajutorul cărora se urmărește evoluția presiunii gazului din rezervor și, respectiv, din furtunul de alimentare.

b. Ombilicalul (legătura între scafandru și instalațiile de suprafață) este compus din furtunul de alimentare cu aer, saula de rezistență și cablul de comunicații audio. Furtunul de alimentare este confecționat din cauciuc siliconic armat și rezistă la

presiunea de 19 bar (presiunea de lucru). El face legătura între cele două trepte ale aparatului de respirat. Saula de rezistență preia solicitările ce apar la ombilical.

c. Masca facială este executată din cauciuc și are o formă adecvată feței unui scafandru de talie mijlocie. Pe mască este montat detentorul treapta a II-a, prin care respirația se face la cerere, sau continuu, în funcție de opțiunea utilizatorului. Detentorul, tip SUPER-PHYSALIE, nu este prevăzut cu muștiuc, pentru ca scafandru să poată vorbi. Aerul este inspirat din mască, microfonul este amplasat în partea de jos a măștii, lateral. Spațiul din mască, prevăzut pentru posibilitatea comunicării, reprezintă un volum mort pentru respirație. El se adaugă volumului mort din camera de joasă presiune a detentorului treapta a II-a. Din această cauză, respirația prin mască cere scafandru un efort suplimentar față de respirația prin piesa bucală din aparatele de respirat cu circuit deschis, autonome.

d. Butelia de rezervă este purtată de scafandru pe spate. Ea are capacitate mică: 2 l la 150 bar (sc. man.). La butelie este atașat un detentor treapta I, a cărui funcționare este pilotată de presiunea hidrostatică. Această butelie este deschisă de scafandru în cazul în care, în mod accidental, s-a întrerupt alimentarea de la suprafață.

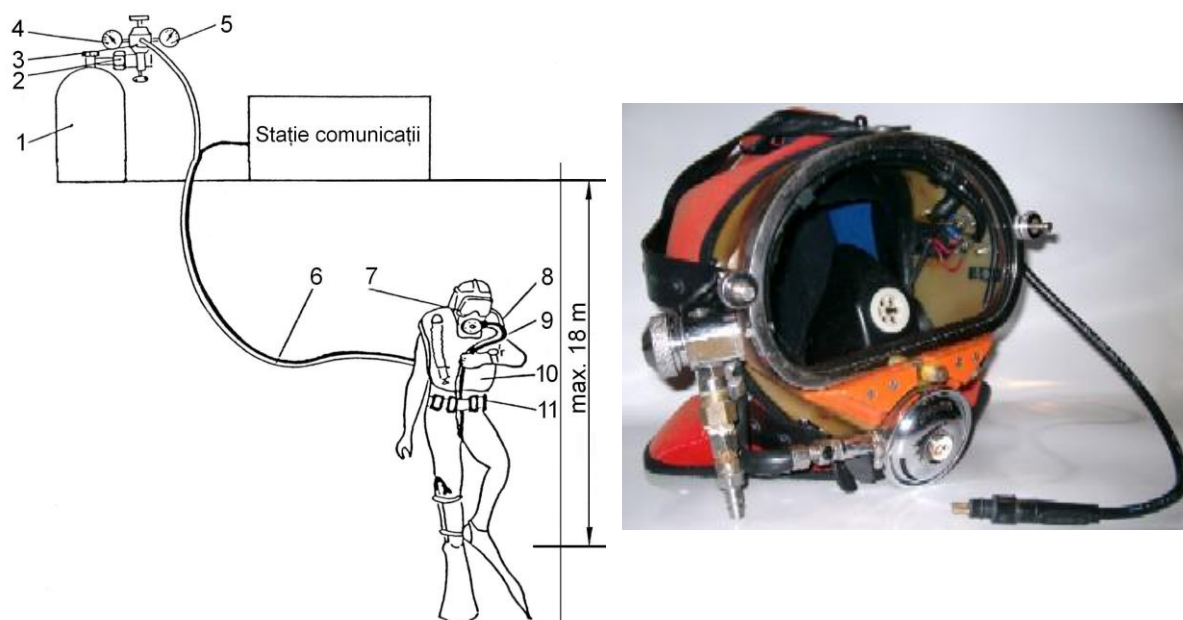


Fig. 3.12. Elementele componente ale instalației de scufundare cu circuit deschis și alimentare de la suprafață, ISAS și masca facială aferentă: 1- butelii de mare capacitate cu aer; 2- racord; 3- detentor treapta I; 4- manometru de înaltă presiune (0...200 bar); 5- manometru de medie presiune (0...25 bar); 6- ombilical; 7- mască facială cu detentor treapta a II-a; 8- cablu comunicații; 9- furtun de alimentare cu aer la presiune medie; 10- vestă de salvare; 11- centură lest.

Furtunul de alimentare cu gaz respirator de la suprafață este prevăzut cu o supapă de sens unic care, atunci când se trece pe rezervă, închide calea de pierdere a aerului pe furtunul avariât. Supapa funcționează și automat dacă butelia de rezervă este deschisă încă de la începutul scufundării, iar presiunea medie de alimentare de la suprafață, de 12 bar (sc. man.) este superioară celei de la butelia de rezervă, de 8 bar (sc. man.). Autonomia oferită de această instalație este de două ori mai mare decât a unui aparat autonom cu butelii de 2×12 l. Zona de intervenție a scafandru este restrânsă de lungimea ombilicalului.

3.3. APARATE DE RESPIRAT SUB APĂ CU CIRCUIT ÎNCHIS. GENERALITĂȚI

Aparatele de respirat sub apă cu circuit închis sunt aparatele, la care întregul amestec gazos rezultat prin expirație este recirculat, o parte din amestec (dioxidul de carbon) fiind reținută în cartușul epurator (absorberul de CO_2) aferent aparatului, cealaltă parte fiind reciclată. Aceste aparate sunt autonome și sunt alcătuite din butelia de stocaj cu oxigen sau cu amestec gazos respirator, dintr-un reductor de presiune treapta I, care reduce presiunea oxigenului sau amestecului respirator de la presiunea înaltă din butelie la o presiune medie și dintr-un sac respirator funcționând ca un reductor treapta a II-a ce permite reducerea presiunii de la valoarea medie la o valoare corespunzătoare adâncimii de imersie.

Aparatele de respirat sub apă cu circuit închis au fost concepute pentru creșterea autonomiei de scufundare și a randamentului scufundării prin reducerea timpilor de decompresie.

3.4. TIPURI DE APARATE DE RESPIRAT SUB APĂ CU CIRCUIT ÎNCHIS

Aparatele de respirat sub apă cu circuit închis pot livra oxigenul sau amestecul respirator fie continuu, fie la cerere. Atunci când aceste aparate utilizează amestec respirator, acesta poate fi realizat prin amestecare locală sau poate fi prefabricat. Autonomia acestor aparate este foarte ridicată. Adâncimea maximă teoretică de lucru la aparatele cu circuit închis este de 6,5 m pentru aparatele cu oxigen (pentru scufundări cu oxigen cu durată relativ scurtă, adâncimea de scufundare poate crește până la 10 m și chiar mai mult pentru incursiuni cu durată foarte mică) și mai mare pentru aparatele cu amestec.

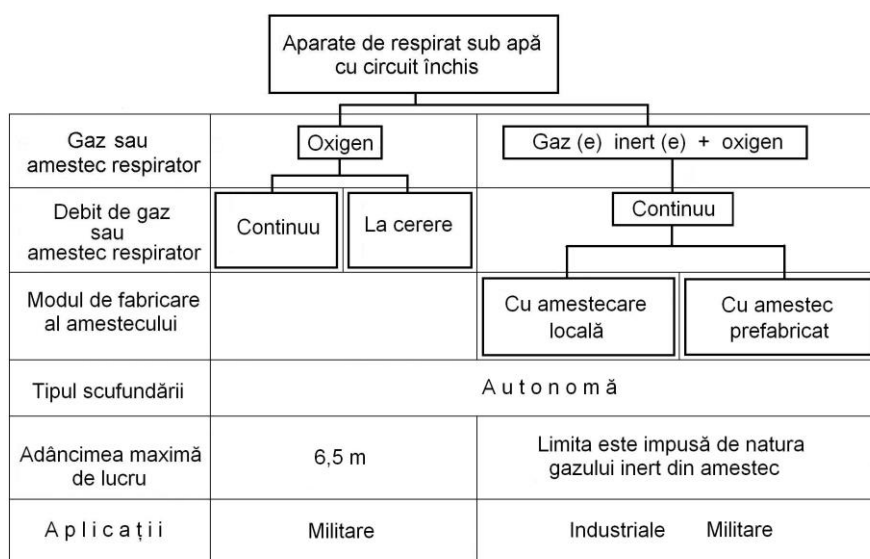


Fig. 3.13. Schema generală cu caracteristicile, performanțele și domeniile de aplicație pentru aparatele de respirat sub apă cu circuit închis.

Prin urmare, aparatele de respirat sub apă cu circuit închis pot fi de două feluri:

- aparate cu circuit închis, *cu oxigen*;
- aparate cu circuit închis, *cu amestec*.

În figura 3.13 se prezintă o schemă generală cu caracteristicile și performanțele aparatelor de respirat sub apă cu circuit închis.

3.4.1. APARATE DE RESPIRAT SUB APĂ CU CIRCUIT ÎNCHIS, CU OXIGEN

Aparatele de respirat sub apă cu circuit închis, cu oxigen, sunt utilizate, prin excelență, în scopuri militare. Utilizarea oxigenului și implicit a acestor aparate a apărut ca o necesitate pentru efectuarea de intervenții subacvatice silențioase la obiective de interes militar, fără ca scafandrii să fie detectați de la suprafață (prin lipsa bulelor de gaz expirat) și fără ca scufundarea să necesite paliere de decompresie la revenirea la presiunea atmosferică și pentru creșterea autonomiei scufundării.

Aparatele de respirat sub apă cu circuit închis ce folosesc oxigen pur, nu pot fi utilizate la adâncimi mai mari de 7...10 m pentru evitarea apariției fenomenului de hiperoxie. Aceste aparate sunt utilizate de către scafandri de luptă și, în general, sunt concepute după aproximativ aceeași schemă de principiu (fig. 3.14). La toate tipurile de astfel de aparate cu oxigen, adâncimea de scufundare este limitată la 7...10 m, autonomia este de 3...4 ore, iar la revenirea către suprafață scafandrul nu trebuie să efectueze decompresie. Prin urmare, aparatele cu oxigen cu circuit închis sunt caracterizate printr-un randament al scufundării ridicat. Cu toate avantajele prezentate mai sus, utilizarea acestor aparate prezintă unele riscuri în sensul că poate să apară criza hiperoxică în cazul depășirii presiunii parțiale a oxigenului limită, deci în cazul depășirii adâncimii limită de scufundare, sau intoxicația cu dioxid de carbon în cazul funcționării necorespunzătoare a cartușelor epuratoare.

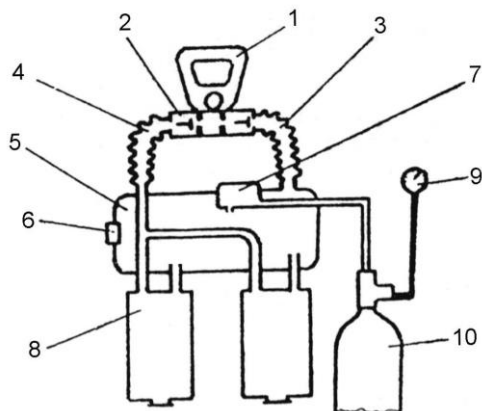


Fig. 3.14. Schema de principiu a unui aparat de respirat sub apă autonom, cu circuit închis:

- 1- mască facială cu piesă oronazală;
- 2- bloc supape;
- 3- furtun inspirație;
- 4- furtun expirație;
- 5- sac respirator;
- 6- supapă de siguranță;
- 7- detentor;
- 8- cartușe epuratoare pentru reținere CO₂;
- 9- manometru de control presiune din butelie;
- 10- butelie oxigen.

Din punct de vedere al circuitului respirator aparatele de respirat sub apă autonome cu circuit închis, cu oxigen, se împart în două categorii:

- aparate cu circuit respirator închis, cu oxigen, în sistem pendular;
- aparate cu circuit respirator închis, cu oxigen, în sistem circular.

3.4.1.1. Aparatul cu circuit închis, cu oxigen, LAR VI

Aparatul de respirat sub apă cu circuit închis, cu oxigen pur ca gaz respirator și cu debit la cerere, LAR VI (fig. 3.15), este un aparat militar cu regenerare fabricat de firma DRÄGER. Oxigenul utilizat, cu o puritate de 99,5% în volum, circulă într-un

circuit închis. Calcea sodată, care este absorberul de dioxid de carbon, aflată în interiorul cartușului epurator, fixează dioxidul de carbon conținut în gazul expirat. Oxigenul consumat este completat din butelia de oxigen în două moduri diferite funcție de intensitatea respirației, după cum urmează:

- în cazul unei intensități normale a respirației, prin intermediul automatului pulmonar (detentorul situat pe sacul respirator) care se deschide la cerere;
- în cazul unei intensități a respirației suplimentare, printr-un robinet de by-pass (montat în derivație) controlat manual.



Fig. 3.15. Aparatul de respirat sub apă cu circuit închis, cu oxigen, LAR VI.

Schema de principiu a aparatului de LAR VI, este prezentată în figura 3.16.

Aparatul LAR VI, din punct de vedere al amprente magnetice și amprente acustice, este în conformitate cu standardele NATO.

Adâncimea maximă de scufundare este de 10 m (această adâncime fiind reglementată de standardele naționale pentru scufundări cu oxigen pur), iar durata de utilizare în imersiune depinde de consumul de oxigen deci de nivelul de activitate subacvatică. Domeniul de temperatură la care poate fi folosit acest aparat în scufundare este cuprins în intervalul $-1...+35^{\circ}\text{C}$.

Buteliile de gaz (de oxigen pur) aferente aparatului sunt fabricate în patru variante funcție de standardele NATO. Capacitatea sacului respirator este de aproximativ 5,5 l. Volumul de calce sodată de tipul DiveSorbPro, folosit la o scufundare, este de aproximativ 2,7 l. Funcție de varianta de butelie folosită, greutatea în aer a aparatului este situată în intervalul 12...14 kgf. În apă, aparatul LAR VI are o greutate neutră (flotabilitate nulă) pentru sacul respirator umflat cu aproximativ 2 l de oxigen. Dimensiunile aparatului sunt: lungimea de 425 mm, lățimea de 300 mm și adâncimea de 170 mm.

La un consum de oxigen de 1,8 l_N/min, folosind ca absorber calcea sodată recomandată de producător (DiveSorbPro), aparatul poate să opereze la o temperatură de $+2^{\circ}\text{C}$ între 140 min și 180 min, iar la o temperatură de $+10^{\circ}\text{C}$ între 150 min și 180 min. Diferența între limita maximă și minimă a timpului de operare la diferite adâncimi este dată de faptul că aparatul poate să fie dotat cu un înveliș de izolație termică sau nu. Aparatul LAR VI provine din perfecționarea aparatului LAR V.

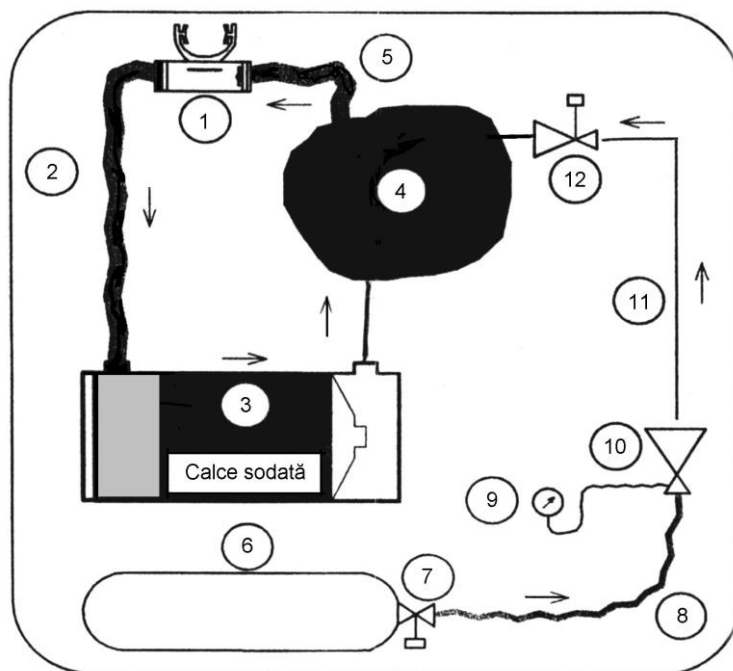


Fig. 3.16. Schema circuitului de gaz pentru aparatul cu oxigen în circuit închis LAR VI:

- 1- piesă bucală cu muștiuc; 2- furtun de expirație; 3- cartuș epurator pentru CO₂; 4- sac respirator; 5- furtun de inspirație; 6- butelie cu oxigen; 7- robinet butelie; 8- linia de înaltă presiune; 9- manometru de înaltă presiune; 10- reductor de presiune (detentor treapta I); 11- linia de medie presiune; 12- valvă cu deschidere la cerere (detentor treapta a II-a).

Principala diferență între cele două aparate constă în faptul că aparatul LAR V este un aparat cu amprentă magnetică, butelia de oxigen fiind fabricată într-o singură variantă și anume în varianta magnetică. Principalele componente ale aparatului LAR V se pot folosi și la aparatul LAR VI. Întotdeauna, când se va face o astfel de schimbare, va trebui verificată noua amprentă magnetică a aparatului. Standardele NATO cu privire la amprenta acustică sunt respectate de ambele aparate.

Pregătirea aparatului LAR VI pentru scufundare urmărește, în principal, următoarea succesiune de operații:

- se demontează canistra cu calce sodată în vederea umplerii cu acest material absorbant. Această operație se execută numai înaintea scufundării, iar între scufundări canistra nu va sta plină;
- se umple canistra cartușului epurator cu calce sodată;
- după umplere, canistra se montează la loc; pentru temperaturi mai mici de 10⁰C se montează și învelișul izolator;
- se verifică etanșeitățile aparatului la subpresiune: după o perioadă de testare de aproximativ trei minute, trebuie ca sacul respirator să rămână încă pliat sub acțiunea subpresiunii, el neavând voie să se destindă (să se umfle);
- se verifică presiunea oxigenului din butelie. Aceasta trebuie să fie de 200 bar (sc. man.), iar în caz contrar trebuie să se umple butelia;
- se verifică din nou etanșeitățile la subpresiune;
- scafandru se echipează cu aparatul de scufundare. După echipare, scafandru va inspira pe gură și va expira pe nas de mai multe ori până când se aude cum se deschide automatul pulmonar și pătrunde oxigenul dinspre butelie către sacul respirator.

Aparatul este gata de utilizare numai după ce au fost efectuate toate verificările. Mai întâi se va proba aparatul în apă până la brâu, abia apoi se va efectua scufundarea în apă adâncă. Pe timpul utilizării aparatului, în imersie, la intervale regulate, scafandru va citi manometrul de control verificând astfel periodic rezerva de oxigen disponibilă. Se va planifica în așa fel scufundarea încât butelia de oxigen să nu se golească sub o presiune a oxigenului stocat de 10 bar (sc. man.).

Pătrunderea apei sau a umezelii în circuitul respirator al aparatului face aparatul de neutilizat. Întotdeauna, înainte ca muștiucul să fie scos din gură, pentru a preîntâmpina pătrunderea apei sau a umezelii în circuitul de respirație al aparatului, se va etanșeiza muștiucul prin închiderea valvei rotative și tragerea manetei în jos.

După utilizare, aparatul se demontează, se golește canistra de masa de absorbant, se curăță, se dezinfectează, iar apoi se usucă.

Aparatul model LAR VI.1, cu un kit de modernizare, poate să folosească și amestec respirator prefabricat. Prin această modernizare aparatul LAR VI.1 devine echivalent cu aparatul LAR VII Standard.

3.4.1.2. Aparatul cu circuit închis, cu oxigen, FROGS

Aparatul FROGS (fig. 3.17), este un aparat robust, simplu și de înaltă performanță din gama aparatelor de respirat sub apă cu circuit închis, cu oxigen, fiind produs de firma franceză AQUA LUNG.

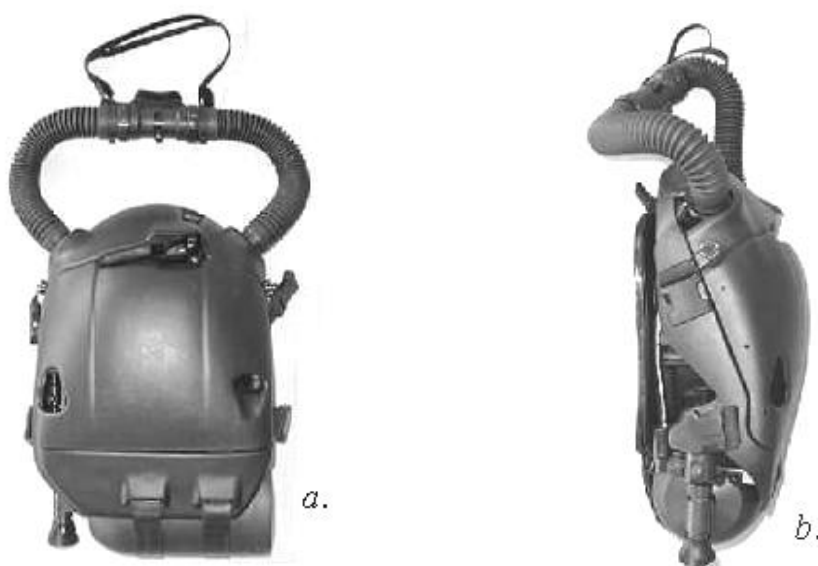


Fig. 3.17. Aparatul de respirat sub apă cu circuit închis, cu oxigen, FROGS:
a. Vedere frontală; *b.* Vedere laterală.

Aparatul este containerizat putând fi purtat, cu adaptări minime, atât pe piept cât și pe spate. În figura 3.18 se prezintă schemele funcționale ale aparatului FROGS în fazele de expirație și inspirație.

Principalele caracteristici ale aparatului de respirat sub apă FROGS sunt:

- greutatea totală este de 14,3 kgf;
- dimensiunile sunt: 480 mm × 300 mm × 190 mm;
- buteliile de oxigen sunt amagnetice, fabricate din aluminiu, având o capacitate de 2,1 l la o presiune maximă de 200 bar (sc. man.);
- cartușul epurator cu calce sodată are o capacitate de 2,5 kg masă absorbantă;
- volumul maxim al sacului respirator este de 4,5 l;

Aparate de respirat sub apă cu circuit deschis și închis

- oxigenul la ieșirea din aparat are o presiune de 9,2 bar (± 1 bar);
- amprenta magnetică și acustică sunt în concordanță cu standardele NATO;
- autonomia aparatului este de aproximativ 4 ore.

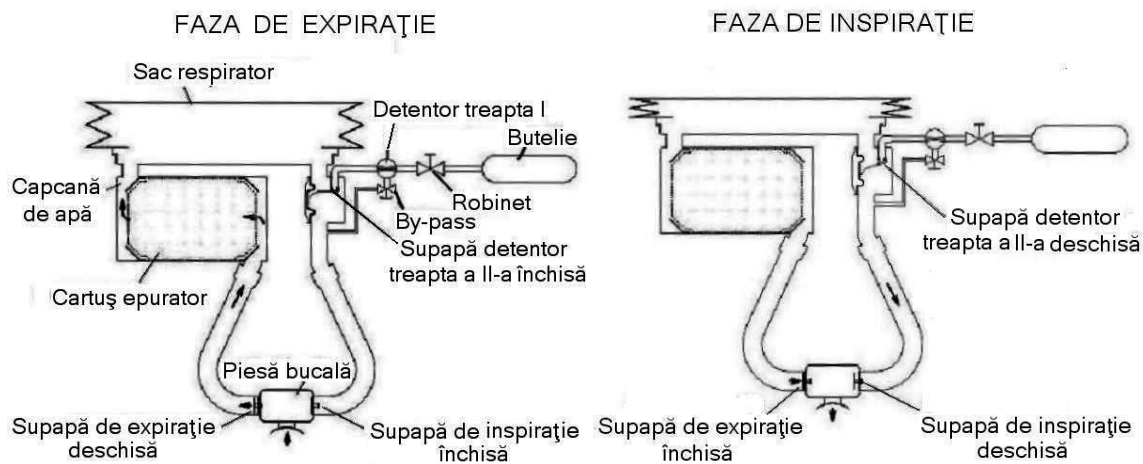


Fig. 3.18. Schemele funcționale ale aparatului FROGS în fazele de expirație și inspirație.

3.4.1.3. Aparatul cu circuit închis, cu oxigen, CODE

Aparatul de respirat sub apă CODE (fig. 3.19) este un aparat în sistem circular cu livrarea gazului respirator la cerere. Cantitatea de oxigen pe care o poate consuma scafandru variază funcție de condiția fizică a acestuia și de dificultatea activității pe care o desfășoară, fiind cuprinsă între 0,5 l_N/min și 2,5 l_N/min .



Fig. 3.19. Scafandru de luptă echipat cu aparat de respirat sub apă cu oxigen în circuit închis, CODE.

La o medie de 1,5 l_N/min (cantitatea medie de oxigen consumată de un scafandru antrenat), cu o butelie plină de oxigen (cca. 120 l_N), aparatul asigură o autonomie de aproximativ 45 minute.

Oxigenul consumat este introdus automat, printr-un regulator, în sacul respirator.

Principalele caracteristici ale aparatului de respirat sub apă CODE sunt:

- dimensiunile sunt: lățime 380 mm, înălțime 400 mm, grosime 135 mm;
- autonomia este de aproximativ 45 minute;
- butelia de oxigen este de 0,6 l la o presiune de 200 bar (sc. man.);

- capacitatea buteliilor este de $0,6 \text{ l} \times 201 \text{ bar} \cong 120 \text{ l}_N$ de oxigen;
- capacitatea canistrei de calce sodată este de $0,9 \text{ l}$;
- volumul sacului respirator este de $4,5 \text{ l}$;
- greutatea aparatului este de 5 kgf .

Aparatul de respirat sub apă **CODE** (Compact Oxygen Diving Equipment), este utilizat de către scafandri de luptă și este fabricat de firma AQUA LUNG.

3.4.1.4. Aparatul LAR VII Standard funcționând în varianta cu oxigen în circuit închis

Aparatul de respirat sub apă autonom LAR VII Standard (fig. 3.20) este fabricat de firma DRÄGER și, funcție de necesitățile operative, funcționează în circuit închis cu oxigen, sau în circuit semiînchis cu amestec respirator binar NITROX. Înainte de utilizare, funcție de planul scufundării, se alege una din cele două variante de utilizare. Trecerea de la o variantă de funcționare la alta se efectuează la suprafață.



Fig. 3.20. Aparatul de respirat sub apă LAR VII Standard
(lucrează în circuit închis sau în circuit semiînchis).

a. Varianta de funcționare în circuit închis, cu oxigen, a aparatului LAR VII Standard

Pentru varianta de funcționare în circuit închis, oxigenul este livrat printr-un automat pulmonar (detentor atașat sacului respirator) către sacul respirator aferent aparatului de respirat sub apă.

Presiunea de evacuare trebuie să fie reglată la supapa de suprapresiune pe poziția "închis". Din circuitul respirator iese gaz numai atunci când acesta se destinde în cazul unei ieșiri rapide la suprafața apei și nu mai poate fi cedat mediului în mod controlat de către scafandru. Aparatul poate fi utilizat în varianta cu oxigen de către scafandri de luptă, pentru operații militare la adâncimi cuprinse în domeniul $0 \dots 10 \text{ m}$.

b. Principiul de funcționare a aparatului LAR VII Standard, în varianta cu circuit închis, cu oxigen

Conform schemei de principiu din figura 3.21, atunci când se deschide butelia de oxigen (11), oxigenul curge către valva de comandă pulmonară (18) care joacă rolul de detentor treapta a II-a, prin reductorul de presiune (15) care joacă rolul de detentor treapta I. Presiunea oxigenului din butelie este indicată la manometrul de înaltă presiune (17).

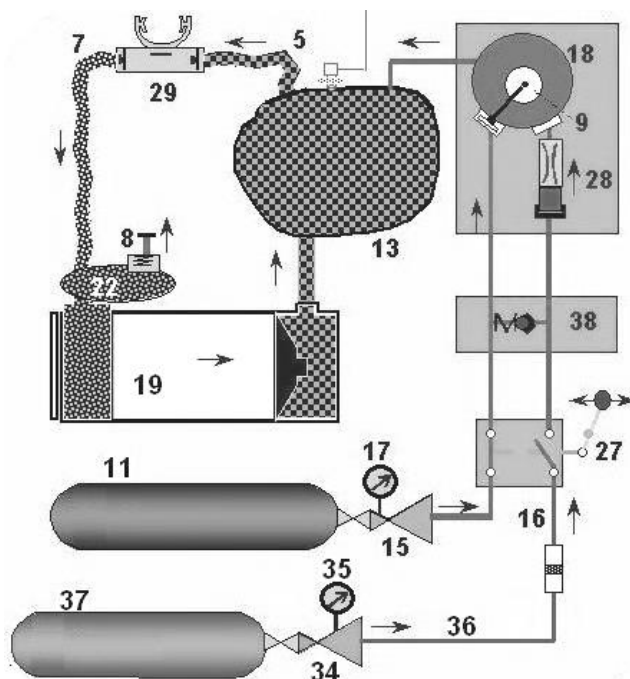


Fig. 3.21. Schema de principiu a aparatului de respirat sub apă LAR VII Standard:

- 5- furtun de inspirație; 7- furtun de expirație; 8- supapă de evacuare; 9- valvă de by-pass; 11- butelie cu oxigen; 13- sac respirator; 15- reductor de presiune pentru oxigen;
16- conductă racord la butelia cu amestec; 17- manometru butelie oxigen; 18- automat pulmonar; 19- cartuș epurator pentru CO₂; 22- distribuitor; 27- bloc comutare; 28- unitate de dozare; 34- reductor presiune pentru amestec; 35- manometru butelie amestec;
36- conductă de racordare; 37- butelie cu amestec de gaze; 38- supapă de reținere.

Fișa de contact a unității de dozare (27) a valvei de comandă pulmonară se introduce cu partea sa pătrată. Marcajul în relief "O₂" se poate vedea cu ușurință. Sacul respirator (13) se alimentează cu oxigen proaspăt de la valva de comandă pulmonară, la comanda plămânului fals (sacul respirator) (13). Atunci, când este deschisă valva rotativă aferentă piesei bucale, prin furtunul de inspirație (5), supapa de inspirație și muștiuc, oxigenul ajunge la scafandru.

Gazul expirat de către scafandru este împins prin supapa de expirație, furtunul de expirație (7) și distribuitorul (22) la cartușul epurator cu material absorbant (calce sodată) pentru reținerea dioxidului de carbon (19). Supapa de suprapresiune (8) rămâne închisă. Circuitul se închide cu transportul de gaz purificat de dioxid de carbon de la cartușul epurator către sacul respirator (13). Oxigenul consumat din sacul respirator este completat cu oxigen proaspăt prin valva de comandă pulmonară (18).

3.4.1.5. Aparatele cu circuit închis, cu oxigen, EMERSON RIG și SIVA 10

Aparatul de respirat sub apă cu oxigen în circuit închis EMERSON RIG (fig. 3.22) este un aparat conceput de U. S. Navy pentru echiparea scafandrilor de luptă în vederea efectuării de operații cu caracter militar.

Aparatul, utilizat pe scară largă de către U. S. Navy, este un echipament cu oxigen pur, fără expirare de bule de gaz în mediul exterior. De aceea, acest aparat este utilizat în operații militare clandestine.

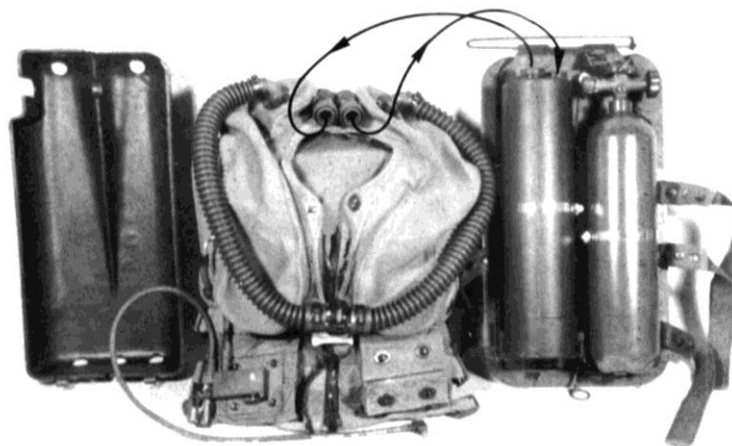


Fig. 3.22. Aparatul de respirat sub apă EMERSON RIG.
Săgețile indică traseul de recirculare.

În continuare sunt prezentate câteva performanțe principale ale aparatului:

- Adâncimea nominală: 7,6 m;
- Durata scufundării: 75 min;
- Adâncimea maximă: 12 m;
- Debitul de oxigen este reglat manual de către scafandru prin intermediul unei valve montată pe vestă.

Un alt aparat de respirat sub apă autonom, cu oxigen în circuit închis la fel de performant este aparatul SIVA 10 fabricat de firma canadiană CARLTON LIFE SUPPORT TECH. Ltd. Și acest aparat este utilizat tot în vederea efectuării de misiuni cu caracter militar.

În continuare sunt prezentate principalele caracteristici ale aparatului SIVA 10:

- Aparatul este cu circuit închis cu oxigen pur, și este amplasat pe pieptul scafandruului;
- Aparatul este construit din materiale amagnetice și antiacustice conform specificațiilor NATO;
- Durata materialului absorbant pentru CO₂ (calcea sodată): 4 ore la 0°C;
- Injecție automată de gaz, la cerere;
- Adâncimea nominală: 8 m;
- Adâncimea maximă: 10 m.

3.4.1.6. Aparatul cu circuit închis, cu oxigen, CASTORO 96 PRO

CASTORO 96 PRO (fig. 3.23) este un aparat de respirat sub apă cu circuit închis, cu oxigen, produs de firma OMG din Italia special conceput pentru a fi utilizat pentru scufundări cu caracter civil. Este unul dintre puținele modele de aparate de acest tip folosite și de scafandri civili. Firma Poseidon a produs aparatul OXYLON cu caracteristici asemănătoare.

Aparate de respirat sub apă cu circuit deschis și închis

Aparatul CASTORO 96 PRO este purtat pe piept, iar oxigenul este furnizat manual de către scafandru prin intermediul robinetului by-pass.

Date tehnice:

- Adâncime maximă: 6 m;
- Capacitate canistră: 2,5 kg Soda Lime;
- Durata scufundării: 20°C - 240 min;
4°C – 130 min;
- Capacitate sac respirator: 8,5 l;
- Temperatura de funcționare: -2...40°C;
- Capacitate butelie oxigen: aluminiu: 1,5 l la 232 bar;
oțel: 2 l la 232 bar;
- Dimensiuni: 400 x 400 x 110 mm;
- Greutate: 8,4 kg pe uscat.



Fig. 3.23. Aparatul cu circuit închis, cu oxigen, CASTORO 96 PRO

3.4.1.7. Aparatul cu circuit închis, cu oxigen, DIVEX SHADOW

SHADOW este un aparat de respirat sub apă cu circuit închis, cu oxigen, cu debit la cerere, produs de firma britanică DIVEX (fig. 3.24). Acest aparat prezintă o amprentă magnetică foarte scăzută conform NATO STANAG 2897 Class A și este utilizat în operațiuni militare de recunoaștere, de deminări și de luptă.

Aparatul prezintă un scăzut nivel de lucru mecanic respirator.

Date tehnice:

- Adâncime de utilizare: 0...15 m;
- Durata scufundării: maxim 6 ore;
- Greutate: 12 kg pe uscat, flotabilitate neutră în apă;
- Circuit de oxigen: automat la cerere și în circuit deschis pentru securitate;
- Butelii: 2 l la 200 bar sau optional 2 l la 300 bar;
- Canistra: 3,5 kg.

Aparatul este prevăzut cu sistem de comunicații subacvatic Divex Digicom Diver Through Water Communications (DTWC) ce poate fi folosit până la distanța de 3000 m.



Fig. 3.24. Aparatul cu circuit închis, cu oxigen, DIVEX SHADOW

3.4.1.8. Aparatul cu circuit închis, cu oxigen, OXYDIVE

OXYDIVE este un aparat cu circuit închis cu oxigen livrat scafandruului la cerere, produs de firma suedeză Interspiro în anul 1982 pentru operațiuni militare clandestine (fig. 3.25). Aparatul este montat pe pieptul scafandruului împreună cu vesta de salvare. Este prevăzut cu robinet de by-pass și cu supapă de securitate ce se deschide la presiune mai mare de 20 cmH₂O.

Câteva date tehnice:

- Adâncime maximă: 8 m;
- Butelie de oxigen standard de 1,5 l la 200 bar și nonmagnetică de 1,5 l la 200 bar;
- Canistra: durata de 3 ore;
- Greutate: 13 kg încărcat cu Soda Lime;
- Dimensiuni: 500 x 350 x 190 mm.

Firma Poseidon a mai produs într-un număr restrâns recirculatoarele în circuit semiînchis cu debit masic constant ACSC în anul 1978 și DCSC (fig. 3.25) în anul 1992.



<http://www.therebreathersite.nl>

Fig. 3.25. Aparatele cu circuit închis, cu oxigen, OXYDIVE (stânga) și DCSC (dreapta)

3.4.2. APARATE DE RESPIRAT SUB APĂ CU CIRCUIT ÎNCHIS, CU AMESTEC RESPIRATOR

Pentru a se putea pătrunde la adâncimi mai mari de 7...10 m realizându-se o autonomie mare și un randament al scufundării ridicat, s-au pus la punct aparate de respirat sub apă cu circuit închis, cu amestecuri respiratorii la care concentrația oxigenului este variabilă funcție de adâncime, astfel încât presiunea parțială a acestuia să fie suficient de mică încât să se mențină sub nivelul de toxicitate și suficient de mare încât să se reducă cât mai mult posibil timpul de decompresie.

La aceste aparate se pune problema stabilității compoziției amestecului respirator într-un anumit interval de valori în jurul unei valori teoretice, numai pentru adâncimi sub 100 m. La adâncimi mai mari, datorită concentrației scăzute a oxigenului în amestecul respirator (spre exemplu de 1% la adâncimea de 400 m), menținerea acesteia într-un anumit interval este foarte dificilă și de aceea nu asigură o securitate corespunzătoare scafandrului. Din acest motiv, s-au construit aparate care asigură în mod automat necesarul de amestec respirator prin două metode:

- injectarea oxigenului într-o cantitate adecvată în amestecul de bază;
- amestecarea automată a oxigenului și a gazului inert.

Aparatele cu circuit închis cu amestecuri respiratorii sunt mai complexe, necesitând o analiză continuă a concentrației oxigenului din amestecuri și controlul sistemului de monitorizare a presiunii parțiale a acestuia. O dată oxigenul consumat de către scafandru, sistemul de monitorizare a presiunii parțiale a oxigenului din amestecul de respirat, compară această valoare cu o valoare de referință și injectează în circuit oxigen pur printr-o electrovalvă, până când presiunea parțială a oxigenului este readusă la valoarea normală. În acest fel, singurul gaz adăugat în sistem, la aceeași adâncime, este oxigenul necesar arderilor metabolice. La schimbarea adâncimii de lucru, în sistem se introduce și gaz inert pentru a se putea asigura volumul corespunzător noii presiuni hidrostatice. Controlul presiunii parțiale a oxigenului se face de obicei la fiecare două secunde.

3.4.2.1. Aparatul cu circuit închis, cu amestec, DOXGERS

Aparatul de respirat sub apă DOXGERS produs de firma U.S. DIVERS, a cărui schemă de principiu este prezentată în figura 3.26, se bazează pe amestecarea locală a oxigenului și a gazului inert, iar presiunea parțială a oxigenului este reglabilă operațional de către scafandru și menținută constantă printr-un sistem de senzori ce comandă electrovalvele. Cu excepția sistemului de injectare a oxigenului, aparatul DOXGERS funcționează ca și aparatele clasice, în care un volum constant de amestec respirator este circulat printr-un sac respirator completat cu gaz inert, în timp ce presiunea parțială a oxigenului este reglată în mod automat. Aparatul are o autonomie de aproximativ o oră la o adâncime de 300 m, scafandrul fiind adus la această adâncime cu turela presurizabilă aferentă unui sistem de scufundare.

3.4.2.2. Aparatul cu circuit închis, cu amestec, MK10 MOD 4

Aparatul american de respirat sub apă tip MK10 MOD 4 a cărui schemă este prezentată în figura 3.27, este un aparat autonom care se utilizează în scufundări cu plecare din turela de scufundare presurizabilă sau din barocamera minisubmarinului purtător de scafandri, până la adâncimea maximă de 450 m, are o autonomie de circa 4 ore și următoarele funcții principale:

- sesizează presiunea parțială a oxigenului din amestecul respirator și o menține în limitele prescrise de tehnologie;

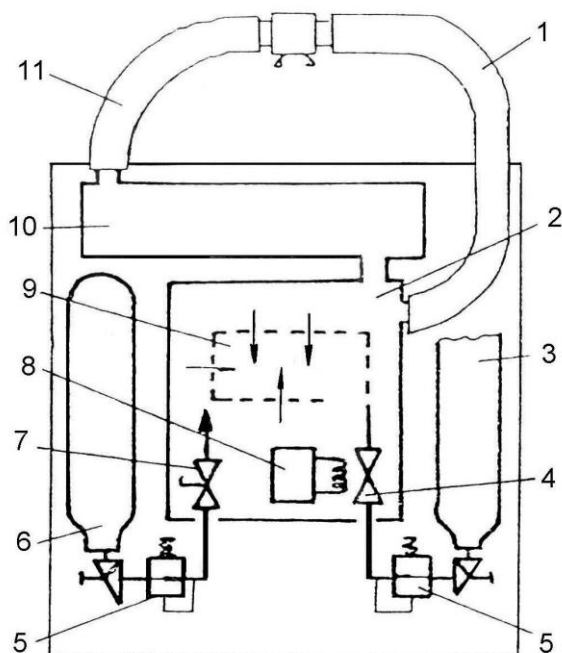


Fig. 3.26. Schema aparatului de respirat sub apă cu amestec, în circuit închis,

DOXGERS:

- 1- furtun inspirație;
- 2- sac respirator;
- 3- butelie cu oxigen;
- 4- electrovalvă;
- 5- detentor treapta I;
- 6- butelie heliu;
- 7- clapet joasă presiune;
- 8- detentor oxigen;
- 9- difuzor;
- 10- cartuş epurator pentru CO₂;
- 11- furtun expirație.

- reține dioxidul de carbon din amestecul respirator;
- menține amestecul respirator din aparat la presiunea hidrostatică corespunzătoare adâncimii la care se află scafandrul;
- funcționează ca aparat cu circuit închis, cu sisteme de control adecvate.

Aparatul MK 10 MOD 4 folosește două gaze de alimentare: oxigen pur stocat într-o butelie cu o capacitate de 532 l_N și gaz diluant (aer, amestec gazos sintetic sau gaz inert pur) stocat într-o butelie de 432 l_N . Aparatul funcționează în cele trei moduri prezentate anterior: automat, manual și de avarie.

Scafandrul expiră, prin furtunul de expirație, în epuratorul de dioxid de carbon. Mai întâi, gazul expirat trece printr-un filtru cu silicagel pentru reținerea umidității, apoi trece prin filtrul de epurare cu absorbant, pentru reținerea dioxidului de carbon, iar, în final, gazul expirat trece din nou printr-un filtru cu silicagel pentru a se înlătura umiditatea generată de reacția chimică a absorbantului.

Toate aceste filtre sunt montate într-un cartuş din material inoxidabil. La partea superioară a cartuşului filtrant sunt montați trei senzori electrochimici pentru presiunea parțială a oxigenului, în vederea monitorizării amestecului respirator la ieșirea din epurator. Doi dintre acești senzori sunt conectați la un modul electronic care, la fiecare două secunde compară semnalele primite cu nivelul impus de tehnologie.

Aparatul funcționează pentru două niveluri de presiune parțială a oxigenului, care pot fi alese de scafandri. Nivelul inferior este pentru scufundare obișnuită, pe când nivelul superior este folosit pentru accelerarea decompresiei.

Al treilea senzor de oxigen transmite informații scafandrului asupra presiunii parțiale a oxigenului pe un display prins ca un ceas pe încheietura mâinii. Modulul electronic este alimentat de 20 de baterii cadmiu-nichel reîncărcabile pentru maximum 250 de cicluri operaționale.

Aparate de respirat sub apă cu circuit deschis și închis

Modelul conține patru rezistoare variabile folosite pentru calibrări, o pereche fiind folosită pentru calibrarea primilor doi senzori, iar cealaltă pereche pentru calibrarea presiunilor parțiale ale oxigenului.

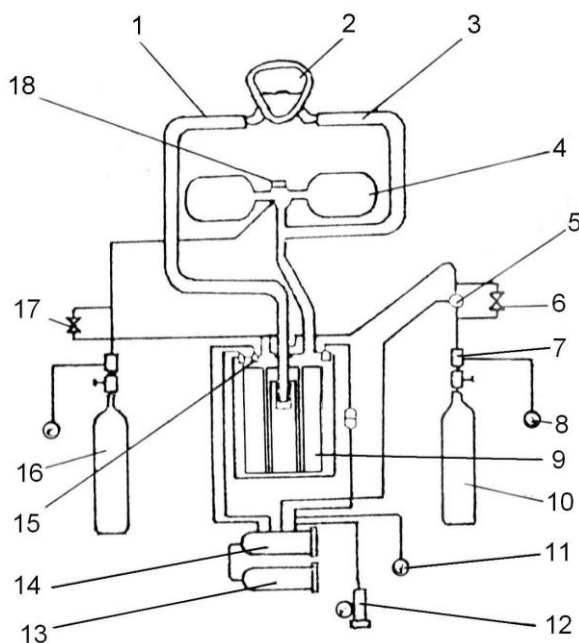


Fig. 3.27. Schema aparatului de respirat sub apă cu circuit închis, cu amestec, MK 10 MOD 4:

- 1- furtun expirație;
- 2- mască facială;
- 3- furtun inspirație;
- 4- saci respiratori;
- 5- vană injecție oxigen;
- 6- by-pass;
- 7- detentor treapta I;
- 8- manometru control;
- 9- cartuș epurator;
- 10- butelie oxigen;
- 11- display oxigen;
- 12- întrerupător;
- 13- baterii;
- 14- modul electronic;
- 15- senzori oxigen;
- 16- butelie gaz inert;
- 17- vană adaus gaz inert;
- 18- supapă de siguranță.

Gama disponibilă pentru nivelul inferior al presiunii parțiale a oxigenului este 0,2...1,0 bar (sc.abs.), iar pentru nivelul superior este de 0,95...1,25 bar (sc.abs.).

Gazul inert trece printr-un distribuitor spre sacul respirator. În circuit se află un detentor treapta a II-a care alimentează în sistem la cerere circuitul cu gaz inert. Admisia gazului inert în sistem se face de fiecare dată când presiunea hidrostatică crește cu circa 1 m H₂O, fiind reglată a se face în limitele 1,0...2,5 m H₂O.

O problemă importantă în pregătirea aparatului pentru scufundări constă în alegerea gazului inert și în calculul consumului de oxigen și de gaz inert. Gazul inert utilizat poate fi orice gaz inert potrivit adâncimii maxime de scufundare. Pentru adâncimi de până la 40 m se recomandă folosirea aerului sau a amestecului HELIOX cu 80% heliu și 20% oxigen. Pentru adâncimi de peste 40 m, amestecul respirator se alege funcție de adâncimea maximă de lucru.

3.4.2.3. Aparatul cu circuit închis, cu amestec, MK 15

Aparatul de respirat sub apă cu amestec respirator, funcționând în circuit închis, MK 15 (fig. 3.28), este un aparat conceput de U.S. Navy pentru operații militare specifice scafandrilor de luptă.

Acest aparat a fost conceput în mod special pentru a fi utilizat de către scafandri din echipele speciale UDT/SEAL. Aparatul menține, în mod automat, o presiune parțială a oxigenului de 0,7 bar (sc.abs.), controlată electronic cu senzori electrochimici. Aparatul este prevăzut cu două butelii de formă sferică, una pentru gazul diluant, cealaltă pentru oxigen. Scafandrul respiră amestecul gazos, la cerere, în funcție de necesități, prin intermediul unei măști faciale.

În continuare sunt prezentate câteva din principalele caracteristici ale aparatului:

- Adâncimea maximă: 45 m;

- Durata utilizării unei încărcături cu calce sodată: 6 ore la 26⁰C și 2 ore și 40 min. la 4⁰C.

Acest aparat utilizează tabele proprii de decompresie fiind echipat cu un calculator de scufundare electronic.

3.4.2.4. Aparatul cu circuit închis, cu amestec, PRISM-TOPAZ

Aparatul de respirat sub apă cu circuit închis, cu livrarea de amestec respirator către scafandru, PRISM-TOPAZ (fig. 3.29), este un aparat fabricat de firma americană STEAM MACHINES. Acest aparat este destinat activităților cu caracter civil.

Aparatul este utilizat în special de către scafandri care efectuează scufundări în peșteri sau la epave, însoțite de activități de fotografiere și filmare.

Față de celelalte tipuri de aparate, acesta prezintă avantajul că poate fi utilizat în toate cele trei modalități: în circuit închis, în circuit semiînchis și în circuit deschis.

Atât în cazul funcționării în circuit închis, cât și în cazul funcționării în circuit semiînchis, concentrația de oxigen este menținută la o valoare constantă. La funcționarea în circuit semiînchis, aparatul utilizează injectarea unui debit masic constant în sistem. Funcționarea în circuit deschis, poate fi utilizată ca rezervă, în caz de urgență scafandru respirând direct amestecul respirator din același detentor, prin comutare manuală.

În continuare sunt arătate câteva caracteristici ale aparatului:

- Sacul respirator este plasat pe pieptul scafandrului;
- Durata de utilizare a unei încărcături cu calce sodată: 6,5 ore pentru 1,7 kg;
- Adâcimea nominală: 45 m;
- Adâncimea maximă: 150 m.

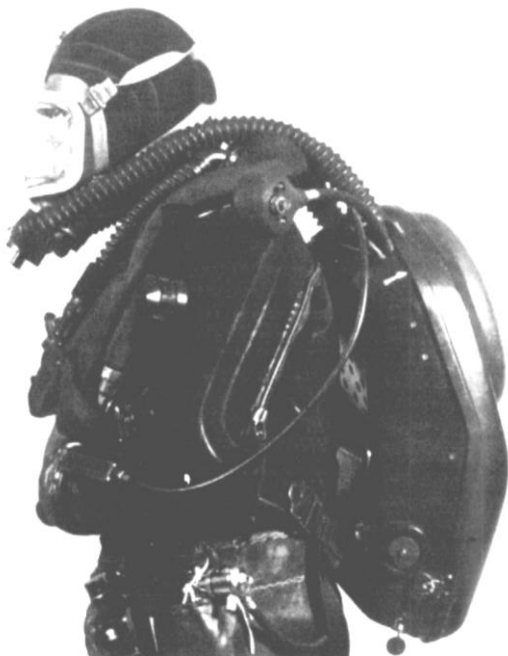


Fig. 3.28. Scafandru militar echipat cu aparat de respirat sub apă, cu amestec în circuit închis, MK 15.



Fig. 3.29. Scafandru echipat cu aparat de respirat sub apă, cu circuit închis, cu amestec, PRISM-TOPAZ.

3.4.2.5. Aparatul cu circuit închis, cu amestec, CISLUNAR MK5

Aparatul de respirat sub apă cu circuit închis MK 5P este ultima versiune, a aparatelor recirculatoare în circuit închis produse de CISLUNAR (fig. 3.30).

În această versiune, au fost incluse multe îmbunătățiri cum ar fi: multipli senzori de monitorizare a presiunii parțiale de O_2 , mai mulți microprocesori, mai multe surse electrice de alimentare, precum și mai multe surse de afișare. Toate aceste sisteme pot funcționa atât împreună cât și independent pentru situații de urgență.

Sacul respirator este prevăzut, la umeri, cu două dispozitive de captare a apei în caz de inundare accidentală a furtunului care dirijează apa către sacul respirator, unde este purjată de scafandru.

Unul din senzorii de monitorizare a presiunii parțiale de O_2 (fig. 3.31) este inclus într-un calculator de scufundare pentru multiple amestecuri respiratorii binare sau trimix. Cu acest calculator, scafandru poate comuta de pe un amestec pe altul în timpul scufundării, precum și în circuit deschis în caz de urgență.



Fig. 3.30. Aparatul cu circuit închis, cu amestec, CISLUNAR MK5.



Fig. 3.31. Senzor de monitorizare a presiunii parțiale a O_2 .

În timpul comutării, calculatorul continuă să monitorizeze și să calculeze profilul de decompresie pentru amestecul respectiv.

Pe piesa bucală este montat un afișaj digital astfel că scafandru poate monitoriza în orice moment informații critice asupra scufundării (presiune parțială a O_2 , decompresie, adâncime).

O altă inovație a aparatului o constituie o membrană impermeabilă folosită pentru a proteja canistra cu absorbant de o eventuală inundare accidentală a circuitului de inspirație.

Membrana permite accesul gazului respirator și împiedică pătrunderea apei. Astfel, se poate schimba canistra chiar și sub apă în timpul efectuării palierului de decompresie.

Trecerea la respirație în circuit deschis se face prin intermediul unui detentor treapta a II-a integrat în piesa bucală.

De asemenea, scafandru poate folosi diferite tipuri de măști faciale.

Date tehnice suplimentare:

- Adâncime maximă: 152 m;
- Capacitate canistră: 4...12 ore cu Sofnolime sau 6...14 ore cu Lithium Hydroxide;
- Greutate: 28 kg.

3.4.2.6. Aparatul cu circuit închis, cu amestec, CLASIC KISS

Firma canadiană Jetsam Industries produce aparatul de respirat sub apă cu circuit închis CLASIC KISS (fig. 3.32) în anul 2000, urmat de varianta mai perfecționată SPORT KISS în anul 2004. Ambele modele funcționează în circuit închis cu debit volumic constant, fiind primele modele de recirculatoare civile care au acest sistem de injecție al oxigenului.

Recirculatoarele KISS nu au primit certificare CE (EN 14143, EN 61508).

Oxigenul este furnizat în circuit fie prin debit constant, fie manual prin intermediul supapei manuale.

În modul debit continuu, debitul de oxigen este furnizat în circuit prin intermediul unui orificiu cu diametrul de 0,0035 mm. Debitul de oxigen este reglabil și poate fi setat pînă la maxim 1 l_N /min., dar valoarea normală este pentru 0,5...0,7 bar.

În modul manual, oxigenul este introdus în circuit prin apăsarea butonului de admisie din supapa manuală, în funcție de adâncimea scufundării și de activitatea depusă.

Furnizarea amestecului gazos se face automat în debit volumic constant prin intermediul unei supape automate de injecție ce compensează compresia sacului respirator, în timpul coborârii, în funcție de adâncime, sau când scafandrul a inspirat complet din furtunul de inspir.

Amestecul gazos poate fi aer comprimat sau TRIMIX, precum și NITROX pentru scufundări la adâncime mică.

Presiunea parțială a oxigenului este controlată de trei senzori tip R22D Teledyne (fig. 3.33), independenți unul de celălalt. Ambele modele sunt prevăzute și cu posibilitate de funcționare în circuit deschis în caz de urgență (hipercapnie, hiperoxie, hipoxie sau inundare accidentală a circuitului închis).



Fig. 3.32. Aparatul cu circuit închis, cu amestec, CLASIC KISS.



Fig. 3.33. Senzori tip R22D Teledyne.

Date tehnice:

- Adâncime maximă: CLASIC KISS: 75 m;
SPORT KISS: 50 m;
- Capacitate butelii: ambele modele sunt prevăzute cu 2 butelii de 368 l_N din aluminiu, pentru oxigen și diluant;
- Capacitate canistră: CLASIC KISS: 2,3 kg Sofnolime (canistră axială);
SPORT KISS: 2,3 kg Sofnolime (canistră bi-axială);

Aparate de respirat sub apă cu circuit deschis și închis

- Dimensiuni: CLASIC KISS: 54 x 36 x 20 cm;
SPORT KISS: 56 x 51 x 13 cm;
- Greutate: CLASIC KISS: 22 kg;
SPORT KISS: 17,5 kg.

3.4.2.7. Aparatul cu circuit închis, cu amestec, INSPIRATION

Aparatul de respirat sub apă cu amestec INSPIRATION (fig. 3.34) este un aparat în circuit închis produs de firma AP Diving din Marea Britanie. Prima variantă a apărut în anul 1996, urmată apoi în anul 2005 de variante mai perfecționate, INSPIRATION VISION și EVOLUTION VISION.

Aparatele INSPIRATION și EVOLUTION sunt cele mai răspândite recirculatoare special concepute pentru scufundări cu caracter civil, estimându-se un număr de peste 5000 de modele aflate în folosință. Inspiration este și primul aparat recirculator ce a primit certificarea CE (EN 14143, EN 61508).

Aparatele sunt prevăzute cu trei senzori electrochimici model Vision, pentru monitorizarea presiunii parțiale de oxigen, produși de aceeași firmă, precum și cu un calculator Vision ce afișează o gamă largă de informații asupra aparatului și parametrilor de scufundare, inclusiv decompresia în apă și intervalul la suprafață.

În caz de urgență, scafandru poate comuta imediat pe circuit deschis, alimentarea cu amestec respirator făcându-se direct din piesa bucală prin intermediul detentorului treapta a II-a incorporat.

Furnizarea amestecului gazos se face automat prin intermediul unei supape automate de injecție ce compensează compresia sacului respirator din timpul coborârii, în funcție de adâncime.



Fig. 3.34. Aparatul cu circuit închis, cu amestec, INSPIRATION.

Pe piesa bucală este montat un afișaj digital, astfel că scafandru poate monitoriza în orice moment informații critice asupra scufundării (presiune parțială a O₂, decompresie, adâncime).

Aparatele Inspiration și Evolution folosesc ca amestec respirator aer comprimat, amestec HELIOX sau amestec TRIMIX.

Presiunea parțială de oxigen este setată la suprafață la valoarea de 0,7 bar, iar în timpul coborârii este setată de către scafandru la 1,3 bar.

Aparatele INSPIRATION și EVOLUTION prezintă date tehnice comune, cu excepția dimensiunilor și a greutății care sunt în funcție de mărimea canistrei cu absorbant:

- Adâncime maximă: Aer: 40 m;
HELIOX: 100 m;
TRIMIX: 110 m;
- Temperatura de funcționare: 4...32°C;
- Dimensiuni: INSPIRATION: 650 x 450 x 350 mm ;
EVOLUTION: 480 x 410 x 350 mm;
- Greutate: INSPIRATION: 29,5 kg;
EVOLUTION: 24,7 kg;
- Volum sac respirator: 14 l;
- Butelii: 2 butelii din oțel cu oxigen și diluant (capacitate diluant de 538 l).
- Capacitate canistră: INSPIRATION: 2,45 kg Sofnolime;
EVOLUTION: 2,1 kg Sofnolime;
- Consolă de monitorizare Vision prevăzută și cu un senzor de căldură pentru măsurarea consumului de absorbant;
- Baterie: Fujitsu Lithium 6 volt, tip CRP2;
- Precizia consolei electronice Vision: ± 0.05 bar;
- Valori de setare p_{O_2} : minim: 0,5...0,9 bar;
maxim: 0,9...1,5 bar;
- Valori avertizare p_{O_2} : 0,4...1,6 bar;
- Altitudine (presiune atmosferică): 650...1080 mbar;
- Calculatorul de scufundare Vision poate afișa informații în mai multe limbi: Engleză, Germană, Olandeză, Italiană, Spaniolă, Franceză, Portugheză, Cehă și Daneză.

3.4.2.8. Aparatul cu circuit închis, cu amestec, OUROBOROS

OUROBOROS este numele unui aparat de respirat sub apă cu circuit închis, cu amestec, cu senzori electrochimici, produs de firma Closed Circuit Research Ltd din Marea Britanie în anul 2005 (fig. 3.35). Aparatul este conceput special pentru scufundări civile.

Aparatul OUROBOROS este certificat CE (EN14143:2003).

Cartușul epurator este radial (amestecul respirator circulă dinspre centru spre margine) și, în acest mod, absorbantul este folosit mai eficient (90 minute la 100 m, 150 minute la 40 m, 210 minute la 15 m).

Aparatul este prevăzut cu posibilitatea de a evacua pătrunderea accidentală a apei prin furtunul și sacul respirator de expir care are, la partea inferioară, o supapă de evacuare ce va elimina apa odată cu surplusul de gaz.

Informațiile aparatului precum și parametrii de scufundare sunt monitorizați de un display principal având trei baterii cu o durată de 25...30 ore de funcționare, un display secundar cu propria sursă de baterii, independent de primul și un display montat pe piesa bucală. Acesta are patru semnale optice de diferite culori (alb, roșu, albastru) ce indică informații despre aparat, decompresie, funcționare corectă a senzorului electrochimic și respectiv p_{O_2} (valoare minimă 0,7 bar, valoare maximă 1,2...1,4 bar).

De asemenea, în spatele aparatului se află încă un display ce poate fi observat de către un alt scafandru.



Fig. 3.35. Aparatul cu circuit închis, cu amestec, OUROBOROS:

- 1- senzor electronic PO_2 ;
- 2- furtun ;
- 3- butelie O_2 ;
- 4- butelie gaz diluant ;
- 5- carcasă din kevlar.

Amestecul gazos este alimentat automat prin supapa de injecție automată. Carcasa exterioară este din kevlar, aparatul având o greutate de 32 kg cu absorbant în canistră.

Alte date tehnice:

- Adâncime maximă: 40 m cu aer, 100 m cu HELIOX;
- Capacitate canistră: 3,6 sau 4,4 kg Sofnolime 797;
- Capacitate sac respirator: 5,5 l;
- Butelii: oxigen și diluant cu capacitatea de 2 l fiecare la 232 bar;
- Temperatura optimă de funcționare: 4...32°C.

3.4.2.9. Aparatul cu circuit închis, cu amestec, MK 6 DISCOVERY

Aparatul MK 6 DISCOVERY (fig.3.36) este un aparat de respirat sub apă cu circuit închis, cu amestec, produs de firma Poseidon în anul 2007, special pentru scufundări cu caracter sportiv sub curba de securitate.

Aparatul utilizează amestec respirator la care presiunea parțială a oxigenului din amestecul respirator rezultat este menținută între 0,4...1,3 bar.

În funcție de adâncime, concentrația oxigenului poate fi de 28...100%, iar concentrația de azot de 0...79%.

Aparatul este prevăzut cu un sistem electronic inovator de autocalibrare și de monitorizare permanentă a senzorilor presiunii parțiale de oxigen, atât înainte de scufundare cât și în timpul scufundării.

Furnizarea amestecului gazos se face automat prin intermediul unei supape automate de injecție ce compensează compresia sacului respirator din timpul coborârii în funcție de adâncime. Aparatul MK 6 DISCOVERY dispune de un panou principal de afișare a parametrilor aparatului și ai scufundării, precum și nu mai puțin de cinci sisteme separate de avertizare sonore, vizuale și tactile.

În caz de urgență, scafandru poate comuta imediat pe circuit deschis, alimentarea cu amestec respirator făcându-se direct din piesa bucală prin intermediul detentorului treapta a II-a incorporat.



Fig. 3.36. Aparatul cu circuit închis, cu amestec, MK 6 DISCOVERY.

Alte date tehnice:

- Adâncime maximă: 40 m;
- Temperatura optimă de funcționare: 4...35°C;
- Dimensiuni: 53 x 41 x 18 cm;
- Greutate: 15 kg pe uscat;
- Capacitate sac respirator: 4 sau 6 l;
- Capacitate canistră: 2,7 kg SofnoDive 797 pentru 3 ore de scufundare;
- Capacitate butelii din aluminiu: oxigen: 3 l la 100 bar ;
diluent : 3 l la 210 bar;
- Certificare CE: (EN 14143, EN 61508).

3.4.2.10. Aparatul cu circuit închis, cu amestec, MEGALODON

Firma americană Inner Space Systems produce în anul 2002 aparatul de respirat sub apă cu circuit închis, cu amestec, MEGALODON APECS (fig. 3.37) cu senzori electrochimici, iar în anul 2007 varianta MEGALODON COPIS tot în circuit închis dar cu injecție de oxigen la debit volumic constant și manual. Recirculatorul MEGALODON APECS este certificat CE (EN 14143, EN 61508).

Ambele modele au fost special concepute pentru scufundări civile în peșteri sau la epave, la mare adâncime. În prezent, pe plan mondial, se află în folosință peste 800 de unități de recirculatoare MEGALODON.

Aparatul MEGALODON APECS este prevăzut cu trei senzori electrochimici Teledyne R-22D.

Monitorizarea parametrilor aparatului și ai scufundării (adâncime, durată, p_{O_2} care poate fi setată la valorile: 0,4; 0,7; 1,0; 1,1; 1,2; 1,3 sau 1,4 bar) se face cu două calculatoare separate (fig. 3.38). Scafandru poate monitoriza, în orice moment, informații critice asupra scufundării (presiune parțială a O_2 , decompresie, adâncime) pe afișajul digital montat pe piesa bucală.

Amestecurile gazoase folosite pot fi aer comprimat, NITROX sau TRIMIX. Furnizarea amestecului gazos se face automat prin intermediul unei supape automate de injecție.



Fig. 3.37. Recirculatorul în circuit închis MEGALODON APECS.



Fig. 3.38. Calculator pentru afișarea parametrilor scufundării.

Recirculatorul MEGALODON COPIS funcționează tot în circuit închis, prin injecție manuală de oxigen prin intermediul supapei manuale, dar nu are senzori electrochimici de monitorizare pO_2 . Scafandru trebuie să monitorizeze pO_2 prin cei trei senzori de monitorizare.

Recirculatorul MEGALODON COPIS poate fi folosit și pentru scufundări în lacuri situate la altitudinea maximă de 4 481 m. Setarea pO_2 în funcție de altitudine se face prin intermediul calculatorului.

Date tehnice (ambele modele):

- Adâncime maximă: 150 m;
- Canistra: tip axial cu capacitatea de 2,5 kg de SofnoLime 797 sau Sodasorb și durată de 4,5 ore; tip radial la care durată este de 6...9 ore;
- Capacitatea sac respirator: 5 l;
- Greutate: 35 kg cu absorbant.

3.4.2.11. Aparatul cu circuit închis, cu amestec, rEVO

Aparatul de respirat sub apă cu amestec, rEvo (fig. 3.39) este un aparat recirculator în circuit închis, produs în Belgia în două variante fabricate: cu debit volumic constant și injecție manuală și cu senzori electrochimici.

În varianta cu debit volumic constan, injecția de oxigen are loc prin intermediul unui ajutor de 0,0035 mm și un regulator de presiune la o presiune constantă de 11 bar și un debit de 0,75 l/min. Presiunea parțială de oxigen este monitorizată prin intermediul unui display rEvodream montat pe piesa bucală și a unui calculator (fig. 3.40). Injecția manuală de oxigen se face cu supapa manuală a sistemului.

Varianta electronică are senzori electrochimici care reglează, în mod automat, injecția de oxigen la pO_2 constantă indiferent de adâncime. Scafandru monitorizează pO_2 prin intermediul unui display principal de tip Hammerhead și a unui secundar de tip rEvodream ce indică valorile de pO_2 în culori portocaliu, verde, roșu, precum și celelalte informații ale aparatului sau parametrii scufundării.

Ambele modele au câte două canistre cu Sofnolime cu capacitatea de 1,4 kg fiecare poziționate în linie (axial sau radial) și conectate cu un colier de prindere. În timpul scufundării, absorbantul din canistra de la partea superioară va fi folosit primul, iar după scufundare scafandru o va înlocui cu cealaltă canistră de la partea inferioară.

Dezavantajul acestui sistem constă în faptul că o parte din absorbantul canistrei inferioare rămâne neutilizat.

De asemenea, aceste aparate sunt prevăzute cu câte două butelii de 3 l fiecare pentru oxigen și diluant și cu supapă de injecție automată a amestecului respirator.

Furtunul respirator este un furtun adaptat ce provine de la modelul Dräger Ray al firmei Dräger, iar pe piesa bucală se află dispay-ul cu informații ale pO_2 .

Alte date tehnice:

- Adâncimea maximă de utilizare: varianta cu debit volumic constant: 80 m;
varianta electronică: 100 m;
- Durată canistre: canistre axiale 2,7 kg fiecare: 2...3 ore;
- canistre radiale 4 kg fiecare: 4...6 ore;
- Volum sac respirator: 6 l;
- Greutatea aparatului este de 28 kg.



Fig. 3.39. Recirculatorul rEVO III cu senzori electrochimici.



Fig. 3.40. Calculatoare pentru afișarea parametrilor scufundării.

3.4.2.12. Aparatul cu circuit închis, cu amestec, STEALTH

Aparatul STEALTH (fig. 3.41) este un aparat în circuit închis produs de Divex pentru toate tipurile de operațiuni militare, aflându-se în dotarea mai multor forțe navale printre care Germania, Italia, Franța, India. Aparatul este de construcție non-magnetică conform NATO STANAG 2897 Class A și zgomot redus conform NATO STANAG 1158 / AMP 15. Prezintă rezistență sporită la șoc și vibrații.



Fig. 3.41. Scafandru militar cu un aparat cu circuit închis, cu amestec, STEALTH.

Presiunea parțială a oxigenului setată la nivelul dorit, este monitorizată de trei senzori electrochimici.

În timpul operațiunilor militare, aparatul STEALTH poate fi utilizat până la adâncimea de 54 m cu amestec NITROX și 100 m cu amestec HELIOX sau TRIMIX.

Scafandru respiră amestecul gazos, la cerere, în funcție de necesități, prin intermediul unei măști faciale.

Aparatul are următoarele performanțe:

- Durată de scufundare: 4...6 ore;
- Temperatură optimă de păstrare: $-20^{\circ}\text{C} \dots + 50^{\circ}\text{C}$;
- Temperatură de utilizare (apă de mare): $-1^{\circ}\text{C} \dots + 37^{\circ}\text{C}$;
- Temperatură de utilizare (apă dulce): $1^{\circ}\text{C} \dots 37^{\circ}\text{C}$.

În caz de urgență, de defectare a circuitului închis principal, aparatul este prevăzut cu o butelie pentru circuit deschis, încărcată cu aer sau amestec HELIOX la presiunea de 300 bar.

3.4.2.13. Aparatul cu circuit închis, cu amestec, MR9800

Aparatul MR9800 (fig. 3.42) este un aparat în circuit închis pentru aplicații militare de deminare, operațiuni clandestine etc. utilizat de U. S. Navy, Royal Navy, Australian Navy.

Aparatul posedă o amprentă magnetică scăzută.

Aparatul este prevăzut cu robinet de by-pass manual, mască facială pentru respirat și două sisteme independente de monitorizare a presiunii parțiale de oxigen.

Sistemul de afișare principal este format din mai multe led-uri (light emitting diodes – LED) ce indică valoarea presiunii parțiale a oxigenului și un semnal de avertizare.

Sistemul secundar este de tip display purtat de scafandru la mână și indică valori ale adâncimii, presiuni parțiale a oxigenului, adâncimii, duratei scufundării, presiunii din buteliile cu oxigen și diluant, nivelului bateriilor principale și de rezervă, precum și diferite semnale de avertizare.



Fig. 3.42. Aparatul cu circuit închis, cu amestec, MR9800.

Alte date tehnice:

- Adâncime maximă: 90 m;

- Capacitate canistră: 3,5 kg, suficient pentru 6 ore de scufundare;
- Butelii de oxigen și diluant: 2,87 l la 240 bar;
- Presiune parțială O₂: 0,75...1,3 bar;
- Trei senzori electrochimici separați;
- Durata bateriei: >18 ore;
- Greutate: 30 kg, flotabilitate neutră în apă;
- Dimensiuni: 68 x 43 x 31 cm .

3.4.2.14. Aparatul cu circuit închis, cu amestec, VIPER E

Aparatul VIPER E (fig. 3.43) este un aparat de respirat sub apă cu circuit închis, cu amestec, pentru aplicații militare de deminare și operațiuni clandestine, produs de firma canadiană COBHAM. Aparatul are o amprentă magnetică scăzută.

Aparatul este prevăzut cu robinet de by-pass manual, mască facială pentru respirat și două sisteme independente de monitorizare a presiunii parțiale de oxigen.

Sistemul de afișare principal este format din mai multe led-uri (light emitting diodes – LED) ce indică valoarea presiunii parțiale a oxigenului și un semnal de avertizare.



Fig. 3.43. Aparatul cu circuit închis, cu amestec, VIPER E.

Sistemul secundar este de tip display purtat de scufandru la mână și indică valori ale adâncimii, presiuni parțiale a oxigenului, adâncimii, duratei scufundării, presiunii din buteliile cu oxigen și diluant, nivelului bateriilor principale și de rezervă, precum și diferite semnale de avertizare.

Alte date tehnice:

- Adâncime maximă: 100 m;
- Capacitate canistră: 4 ore de scufundare;
- Capacitate butelii cu oxigen și diluant: 680 l_N fiecare la 242 bar;
- Setare presiune parțială O₂: 0,75; 1,30; 1,35 bar;
- Dimensiuni: 725 x 500 x 240 mm;
- Greutate: 30 kg pe uscat;
- Durata de funcționare a bateriilor: 18 ore.

4.

APARATE DE RESPIRAT SUB APĂ CU CIRCUIT SEMIÎNCHIS ȘI MIXT

4.1. APARATE DE RESPIRAT SUB APĂ CU CIRCUIT SEMIÎNCHIS. GENERALITĂȚI

Aparatele de respirat sub apă cu circuit semiînchis sunt aparate la care o parte din amestecul gazos expirat este evacuat în mediul acvatic exterior, cealaltă parte fiind reciclată și reintrodusă în circuitul de respirație după ce a fost trecută, în prealabil, printr-un cartuș epurator unde este reținut dioxidul de carbon. Presiunea parțială a oxigenului din amestecurile utilizate este menținută în limitele de securitate, fără a se crește prea mult presiunea parțială a gazului inert care determină, de fapt, durata revenirii la presiunea atmosferică (durata decompresiei).

Aceste aparate sunt alcătuite din butelii de stocaj cu amestecuri binare azot–oxigen (NITROX) sau heliu–oxigen (HELIOX), sau cu amestecuri ternare TRIMIX, (He–N₂–O₂ sau Ne–N₂–O₂), regulator de presiune treapta I, sac respirator și sistem de livrare automată a debitului de amestec respirator către consumator. Aceste aparate, atunci când sunt autonome, sunt caracterizate printr-o autonomie ridicată și printr-un randament al scufundării crescut. Atunci când se dorește un timp de scufundare mai ridicat, se procedează la alimentarea cu amestec respirator sintetic de la suprafață sau dintr-un mijloc imersat, realizându-se prin aparatul cu circuit semiînchis o economie de amestec respirator. Adâncimea maximă de scufundare cu astfel de aparate este de 54 m în cazul utilizării amestecurilor NITROX și peste 54 m în cazul utilizării amestecurilor HELIOX sau TRIMIX. De asemenea și aceste aparate de respirat sub apă cu circuit semiînchis pot fi de două feluri funcție de debitul de amestec livrat consumatorului:

- aparate cu circuit semiînchis, *cu debit masic constant*;
- aparate cu circuit semiînchis, *cu debit volumic constant*.

4.2. TIPURI DE APARATE DE RESPIRAT SUB APĂ CU CIRCUIT SEMIÎNCHIS

Aparatele de respirat sub apă cu circuit semiînchis pot fi, funcție de modul de preparare a amestecului respirator, de două feluri:

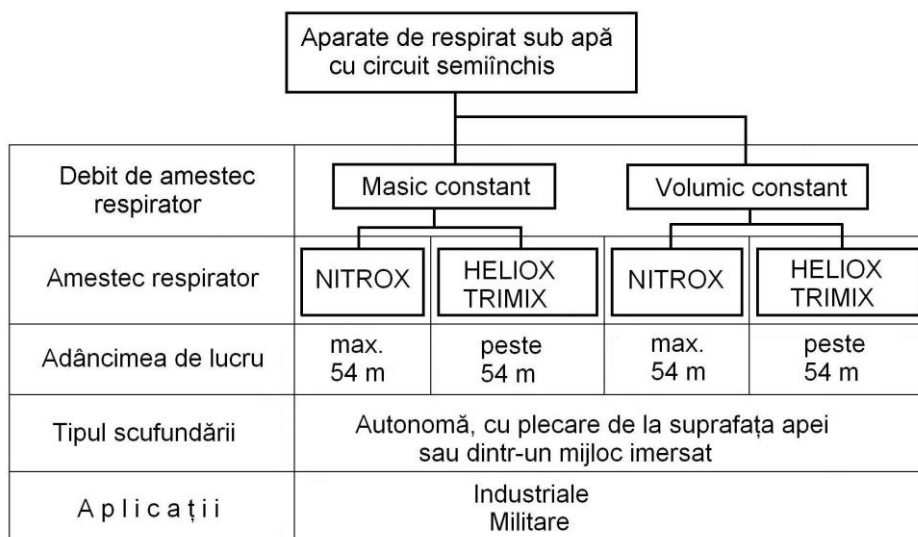
- aparate cu circuit semiînchis, *cu amestec prefabricat*;
- aparate cu circuit semiînchis, *cu amestec preparat local*.

Din prima categorie fac parte aparatele la care stocajul de amestec de gaz este realizat în instalații specializate, iar buteliile acestor aparate sunt umplute cu acest amestec respirator prefabricat.

Din cea de-a doua categorie fac parte aparatele la care stocajul de gaze este alcătuit din stocajul de oxigen și stocajul de gaz inert (gaz diluant al oxigenului), fiecare din cele două gaze fiind înmagazinate în butelii separate. Amestecarea celor două gaze, în vederea obținerii amestecului respirator dorit, se realizează local, în interiorul aparatului, alimentarea circuitului de respirație cu acest amestec efectuându-se prin intermediul unui dispozitiv de dozare complex, de construcție specială.

Aparatele de respirat sub apă cu circuit semiînchis, cu amestec respirator prefabricat, trebuie să furnizeze, în mod automat, un amestec gazos în care concentrația oxigenului să scadă o dată cu creșterea adâncimii de scufundare, în așa fel încât presiunea parțială a acestuia să rămână în limitele admisibile, sau un amestec gazos cu o concentrație de oxigen constantă pe o anumită gamă de adâncimi.

În figura 4.1 este prezentată o schemă conținând caracteristicile generale și performanțele aparatelor de respirat sub apă cu circuit semiînchis.



NITROX = amestec binar azot–oxigen (N_2-O_2);
 HELIOX = amestec binar heliu–oxigen ($He-O_2$);
 TRIMIX = amestec ternar heliu–azot–oxigen ($He-N_2-O_2$).

Fig. 4.1. Schema generală cu caracteristicile, performanțele și domeniile de aplicație pentru aparatele de respirat sub apă cu circuit semiînchis.

4.2.1. APARATE DE RESPIRAT SUB APĂ CU CIRCUIT SEMIÎNCHIS, CU AMESTEC RESPIRATOR PREFABRICAT

Aparatele de respirat sub apă cu circuit semiînchis cu amestec prefabricat, sunt aparate la care amestecul respirator este preparat deja în instalații speciale fiind înmagazinat la presiune înaltă (200 bar (sc. man.) sau 300 bar (sc. man.)) în buteliile aferente aparatului de respirat. Acest amestec gata preparat este injectat, printr-un dispozitiv de dozare la debit constant, într-un sac respirator unde se combină cu amestecul expirat de către scafandru și curățat de dioxidul de carbon, formând astfel amestecul respirat în mod efectiv de către scafandru. Acest amestec trebuie să

îndeplinească condițiile privind limitele impuse presiunii parțiale a oxigenului din amestec pentru evitarea fenomenelor de hipoxie sau hiperoxie, urmărind totodată ca presiunea parțială a gazului inert din amestec să fie suficient de mică astfel încât adâncimea de scufundare să fie cât mai mare fără să se producă fenomenul de narcoză și timpul de decompresie, dictat de presiunea parțială a gazului inert, să fie cât mai scurt.

Aparatele cu circuit semiînchis cu amestec respirator prefabricat sunt alcătuite în principal din butelii de stocaj umplute fie cu amestecuri binare azot-oxigen (NITROX) sau heliu-oxigen (HELIOX), fie cu amestecuri ternare heliu-azot-oxigen (TRIMIX), regulator de presiune treapta I, sac respirator, sistem de livrare automată a debitului de amestec dinspre detentorul treapta I către sacul respirator, supapă de evacuare a surplusului de amestec din sac și cartuș epurator pentru dioxidul de carbon.

4.2.1.1. Aparatul cu circuit semiînchis, cu amestec prefabricat, DC55

Aparatul de respirat sub apă DC 55, (fig. 4.2), produs de firma AQUALUNG, este un aparat autonom cu circuit semiînchis, cu amestec de gaze prefabricat, utilizat în aplicații militare, care asigură stabilitatea compoziției amestecului respirat efectiv, prin eliminarea din circuit a unui volum de gaz proporțional cu ventilația. Conform schemei de funcționare din figura 4.3, scafandru respiră din aparat prin intermediul unei piese bucale (muștiuc), legată la două tuburi gofrate flexibile, fiecare având la capăt câte o supapă: de inspir (7), respectiv de expir (10). Plămânul artificial este alcătuit din două burdufuri concentrice și anume din sacul respirator mare (4) și sacul respirator mic (5). La expirație, amestecul gazos traversează cartușul epurator (2) și se repartizează în cele două burdufuri proporțional cu volumele acestora. În burduful mic, gazul intră printr-o supapă de transfer (8). În momentul inspirației, plămânul artificial își micșorează volumul, iar gazul din burduful mic este evacuat în exterior printr-o supapă de evacuare (6) de construcție specială. Deci, evacuarea este proporțională cu raportul volumelor celor două burdufuri.

Împrospătarea cu gaz se face la cerere. Atunci când cantitatea de gaz în mișcare diminuează datorită evacuării, consumului de oxigen și fixării dioxidului de carbon de către calcea sodată, partea superioară a sacului respirator acționează pârghia clapetului de admisie (9). Astfel, are loc împrospătarea cu gaz la presiune medie din buteliile de amestec respirator (1), prin intermediul detentorului (3).

Autonomia aparatului DC 55 este de maximum patru ore.

În funcție de adâncime, amestecurile supraoxigenate folosite sunt:

- între 0 m și 25 m se folosește amestec NITROX cu 60% oxigen și 40% azot, autonomia fiind de 3 ore;
- între 25 m și 45 m se folosește amestec NITROX cu 40% oxigen și 60% azot, autonomia fiind de 25 min. (determinată de probleme de decompresie);
- între 45 m și 55 m se folosește amestec NITROX cu 32,5% oxigen și 67,5% azot, autonomia fiind de 30 min.

Scufundările cu amestecuri NITROX supraoxigenate sunt prin excelență cu profil militar. Aceste scufundări se execută de către scafandrii de luptă antimine submarine.



Fig. 4.2. Aparatul de respirat sub apă cu circuit semiînchis, cu amestec prefabricat, DC 55.

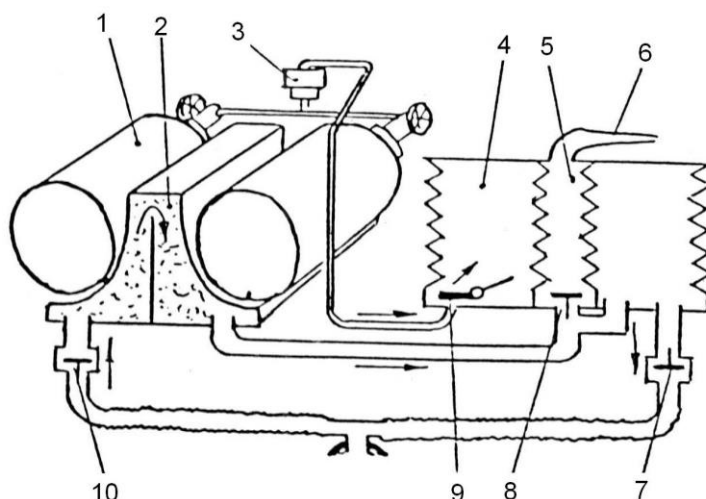


Fig. 4.3. Schema de principiu a aparatului cu circuit semiînchis DC 55.

Un alt aparat din aceeași categorie, dar mai performant datorită în special cartușului filtrant, este aparatul de respirat sub apă MIXGERS 78 fabricat de firma FENZY. Construit pe același principiu, acest aparat permite utilizarea unui amestec respirator ternar TRIMIX alcătuit din 23% oxigen, 37% azot și 40% heliu, în scufundări de 10 min. la adâncimea de 80 m, cu o decompresie în apă, cu oxigen. Oxigenul pur este furnizat printr-o narghiea la care scafandrul se leagă printr-un dispozitiv special, fără să părăsească muștiucul său.

4.2.1.2. Aparatul LAR VII Standard funcționând în varianta cu amestec în circuit semiînchis

Aparatul de respirat sub apă autonom LAR VII Standard (fig. 4.4), fabricat de firma DRÄGER, poate funcționa și cu amestec gazos prefabricat în circuit semiînchis.

Pentru varianta de funcționare în circuit semiînchis, se utilizează amestecul de gaze standard NATO, NITROX B (60% O₂, 40% N₂) livrat către sacul respirator. Cu ajutorul unui dispozitiv de dozare, circuitul respirator este alimentat cu amestec gazos proaspăt. Gazul excedentar iese prin supapa de suprapresiune și distribuitorul de bule, în mediul acvatic exterior. Aparatul LAR VII Standard este conceput pentru un consum maxim de oxigen de 2,5 l_N/min. Dozarea gazului pentru amestecul de gaze ales este stabilită pentru consumul corespunzător nivelului de activitate impus, debitul fiind până la 5 l_N/min. De aici, rezultă că adâncimea de scufundare pentru amestecul respirator NITROX B este în domeniul 0...24 m.

Pentru reținerea dioxidului de carbon din amestecul gazos expirat se utilizează un cartuș epurator care constă dintr-o canistră ce conține o masă absorbantă (calce sodată) de tipul DiveSorbPro cu volumul de 2,5 l pentru o scufundare. La o temperatură cuprinsă între -2°C și +40°C o canistră de calce sodată umplută corect cu masa absorbantă, asigură o autonomie de 150 min. Aparatul LAR VII Standard are dimensiunile: lungimea de 425 mm, lățimea de 300 mm și grosimea de 170 mm. Greutatea aparatului este de aproximativ 15 kg în aer și neutră în apă, cu sacul respirator umflat cu circa 2 l oxigen. Aparatul poate fi utilizat în varianta cu amestec de către scafandrii deminori, la adâncimi de până la 24 m.



Fig. 4.4. Scafandru deminor echipat cu aparat LAR VII Standard (funcționare în varianta cu amestec în circuit semiînchis).

4.2.1.3. Aparatul cu circuit semiînchis cu amestec prefabricat, FGT I

Aparatul de respirat sub apă, autonom, FGT I, (fig. 4.5) fabricat de firma germană DRÄGER, este un aparat cu circuit semiînchis utilizând amestecuri de gaze prefabricate. Acest aparat este conceput pentru activități cu caracter militar la adâncimi cuprinse între 0 m și 54 m.



Fig. 4.5. Scafandru militar echipat cu aparatul de respirat sub apă cu circuit semiînchis, cu amestec prefabricat, FGT I.

Aparatul FGT I are o amprentă magnetică scăzută și o amprentă acustică redusă, conform normelor NATO, ceea ce îl face utilizabil pentru operațiuni speciale.

Aparatul asigură o autonomie a scufundării de până la trei ore în funcție de nivelul de efort al activității subacvatice depusă de scafandru. De asemenea, aparatul este cu dimensiuni reduse, este compact, ușor de utilizat și de întreținut.

În continuare, sunt prezentate datele tehnice mai importante ale aparatului:

- Principiul de funcționare: aparat cu circuit semiînchis;
- Adâncimea de scufundare/timp de scufundare:
 - 0...24 m cu amestec NITROX B/aprox. 170 min;
 - 0...42 m cu amestec NITROX C/aprox. 100 min;
 - 0...54 m cu amestec NITROX D/aprox. 60 min;
- Amestecurile respiratorii tip NATO:
 - NITROX B (60% O₂, 40% N₂);
 - NITROX C (40% O₂, 60% N₂);
 - NITROX D (32,5% O₂, 67,5% N₂).
- Calcea sodată: Drägersorb 400, aprox. 3,5 ℓ pentru o scufundare;
- Dimensiunile: 660 mm lungime, 465 mm lățime, 225 mm grosime;
- Greutatea aparatului pe uscat: aprox. 25 kgf;
- Caracteristicile buteliei cu amestec gazos: volumul interior 2,5 l, diametrul 117 mm, presiunea de operare 200 bar (sc. man.), materialul aluminum alloys are alloys in which aluminium (Al) is the predominant metal; the typical alloying elements are copper, magnesium, manganese, silicon, tin and zinc.

4.2.1.4. Aparatul cu circuit semiînchis, cu amestec prefabricat, DOLPHIN I

Aparatul de respirat sub apă autonom cu circuit semiînchis DOLPHIN I (fig. 4.6), fabricat de firma germană DRÄGER, este un aparat care folosește amestecuri respiratorii azot-oxigen (NITROX) supraoxigenate. Amestecul respirator NITROX este furnizat la debit constant și această livrare este suplimentată de un detentor treapta a II-a pentru consum de oxigen mai mare în cazul unei activități subacvatice mai intense. Aparatul DOLPHIN I, care este un aparat de respirat sub apă utilizat în scufundări civile profesionale, prezintă multe avantaje față de aparatele în circuit deschis cum ar fi:

- consum de gaz respirator cu până la 95% mai puțin;
- timp de scufundare fără decompresie mai lung;
- decompresie efectuată în condiții de mai mare siguranță;
- echilibru termic mai lung datorită căldurii generate în cartușul epurator;
- dimensiuni mai mici decât aparatele în circuit deschis;
- generează doar câteva bule mici.

Aparatul DOLPHIN I este alcătuit din următoarele componente principale: unitatea de bază cuprinzând cartușul epurator și sacul respirator, furtunurile respiratoare cu piesa bucală, detentorul treapta a II-a integrat sacului respirator, reductorul de presiune pentru gazul din butelie, harnașamentul și vesta de salvare cu lest integrat, butelia cu amestec NITROX de diferite mărimi și butelia de securitate.

În continuare sunt prezentate datele tehnice semnificative ale aparatului:

- Principiul de funcționare: aparat cu circuit semiînchis cu dozaj constant, cu sac respirator și cartuș filtrant;
- Substanță absorbantă pentru dioxidul de carbon: DiveSorb, aprox. 2,7 l pentru o scufundare;

Aparate de respirat sub apă cu circuit semiînchis și mixt

- Sacul respirator: variație de volum între inspirație și expirație de circa 4,5 l, volumul total fiind de 10,5 l;
- Dimensiuni: 520 mm lungime, 370 mm lățime și 235 mm grosime;
- Greutatea aparatului: 15 kgf pe uscat și aproximativ neutră în apă;
- Volum interior butelie: 4 l;
- Presiune de încărcare butelie: 200 bar (sc. man.);
- Material butelie: oțel;
- Adâncimea scufundării/timp de scufundare:
 - 0...20 m pentru NITROX 60/40 (O₂/N₂)/125 min.;
 - 0...24 m pentru NITROX 50/50 (O₂/N₂)/95 min.;
 - 0...30 m pentru NITROX 40/60 (O₂/N₂)/67 min.;
 - 0...45 m pentru NITROX 32/68 (O₂/N₂)/47 min.



Fig. 4.6. Aparatul cu circuit semiînchis, cu amestec prefabricat DOLPHIN I.

4.2.1.5. Aparatul cu circuit semiînchis, cu amestec prefabricat, ATLANTIS I

Aparatul de respirat sub apă autonom, cu circuit semiînchis ATLANTIS I (fig. 4.7), fabricat de firma DRÄGER, este un aparat care utilizează amestec de gaze prefabricat, în special NITROX.

Versiunea standard a aparatului care cântărește 15 kg pe uscat și care are flotabilitate nulă în apă, este prevăzută cu o butelie având volumul interior de 4 l ce poate fi încărcată la o presiune maximă de 200 bar (sc. man.) și este concepută astfel încât să garanteze o durată a scufundării de 110 min. la adâncimi cuprinse între 0 m și 20 m.

Este posibilă și utilizarea unor butelii cu volume interioare mai mari.



Fig. 4.7. Aparatul cu circuit semiînchis, cu amestec prefabricat, ATLANTIS I.

Conținutul buteliei cu amestec respirator este suficient pentru efectuarea unei scufundări cu o durată de 40 min. la adâncimea de 45 m. Tehnologia specifică acestui aparat, oferă scafandrilor un amestec azot-oxigen (NITROX) cu proporțiile componentelor de 40% oxigen și 60% azot. Aparatul de respirat sub apă ATLANTIS I poate fi utilizat și în scufundări cu caracter civil.

4.2.1.6. Aparatul cu circuit semiînchis, cu amestec prefabricat MK 6

Aparatul de respirat sub apă cu circuit semiînchis, utilizând amestec respirator prefabricat, MK 6 (fig. 4.8), este un aparat conceput de U.S. Navy pentru aplicații militare. Acest aparat a fost unul dintre aparatele standard ale U.S. Navy, utilizat pentru operațiuni militare de către scafandri deminori. Aparatul poate utiliza atât amestec heliu-oxigen (HELIOX), cât și amestec azot-oxigen (NITROX).

Aparatul MK 6 utilizează o injecție la debit constant de gaz. Aparatul are în componență două butelii pentru gazul respirator (NITROX sau HELIOX) și, într-o anumită configurație, o butelie cu oxigen, pentru efectuarea decompresiei în caz de urgență. Buteliile cu amestec gazos au fiecare capacitatea de 2400 l_N de amestec și sunt încărcate la presiunea de 210 bar (sc. man.). Adâncimea maximă de utilizare a aparatului este de 60 m, iar durata scufundării este cuprinsă în intervalul 30 min...3 ore, fiind funcție de temperatura apei și de activitatea depusă.



Fig. 4.8. Aparatul cu circuit semiînchis, cu amestec prefabricat, MK 6.

4.2.1.7. Aparatul cu circuit semiînchis, cu amestec prefabricat, HALCYON

Aparatul de respirat sub apă, cu circuit semiînchis, utilizând amestec respirator prefabricat, HALCYON (fig. 4.9), este un aparat utilizat pentru scufundări civile, fiind fabricat de firma americană BROWNIES THIRD LUNG.

Aparatul este utilizat în special de către scafandri care efectuează scufundări în peșteri, scufundări la epave, scufundări civile la mare adâncime și scufundări cu caracter științific.

Sacul respirator este fixat la spatele scafandrului. Spre deosebire de alte tipuri de aparate în circuit semiînchis, aparatul HALCYON alimentează scafandrul cu amestec respirator conform cerințelor metabolice ale scafandrului, printr-o injecție la debit masic constant. În consecință, cantitatea de amestec respirator este utilizată mai eficient (de circa opt ori mai eficient decât în cazul unui aparat cu circuit deschis).

Aparatul se caracterizează printr-o autonomie de peste 100 min. la adâncimea de 90 m. Aparatul utilizează un singur amestec respirator, stocat în două butelii. Aparatul HALCYON poate fi utilizat și în circuit deschis în caz de urgență, scafandrul respirând direct amestecul respirator din același detentor.



Fig. 4.9. Aparatul cu circuit semiînchis, cu amestec prefabricat, HALCYON.

4.2.1.8. Aparatul cu circuit semiînchis, cu amestec prefabricat, AZIMUTH

În anul 1999, firma producătoare de echipament de scufundare Mares produce aparatul de respirat sub apă cu circuit semiînchis, cu debit constant, AZIMUTH (fig. 4.10). Aparatul este asemănător în construcție și funcționare cu aparatele DRÄGER RAY, DRÄGER ATLANTIS/DOLPHIN, SUBMATIX. Aparatul AZIMUTH este certificat CE și a fost conceput special pentru scufundări cu caracter civil până la adâncimea de 33 m utilizând amestecuri NITROX cu o concentrație de oxigen de 32%, 40% și 50%:

- cu amestec NITROX cu 50% O₂ , adâncimea maximă este de 18 m;
- cu amestec NITROX cu 40% O₂ , adâncimea maximă este de 25 m;
- cu amestec NITROX cu 32% O₂ , adâncimea maximă este de 33 m.

Pentru fiecare amestec NITROX ales, scafandrul trebuie să calibreze la începutul scufundării, cu ajutorul unui debitmetru, debitul pentru amestecul NITROX respectiv:

- pentru amestec NITROX cu 32% O₂ / 68% N₂: 15,6 l/min;
- pentru amestec NITROX cu 40% O₂ / 60% N₂: 9,6 l/min;
- pentru amestec NITROX cu 50% O₂ / 50% N₂: 6,6 l/min.

Aparatul este prevăzut cu două butelii ce pot fi încărcate cu două amestecuri diferite de NITROX, unul pentru coborâre, urcare și eventual decompresie, iar celălalt pentru adâncimea maximă a scufundării. Comutarea se face de către scafandru prin intermediul unui comutator special.

Alte date tehnice:

- Capacitate sac respirator: 2 x 6 l;
- Capacitate canistră: 2,35 kg de Sodlime;
- Durata de scufundare: 2,5 ore pentru NITROX 32% și 4 ore pentru NITROX 60%);

- Temperatura optimă a apei: -1° + 35 °C;
- Greutate: 27 kg cu absorbant; flotabilitate neutră în apă.

Varianta AZIMUTH AF comercializată din anul 2002 în EU, folosește și amestec TRIMIX și poate fi utilizat până la adâncimea maximă de 120 m în funcție de amestec. La această variantă, buteliile sunt de capacitate mai mare, de 2 x 10 l fiecare la 200 bar, sacul respirator de 6,2 l fiecare, iar greutatea de 45 kg cu absorbant și flotabilitate neutră în apă.



Fig. 4.10. Aparatul cu circuit semiînchis, cu amestec prefabricat, AZIMUTH.

4.2.1.9. Aparatul cu circuit semiînchis, cu amestec prefabricat, SUBMATIX

SUBMATIX 100 ST (fig. 4.11) este un aparat de respirat sub apă cu circuit semiînchis produs în Germania în anul 2003.

Aparatul a fost special conceput pentru scufundări cu caracter civil până la adâncimea maximă de 40 m, fiind asemănător în construcție și funcționare cu recirculatoarele DRÄGER ATLANTIS, DRÄGER RAY și AZIMUTH. Este certificat CE fiind folosit și comercializat în UE.

Aparate de respirat sub apă cu circuit semiînchis și mixt

SUBMATIX 100 ST folosește amestecuri NITROX preparate având diferite concentrații, amestecul fiind livrat scafandruului la debit constant.

Amestecurile care se pot folosi cu SUBMATIX 100 ST sunt de 80%, 60 %, 50 %, 40 %, 32 % concentrație de oxigen pentru care se utilizează ajutoare de injecție de dimensiune fixă, la un debit de 14,2...3,3 l/min.

Monitorizarea pO_2 se face de către scafandru prin intermediul unui display ce poate fi purtat și la încheietură.

Alte date tehnice:

- Butelii: 2 butelii din oțel de 2 l fiecare pentru amestec NITROX, la 200 bar (opțional butelii din aluminiu de 4 l fiecare);
- Capacitate canistră: 1,8 kg de Sofnolime (Divesorb, Sofnolime, Spherasorb, Soda Lime) cu durată de 3 ore;
- Temperatura optimă de funcționare: $+4^{\circ}\text{C} \dots +34^{\circ}\text{C}$;
- Greutate: 15 kg cu absorbant;
- Dimensiuni: 670 x 390 x 170 mm.



Fig. 4.11. Aparatul cu circuit semiînchis, cu amestec prefabricat, SUBMATIX.

4.2.2. APARATE DE RESPIRAT SUB APĂ CU CIRCUIT SEMIÎNCHIS, CU AMESTEC RESPIRATOR PREPARAT LOCAL

Aparatele de respirat sub apă cu circuit semiînchis, cu amestec preparat local, sunt aparate la care amestecul respirator este preparat chiar în interiorul aparatului folosind gaze pure și anume oxigen și gaz inert (gaz diluant pentru oxigen). Gazele din care se prepară amestecurile respiratorii proaspete sunt stocate la presiuni înalte în butelii separate. Prepararea amestecurilor se realizează cu ajutorul unui dispozitiv de dozare automată de mare complexitate și precizie, la o concentrație a gazelor din amestec funcție de adâncimea de imersie.

Acest tip de aparate, spre deosebire de aparatele cu amestecuri prefabricate, realizează o optimizare mult mai bună a consumului de gaz și mărește posibilitatea de mișcare pe verticală a scafandruului precum și gama de activități desfășurate sub apă, în cadrul aceleiași scufundări.

4.2.2.1. Aparatul cu circuit semiînchis, cu amestec preparat local, SMT

Aparatul SMT (fig. 4.12 și fig. 4.13) este un echipament de respirat sub apă cu circuit semiînchis care se adaptează în funcție de adâncime. Aparatul operează cu amestec respirator preparat local prin amestecarea de oxigen cu gaz diluant. Amestecarea celor două componente se realizează prin intermediul unui dispozitiv de dozare. Firma DRÄGER a proiectat și dezvoltat acest aparat pentru a fi folosit în operațiuni subacvatice militare de deminare și de salvare până la adâncimea de 60 m. În comparație cu aparatele de scufundare cu circuit deschis, aparatul SMT prezintă următoarele avantaje:

- permite o autonomie mai mare datorită utilizării eficiente a oxigenului;
- numărul buteliilor cu gaze respiratorii este mic, iar dimensiunile acestora sunt reduse comparativ cu cele ale buteliilor aparatelor cu circuit deschis;
- utilizarea amestecurilor binare adecvate, permite scafandrului să stea la adâncimea de lucru o perioadă mai mare de timp.

Cu toate aceste avantaje, aparatul de respirat sub apă SMT, comportă o serie de riscuri pe timpul scufundării dacă pregătirea aparatului și efectuarea scufundării nu se execută în strictă conformitate cu normele specifice aflate în vigoare.

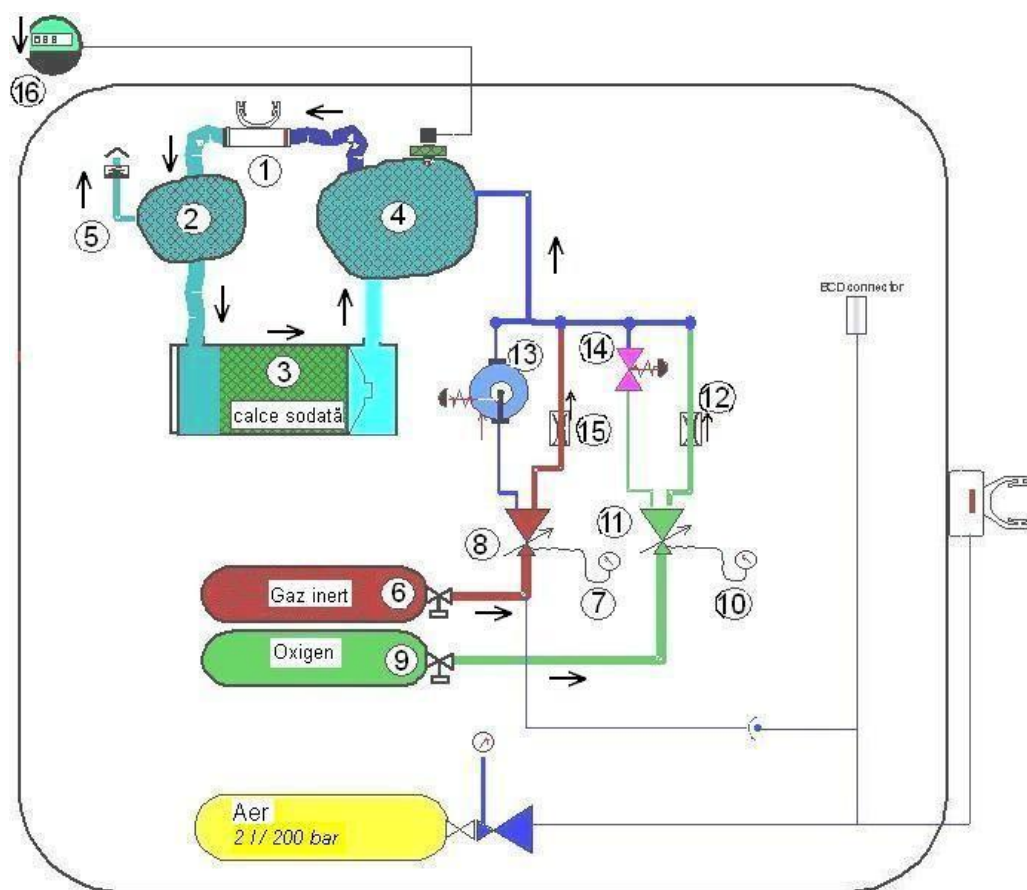


Fig. 4.12. Schema de principiu a aparatului SMT:

- 1- piesă bucală cu muștiuc; 2- sac de expirație; 3- cartuș epurator pentru CO₂; 4- sac de inspirație; 5- supapă de evacuare; 6- butelie gaz inert; 7- manometru butelie gaz inert; 8- reductor de presiune pe gaz inert; 9- butelie oxigen; 10- manometru butelie oxigen; 11- reductor de presiune pe oxigen; 12, 13, 14, 15- dispozitiv de injecție, completare și corectare; 16- indicator de oxigen.

În figura 4.12 se prezintă schema aparatului SMT. Aparatul păstrează amestecul gazos expirat și îl pregătește din nou pentru inspirație. Scafandru respiră prin intermediul unei piese bucale prevăzută cu muștiuc (1). Prin intermediul furtunului de expirație, gazul expirat de către scafandru este trimis către un sac de expirație (2) și, de aici, în canistra cu material absorbant tip calce sodată (cartușul epurator) (3). Excesul de gaz este eliminat în apă prin intermediul supapei reglabile de evacuare (5) și a difuzorului de bule (dispozitiv care divide bulele de gaz eliminat în bule de foarte mici dimensiuni astfel încât evacuarea lor în apă nu este sesizată de la suprafață, asigurând secretul operațiunii). Gazul care trece prin cartușul epurator este curățat de dioxidul de carbon și apoi este trimis pe circuitul de inspirație în sacul de inspirație (4). Aici gazul proaspăt este adăugat prin intermediul dispozitivului de dozaj alcătuit din reperele (12), (13), (14) și (15), iar gazul respirator astfel regenerat și completat este inspirat de către scafandru prin furtunul de inspirație, din sacul de inspirație (4).

Gazele respiratorii, care prin amestecare conduc la realizarea amestecului gazos binar proaspăt, sunt stocate în buteliile (6) și (9), prima pentru gazul inert (gazul diluant) și a doua pentru oxigen. Buteliile sunt prevăzute cu robinete de butelie. Presiunile înalte din butelii sunt indicate la manometrele de înaltă presiune (7) și respectiv (10).

Înainte de a fi trimise către sacul de inspirație (4) prin intermediul dispozitivului de dozaj, gazul inert și oxigenul sunt trecute prin reductoarele de presiune (8) și respectiv (11), unde are loc o reducere a presiunilor de la valoarea presiunilor din butelii la valorile presiunilor necesare în amonte de dispozitivul de dozare.

Valva direcțională a muștiucului controlează direcția fluxului în circuit. Muștiucul poate fi etanșeizat cu ajutorul unei valve cilindrice.

Pentru monitorizarea presiunii parțiale a oxigenului, aparatul este echipat cu un indicator de oxigen (16) care indică continuu presiunea parțială a oxigenului din sacul respirator și cu o alarmă optică care atenționează scafandru asupra momentului în care presiunea parțială a oxigenului din sac este mai mare sau mai mică decât limitele superioară și respectiv inferioară presetate ale alarmei. Aparatul a fost proiectat pentru un consum maxim de oxigen de 2,5 l_N/min. De asemenea, aparatul SMT este echipat cu un sistem de siguranță alimentat de la o butelie cu volumul interior de 2 l încărcată la 200 bar (sc. man.) cu aer comprimat. Acesta constă dintr-o valvă de alimentare controlată de către sacul respirator care, în caz de urgență, furnizează scafandrului amestecul de gaze adaptat la ritmul de respirație al acestuia.

Ratele de dozaj ale gazelor folosite pentru respirație (gaz inert și oxigen) sunt selectate în funcție de adâncime. În cazul unei cereri crescute de gaz, circuitul de respirație este umplut printr-o valvă de trecere controlată de plămân. Dioxidul de carbon eliminat de scafandru este absorbit în cartușul cu masă absorbantă. Datorită principiului aparatelor cu circuit semiînchis și alimentării variabile cu gaz, conținutul de oxigen din circuitul de respirație va fi practic mereu mai mic decât oxigenul conținut în gazul proaspăt adăugat, dar între limitele cerute de tehnologie. La o scufundare, aparatul folosește 4 l de calce sodată. Presiunea de umplere a buteliilor este de 200 bar (sc. man.). Presiunea gazului din butelii scade în timpul folosirii aparatului până la cel puțin 20 bar (sc. man.). Aparatul poate fi folosit la scufundări în apă cu temperaturi cuprinse între -2°C și +35°C.



Fig. 4.13. Scafandru militar echipat cu aparatul de respirat sub apă cu circuit semiînchis, cu amestec preparat local, SMT.

Întotdeauna, înainte de efectuarea unei scufundări, scafandru trebuie să efectueze următoarele operațiuni:

- să parcurgă întreaga listă de verificări conform ordinii și regulilor stabilite de producător;
- să verifice atașarea corectă a buteliilor cu gaze respiratorii. Buteliile nu trebuie umplute la o presiune mai mare decât cea prescrisă de producător. Pe timpul depozitării acestora, pentru a preveni pătrunderea umezelii, se recomandă păstrarea lor la o presiune de circa 2 bar (sc. man.);
- înainte de scufundare, se umple canistra cartușului epurator cu masă absorbantă de tip calce sodată; după scufundare se golește canistra;
- nici o componentă a traiectului de înaltă și joasă presiune nu se lubrificază.

Întotdeauna se va evita pătrunderea apei în interiorul aparatului. La suprafață, aparatul trebuie protejat de acțiunea directă a razelor solare.

4.2.2.2. Aparatul cu circuit semiînchis, cu amestec preparat local, M100M

Aparatul de respirat sub apă, autonom, cu circuit semiînchis, M100M (fig. 4.14), fabricat de firma DRÄGER, este un aparat ce utilizează amestecuri respiratorii heliu-oxigen (HELIOX), preparate local, din cele două componente stocate în butelii separate.

Dozajul componentelor gazoase din amestecul binar, este efectuat în mod automat și este determinat de adâncimea de imersie.

Aparatul funcționează în circuit semiînchis, cu cartuș epurator pentru purificarea amestecului respirator prin reținerea dioxidului de carbon.

Aparatul este echipat cu o unitate de afișaj amplasată la masca scafandruului, ce indică dacă valoarea presiunii parțiale a oxigenului din amestecul inspirat este menținută între valorile minimă și maximă admise.

Aparatul M 100 M este conceput pentru utilizare la adâncimi cuprinse între 0 m și 90 m, în special în misiuni militare, unde este necesară o amprentă magnetică și acustică scăzută conform cu normele NATO.



Fig. 4.14. Aparatul de respirat sub apă cu circuit semiînchis, cu amestec preparat local, M 100 M.

Configurația aparatului permite efectuarea de modificări care să conducă la realizarea de amestecuri binare azot-oxigen (NITROX).

În continuare sunt prezentate principalele date tehnice ale aparatului M 100 M:

- Principiul funcționării: aparat cu circuit semiînchis;
- Adâncimea scufundării: 0...90 m;
- Gazele respiratorii: oxigen cu puritate de 99,5% și heliu;
- Calcea sodată: DiveSorb, 3,5 l pentru o scufundare;
- Dimensiunile aparatului: 660 mm lățime; 465 mm înălțime și 225 mm grosime;
- Greutatea aparatului: 35 kgf pe uscat și neutră în apă;
- Temperatura de operare: 1...35°C;
- Temperatura de depozitare: -30...70°C fără senzor de O₂ și -20...40°C cu senzor de O₂;
- Unitatea de diagnosticare a presiunii parțiale a oxigenului:
 - alarmă pentru limita inferioară: $p_{O_2} \leq 0,4$ bar (sc.abs.);
 - alarmă pentru limita superioară: $p_{O_2} \geq 1,8$ bar (sc.abs.);
- Alimentarea electrică: 4 baterii de 1,5 V;
- Durata bateriei: aprox. 100 ore.
- Timpul maxim de stocare: 3 luni la 25°C;
- Timpul maxim de operare a senzorului de O₂: 6 luni;
- Caracteristicile buteliilor de oxigen și de heliu:
 - volum interior: 3 l;
 - diametru: 117 mm;

presiunea de operare : 300 bar (sc. man.) sau 200 bar (sc. man.);

4.2.2.3. Aparatul cu circuit semiînchis, cu amestec preparat local, SM1

Aparatul SMS1 (fig. 4.15) este un aparat de respirat sub apă cu circuit semiînchis pentru aplicații militare produs de firma Dräger. Este urmat după un timp

de o variantă mai perfecționată, aparatul M100M. Prezintă amprentă magnetică scăzută.

Aparatul funcționează cu debit masic constant, cu preparare locală a amestecului din cele două butelii cu oxigen și aer ca diluant cu care este prevăzut. Oxigenul este furnizat la un debit de 2 l/min, iar aerul la 2,2 l/min.

Oxigenul este injectat prin intermediul unui detentor treapta I la o presiune fixă de 9 bar, la un debit constant de 2 l/min independent de adâncime.

Aerul este injectat printr-un detentor treapta I și un detentor treapta a II-a ce scade presiunea la o valoare cu 0,5 bar peste presiunea ambiantă.

Amestecul este realizat într-un recipient special de amestec înainte de a intra în circuit. În sistem mai sunt incluse între cele două detentore, două supape de securitate cu rolul de a avertiza scafandrul când debitul de gaz scade sau se oprește. Este inclus și un robinet manual de by-pass.

Date tehnice:

- Adâncime maximă: 40 m;
- Capacitate butelii: 2 x 1,5 l la 200 bar;
- Dimensiuni: 640 x 420 x 270 mm;
- Capacitate canistră: 2,1 kg; durată: 100 min la 10 m adâncime;
- Greutate : 25 kg pe uscat, 4 kg în apă.



Fig. 4.15. Aparatul cu circuit semi-închis, cu amestec preparat local, SM1.

4.2.2.4. Aparatul cu circuit semiînchis, cu amestec preparat local, FGT III

Aparatul FGT III (fig. 4.16) este un aparat recirculator militar în circuit semiînchis cu debit masic constant, produs de firma Dräger. Aparatul precede celorlalte aparate din seria FGT (FGT, I și FGT II) și este conceput a fi utilizat pentru ieșiri din submarin sau din turelă.

Specificații tehnice:

- Dimensiuni: 680 x 456 x 215 mm;
- Greutate: 28 kg pe uscat, flotabilitate neutră în apă;
- Capacitate butelii: 4 l la 200 bar;
- Capacitate canistră: 3 kg Soda Lime.



Fig. 4.16. Aparatul cu circuit semiînchis, cu amestec preparat local, FGT III.

4.3. APARATE DE RESPIRAT SUB APĂ CU CIRCUIT MIXT. GENERALITĂȚI

Aparatele de respirat sub apă cu circuit mixt, sunt aparatele care funcționează, de regulă, în circuit închis cu oxigen până la adâncimea de 6,5...7 m (și chiar la adâncimea de 15...20 m pentru incursiuni de scurtă durată) și în circuit deschis, închis sau semiînchis cu amestec respirator gazos, peste aceste adâncimi, fără a depăși, în general, adâncimea de 54 m. Aceste aparate au în componență elementele caracteristice ale aparatelor cu circuit închis, deschis sau semiînchis, combinând totodată avantajele acestor aparate.

4.4. TIPURI DE APARATE DE RESPIRAT SUB APĂ CU CIRCUIT MIXT

Aparatele de respirat sub apă cu circuit mixt sunt acele aparate care funcționează, pe măsură ce scafandrul pătrunde în apă, în cel puțin două moduri:

- inițial în circuit închis, iar apoi în circuit deschis de respirație;
- inițial în circuit închis, iar apoi în circuit semiînchis de respirație.

Cea mai reușită combinație, în special pentru aplicațiile militare, este funcționarea inițială în circuit închis cu oxigen până la adâncimea de 6,5...7 m și în circuit semiînchis cu amestec NITROX supraoxigenat, la adâncimi mai mari. Aceste aparate oferă o autonomie mare, adâncimi de lucru relativ mari, timpi de decompresie scăzuți și o bună siguranță în funcționare.

Aceste aparate de respirat sub apă, cu circuit mixt, comportă niveluri ridicate de risc în raport cu diferite tipuri de accidente (hipoxie, hiperoxie, intoxicație cu CO₂), cumulând nivelurile ridicate de risc, specifice aparatelor de respirat sub apă cu circuit închis și semiînchis. Din acest motiv, cei care desfășoară activități cu caracter civil nu pot utiliza aparate de respirat sub apă cu oxigen sau cu amestecuri supraoxigenate, așa cum sunt aparatele de respirat sub apă cu circuit mixt, acestea fiind destinate numai scafandrilor militari, adică scafandrilor de luptă și respectiv, scafandrilor deminori, selecționați în urma unor teste speciale așa cum este *testul oxigenului* și beneficiind de antrenamente specifice riguroase.

4.4.1. APARATUL CU CIRCUIT MIXT, IDA-71U

Aparatul cu circuit mixt IDA-71U (fig. 4.17) se compune din două butelii de 1 ℓ la 200 bar (sc. man.), una pentru oxigen (8) și una pentru amestec azot-oxigen (NITROX) (10) cu concentrația maximă a oxigenului din amestec de 40% ($r_{O_2} = 0,4$).

Fiecare din cele două butelii este dotată cu câte un manometru pentru controlul presiunii (7) și respectiv (11) și cu câte un detentor treapta I (6) și respectiv (12) care reduce presiunea de la nivelul presiunii din butelie la o presiune de 8...10 bar (sc. man.) peste presiunea hidrostatică corespunzătoare adâncimii de imersie.

Aparatul mai are în componență un sac respirator (3) dotat cu un detentor treapta a II-a (4) și o supapă de siguranță (1), ambele pilotate de presiunea hidrostatică.

Scafandrul respiră din sacul respirator prin intermediul unei piese bucale (muștiuc) (2) prevăzută cu supape unisens de inspirație și expirație, sau prin intermediul unei măști faciale prevăzută cu o piesă de respirație oro-nazală.

Inspirația se face direct din sac, iar expirația se face către cele două cartușe epuratoare (13) cu calce sodată destinate reținerii dioxidului de carbon. Alimentarea sacului respirator se face din cele două butelii prin intermediul unui racord rapid (cuplă rapidă) (5) și a unui distribuitor de gaze (9).

Distribuitorul de gaze (fig. 4.18) se compune din două mecanisme de spălare a sacului respirator, unul cu oxigen (1) și unul cu amestec NITROX (2), dotate fiecare cu duze compensatoare (3) și duze de debit (4), dintr-un mecanism de alimentare a distribuitorului cu amestec NITROX (5) comandat de presiunea hidrostatică corespunzătoare unei anumite adâncimi, dintr-un mecanism de descărcare a circuitului de amestec NITROX (6) la revenirea de la adâncimea de lucru la adâncimea de 10...15 m, în drum către suprafața apei, dintr-un mecanism de alimentare cu oxigen pentru spălarea sacului (7) la revenirea la adâncimea de 10...15 m și din mai mulți clapeteți antiretur (8).

În continuare, se prezintă modul de funcționare a aparatului IDA-71U în cele trei variante posibile de reglare a presiunii la ieșirea din detentorele treapta I montate pe cele două butelii.

a) Cazul $p_{NITROX} = 8 \text{ bar (sc. man.)}$ și $p_{O_2} = 6 \text{ bar (sc. man.)}$

În cazul în care presiunea la ieșirea din detentorul treapta I de pe butelia cu NITROX este mai mare decât presiunea la ieșirea din detentorul treapta I de pe butelia cu oxigen, aparatul funcționează astfel:

Se deschid robinetele buteliilor de oxigen și NITROX indiferent de ordinea de deschidere. În momentul în care se deschide butelia de NITROX, este alimentat mecanismul distribuitorului (5 din figura 4.18). Aparatul fiind la suprafață, clapetul mecanismului este închis, sistemul rămânând în așteptare. În momentul în care se deschide butelia de oxigen, presiunea învinge rezistența resortului mecanismului de alimentare cu oxigen (7 din figura 4.18) a distribuitorului și prin (1 din figura 4.18) spală sacul respirator cu oxigen până când duza compensatoare (3 din figura 4.18) echilibrează presiunile pe suprafața membranei mecanismului oprind scurgerea oxigenului din butelie. În această fază se pierde o cantitate de oxigen din butelie echivalentă cu o diferență de presiune de 15...25 bar. În același timp, oxigenul alimentează și detentorul treapta a II-a din sacul respirator (4 din figura 4.17). În acest moment, aparatul este gata pentru pătrunderea sub apă.

Din acest aparat se poate respira oxigen pur în circuit închis, iar surplusul necesar este compensat la cerere prin detentorul treapta a II-a (4 din figura 4.17). Această situație se păstrează până la o adâncime de 15 m sau mai puțin, funcție de reglajul sistemului de distribuție a amestecului NITROX și de tehnologia de scufundare. Îndată ce s-a depășit această adâncime, intră în funcțiune mecanismul de alimentare cu NITROX (5 figura 4.18) care blochează alimentarea cu oxigen și spală, prin intermediul mecanismului (2 din figura 4.18), sacul respirator cu amestec NITROX în așa fel încât în sac să rezulte un amestec azot-oxigen cu o concentrație a oxigenului aproximativ egală cu 40%. Pe perioada spălării, presiunea gazului din butelia cu NITROX scade cu 50 bar, ceea ce corespunde unui volum suficient de mare pentru spălarea corespunzătoare a sacului respirator. Din acest moment, în sac se află un amestec NITROX, iar detentorul treapta a II-a (4 din figura 4.17) este alimentat tot cu amestec NITROX. La revenirea la suprafață, se produce fenomenul invers și anume, în jurul adâncimii de 12 m se blochează alimentarea aparatului cu amestec NITROX și se execută spălarea sacului respirator cu oxigen pur. Pe timpul spălării cu oxigen pur, se pierde un volum ce corespunde unei diferențe de presiune în butelia cu oxigen de aproximativ 25 bar, volum suficient pentru a aduce amestecul din sacul respirator la un amestec cu o concentrație a oxigenului de peste 95%.

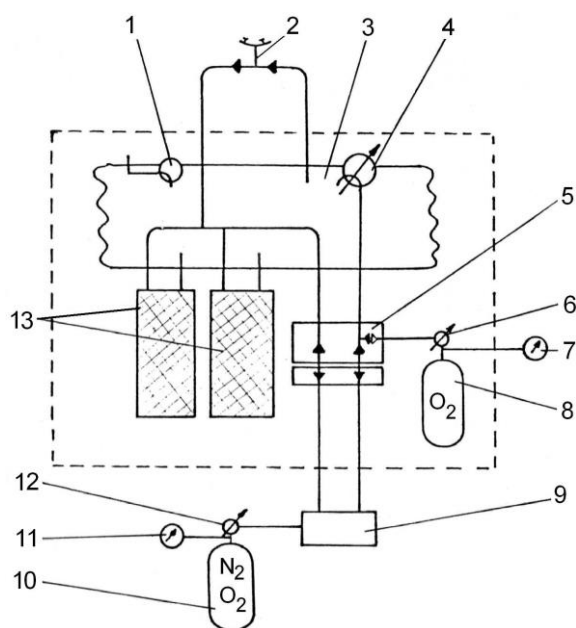


Fig. 4.17. Schema aparatului de respirat sub apă cu circuit mixt, IDA-71U.

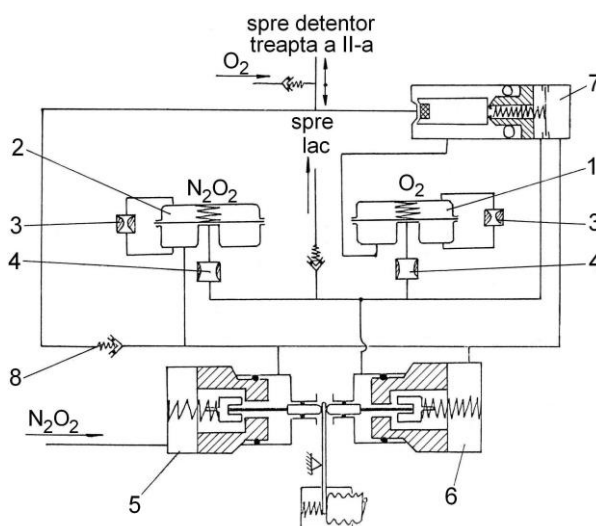


Fig. 4.18. Distribuitorul de gaze al aparatului IDA-71U.

b) Cazul $p_{\text{NITROX}} = 8 \text{ bar (sc. man.)}$ și $p_{\text{O}_2} = 8 \text{ bar (sc. man.)}$

În cazul în care presiunea la ieșirea din detentorul treapta I de pe butelia cu NITROX este egală cu presiunea la ieșirea din detentorul treapta I de pe butelia cu oxigen, aparatul funcționează similar cu principiul de la punctul a), deosebirea constând în faptul că pe linia de alimentare a detentorului treapta a II-a (4 din figura 4.17) a sacului respirator există atât oxigen cât și NITROX.

c) Cazul $p_{\text{NITROX}} = 6 \text{ bar (sc. man.)}$ și $p_{\text{O}_2} = 8 \text{ bar (sc. man.)}$

În cazul în care presiunea la ieșirea din detentorul treapta I de pe butelia cu NITROX este mai mică decât presiunea la ieșirea din detentorul treapta I de pe butelia cu oxigen, aparatul funcționează în principiu, la fel ca în cazul de la punctul a), cu precizările următoare: calea de spălare cu oxigen a sacului respirator nu se blochează, iar pe linia comună spre detentorul treapta a II-a va fi numai oxigen, calea cu NITROX fiind blocată la clapetul antiretur (8 din figura 4.18).

Aparatul de respirat sub apă IDA-71U a intrat în dotarea submariniștilor din Forțele Navale Române, fiind utilizat ca aparat de salvare de pe submarin, datorită faptului că acest aparat a fost conceput să lucreze fără a fi necesare paliere de decompresie, ci numai respectarea unei anumite viteze de ridicare.

4.4.2. APARATUL CU CIRCUIT MIXT, OXYMIX 97

Aparatul de respirat sub apă OXYMIX 97 (fig. 4.19), ca orice aparat cu circuit mixt, poate lucra în cele două moduri specifice funcție de adâncime: până la adâncimi de 7 m cu oxigen în circuit închis și până la adâncimea de 25 m cu amestec binar NITROX cu o concentrație de oxigen de 60%, sau până la adâncimea de 30 m cu amestec binar NITROX cu o concentrație de oxigen de 50% în circuit semiînchis. Trecerea de la un mod de funcționare la altul se realizează prin simpla manevrare a unui comutator.

Aparatul, pe circuitul care asigură funcționarea în regim închis, la adâncimi de până la 7 m, este echipat cu o butelie cu oxigen cu capacitatea de 1,5 l la 200 bar (sc. man.), care îi conferă o autonomie de 180 min. sau cu o butelie cu capacitatea de 2 l la 200 bar (sc. man.) care îi conferă o autonomie de 240 min. Aparatul, pe circuitul care asigură funcționarea în regim semiînchis la adâncimi de până la 25 m, este echipat cu o butelie cu amestec respirator NITROX cu capacitatea de 2 l la 200 bar (sc. man.), care îi conferă o autonomie de minimum 45 minute pentru scufundări la 25 m. Aparatul OXYMIX 97 poate să își mărească autonomia. Astfel, în cazul în care scafandru efectuează scufundări ieșind dintr-o turelă presurizată sau din barocamera unui submersibil purtător de scafandri, aparatul OXYMIX 97 poate fi conectat la o rezervă mai mare de amestec respirator.

Aparatul, atât din punct de vedere al amprente magnetice cât și al amprente acustice, corespunde standardelor NATO. Greutatea în aer este de 22,45 kgf, iar capacitatea canistrei cu calce sodată este de 2 kg pentru o autonomie de 4 ore.

Aparatul este format din două unități:

- o unitate plasată pe pieptul scafandruului, compusă din aparatul de respirat propriu-zis și butelia de oxigen de 1,5 l sau 2 l;
- o unitate plasată pe picior, compusă din butelia de 2 l cu amestec, NITROX.

Sistemul de respirat conține doi saci respiratori, unul în altul, care operează împreună. Comutatorul de gaze dă posibilitatea conectării gazului și modului de lucru conform adâncimii corespunzătoare planului de scufundare adoptat.

Intrarea apei în circuitul de respirat compromise scufundarea prin compromiterea masei absorbante alcătuită din calce sodată, iar intrarea aerului în circuit impune reluarea operațiunii de spălare a sacului respirator.

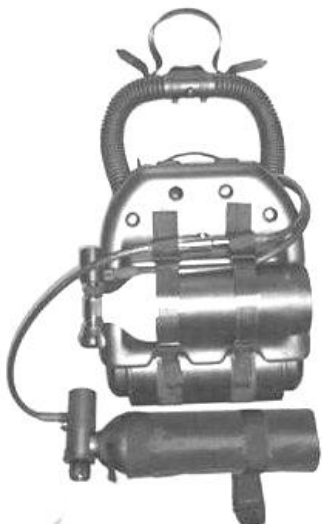


Fig. 4.19. Aparatul de respirat sub apă cu circuit mixt, OXYMIX 97.

4.4.3. APARATUL CU CIRCUIT MIXT, LAR VII COMBI

Aparatul de scufundare LAR VII Combi (fig. 4.20), este un aparat de respirat sub apă cu circuit mixt care poate funcționa în sistem închis cu oxigen și în sistem semiînchis cu amestec de gaze prefabricat de tip NATO, NITROX B (60% O₂, 40% N₂).



Fig. 4.20. Scafandru militar echipat cu aparat de respirat sub apă cu circuit mixt, LAR VII Combi.

Pe timpul funcționării este posibilă comutarea între regimul de funcționare cu oxigen în circuit închis și regimul de funcționare cu amestec binar NITROX în circuit semiînchis. Comutarea de la funcționarea cu oxigen la funcționarea cu NITROX (în etapa coborârii în apă) și de la funcționarea cu NITROX la funcționarea cu oxigen (în etapa urcării către suprafață), are loc în timpul scufundării, la adâncimea de comutare prestabilită.

4.4.4. APARATELE CU CIRCUIT MIXT, SIVA 24, SIVA 55 ȘI SIVA +

Aparatele autonome de respirat sub apă cu circuit mixt lucrând atât cu oxigen în circuit închis, cât și cu amestec respirator prefabricat în circuit semiînchis, din seria SIVA, sunt aparate utilizate în scopuri militare, fiind fabricate de firma canadiană CARLETON LIFE SUPPORT TECH. Ltd. Trecerea de la modul de funcționare cu oxigen în circuit închis la modul de funcționare cu amestec în circuit semiînchis și invers, se efectuează chiar în timpul scufundării, la adâncimea propusă de tehnologie.

I. Aparatul de respirat sub apă SIVA 24 (fig. 4.21), este un aparat utilizat în operațiuni militare și are următoarele caracteristici generale:

- este un aparat cu circuit mixt amplasat pe pieptul scafandruului;
- lucrează în circuit semiînchis cu amestec până la adâncimea de 24 m;
- lucrează în circuit închis cu oxigen până la adâncimea de 8 m;
- durata calcei sodate din cartușul epurator pentru CO₂ este de 4 ore.

II. Aparatul de respirat sub apă SIVA 55 este un aparat utilizat de către scafandri militari pentru operațiuni clandestine și are următoarele caracteristici generale:

- este un aparat cu circuit mixt;
- lucrează în circuit semiînchis cu amestec până la adâncimea de 55 m;
- lucrează în circuit închis cu oxigen până la adâncimea de 8 m;
- durata calcei sodate din cartușul epurator pentru CO₂ este de 4 ore.

III. Aparatul de respirat sub apă SIVA + este un aparat folosit de către scafandri deminori și are următoarele caracteristici generale:

- este un aparat cu circuit mixt;
- lucrează în circuit semiînchis cu amestec până la adâncimea de 95 m;
- lucrează în circuit închis, cu oxigen până la adâncimea de 8 m;
- durata calcei sodate din cartușul epurator pentru CO₂ este de 4 ore.



Fig. 4.21. Aparatul de respirat sub apă cu circuit mixt SIVA 24.

4.4.5. APARATUL CU CIRCUIT MIXT, MIXGERS 78

Aparatul Mixgers 78 (fig. 4.22) este un aparat pentru aplicații militare ce funcționează în circuit mixt, produs de firma AQUALUNG / SPIROTECHNIQUE și folosit de scafandrii militari din grupurile de comando ale Marinei Naționale franceze. Ulterior, apare o variantă mai perfecționată, Mixgers 97.

Aparatul poate funcționa cu oxigen în circuit închis și cu amestec NITROX în circuit semiînchis, circuite ce pot fi schimbate de scafandru în timpul scufundării.

Aparate de respirat sub apă cu circuit semiînchis și mixt

Avantajul circuitului mixt este acela că oferă scafandrului discreție în circuit închis, combinată cu adâncime mai mare și durată mai îndelungată a scufundării, în circuit semiînchis.

Câteva date tehnice:

- Adâncime maximă: Oxigen – 7 m;
Nitrox – 25...30 m;
- Capacitate canistră: 2 kg Soda Lime suficient pentru 4 ore de scufundare;
- Capacitate butelii: 1,5 l Oxigen/2 l NITROX, ambele la 200 bar.



Fig. 4.22. Aparatul cu circuit mixt, Mixgers 78.

4.4.6. APARATUL CU CIRCUIT MIXT, FGT II

FGT II (denumit și Leba 54) (fig. 4.23) este un aparat cu circuit mixt produs de Dräger în anul 1997 special pentru operațiuni militare, precum și pentru diferite lucrări profesionale de scufundare ca ranfluare, reparații, căutări, alte lucrări subacvatice. Are amprentă magnetică conform Stanag 2897-A.

Aparatul funcționează în circuit închis cu oxigen până la adâncimea de 10 m și în circuit semiînchis cu amestec NITROX cu debit masic constant până la adâncimea de 54 m.

Aparatul FGT II este predecesorul aparatului Atlantis fiind varianta militară a acestuia.

Date tehnice:

- Adâncime maximă: 10 m în circuit închis cu oxigen;
24 m cu NITROX B, în circuit semiînchis;
42 m cu NITROX C, în circuit semiînchis;
54 m cu Nitrox D, în circuit semiînchis;
- Capacitate canistră: 2,7 kg Drägersorb cu durata de 3 ore;
- Capacitate sac respirator: 2 x 4 l;
- Capacitate butelii din oțel: 5 l la 200 bar;
- Greutate: 15,6 kg;
- Dimensiuni: 520 x 370 x 240 mm.



Fig. 4.23. Aparatul cu circuit mixt, FGT II.

4.4.7. APARATUL CU CIRCUIT MIXT, INFINITO

Aparatul Infinito este un aparat cu circuit mixt produs de firma Powerbreathe S.P.A. din Italia, special conceput atât pentru scufundări cu caracter militar cât și pentru scufundări civile sau diferite lucrări profesionale.

Aparatul Infinito a fost produs în mai multe variante: IAMT 444 SC/O₂ (fig. 4.24) în circuit mixt (semiînchis cu amestec și închis cu oxigen), IAMT 444 FC și IAMT 888 în circuit închis cu preparare locală a amestecului.

Aparatul IAMT 444 SC/O₂ este prevăzut cu un sistem de monitorizare ce indică scafandruului adâncimea, pO₂ medie, pO₂ pentru fiecare din cei trei senzori, temperatura gazului din sacul respirator, nivelul de încărcare al bateriei, palierul și durata decompresiei, presiunea din buteliile cu oxigen și diluant, consumul absorbantului, viteza de coborâre și urcare, semnale luminoase de avertizare,

Alte date tehnice:

- Capacitate canistră: 1,75 sau 2,5 kg;
- Capacitate sac respirator: 6...8 l;
- Greutate: 15...18 kg;
- Dimensiuni: 550 x 330 x 195 mm.



Fig. 4.24. Aparatul cu circuit mixt, Infinito IAMT 444 SC/O₂.

4.4.8. APARATUL CU CIRCUIT MIXT, DIVEX SHADOW EXCURSION

Aparatul Shadow Excursion (fig. 4.25) este varianta cu circuit mixt produsă de firma Divex din Marea Britanie.

Aparatul funcționează în circuit închis cu oxigen și în circuit semiînchis cu amestec NITROX fiind utilizat în prezent de scafandrii militari din mai multe forțe navale într-o gamă largă de aplicații militare cum ar fi deminări, operațiuni clandestine, cu plecare atât de pe uscat cât și de pe submarine.

În circuit închis, oxigenul este furnizat prin supapa de debit la cerere prevăzută și cu un robinet de by-pass permițând o durată a scufundării de 3 ore la un consum de oxigen de 1,78 l/min.

În circuit semiînchis, amestecul NITROX (60%O₂/40%N₂) este furnizat la debit masic constant cu o durată a scufundării de 1 oră la un debit masic constant de 6 l/min.

Capacitatea canistrei cu absorbant este de 3,5 kg, iar capacitatea buteliilor cu oxigen și NITROX este de 2 l la 200 bar fiecare.



Fig. 4.25. Scafandru militar echipat cu aparatul cu circuit mixt, Divex Shadow Excursion.

4.4.9. APARATUL CU CIRCUIT MIXT, VIPER +

Aparatul recirculator Viper + (fig. 4.26) este un aparat în circuit mixt produs de firma canadiană Cobham, special conceput pentru operațiuni de deminare, și se află în dotarea forțelor navale din 10 țări.

Aparatul funcționează în circuit închis cu oxigen și în circuit semiînchis cu amestec dozat la debit volumic constant, presiunea parțială a oxigenului fiind monitorizată manual.

În modul de funcționare în circuit închis, aparatul este prevăzut cu posibilitatea efectuării decompresiei în apă cu oxigen, precum și folosirea tabelelor de scufundare canadiene DCIEM.

Aparatul Viper + poate fi convertit în circuit închis cu amestec.

Date tehnice:

- Adâncime maximă: 8 m în circuit închis cu oxigen;
95 m în circuit semiînchis cu amestec;
- Capacitate canistră: 4 ore;
- Capacitate butelii: 680 l la 242 bar fiecare;
- Dimensiuni: 725 x 500 x 240 mm;
- Greutate: 29 kg pe uscat, flotabilitate neutră în apă de mare.



Fig. 4.26. Aparatul recirculator în circuit mixt, Viper +.

4.4.10. APARATUL CU CIRCUIT MIXT, VIPER SC

Aparatul recirculator Viper SC (fig. 4.27) este un aparat în circuit mixt produs de firma canadiană Cobham special conceput pentru operațiuni militare de deminare, aflându-se în dotarea forțelor navale din 14 țări. Are o amprentă magnetică scăzută conform standardelor NATO.

Aparatul funcționează în circuit închis cu oxigen și în circuit semiînchis cu amestec NITROX cu debit masic constant, cu posibilitatea de a fi convertit să funcționeze și în circuit închis cu amestec NITROX.

Date tehnice:

- Adâncime maximă: în circuit închis cu oxigen: 8 m;
în circuit semiînchis cu amestec: 55 m;
în circuit închis cu amestec: 100 m;
- Capacitate canistră: 4 ore;
- Butelii oxigen și NITROX: 1,3 l la 242 bar fiecare;
- Dimensiuni: 510 x 480 x 240 mm;
- Greutate: 23 kg pe uscat, flotabilitate neutră în apă.

La acest aparat se pot folosi mai multe tipuri de măști faciale.



Fig. 4.27. Aparatul recirculator cu circuit mixt, Viper SC.

5.

CALCULUL GAZODINAMIC AL APARATELOR SPECIALE DE RESPIRAT SUB APĂ

În acest capitol sunt prezentate calcule specifice mecanicii fluidelor compresibile utile la proiectarea circuitelor gazodinamice ale aparatelor speciale de respirat sub apă.

Schemele de principiu care au stat la baza proiectării unor aparate speciale de respirat sub apă cu circuit închis, semiînchis sau mixt, sunt prezentate în figurile 5.1 (aparatul de respirat sub apă cu circuit mixt) și 5.2 (aparatul de respirat sub apă cu circuit semiînchis). Schemele comportă trei blocuri distincte: blocul de alimentare cu amestec respirator, blocul de alimentare cu oxigen și blocul cu sacul respirator. Primele două blocuri au în componență unul, două sau trei ajutaje: de injecție AI, de compensare AC și de spălare a sacului respirator AS. În continuare, sunt prezentate elementele de mecanica fluidelor compresibile specifice calculelor de gazodinamică a circuitelor aparatelor de respirat sub apă speciale și relațiile de calcul aferente elementelor fiecărui bloc din componența acestor aparate.

5.1. CURGEREA GAZELOR RESPIRATORII PRIN AJUTAJELE DE INECȚIE, DE COMPENSARE ȘI DE SPĂLARE

În paragrafele următoare sunt prezentate elemente de teoria ajutajelor. Curgerile prin ajutaje sunt considerate ca adiabatic reversibile (izentropice).

5.1.1. CURGEREA IZENTROPICĂ PRIN AJUTAJE. RELAȚIA LUI HUGONIOT

Pentru ajutajele propuse ca elemente care să realizeze injecția, compensarea și spălarea, se pot face următoarele ipoteze de calcul: curgerea este adiabatică $\Delta Q = 0$, fără frecare $\Delta W_f = 0$, precum și fără lucru mecanic util $\Delta W_M = 0$.

Ținând cont de ipotezele de mai sus și apelând la ecuația de bilanț energetic scrisă pentru unitatea de masă, deci cu mărimi specifice, sub forma:

$$\Delta \left(H + \frac{v^2}{2} + gz \right) = -\Delta |W_f| + \Delta W_M + \Delta Q = 0, \quad (5-1)$$

se poate scrie ecuația diferențială:

$$d \left(H + \frac{v^2}{2} + gz \right) = dH + d \left(\frac{v^2}{2} \right) + d(gz) = 0, \quad (5-2)$$

unde: $H = E + p/\rho$ este entalpia, E energia internă, p presiunea absolută, ρ densitatea gazului, $v^2/2$ energia cinetică, gz energia potențială, W_f lucrul mecanic datorat forțelor de frecare, iar W_M lucrul mecanic util.

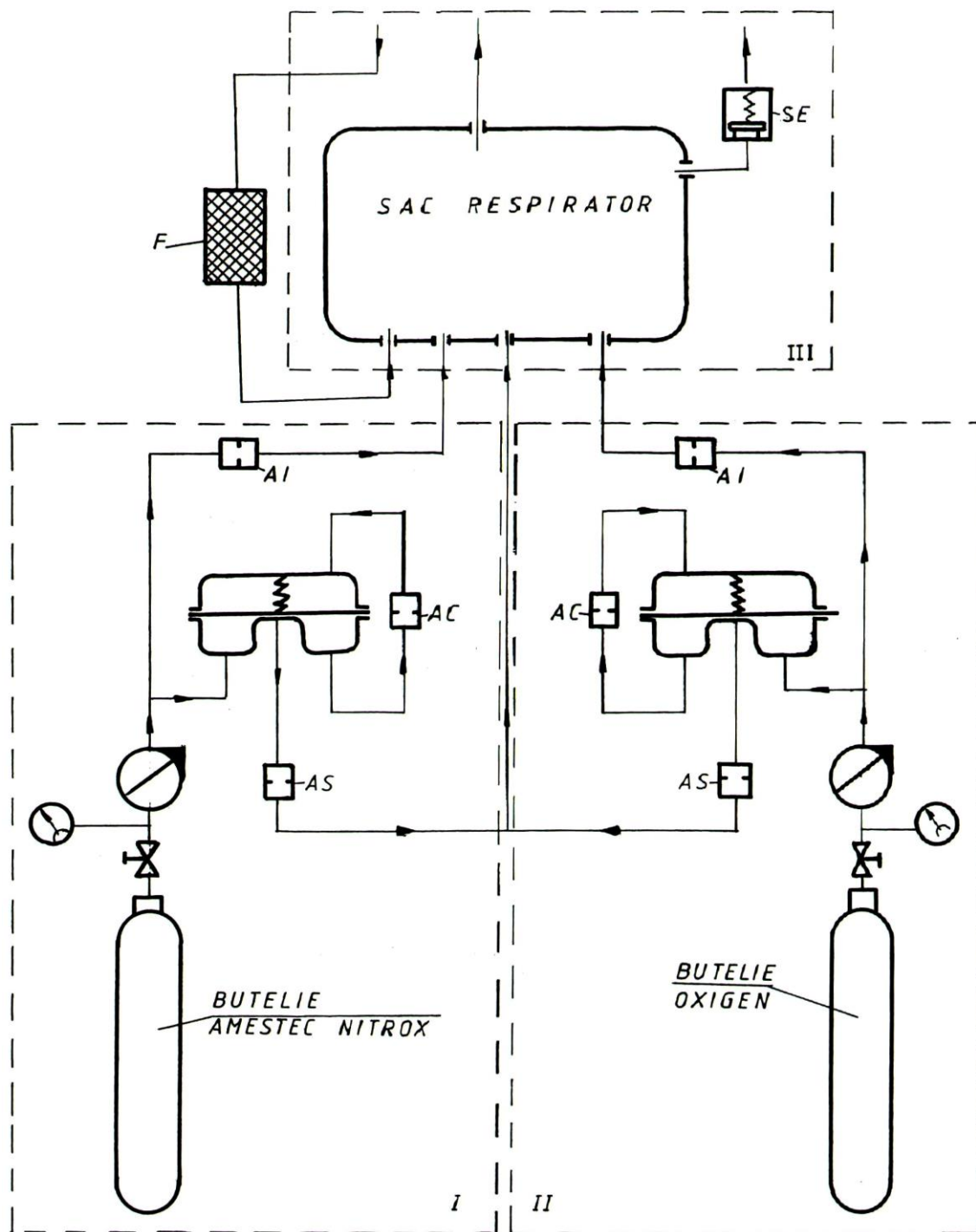


Fig. 5.1. Schema de principiu, simplificată, a aparatului de respirat sub apă cu circuit mixt: I – bloc de alimentare cu amestec respirator NITROX; II – bloc de alimentare cu oxigen; III – bloc cu sac respirator; SE – supapă de evacuare; AI – ajutoraj de injecție; AC – ajutoraj de compensare; AS – ajutoraj de spălare a sacului respirator.

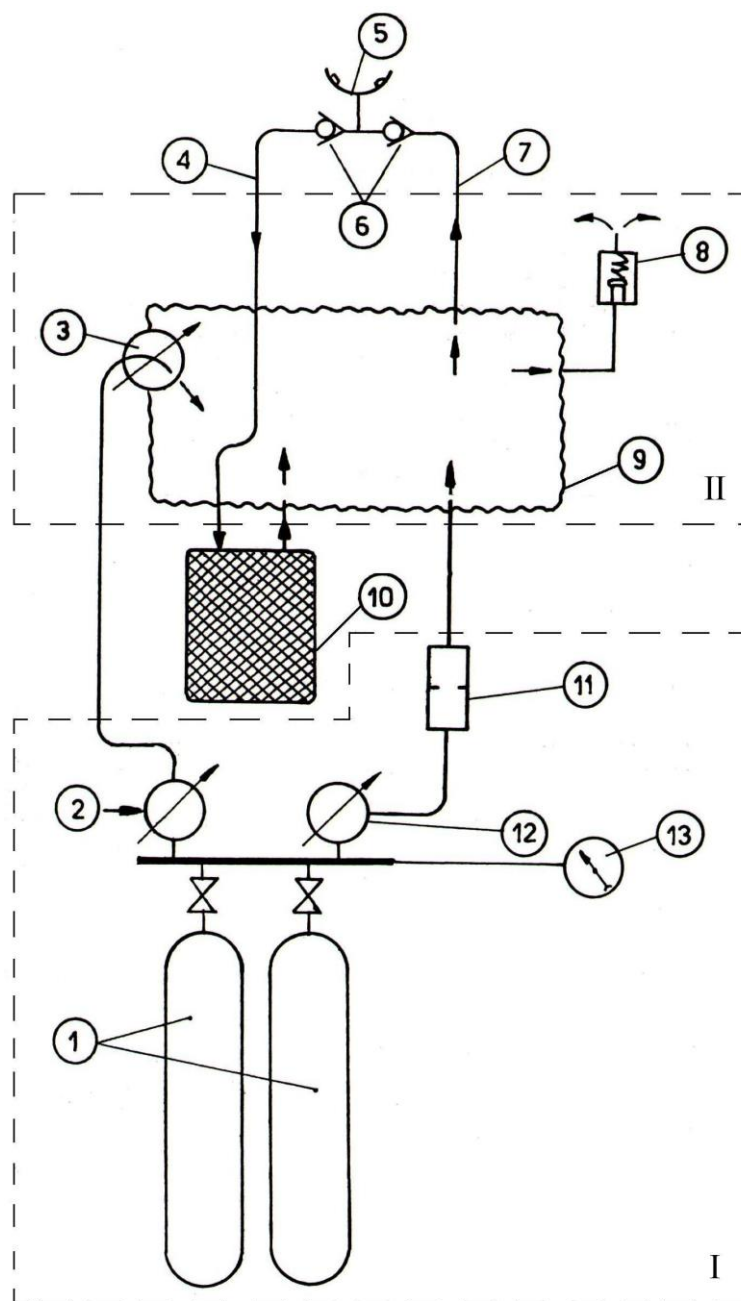


Fig. 5.2. Schema de principiu a aparatului de respirat sub apă cu circuit semiînchis: I – bloc de alimentare cu amestec respirator; II – bloc cu sac respirator; 1 – butelii stocare amestec respirator; 2 – reductor de presiune treapta întâi pilotat; 3 – reductor de presiune treapta a doua; 4 – furtun expirație; 5 – muștiuc; 6 – bloc supape; 7 – furtun inspirație; 8 – supapă evacuare; 9 – sac respirator; 10 – epurator de dioxid de carbon; 11 – ajutor de injecție; 12 – reductor de presiune treapta întâi nepilotat; 13 – manometru control presiune.

Termenii ecuațiilor de mai sus sunt, din punct de vedere dimensional, viteze la pătrat $[L^2 T^{-2}]$, iar din punct de vedere energetic, energii specifice raportate la masa de fluid. Pentru studierea curgerii prin ajutor, pe lângă ecuația 5-2 sunt necesare ecuații suplimentare și anume:

– ecuația termică de stare a gazelor perfecte (ecuația Clapeyron – Mendeleev):

$$\frac{p}{\rho} = R T, \quad (5-3)$$

unde: ρ este densitatea gazului, iar R constanta gazului;

– ecuația de continuitate pentru fluide compresibile ($A v = ct.$), care poate fi scrisă sub forma diferențială:

$$\frac{d\rho}{\rho} + \frac{dv}{v} + \frac{dA}{A} = 0, \quad (5-4)$$

unde: A este aria secțiunii transversale corespunzătoare tubului de curent;

– ecuația energiei pentru fluidul perfect (legea lui Bernoulli) a cărei formă diferențială este:

$$d(gz) + d\left(\frac{v^2}{2}\right) + \frac{dp}{\rho} = 0. \quad (5-5)$$

Ținând cont de ecuațiile 5-2 și 5-5 se poate scrie expresia variației de entalpie în condițiile ipotezelor de calcul adoptate:

$$dH = \frac{dp}{\rho}. \quad (5-6)$$

Pentru gazul perfect se poate scrie:

$$H = c_p T = \frac{k}{k-1} \frac{p}{\rho}, \quad (5-7)$$

unde $k = c_p / c_v$ este exponentul adiabatic, iar c_p și c_v sunt căldurile specifice la presiune constantă și respectiv la volum constant, pentru gazul de lucru.

Rezultă relația:

$$dH = \frac{k}{k-1} d\left(\frac{p}{\rho}\right) = \frac{k}{k-1} \left(\frac{dp}{\rho} - p \frac{d\rho}{\rho^2}\right), \quad (5-8)$$

de unde:

$$\frac{dp}{\rho} = \frac{k}{k-1} \frac{dp}{\rho} - \frac{k}{k-1} p \frac{d\rho}{\rho^2}. \quad (5-9)$$

Integrând ecuația 5-9 se regăsește ecuația transformării adiabactice:

$$\frac{p}{\rho^k} = ct. \quad (5-10)$$

După cum se cunoaște, o transformare adiabatică reversibilă este în același timp și izentropică.

Pentru a pune în evidență relațiile diferențiale între presiune p , viteză v și aria secțiunii A , se pornește de la ecuația 5-5 în care se neglijează termenul corespunzător forțelor masice (de greutate, $d(gz) = 0$) rezultând:

$$d\left(\frac{v^2}{2}\right) + \frac{dp}{\rho} = 0.$$

Viteza sunetului (celeritatea) pentru procesele izentropice este:

$$a = \sqrt{\frac{dp}{d\rho}} \text{ și, deci, } dp = a^2 d\rho \quad (5-11)$$

de unde rezultă relația:

$$v dv = -\frac{dp}{\rho} = -a^2 \frac{d\rho}{\rho}. \quad (5-12)$$

Eliminând $d\rho/\rho$ din ecuațiile 5-4 și 5-12 rezultă relația diferențială între A și v , care poartă denumirea de *relația lui Hugoniot*:

$$\frac{dA}{A} + \frac{dv}{v} \left(1 - \frac{v^2}{a^2}\right) = 0, \quad (5-13)$$

sau

$$\frac{dA}{A} + \frac{dv}{v} (1 - M^2) = 0, \quad (5-14)$$

unde $M = v/a$ reprezintă numărul lui Mach.

Se poate scrie și relația diferențială între v și p sub forma:

$$\frac{dv}{v} + \frac{1}{M^2 k} \frac{dp}{p} = 0. \quad (5-15)$$

Relația lui Hugoniot arată că într-un ajutoraj dat, în care există o curgere adiabatică reversibilă:

a) Dacă $v < a$, ($M < 1$ – viteze subsonice), viteza variază în sens invers cu secțiunea: $dv > 0$ dacă $dA < 0$.

b) Dacă $v > a$, ($M > 1$ – viteze supersonice), viteza variază în același sens cu secțiunea: $dv > 0$ dacă $dA > 0$.

c) Viteza de curgere a unui fluid nu poate fi egală cu viteza locală a sunetului ($v = a$, $M = 1$) decât într-o secțiune unde aria A prezintă un extrem. Acest extrem nu poate fi decât un minim deoarece, conform situațiilor a) și b), nu se poate trece de la regim subsonic la regim critic sau de la regim supersonic la regim critic decât prin micșorarea secțiunii.

5.1.2. RELAȚIA LUI BARRÉ DE SAINT-VENANT. DEBITUL MASIC ÎN REGIM DE BLOCAJ

Pornind de la ecuația 5-2 și neglijând termenul corespunzător forței masice se obține:

$$d\left(\frac{v^2}{2}\right) + dH = 0,$$

iar prin integrare rezultă:

$$\frac{v^2}{2} + H = ct. \quad (5-16)$$

Pentru gazul perfect $\left[H = c_p T = (k/k-1)(p/\rho) \right]$ relația 5-16 devine:

$$\frac{v^2}{2} + \frac{k}{k-1} \frac{p}{\rho} = ct. \quad (5-17)$$

Dacă se notează p_0, ρ_0, T_0 parametrii caracteristici ai gazului sau amestecului de gaze într-o secțiune S_0 unde viteza este $v_0 = 0$ (cazul alimentării ajutorului dintr-un recipient sau dintr-o conductă cu diametru foarte mare în raport cu diametrul caracteristic al ajutorului) și se aplică relația 5-16, se obține

$$\frac{v^2}{2} + H = H_0 \quad \text{sau} \quad \frac{v^2}{2} + \frac{k}{k-1} \frac{p}{\rho} = \frac{k}{k-1} \frac{p_0}{\rho_0},$$

de unde rezultă expresia vitezei:

$$v = \sqrt{\frac{2k}{k-1} \left(\frac{p_0}{\rho_0} - \frac{p}{\rho} \right)} = \sqrt{\frac{2k}{k-1} R(T_0 - T)}.$$

Curgerea amestecului gazos prin ajutoraj fiind izentropică și deci:

$$\frac{p}{\rho^k} = \frac{p_0}{\rho_0^k} \quad \text{sau} \quad \left(\frac{\rho_0}{\rho} \right)^k = \frac{p_0}{p},$$

rezultă următoarea expresie a vitezei locale în lungul ajutorului, în funcție de parametrii amestecului gazos la intrarea (p_0 și ρ_0):

$$v = \sqrt{\frac{2k}{k-1} \frac{p_0}{\rho_0} \left[1 - \left(\frac{p}{p_0} \right)^{\frac{k-1}{k}} \right]}. \quad (5-18)$$

Aceasta este relația lui Barré de Saint-Venant cu ajutorul căreia se poate calcula viteza v într-o anumită secțiune a ajutorului, în funcție de parametrii caracteristici ai fluidului în amonte de ajutoraj (p_0, ρ_0) în ipoteza că viteza de acces în ajutoraj poate fi neglijată ($v = 0$).

Limita superioară pentru viteza de curgere se poate determina pornind de la relația lui Barré de Saint-Venant și considerând o detență a gazului de la presiunea p_0 la presiunea vidului ($p = 0$). În acest caz, deoarece $p = 0$, $p/\rho = 0$ și $T = 0$ se obține:

$$v_{\max} = \sqrt{\frac{2k}{k-1} \frac{p_0}{\rho_0}} = a_0 \sqrt{\frac{2}{k-1}} = \sqrt{kRT_0} \sqrt{\frac{2}{k-1}}, \quad (5-19)$$

unde a_0 este celeritatea corespunzătoare condițiilor de alimentare a ajutorului.

Debitul masic printr-un ajutor cu condiții de alimentare $v_0 = 0$, p_0 și T_0 se obține înlocuind în relația debitului masic $q_m = \rho A v$ expresia vitezei v dată de relația lui Barré de Saint-Venant:

$$q_m = \rho A \sqrt{\frac{2k}{k-1} \frac{p_0}{\rho_0} \left[1 - \left(\frac{p}{p_0} \right)^{\frac{k-1}{k}} \right]}. \quad (5-20)$$

Deoarece curgerea prin ajutor este izentropică și deci $p / \rho^k = p_0 / \rho_0^k$ sau $\rho = \rho_0 (p / p_0)^{1/k}$, se obține expresia debitului masic de gaz:

$$q_m = A \rho_0 \left(\frac{p}{p_0} \right)^{1/k} \sqrt{\frac{2k}{k-1} \frac{p_0}{\rho_0}} \sqrt{1 - \left(\frac{p}{p_0} \right)^{\frac{k-1}{k}}}. \quad (5-21)$$

Introducând viteza maximă v_{\max} conform relației 5-19 și notând:

$$Y = \left(\frac{p}{p_0} \right)^{1/k} \sqrt{1 - \left(\frac{p}{p_0} \right)^{\frac{k-1}{k}}}, \quad (5-22)$$

se poate scrie expresia debitului masic prin ajutor:

$$q_m = \rho_0 A v_{\max} Y. \quad (5-23)$$

Se observă că pentru parametrii corespunzători alimentării ajutorului (p_0 , ρ_0 și T_0) constanți, debitul masic variază cu produsul AY . Considerând că pentru un anumit fluid exponentul adiabatic k este o constantă, se poate analiza variația lui Y funcție de raportul p / p_0 :

$$Y = 0 \quad \text{pentru} \quad \begin{cases} p = 0 & (p / p_0 = 0) \\ p / p_0 = 1 \end{cases}.$$

Funcția Y are un maxim pentru valoarea lui p / p_0 care anulează derivata. Această valoare este:

$$\frac{p_{cr}}{p_0} = \left(\frac{2}{k+1} \right)^{\frac{k}{k-1}}, \quad (5-24)$$

unde p_{cr} reprezintă presiunea la starea critică corespunzătoare atingerii vitezei locale a sunetului.

Revenind la expresia debitului masic 5-23 și considerând că p_0 , ρ_0 și T_0 sunt constante, debitul q_m este o constantă și deci se poate scrie relația:

$$dq_m = YdA + AdY = 0.$$

Pentru Y maxim, $dY = 0$, de unde rezultă că $dA = 0$ și deoarece Y este maxim, q_m fiind constant, rezultă că secțiunea A este minimă. Rezultă deci, că valoarea lui Y maxim ($Y = Y_{cr}$), care se obține pentru:

$$\frac{p_{cr}}{p_0} = \left(\frac{2}{k+1} \right)^{\frac{k}{k-1}},$$

nu poate fi realizată decât în secțiunea minimă a ajutorului (în colul ajutorului: $A_{min} = A_{cr} = A_{col}$). Pentru această secțiune minimă, A_{cr} , se pot scrie relațiile:

$$\frac{p_{cr}}{p_0} = \left(\frac{2}{k+1} \right)^{\frac{k}{k-1}}, \quad (5-25)$$

$$Y_{cr} = \left(\frac{2}{k+1} \right)^{\frac{k}{k-1}} \frac{k-1}{k+1}, \quad (5-26)$$

$$v_{cr} = \sqrt{\frac{2k}{k-1} \frac{p_0}{\rho_0} \left[1 - \left(\frac{p_{cr}}{p_0} \right)^{\frac{k-1}{k}} \right]} = a_0 \sqrt{\frac{2}{k+1}}. \quad (5-27)$$

Exprimând viteza sunetului a_{cr} în condițiile corespunzătoare secțiunii critice $A_{cr}(p_{cr}, \rho_{cr}, T_{cr})$ se poate demonstra că

$$v_{cr} = a_{cr} = \sqrt{k R T_{cr}} = \sqrt{k \frac{p_{cr}}{\rho_{cr}}} \quad (5-28)$$

și deci

$$\frac{\rho_{cr}}{\rho_0} = \left(\frac{2}{k+1} \right)^{\frac{1}{k-1}} \quad \text{și} \quad \frac{T_{cr}}{T_0} = \frac{2}{k+1}, \quad (5-29)$$

iar debitul masic are expresia:

$$Q_m = q_{cr} = \rho_{cr} A_{cr} v_{cr}. \quad (5-30)$$

Astfel, pentru aer și amestecuri NITROX, la care exponentul adiabatic este $k = 1,405$, se obține:

$$\frac{p_{cr}}{p_0} = 0,527 \quad ; \quad \frac{\rho_{cr}}{\rho_0} = 0,634 \quad ; \quad \frac{T_{cr}}{T_0} = 0,832,$$

iar pentru heliu, la care exponentul adiabatic este $k = 1,666$, se obține:

$$\frac{p_{cr}}{p_0} = 0,487 \quad ; \quad \frac{\rho_{cr}}{\rho_0} = 0,649 \quad ; \quad \frac{T_{cr}}{T_0} = 0,750.$$

Când presiunea din aval scade, debitul masic prin ajutoraj crește corespunzător relației 5-23.

Dacă detenta pe ajutoraj este redusă, raportul p / p_0 fiind apropiat de valoarea 1 pe toată lungimea ajutorajului, punctul figurativ al lui Y se deplasează pe ramura AC a curbei $Y = f(p / p_0)$ din figura 5.3, curgerea fiind subsonică pentru întregul ajutoraj.

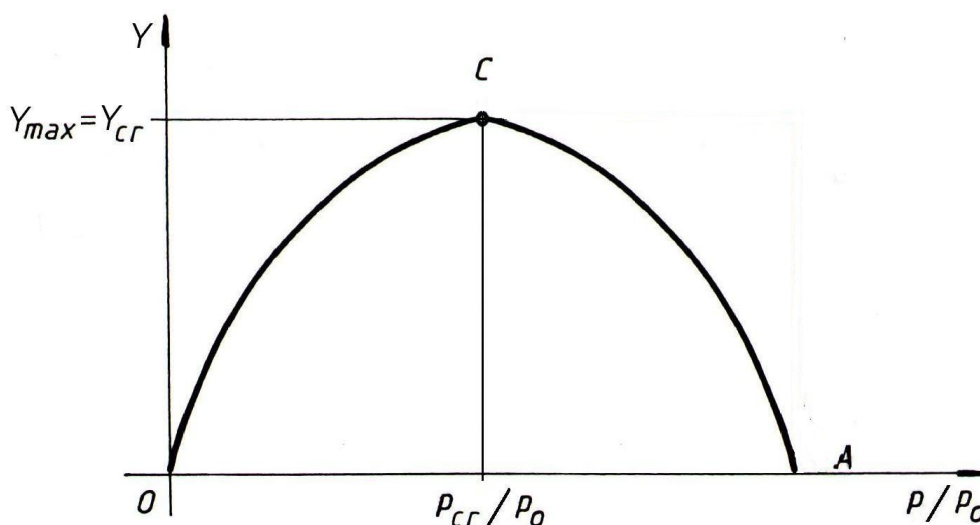


Fig. 5.3. Variația lui Y în funcție de raportul p / p_0 .

În cazul în care detenta este suficient de puternică, raportul p / p_0 poate deveni mai mic decât 1 și punctul figurativ se deplasează pe ramura CO a curbei $Y = f(p / p_0)$ din figura 5.3. În această situație, în lungul ajutorajului poate exista o secțiune A_{cr} pentru care Y este maxim și egal cu Y_{cr} , corespunzător punctului C de pe curbă. Secțiunea A_{cr} este secțiunea minimă a ajutorajului, unde se ating parametrii critici p_{cr} , v_{cr} (viteza sunetului), ρ_{cr} și T_{cr} . În alte secțiuni din lungul ajutorajului $A > A_{cr}$, deoarece debitul masic rămâne constant în lungul curgerii și deci $AY = A_{cr} Y_{cr} = ct.$, rezultă că $Y < Y_{cr}$ și pot exista două situații:

- situația unde $p > p_{cr}$ (ramura CA) curgerea fiind subsonică;
- situația unde $p < p_{cr}$ (ramura OC) curgerea fiind supersonică.

Această curgere se obține în mod obligatoriu.

În amonte de secțiunea minimă, A_{cr} , mișcarea este întotdeauna subsonică, iar în aval de aceasta curgerea poate fi subsonică sau supersonică. Debitul masic care curge prin ajutorajul de injecție masică variază crescător cu scăderea presiunii din aval, fixându-se, la un moment dat, la valoarea sa maximă Q_m atunci când viteza în

secțiunea critică A_{cr} devine egală cu viteza locală a sunetului adică atunci când se ating parametrii critici. Acest debit maxim rămâne constant chiar dacă presiunea din aval continuă să scadă, fiind numit și *debit în regim de blocaj*.

5.1.3. CURGEREA GAZELOR PRIN AJUTAJE CONVERGENTE

Deoarece la aparatele de respirat sub apă cu circuit închis, semiînchis și mixt, interesează asigurarea unei injecții de amestec gazos cu debit masic constant în raport cu adâncimea scufundării, se vor lua în considerare numai ajutajele convergente, care îndeplinesc condițiile teoretice și practice pentru a fi utilizate la circuitele de injecție, compensare și spălare cu amestec gazos sau oxigen aferente aparatelor de respirat sub apă speciale.

Se notează cu p_0 , ρ_0 , T_0 și v_0 parametrii amestecului gazos sau oxigenului în amonte de ajutaj și se face ipoteza că $v_0 = 0$, ipoteză perfect valabilă în cazul în care diametrul camerei de alimentare a ajutajului este mult mai mare decât diametrul colului ajutajului. De asemenea, se notează cu p_e și $v_e = 0$, parametrii gazului la ieșire, iar cu $A_1 = A_{cr}$ secțiunea colului ajutajului (secțiunea minimă). Toți parametrii din această secțiune se notează cu indicele 1 (fig. 5.4). Fiind vorba de un ajutaj convergent, $dA < 0$.

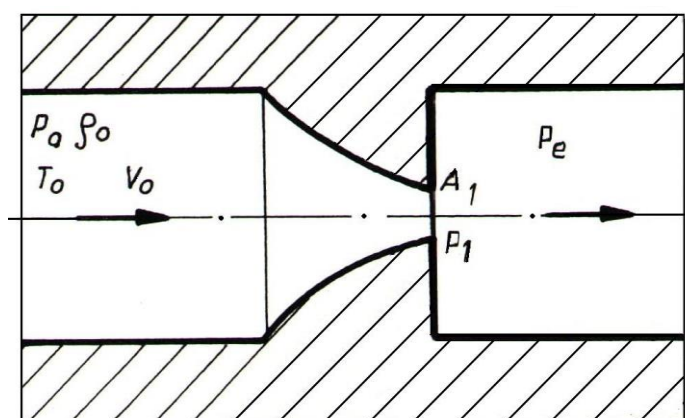


Fig. 5.4. Schema ajutajului convergent.

a) Dacă se consideră presiunea p_0 fixă și se micșorează p_e plecând de la p_0 , curgerea amestecului binar sintetic sau oxigenului fiind subsonică și $dA < 0$, rezultă că $dv > 0$, iar debitul masic injectat q_m variază conform relației lui Barré de Saint-Venant scrisă, pentru debit, sub forma:

$$q_m = A_1 \rho_0 \left(\frac{p_e}{p_0} \right)^{\frac{1}{k}} \sqrt{\frac{2k}{k-1} \frac{p_0}{\rho_0} \left[1 - \left(\frac{p_e}{p_0} \right)^{\frac{k-1}{k}} \right]}. \quad (5-31)$$

Această relație este valabilă deoarece, pentru un raport $p_e / p_0 > p_{cr} / p_0$, presiunea p_1 este totdeauna egală cu p_e . Rezultă că, pentru acest domeniu, debitul

masic scade pe măsură ce raportul p_e / p_0 scade (fig. 5.5). Presiunea p_1 din secțiunea minimă A_1 este egală cu presiunea din aval datorită formării unui jet cilindric la ieșirea din ajutoraj.

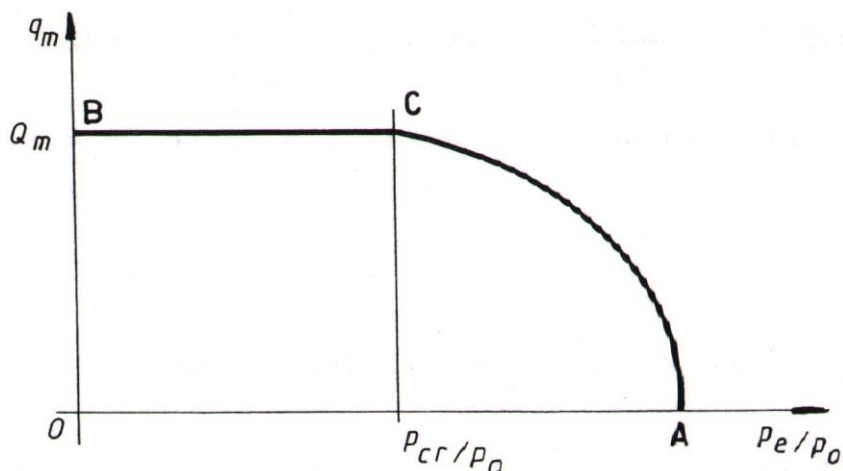


Fig. 5.5. Variația debitului masic q_m în funcție de raportul p_e / p_0 , pentru ajutoraj convergent.

b) Atunci când presiunea din aval p_e devine egală cu presiunea critică, p_{cr} , adică atunci când:

$$\frac{p_e}{p_0} = \frac{p_{cr}}{p_0} = \left(\frac{2}{k+1} \right)^{\frac{k}{k-1}}, \quad (5-32)$$

în secțiunea minimă A_1 a ajutorajului se obține viteza sunetului, v_{cr} și corespunzător rezultă parametrii critici p_{cr} , ρ_{cr} și T_{cr} , iar debitul masic de amestec gazos prin ajutoraj atinge valoarea maximă Q_m dată de expresia 5-30. Înlocuind în această relație expresia vitezei v_{cr} (5-28) se obține:

$$Q_m = \rho_{cr} A_1 \sqrt{k R T_{cr}}, \quad (5-33)$$

dar, conform relațiilor 5-29:

$$\rho_{cr} = \rho_0 \left(\frac{2}{k+1} \right)^{\frac{k}{k-1}} \quad \text{și} \quad T_{cr} = T_0 \frac{2}{k+1},$$

rezultă:

$$Q_m = \rho_0 A_1 \left(\frac{2}{k+1} \right)^{\frac{1}{k-1}} \sqrt{\frac{2k}{(k+1)} R T_0}. \quad (5-34)$$

c) Când presiunea din aval p_e descrește în continuare, astfel încât $p_e < p_{cr}$, adică atunci când

$$\frac{p_e}{p_0} < \frac{p_{cr}}{p_0} = \left(\frac{2}{k+1} \right)^{\frac{k}{k-1}}, \quad (5-35)$$

în secțiunea A_1 presiunea rămâne constantă și egală cu presiunea critică ($p_1 = p_{cr}$), presiunea p_1 ne mai fiind egală cu presiunea din aval p_e ($p_1 > p_e$). Apare, deci, o discontinuitate de presiune după secțiunea minimă A_1 care nu mai creează condițiile formării unui jet cilindric ci a unei descărcări (unde de șoc) însoțite de un sistem complex de unde de compresie și de rarefiere.

Debitul masic rămâne invariabil pentru întregul domeniu și egal cu debitul maxim exprimat prin relația 5-34, (fig. 5.5).

Dacă în lungul ajutorului convergent are loc o detentă izentropică, după secțiunea A_1 când presiunea devine $p_1 < p_{cr}$ apare o detentă puternică de la p_{cr} la p_1 după un proces ireversibil, deci neizentropic. Pentru ajutorul convergent, ținând cont că $p_0 / \rho_0 = RT_0$, expresia debitului masic injectat 5-31 de către ajutorul lucrând în domeniul subsonic ($p_{cr} / p_0 < p_e / p_0 < 1$) devine

$$q_m = A_1 \rho_0 \sqrt{\frac{2k}{k-1} \frac{1}{RT_0} \left[\left(\frac{p_e}{p_0} \right)^{\frac{2}{k}} - \left(\frac{p_e}{p_0} \right)^{\frac{k+1}{k}} \right]}. \quad (5-36)$$

Atunci când ajutorul convergent lucrează în regim critic ($p_{at} / p_0 < p_e / p_0 < p_{cr} / p_0$), expresia debitului masic injectat 5-34 devine (se ține cont că $p_0 / \rho_0 = RT_0$):

$$Q_m = A_1 \left(\frac{2}{k+1} \right)^{\frac{1}{k-1}} \sqrt{\frac{2k}{k+1}} \frac{p_0}{\sqrt{RT_0}}. \quad (5-37)$$

Toate ajutoarele aferente aparatelor de respirat sub apă studiate sunt ajutoare convergente și deci relațiile de bază pentru calculul acestora sunt 5-36 și 5-37.

5.2. DESCRIEREA MATEMATICĂ A CURGERII FLUIDELOR COMPRESIBILE ÎN BLOCURILE SPECIFICE APARATELOR DE RESPIRAT SUB APĂ SPECIALE

În cele ce urmează, sunt prezentate modele matematice care descriu procesele la care sunt supuse gazele în circuitele aparatelor de respirat sub apă speciale. Se pune accentul pe fenomenele gazodinamice din sacul respirator și din ajutoarele aferente acestor aparate.

5.2.1. RELAȚIILE DE CALCUL AFERENTE SACULUI RESPIRATOR

Sacul respirator este un rezervor deformabil care joacă rolul de "plămân", conținând un amestec respirator sau oxigen, la o presiune egală cu presiunea

hidrostatică corespunzătoare adâncimii la care se află scafandru. Sistemele de alimentare ale sacului respirator trebuie să realizeze introducerea permanentă a unui debit masic constant de gaz, care să asigure acoperirea consumului de oxigen maximal al scafandru.

Spre exemplu, în cazul aparatelor de respirat sub apă cu injecție masică de amestec gazos, debitul de amestec injectat în sac Q_{ai} , trebuie să conducă la înlocuirea oxigenului consumat $Q_{O_2,c}$ în cadrul proceselor metabolice. Surplusul de amestec respirator din sac este eliminat în mediul ambiant prin supapa de evacuare.

Cum consumul de oxigen al scafandru este în funcție de efortul depus de acesta sub apă, rezultă că și valoarea debitului de amestec gazos injectat în sacul respirator va fi funcție de compoziția amestecului și de activitatea depusă sub apă de scafandru, astfel încât masa de oxigen injectată prin intermediul amestecului să fie cel puțin egală cu masa de oxigen consumată. În sacul respirator se va obține un amestec cu caracteristici mai mult sau mai puțin apropiate de cele ale amestecului injectat. Se urmărește ca presiunea parțială a oxigenului din sac $p_{O_2,s}$ să nu scadă sub valoarea limită inferioară de 170 mbar (sc. abs.) pentru evitarea pericolului de hipoxie și să nu crească peste valoarea limită superioară de 210 mbar (sc. abs.) pentru evitarea pericolului de hiperoxie.

Schema de calcul a sacului respirator este prezentată în figura 5.6. În continuare, se prezintă relațiile de calcul, pornind de la ecuațiile de continuitate scrise cu debite volumice la starea normală (fig. 5.6):

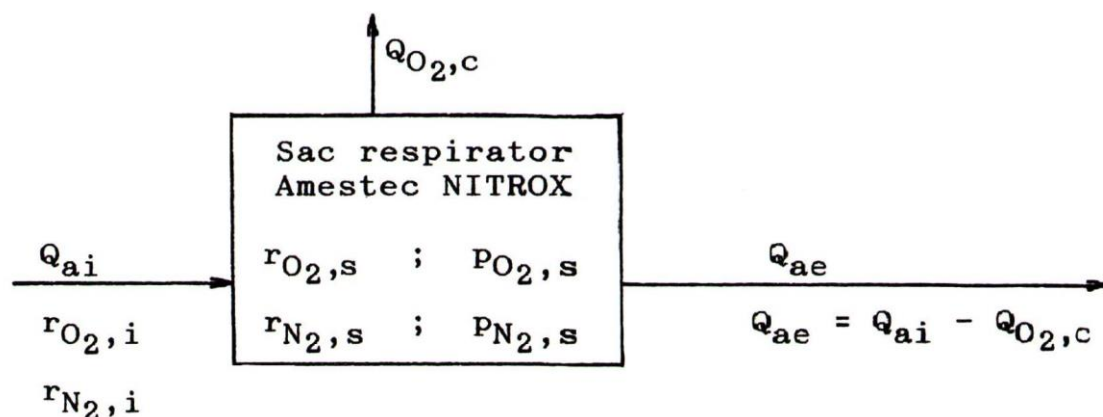


Fig. 5.6. Schema de calcul a sacului respirator.

$$\begin{cases} Q_{ae} = Q_{ai} - Q_{O_2,c} \\ Q_{O_2,e} = Q_{O_2,i} - Q_{O_2,c} \end{cases}, \quad (5-38)$$

care, prin înmulțire cu timpul t , devin:

$$\begin{cases} V_{ae} = t(Q_{ai} - Q_{O_2,c}) \\ V_{O_2,e} = t(Q_{O_2,i} - Q_{O_2,c}) \end{cases}, \quad (5-39)$$

unde $Q_{O_2,e}$ este debitul de oxigen evacuat din sac [Nl/s], Q_{ae} debitul de amestec evacuat din sac [Nl/s], V_{ae} volumul amestecului evacuat din sac [Nl], $V_{O_2,e}$ volumul de oxigen evacuat prin V_{ae} [Nl], iar t timpul considerat [s]. Ținând cont de relațiile 5-39 se poate determina participația volumică a oxigenului din sac:

$$r_{O_2,s} = \frac{V_{O_2,e}}{V_{ae}} = \frac{Q_{O_2,i} - Q_{O_2,c}}{Q_{ai} - Q_{O_2,c}}. \quad (5-40)$$

Participația volumică a azotului din amestecul aflat în sacul respirator va fi:

$$r_{N_2,s} = 1 - r_{O_2,s}, \quad (5-41)$$

unde $r_{O_2,s}$ este presiunea parțială a oxigenului din amestecul aflat în sac.

Presiunea parțială a oxigenului din sac, la adâncimea de lucru a scafandrului h [m], căreia îi corespunde o presiune în sacul respirator p_s , va fi:

$$p_{O_2,s} = r_{O_2,s} p_s = \frac{Q_{O_2,i} - Q_{O_2,c}}{Q_{ai} - Q_{O_2,c}} p_s, \quad (5-42)$$

unde presiunea din sacul respirator exprimată în bar (sc. abs.) este :

$$p_s = \frac{h+10}{10}.$$

Pentru determinarea debitului de amestec injectat Q_{ai} și a participației volumice a oxigenului injectat $r_{O_2,i}$, se pun condițiile la limită:

– la suprafață ($h=0$), se consideră consumul de oxigen maximal ($Q_{O_2,c}^{\max} = 3 \text{ Nl/min}$), în sacul respirator rezultând presiunea parțială a oxigenului cea mai mică posibilă $p_{O_2,s}^{\min}$:

– la adâncimea maximă ($h=h_{\max}$), se consideră consumul minim de oxigen ($Q_{O_2,c}^{\min} = 0,25 \text{ Nl/min}$), în sacul respirator rezultând presiunea parțială a oxigenului cea mai mare posibilă $p_{O_2,s}^{\max}$.

Rezultă un sistem de două ecuații cu două necunoscute, Q_{ai} și $r_{O_2,i}$:

$$\begin{cases} p_{O_2,s}^{\min} = \frac{r_{O_2,i} Q_{ai} - 3}{Q_{ai} - 3} \\ p_{O_2,s}^{\max} = \frac{r_{O_2,i} Q_{ai} - 0,25}{Q_{ai} - 0,25} \frac{h_{\max} + 10}{10}. \end{cases} \quad (5-43)$$

Calculul gazodinamic al aparatelor speciale de respirat sub apă

Din rezolvarea sistemului rezultă expresiile debitului de amestec injectat Q_{ai} și participăției volumice a oxigenului din amestecul injectat $r_{O_2,i}$:

$$Q_{ai} = \frac{3 p_{O_2,s}^{\min} \frac{h_{\max} + 10}{10} - 0,25 p_{O_2,s}^{\max} - 2,75 \frac{h_{\max} + 10}{10}}{p_{O_2,s}^{\min} \frac{h_{\max} + 10}{10} - p_{O_2,s}^{\max}},$$

$$r_{O_2,i} = p_{O_2,s}^{\min} - \frac{\left(3 p_{O_2,s}^{\min} - 3\right) \left(p_{O_2,s}^{\min} \frac{h_{\max} + 10}{10} - p_{O_2,s}^{\max}\right)}{3 p_{O_2,s}^{\min} \frac{h_{\max} + 10}{10} - 0,25 p_{O_2,s}^{\max} - 2,75 \frac{h_{\max} + 10}{10}}, \quad (5-44)$$

unde unitățile de măsură ale mărimilor din expresiilor de mai sus sunt: Q_{ai} [Nl/min], $p_{O_2,s}^{\max}$ și $p_{O_2,s}^{\min}$ [bar (sc. abs.)], h_{\max} [m].

Cunoscând participațiile volumice ale oxigenului și azotului din amestecul injectat ($r_{O_2,i}$ și $r_{N_2,i}$) și masele molare ale oxigenului \mathcal{M}_{O_2} [kg/kmol] și azotului \mathcal{M}_{N_2} [kg/kmol] se poate calcula masa molară a amestecului injectat, \mathcal{M}_{ai} :

$$\mathcal{M}_{ai} = r_{O_2,i} \mathcal{M}_{O_2} + r_{N_2,i} \mathcal{M}_{N_2}. \quad (5-45)$$

Participațiilor masice ale oxigenului $m_{O_2,i}$ și azotului $m_{N_2,i}$ vor fi:

$$m_{O_2,i} = r_{O_2,i} \frac{\mathcal{M}_{O_2}}{\mathcal{M}_{N_2}}, \quad (5-46)$$

$$m_{N_2,i} = 1 - m_{O_2,i} \quad (5-47)$$

Căldurile specifice ale amestecului injectat la presiune constantă $c_{p,a}^i$ [J/(kg·K)] și la volum constant $c_{v,a}^i$ [J/(kg·K)] se calculează cu relațiile:

$$c_{p,a}^i = m_{O_2,i} c_{p,O_2} + m_{N_2,i} c_{p,N_2}, \quad (5-48)$$

$$c_{v,a}^i = m_{O_2,i} c_{v,O_2} + m_{N_2,i} c_{v,N_2}. \quad (5-49)$$

Se mai pot calcula:

– constanta specifică a amestecului injectat R_{ai} [J/(kg·K)] cu expresia

$$R_{ai} = \frac{\mathcal{R}}{\mathcal{M}_{ai}}, \quad (5-50)$$

unde: $\mathcal{R} = 8314,3$ J (kmol·K), este constanta universală a gazelor;

– exponentul adiabatic (izentropic) pentru amestecul injectat k_{ai} cu expresia:

$$k_{ai} = \frac{c_{p,a}^i}{c_{v,a}^i}. \quad (5-51)$$

5.2.2. RELAȚIILE DE CALCUL PENTRU AJUTAJELE DE INECȚIE ȘI DE SPĂLARE

Ajutajele de inecție și de spălare asigură inecția la debit masic constant a gazului sau amestecului de gaze stocat într-o butelie de înaltă presiune. Ajutajele funcționează în regim sonic (critic) la debit masic constant (independent de adâncimea scufundării). Relația de bază pentru calcul este relația 5-37. Ținând cont de elementele specifice ale acestor ajutaje, relațiile de calcul sunt prezentate în continuare.

a) *Relațiile pentru calculul debitului de amestec inecțat în regim de blocaj:*

– debitul masic de amestec respirator sau de gaz pur inecțat Q_{mi} [kg/s], are următoarea expresie:

$$Q_{mi} = A_1 \left(\frac{2}{k_i + 1} \right)^{\frac{1}{k_i - 1}} \sqrt{\frac{2k_i}{k_i + 1}} \frac{p_0 \cdot 10^5}{\sqrt{R_i T_0}}; \quad (5-52)$$

– debitul volumic de amestec sau gaz pur, Q_i [Nl/min] are expresia:

$$Q_i = \frac{Q_{mi} R_i}{0,005685}. \quad (5-53)$$

b) *Relațiile pentru calculul ariei A_1 și a diametrului d_1 ale secțiunii minime a ajutajului de inecție:*

– aria secțiunii minime, A_1 [m²]:

$$A_1 = \frac{Q_{mi} \sqrt{R_i}}{\left(\frac{2}{k_i + 1} \right)^{\frac{1}{k_i - 1}} \sqrt{\frac{2k_i}{k_i + 1}}} \frac{\sqrt{T_0}}{p_0 \cdot 10^5}; \quad (5-54)$$

– diametrul secțiunii minime a ajutajului, d_1 [mm] este:

$$d_1 = 1128,379 \sqrt{A_1}.$$

În locul indicelui mi se va scrie indicele ma,i pentru amestec gazos NITROX și indicele mO_2,i pentru oxigen, iar în locul indicelui i se va scrie indicele a,i pentru NITROX și O_2,i pentru oxigen. Pentru ajutajele de spălare se pune problema și a timpului de funcționare, care este egal cu timpul de compensare cu amestec gazos (NITROX asu oxigen). Relațiile de calcul sunt prezentate în cele ce urmează.

5.2.3. RELAȚIILE DE CALCUL PENTRU AJUTAJELE DE COMPENSARE

Deducerea relațiilor de calcul pentru ajutajele de compensare se va realiza prin scrierea ecuațiilor specifice de mecanica fluidelor compresibile pentru ansamblurile funcționale pe care le realizează aceste ajutaje împreună cu mecanismele de spălare (fig. 5.1).

Ajutajele de compensare au rolul de a asigura o limitare a timpului de alimentare cu gaz (amestec NITROX sau oxigen) a ajutajelor de spălare a sacului respirator. Acest lucru se realizează printr-o alimentare controlată cu gaz a

compartimentului superior (de deasupra membranei elastice) a mecanismului de spălare, ceea ce conduce, după un anumit timp, prin creșterea presiunii din acest compartiment, la închiderea alimentării cu gaz a ajutorajului de spălare.

În compartimentul superior al mecanismului de spălare, înainte de începerea compensării, există o presiune inițială notată cu $p_{e,in}$, practic egală cu presiunea din aval de ajutorajul de compensare. Din timpul total de compensare t_c , în primul interval de timp t' , ajutorajul de compensare funcționează în regim critic injectând către compartimentul superior al mecanismului de spălare un debit masic de gaz constant Q_m , independent de variația presiunii din compartimentul superior p_e , iar în cel de-al doilea interval de timp t'' , ajutorajul de compensare funcționează în regim subsonic injectând către compartimentul superior un debit masic de gaz q_m , care scade pe măsură ce crește presiunea p_e .

Pentru starea intermediară a gazului din compartimentul superior se poate scrie, la un moment dat:

$$p_e V_c = M R_1 T_c \quad \text{sau} \quad M = \frac{p_e V_c}{R_1 T_c}, \quad (5-55)$$

unde M este masa gazului din compartimentul superior, V_c volumul compartimentului superior, T_c temperatura absolută a gazului din compartimentul superior, iar R_1 constanta gazului din compartimentul superior.

Masa M crește în timpul funcționării ajutorajului de compensare, volumul V_c este practic constant, temperatura T_c poate fi admisă practic constantă, iar constanta R_1 se modifică datorită schimbării amestecului de gaz din compartimentul superior.

Dacă, în raport cu acest moment, se consideră un interval elementar de timp, dt , din timpul de funcționare a ajutorajului de compensare, în compartimentul superior are loc o creștere a masei de gaz, dM , masa atingând valoarea $M + dM$, ceea ce conduce la o creștere a presiunii în compartiment cu dp , presiunea ajungând la valoarea $p_e + dp_e$. Se poate scrie pentru cea de-a doua stare intermediară a gazului în compartimentul superior:

$$(p_e + dp_e) V_c = (M + dM) R_1 T_c. \quad (5-56)$$

Pentru simplificare, lucrând cu o valoare acoperitoare a constantei gazului, din punct de vedere al calculului, se admite că R_1 rămâne constant.

Din relațiile 5-55 și 5-56 rezultă:

$$dM = \frac{V_c}{R_1 T_c} dp_e. \quad (5-57)$$

Pentru primul interval de timp în care are loc o compensare cu debit masic constant Q_m (regim critic cu debit masic blocat), se poate scrie:

$$Q_m dt = dM \quad ; \quad dt = \frac{dM}{Q_m} \quad ; \quad dt = \frac{1}{Q_m} \frac{V_c}{R_1 T_c} dp_e.$$

Prin integrarea între limitele de presiune $p_{e,in}$ și $p_{cr,c}$ (presiunea critică corespunzătoare colului ajutorului de compensare), se obține timpul t' de compensare pentru funcționarea ajutorului în regim sonic (fig. 5.5):

$$t' = \frac{1}{Q_m} \frac{V_c}{R_1 T_c} \int_{p_{e,in}}^{p_{cr,c}} dp_e \quad ; \quad t' = \frac{1}{Q_m} \frac{V_c}{R_1 T_c} (p_{cr,c} - p_{e,in}),$$

de unde, ținând cont de relația 5-37 unde $\sqrt{\frac{2k}{k+1}} = \sqrt{\frac{2k}{k-1}} \sqrt{\frac{k-1}{k+1}}$, rezultă relația:

$$t' = \frac{V_c}{R_1 T_c} \frac{1}{A_1 \sqrt{\frac{2k}{k-1} \frac{1}{R_1 T_0}}} \frac{1}{\left(\frac{2k}{k+1}\right)^{\frac{1}{k-1}} \sqrt{\frac{k-1}{k+1}}} \left(\frac{p_{cr,c}}{p_0} - \frac{p_{e,in}}{p_0} \right), \quad (5-58)$$

unde A_1 este aria secțiunii minime a ajutorului de compensare, k coeficientul adiabatic (izentropic) pentru gazul cu care este alimentat ajutorul, R_1 constanta specifică a gazului, p_0 presiunea gazului în amonte de ajutor, iar T_0 temperatura absolută a gazului în amonte de ajutor.

Pentru cel de-al doilea interval de timp, în care are loc o compensare cu debit masic variabil q_m , care scade pe măsură ce crește presiunea p_e (regim subsonic), se poate scrie:

$$q_m dt = dM \quad ; \quad dt = \frac{dM}{q_m} \quad ; \quad dt = \frac{1}{q_m} \frac{V_c}{R_1 T_c} dp_e$$

și ținând cont de relația 5-36:

$$dt = \frac{V_c}{R_1 T_c} \frac{1}{A_1 p_0 \sqrt{\frac{2k}{k-1} \frac{1}{R_2 T_0}}} \frac{dp_e}{\sqrt{\left(\frac{p_e}{p_0}\right)^{\frac{2}{k}} - \left(\frac{p_e}{p_0}\right)^{\frac{k+1}{k}}}},$$

unde R_2 este constanta specifică gazului în cea de-a două etapă a compensării (se poate aproxima $R_1 = R_2$).

Prin integrare între limitele de presiune $p_{cr,c}$ și $p_{e,f}$ (presiunea finală din compartimentul superior) se obține timpul t'' de compensare pentru funcționarea ajutorului în regim subsonic:

$$t'' = \frac{V_c}{R_1 T_c} \frac{1}{A_1 \sqrt{\frac{2k}{k-1} \frac{1}{R_2 T_0}}} \int_{\frac{p_{cr,c}}{p_0}}^{\frac{p_{e,f}}{p_0}} \frac{d\left(\frac{p_e}{p_0}\right)}{\sqrt{\left(\frac{p_e}{p_0}\right)^{\frac{2}{k}} - \left(\frac{p_e}{p_0}\right)^{\frac{k+1}{k}}}}. \quad (5-59)$$

Timpul de compensare t_c , care este egal cu timpul de spălare a sacului respirator t_{sp} , se obține adunând t' cu t'' și deci:

$$t_c = t' + t''$$

și dacă se notează:

$$S = \frac{V_c}{R_1 T_c} \frac{1}{A_1 \sqrt{\frac{2k}{k-1} \frac{1}{R_2 T_0}}},$$

$$G = \frac{1}{\left(\frac{2}{k+1}\right)^{\frac{1}{k-1}} \sqrt{\frac{k-1}{k+1}}} \left(\frac{p_{cr,c}}{p_0} - \frac{p_{e,in}}{p_0} \right),$$

$$F = \int_{\frac{p_{cr,c}}{p_0}}^{\frac{p_{e,f}}{p_0}} \frac{d\left(\frac{p_e}{p_0}\right)}{\sqrt{\left(\frac{p_e}{p_0}\right)^{\frac{2}{k}} - \left(\frac{p_e}{p_0}\right)^{\frac{k+1}{k}}}}$$

atunci

$$t_c = S(G + F) \quad (5-60)$$

Din relația 5-60, ținând cont de expresiile lui S, G și F, pentru un anumit timp de compensare se poate exprima aria secțiunii minime a ajutorului de compensare:

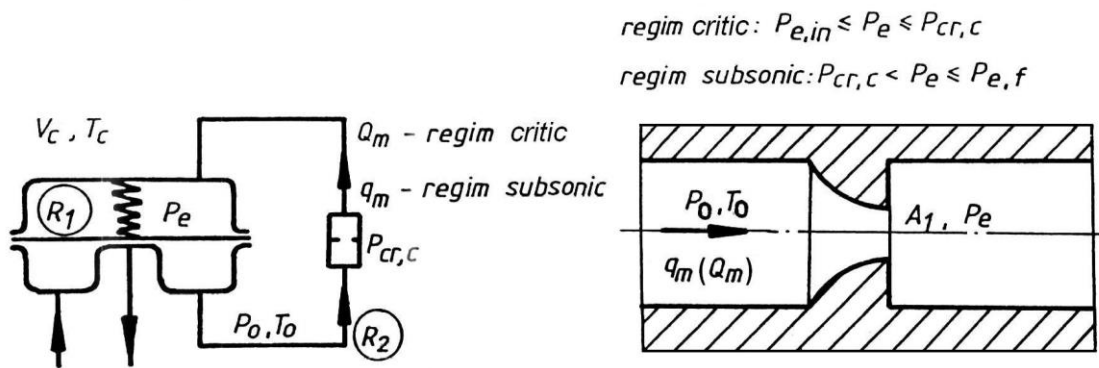
$$A_1 = \frac{V_c}{R_1 T_c} \frac{1}{t_c \sqrt{\frac{2k}{k-1} \frac{1}{R_2 T_0}}} (G + F),$$

de unde rezultă expresia diametrului secțiunii minime a ajutorului de compensare:

$$d_1 = 2 \sqrt{\frac{A_1}{\pi}}$$

Toate relațiile de mai sus sunt valabile pentru mărimile fizice exprimate în orice sistem coerent de unități de măsură.

În figurile 5.7, 5.8 și 5.9 sunt prezentate relațiile de calcul generale pentru ajutorul de compensare și respectiv relațiile particularizate pentru amestec NITROX și oxigen.



1. Timpul de compensare în regim critic (cu debit masic Q_m constant):

$$t' = \frac{V_c}{R_1 T_c} \cdot \frac{1}{A_1 \sqrt{\frac{2k}{k-1} \cdot \frac{1}{R_2 T_0}}} \cdot \frac{1}{\left(\frac{2}{k+1}\right)^{\frac{1}{k-1}} \sqrt{\frac{k-1}{k+1}}} \cdot \left(\frac{P_{cr,c}}{P_0} - \frac{P_{e,in}}{P_0} \right)$$

2. Timpul de compensare în regim subsonic (cu debit masic q_m variabil):

$$t'' = \frac{V_c}{R_1 T_c} \cdot \frac{1}{A_1 \sqrt{\frac{2k}{k-1} \cdot \frac{1}{R_2 T_0}}} \cdot \int_{\frac{P_{cr,c}}{P_0}}^{\frac{P_{e,f}}{P_0}} \frac{d\left(\frac{P_e}{P_0}\right)}{\sqrt{\left(\frac{P_e}{P_0}\right)^{\frac{2}{k}} - \left(\frac{P_e}{P_0}\right)^{\frac{k+1}{k}}}}$$

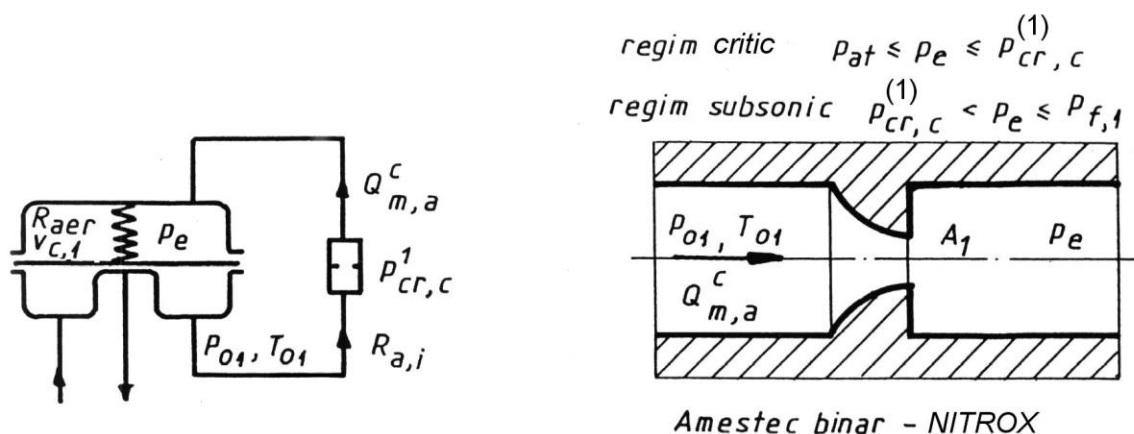
3. Timpul total de compensare: $t_c = t' + t''$

$$t_c = \underbrace{\frac{V_c}{R_1 T_c} \cdot \frac{1}{A_1 \sqrt{\frac{2k}{k-1} \cdot \frac{1}{R_2 T_0}}}}_S \left[\underbrace{\frac{1}{\left(\frac{2}{k+1}\right)^{\frac{1}{k-1}} \sqrt{\frac{k-1}{k+1}}} \cdot \left(\frac{P_{cr,c}}{P_0} - \frac{P_{e,in}}{P_0} \right)}_G + \right. \\ \left. + \underbrace{\int_{\frac{P_{cr,c}}{P_0}}^{\frac{P_{e,f}}{P_0}} \frac{d\left(\frac{P_e}{P_0}\right)}{\sqrt{\left(\frac{P_e}{P_0}\right)^{\frac{2}{k}} - \left(\frac{P_e}{P_0}\right)^{\frac{k+1}{k}}}}_F \right] ; t_c = S [G + F]$$

4. Aria secțiunii minime a ajutorului de compensare:

$$A_1 = \underbrace{\frac{V_c}{R_1 T_c} \cdot \frac{1}{t_c \sqrt{\frac{2k}{k-1} \cdot \frac{1}{R_2 T_0}}}}_E (G + F) ; A_1 = E (G + F)$$

Fig. 5.7. Relațiile generale pentru calculul ajutorului de compensare.



1. Calculul secțiunii minime a ajutorului de compensare pentru amestec binar - NITROX, A_1 și d_1

$$E_1 = \frac{v_{c,1} \cdot 10^{-6}}{R_{aer} \cdot T_{c,1} \cdot t_{c,1} \sqrt{\frac{2 k_{a,i}}{k_{a,i} - 1} \cdot \frac{1}{R_{a,i} \cdot T_{01}}}}$$

$$G_1 = \frac{1}{\left(\frac{2}{k_{a,i} + 1}\right)^{\frac{1}{k_{a,i} - 1}} \sqrt{\frac{k_{a,i} - 1}{k_{a,i} + 1}}} \cdot \left(\frac{p_{cr,c}^{(1)}}{p_{01}} - \frac{p_{at}}{p_{01}}\right)$$

$$x_1 = \frac{p_e}{p_{01}}, \quad z_{11} = \frac{p_{cr,c}^{(1)}}{p_{01}}, \quad z_{21} = \frac{p_{f,1}}{p_{01}}, \quad B_{11} = \frac{2}{k_{a,i}}, \quad B_{21} = \frac{k_{a,i} + 1}{k_{a,i}}$$

$$F_1 = \int_{z_{11}}^{z_{21}} \frac{1}{\sqrt{x_1^{B_{11}} - x_1^{B_{21}}}} d(x_1)$$

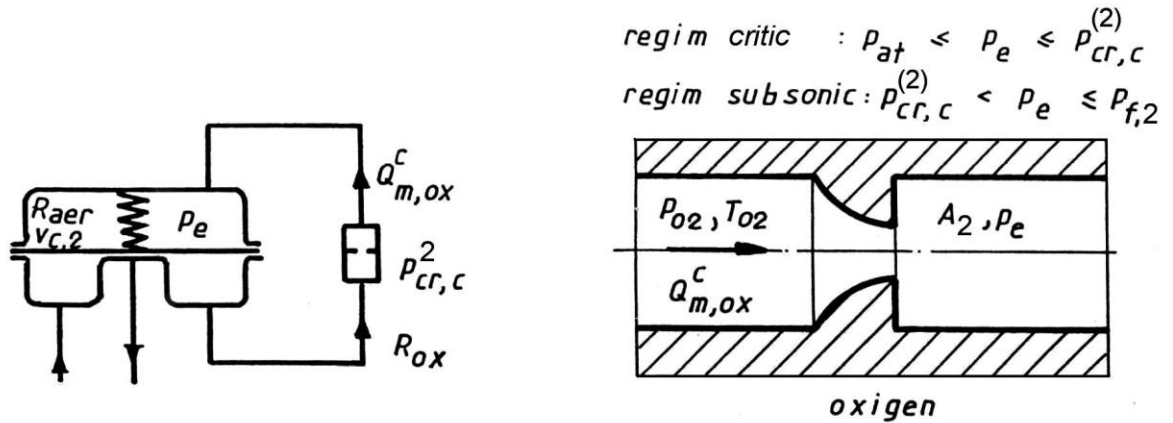
$$A_1 = E_1 (G_1 + F_1) \quad d_1 = 1128,379 \sqrt{A_1}$$

2. Calculul timpului de compensare pentru amestec

$$S_1 = \frac{v_{c,1} \cdot 10^{-6}}{R_{aer} \cdot T_{c,1} \cdot A_1 \sqrt{\frac{2 k_{a,i}}{k_{a,i} - 1} \cdot \frac{1}{R_{a,i} \cdot T_{01}}}}$$

$$t_{c,1} = S_1 (G_1 + F_1)$$

Fig. 5.8. Relațiile generale aferente ajutorului de compensare pentru amestec respirator NITROX.



1. Calculul secțiunii minime a ajutorului de compensare pentru oxigen , A_2 și d_2

$$E_2 = \frac{v_{c,2} \cdot 10^{-6}}{R_{aer} \cdot T_{c,2} \cdot t_{c,2} \sqrt{\frac{2 k_{ox}}{k_{ox} - 1} \frac{1}{R_{ox} T_{02}}}}$$

$$G_2 = \frac{1}{\left(\frac{2}{k_{ox}+1}\right)^{\frac{1}{k_{ox}+1}} \sqrt{\frac{k_{ox}-1}{k_{ox}+1}}} \cdot \left(\frac{p_{cr,c}^{(2)}}{p_{02}} - \frac{p_{at}}{p_{02}}\right)$$

$$x_2 = \frac{p_c}{p_{02}}, \quad z_{12} = \frac{p_{cr,c}^{(2)}}{p_{02}}, \quad z_{22} = \frac{p_{f,2}}{p_0}, \quad B_{12} = \frac{2}{k_{ox}}, \quad B_{22} = \frac{k_{ox}+1}{k_{ox}}$$

$$F_2 = \int_{z_{12}}^{z_{22}} \frac{1}{\sqrt{x_2^{B_{12}} - x_2^{B_{22}}}} d(x_2) \quad A_2 = E_2 (G_2 + F_2)$$

$$d_2 = 1128,379 \sqrt{A_2}$$

2. Calculul timpului de compensare pentru oxigen

$$S_2 = \frac{v_{c,2} \cdot 10^{-6}}{R_{aer} \cdot T_{c,2} \cdot A_2 \sqrt{\frac{2 k_{ox}}{k_{ox} - 1} \frac{1}{R_{ox} \cdot T_{02}}}}$$

$$t_{c,2} = S_2 (G_2 + F_2)$$

Fig. 5.9. Relațiile de calcul aferente ajutorului de compensare pentru oxigen.

5.2.4. CALCULUL TEORETIC AL AJUTAJELOR DE INECȚIE LA DEBIT MASIC CONSTANT

Ajutajele de inecție masică au rolul de a asigura introducerea în sacul respirator al aparatelor de respirat în apă cu circuit închis, semiînchis sau mixt a unui debit de amestec gazos sintetic sau de oxigen, prin intermediul căruia să se acopere oxigenul consumat de scafandru. Masa de oxigen injectată în sacul respirator trebuie să rămână constantă indiferent de adâncimea scufundării.

Amestecurile binare utilizate în scufundări autonome sunt amestecuri NITROX sau HELIOX. Concentrațiile oxigenului din aceste amestecuri sunt, de obicei: 32,5; 40; 50 și 60%, restul fiind gaz inert. Pentru aceste tipuri de amestecuri utilizate, adâncimile maxime de scufundare sunt determinate de atingerea limitei admise a presiunii parțiale a oxigenului ($p_{O_2} = 1,8$ bar (sc. abs.)).

Pentru diferite activități subacvatice, consumul de oxigen este diferit și deci, debitele de amestecuri gazoase injectate în sacul respirator, pentru acoperirea consumului de oxigen, trebuie să fie acoperitoare.

În urma injectării masice de amestec binar, a consumului de oxigen și a evacuării surplusului de amestec, în sacul respirator trebuie să rezulte, după un timp scurt, un amestec binar stabilizat, care să asigure consumul de oxigen al scafandrului. Astfel, amestecul din sacul respirator va avea o concentrație de oxigen ușor inferioară concentrației de oxigen din amestecul stocat în butelii și injectat, în mod continuu, în sacul respirator. Evident, cu cât debitul de amestec injectat este mai mare cu atât amestecul din sac este caracterizat printr-o concentrație de oxigen mai apropiată de cea a amestecului injectat și implicit mai stabil. Totuși, injectarea unor debite de amestecuri mai mari conduc la un consum mai rapid al amestecului respirator stocat și în consecință, la o micșorare a autonomiei. În aceste condiții, amestecul stocat în butelii va avea o concentrație de oxigen corespunzătoare unei presiuni parțiale mai mari (2 bar (sc. abs.)) la adâncimea maximă de utilizare.

Caracteristicile termofizice ale gazelor componente din amestecurile respiratorii utilizate în aparatele de respirat sub apă speciale, sunt prezentate în tabelul 5.1.

Tabelul 5.1

Caracteristicile termofizice ale gazelor din componența amestecurilor respiratorii

Caracteristici \ Gaze	Azot	Helium	Oxigen
Masa molară [kg/kmol]	28,013	4,002	31,999
Căldura specifică la presiune constantă c_p [J/(kg·K)]	1040	5234	919
Căldura specifică la volum constant c_v [J/(kg·K)]	743	3155	659
Constanta gazului $R = c_p - c_v$ [J/(kg·K)]	297	2079	260

Cu ajutorul caracteristicilor termofizice ale componentelor amestecurilor realizate cu acestea și utilizate în scufundări autonome, se pot determina caracteristicile amestecurilor. Se vor determina masele molare M_a ale amestecurilor

de gaze, participațiile masice ale componentelor m , căldurile specifice ale amestecurilor la presiune constantă c_p și la volum constant c_v , constanta amestecului R_a , precum și exponenții adiabatici (izentropici) k corespunzători acelorași amestecuri, utilizând următoarele expresii de calcul, specifice amestecurilor de gaze:

Tabelul 5.2

Caracteristicile termofizice ale amestecurilor NITROX

Mărimi caracteristice	Amestecuri NITROX	$r_{O_2} = 0,325$	$r_{O_2} = 0,40$	$r_{O_2} = 0,50$	$r_{O_2} = 0,60$
		$r_{N_2} = 0,675$	$r_{N_2} = 0,60$	$r_{N_2} = 0,50$	$r_{N_2} = 0,50$
a	[kg/kmol]	29,308	29,606	30,005	30,404
m_{N_2}	[-]	0,645	0,568	0,467	0,369
m_{O_2}	[-]	0,355	0,432	0,533	0,631
c_p	[J/(kg·K)]	997,045	987,728	975,507	963,649
c_v	[J/(kg·K)]	713,180	706,712	698,228	689,996
R_a	$c_p - c_v$ [J/(kg·K)]	283,865	281,016	277,279	273,653
	$\mathcal{R} / \mathcal{M}_a$ [J/(kg·K)]	283,687	280,831	277,097	273,460
k	[-]	1,398	1,398	1,397	1,396

Tabelul 5.3

Caracteristicile termofizice ale amestecurilor HELIOX

Mărimi caracteristice	Amestecuri HELIOX	$r_{O_2} = 0,325$	$r_{O_2} = 0,40$	$r_{O_2} = 0,50$	$r_{O_2} = 0,60$
		$r_{He} = 0,675$	$r_{He} = 0,60$	$r_{He} = 0,50$	$r_{He} = 0,40$
a	[kg/kmol]	13,101	15,200	18,000	20,799
m_{He}	[-]	0,206	0,158	0,111	0,077
m_{O_2}	[-]	0,794	0,842	0,889	0,923
c_p	[J/(kg·K)]	1807,890	1600,770	1397,965	1251,255
c_v	[J/(kg·K)]	1173,176	1053,368	936,056	851,192
R_a	$c_p - c_v$ [J/(kg·K)]	634,714	547,402	461,909	400,063
	$\mathcal{R} / \mathcal{M}_a$ [J/(kg·K)]	634,631	546,993	461,905	399,745
k	[-]	1,541	1,519	1,493	1,470

$$\mathcal{M}_a = \sum r_i \mathcal{M}_i \quad ; \quad m_i = r_i \frac{\mathcal{M}_i}{\mathcal{M}_a} ;$$

$$c_p = \sum m_i c_{pi} \quad ; \quad c_v = \sum m_i c_{vi} ;$$

$$R_a = \frac{\mathcal{R}}{\mathcal{M}_a} \quad \text{sau} \quad R_a = c_p - c_v \quad ; \quad k = \frac{c_p}{c_v} ,$$

unde indicele i se referă la una dintre componente, \mathcal{R} reprezintă constanta generală a gazelor, iar r reprezintă participația volumică a unui component. Efectuând calculele se obțin, pentru amestecurile standard utilizate, rezultatele prezentate în tabelele 5.2 și 5.3.

5.3. CONCEPȚIA ȘI CALCULUL APARATELOR DE RESPIRAT SUB APĂ SPECIALE

În continuare, se vor prezenta realizarea și calculul principalelor aparate de respirat sub apă și anume a aparatelor cu circuit închis, semiînchis și mixt insistându-se asupra concepției acestor aparate originale și asupra testelor experimentale efectuate asupra acestor echipamente.

5.3.1. CONCEPȚIA ȘI CALCULUL APARATELOR DE RESPIRAT SUB APĂ CU CIRCUIT ÎNCHIS CU OXIGEN, CU SPĂLARE AUTOMATĂ A SACULUI RESPIRATOR

Aparatele de respirat sub apă cu circuit închis cu oxigen sunt utilizate, prin excelență, în scopuri militare. Utilizarea oxigenului și implicit a acestor tipuri de aparate a apărut ca urmare a necesității intervențiilor subacvatice " silențioase " la obiective de interes militar, fără a fi detectate de la suprafață prin lipsa bulelor de gaz expirate, fără a necesita paliere de decompresie la revenirea la presiunea atmosferică și nu în ultimul rând, creșterii autonomiei scufundării. Acest subiect a fost abordat pentru perfecționarea aparatelor de respirat sub apă existente, datorită riscului destul de mare în manevrare, risc ce se datorează următoarelor motive:

- spălarea necorespunzătoare a sacului respirator înaintea scufundării, pentru eliminarea aerului (în special a azotului) remanent, ceea ce a dus, destul de des, la moartea scufandrilor prin anoxie;
- depășirea adâncimii maxime de utilizare (6, 5, ... , 7 m), ceea ce poate duce la accidente hiperoxice.

În ambele situații o vină o au utilizatorii care, fie se hazardează spre adâncimi mai mari decât cele admise, fie tratează cu superficialitate spălarea traectului plămâni – sac respirator.

5.3.1.1. Concepția aparatului de respirat sub apă cu circuit închis cu oxigen, cu spălarea automată a sacului respirator

Pentru a elimina factorul uman în pregătirea aparatului pentru scufundare, s-a introdus în sistemul de alimentare a sacului respirator din aparatul de respirat sub apă cu circuit închis, un dispozitiv automat de spălare.

Schema de principiu a acestui aparat conceput de specialiști din Centrul de Scafandri Constanța și din Departamentul de Hidraulică și Protecția Mediului din Universitatea Tehnică de Construcții București este prezentată în figura 5.10.

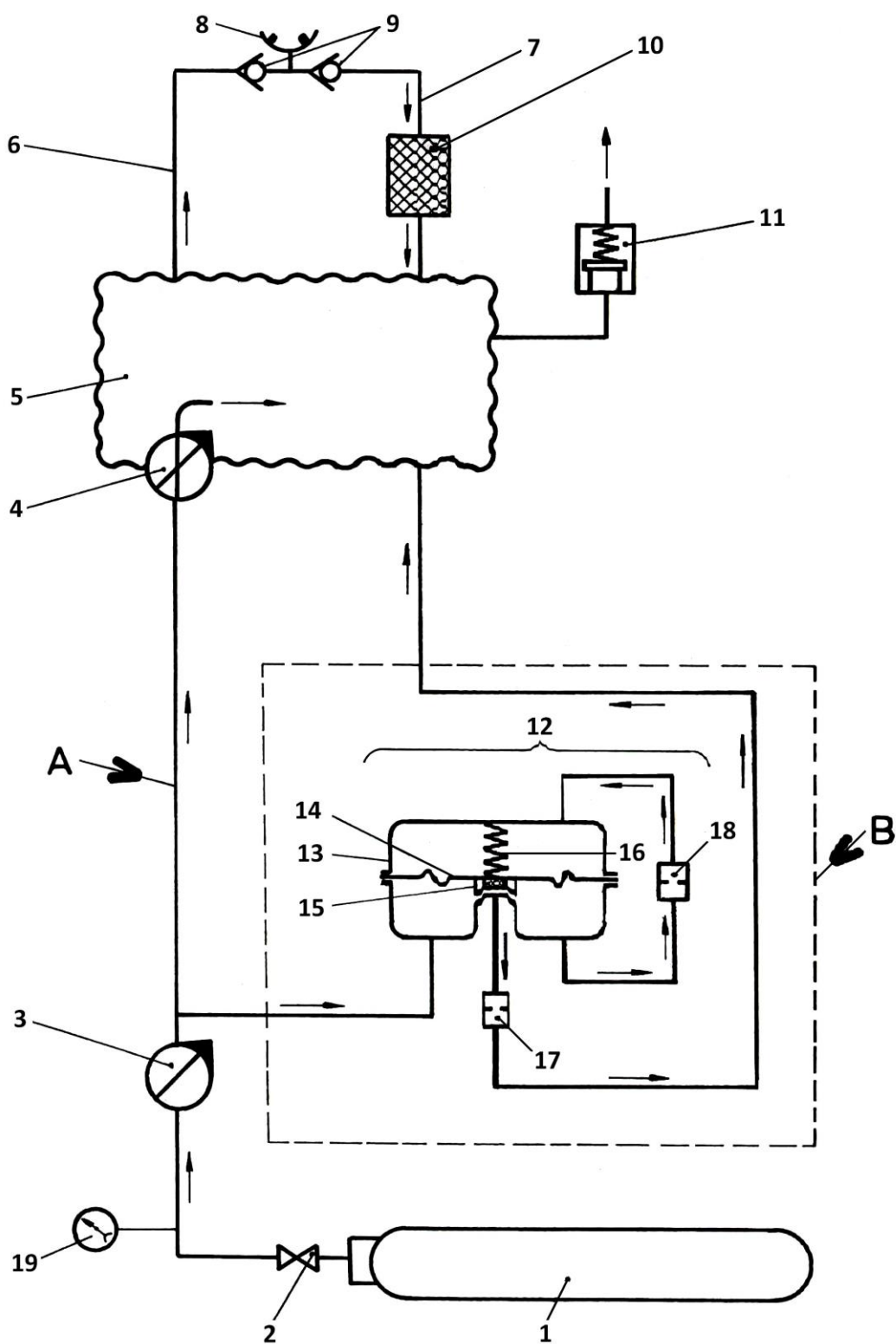


Fig. 5.10. Aparat de respirat sub apă cu circuit închis cu oxigen. (Explicația elementelor componente este prezentată în text).

Problema pe care o rezolvă aparatul este realizarea unui circuit de spălare inițială a sacului respirator, în mod automat, fără ca scafandrul să mai fie preocupat, în mod special, de această operațiune. Prin această spălare automată a sacului respirator se asigură, în interiorul acestuia, un amestec caracterizat printr-o concentrație inițială a oxigenului prestabilită, care nu va permite, în faza inițială a scufundării, scăderea concentrației de oxigen sub limita impusă de pericolul apariției hipoxiei.

Aparatul (fig. 5.10) este constituit dintr-o butelie pentru stocarea oxigenului 1, prevăzută cu un robinet de înaltă presiune 2 de admisie a oxigenului către un regulator de presiune treapta întâi pilotat 3, având ca referință presiunea hidrostatică corespunzătoare adâncimii de scufundare și care are rolul de a reduce presiunea de la nivelul presiunii înalte existente în butelia 1, la nivelul presiunii medii necesară alimentării a două circuite: un circuit de livrare a oxigenului A și un circuit de spălare automată B.

Aparatul de respirat sub apă cu oxigen este prevăzut cu un manometru etanș 19, care permite scafandrului să cunoască pe întreaga perioadă a scufundării presiunea din butelia de stocaj 1.

Circuitul de livrare a oxigenului A este prevăzut cu un regulator de presiune treapta a doua 4, încorporat într-un sac respirator 5. Acest regulator asigură livrarea, "la cerere", a oxigenului către sacul respirator, funcționarea lui fiind comandată de presiunea creată în sac de consumul de oxigen în procesul respirației. Regulatorul 4 asigură și reducerea presiunii oxigenului de la nivelul presiunii medii de după reductorul de presiune pilotat 3, la nivelul presiunii existente în sacul respirator, egală cu presiunea hidrostatică corespunzătoare adâncimii de scufundare.

Sacul respirator 5 are rolul de a prelua variațiile de volum și presiune rezultate prin respirație, de a aduce presiunea gazului din interior la nivelul presiunii hidrostatice corespunzătoare adâncimii de scufundare, precum și de a asigura stocarea gazului, la parametrii doriți, necesari respirației.

Inspirația și expirația din și respectiv către sacul respirator 5 se realizează prin intermediul unui circuit de respirație alcătuit dintr-un furtun pentru inspirație 6 și un furtun pentru expirație 7, racordate la o piesă bucală 8, prevăzută cu două supape unisens 9. Gazul expirat, care din punct de vedere teoretic este un amestec gazos de oxigen și dioxid de carbon, trece în prealabil printr-un cartuș filtrant 10, care asigură reținerea dioxidului de carbon din amestecul expirat. Sacul respirator este prevăzut cu o supapă de evacuare 11, care asigură evacuarea surplusului de gaz din sac către mediul acvatic ambiant. Acest surplus de gaz nu apare decât în momentul ridicării spre suprafață, când se destinde gazul din sacul respirator.

Circuitul de spălare automată B realizează spălarea controlată cu oxigen, a sacului respirator 5, înainte de scufundare, în interiorul căruia se află inițial aer, într-un timp predeterminat, astfel încât la finele spălării să se obțină în interiorul sacului respirator un amestec foarte bogat în oxigen, care să asigure evitarea pericolului de apariție a hipoxiei, în special în faza inițială a scufundării. Circuitul de spălare B este alimentat cu oxigen gazos, la medie presiune, prin intermediul regulatorului de presiune pilotat 3 și are în componență un mecanism de spălare 12 alcătuit dintr-o capsulă 13 cu pereți nedeformabili, împărțită prin intermediul unei membrane elastice 14 în două compartimente. Solidar cu membrana elastică se află clapeta 15, care are rolul de a deschide sau închide accesul oxigenului, la presiune medie, dinspre

regulatorul de presiune pilotat 3, prin compartimentul inferior către un ajutoraj convergent de spălare 17. Deasupra membranei elastice este prevăzut un arc elicoidal 16, astfel dimensionat și tarat încât să asigure o deformare controlată a acesteia.

Ajutorajul convergent de spălare lucrând în regim critic în secțiunea minimă, asigură injecția unui debit masic de oxigen pentru spălare, constant, către sacul respirator 5.

Mecanismul de spălare 12 mai este prevăzut și cu un ajutoraj convergent de compensare 18, care face legătura între compartimentele capsulei 13, asigurând apariția unui debit de gaz controlat din compartimentul inferior către cel superior până ce diferența de presiune se reduce la o valoare care să permită închiderea clapetei 15. Această compensare a presiunilor are loc într-un timp predeterminat, ajutorajul 18 având rolul de temporizare a deschiderii clapetei 15. Ajutorajul convergent de compensare 18 lucrează în primul interval al timpului de compensare în regim critic în secțiunea minimă, iar în al doilea interval de timp în regim subsonic în secțiunea minimă.

Timpul de spălare a sacului respirator, deci timpul de funcționare a ajutorajului convergent de spălare este impus de necesitatea obținerii, în interiorul sacului, a unui amestec bogat în oxigen. Injectarea la debit masic constant a oxigenului pentru spălarea sacului respirator se face prin funcționarea ajutorajului convergent de spălare într-un punct de lucru caracterizat printr-un raport între presiunile din aval și amonte de acesta, p_s / p_0 , mai mic decât valoarea critică a raportului $p_{cr,sp} / p_0$, pentru o valoare dată a lui p_0 . Acest punct de lucru este situat în domeniul în care funcționarea ajutorajului convergent de spălare are loc în regim critic în secțiunea minimă. Presiunea din aval de ajutorajul convergent de spălare se poate considera practic egală cu presiunea gazului din interiorul sacului respirator iar, datorită faptului că spălarea cu oxigen a sacului se efectuează înainte de pătrunderea scafandrului sub apă, presiunea p_s poate fi considerată ca fiind practic egală cu presiunea atmosferică. Valoarea debitului masic de oxigen, Q_{m,O_2} , injectat prin ajutorajul convergent de spălare, în regim permanent, pe întreaga perioadă de spălare, este dată de relația (5-52) specifică curgerii adiabactice reversibile (izentropice).

Ajutorajul convergent de compensare, lucrând în secțiunea sa minimă, pe primul interval al timpului de compensare în regim critic și în cel de-al doilea interval de timp în regim subsonic (subcritic), asigură injectarea unui debit masic de oxigen pentru compensare, controlat pe întregul timp de compensare, din compartimentul inferior al capsulei 13, unde se află oxigen la presiunea constantă p_0 , practic egală cu presiunea oxigenului de după regulatorul de presiune pilotat 3, către compartimentul superior al capsulei 13 în care se află gaz la o presiune p_e , care crește pe măsura creșterii masei de gaz din interior datorită injecției de oxigen. Timpul de compensare este egal cu timpul de spălare. Timpul de compensare se calculează folosind grupul de expresii prezentate în figura 5.9, care au la bază relațiile specifice curgerii adiabactice reversibile (izentropice) pentru ajutorajul convergent și ecuația de stare caracteristică gazelor perfecte pentru compartimentul superior al capsulei 13.

Prin realizarea aparatului de respirat sub apă cu circuit închis cu oxigen, de concepție originală prezentat mai sus, se obțin următoarele avantaje:

- asigurarea unei spălări automate și eficiente a sacului respirator înainte de efectuarea scufundării, eliminând orice risc de apariție a hipoxiei și eliminând, totodată, factorii subiectivi;
- securitatea crescută a scafandruului în timpul scufundării;
- punerea rapidă în condiții de lucru a aparatului în vederea efectuării scufundării.

În figura 5.11 este prezentată realizarea practică a dispozitivului de spălare, precum și schema lui de principiu. Notățiile reperelor coincid cu cele prezentate în schema de principiu a aparatului de respirat sub apă în circuit închis cu oxigen (fig. 5.10).

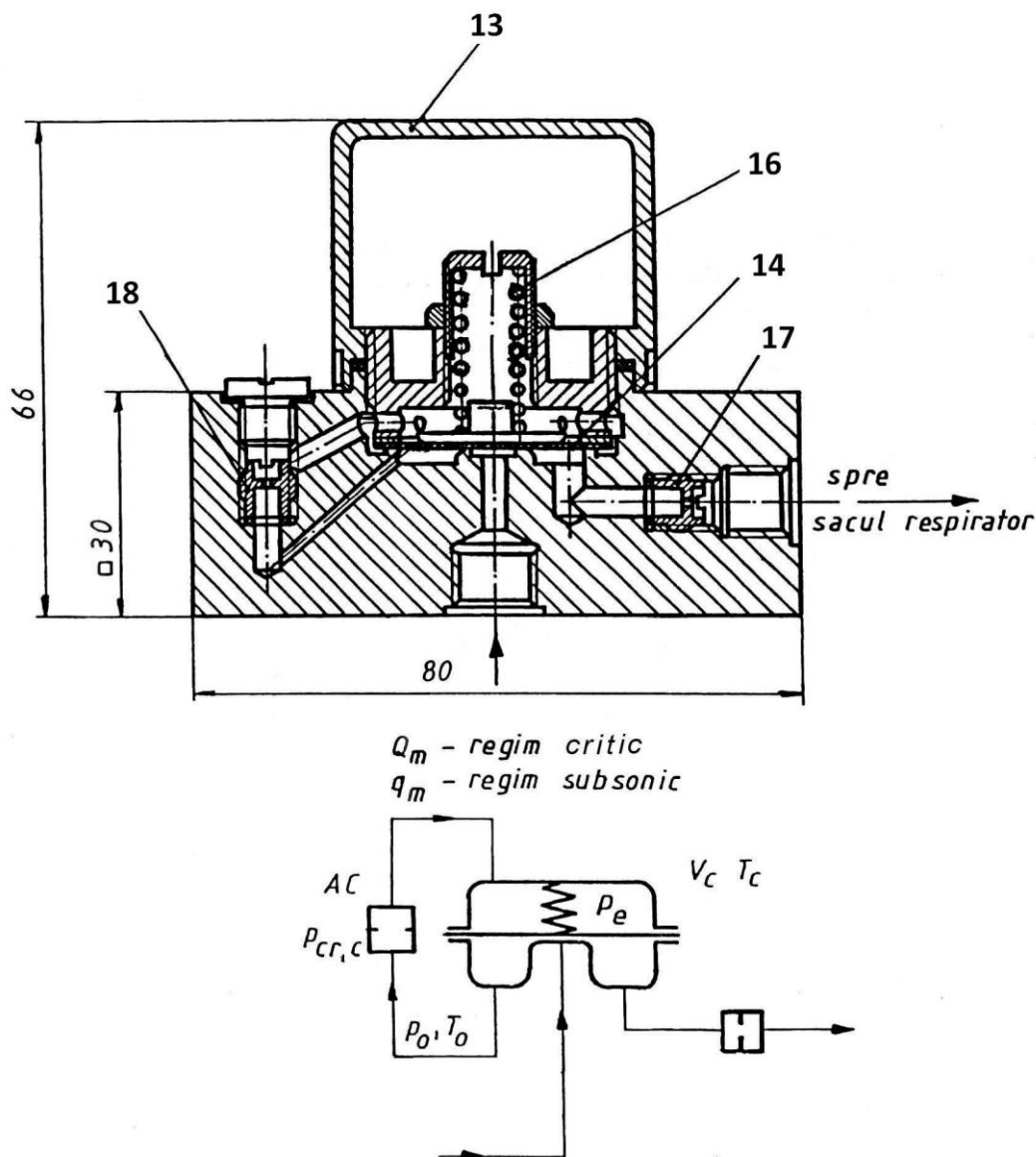


Fig. 5.11. Dispozitivul de spălare a sacului respirator și schema de principiu: 13 – capsulă; 14 – membrană elastică; 16 – resort; 17 – ajutoraj de injecție; 18 – ajutoraj de compensare.

5.3.1.2. Calculul gazodinamic al circuitelor aferente aparatului de respirat sub apă cu circuit închis cu oxigen

Calculul gazodinamic al circuitelor aferente aparatului de respirat sub apă cu circuit închis cu oxigen, conform schemei de principiu prezentată în figura 5.10, cuprinde trei etape:

- calculul debitului masic de oxigen injectat în sacul respirator, funcție de diametrul ajutorajului convergent de spălare;
- calculul volumului de oxigen necesar pentru spălarea sacului respirator și stabilirea debitului maxim de oxigen necesar funcție de timpul optim de spălare a acestuia;
- calculul diametrului minim al ajutorajului convergent de compensare, funcție de timpul optim de spălare a sacului respirator.

Rezolvarea expresiilor matematice de calcul pentru procesele gazodinamice aferente aparatului de respirat sub apă în circuit închis, a permis definirea următoarelor elemente constructive ale acestuia: diametrul minim al ajutorajului convergent de injecție 17 a oxigenului necesar pentru spălarea sacului respirator și diametrul minim al ajutorajului convergent de compensare 18, care are rolul de a opri injecția de oxigen.

a) Calculul debitului masic de oxigen injectat în sacul respirator

Calculul debitului masic de oxigen injectat în sacul respirator s-a efectuat pentru diferite diametre minime d_1 ale ajutorajului convergent de spălare, diametre cuprinse între 0,1 și 1,5 mm, cu pasul de 0,1 mm. Pentru calcule s-au folosit următoarele relații:

$$Q_{mO_2,i} = A_1 \left(\frac{2}{k_{O_2} + 1} \right)^{\frac{1}{k_{O_2} - 1}} \sqrt{\frac{2k_{O_2}}{k_{O_2} + 1}} \frac{p_0 \cdot 10^5}{\sqrt{R_{O_2} T_0}}, \quad (5-61)$$

$$Q_{O_2,i} = \frac{Q_{mO_2,i} R_{O_2}}{0,005685} ; \quad (5-62)$$

unde: $Q_{mO_2,i}$ este debitul masic de oxigen injectat [kg/s], $Q_{O_2,i}$ debitul volumic de oxigen injectat [Nl/min], A_1 aria secțiunii minime a ajutorajului de injecție [m²], k_{O_2} coeficientul adiabatic (izentropic) pentru oxigen $k_{O_2} = c_{pO_2} / c_{vO_2} = 919 / 659 = 1,394$ (tab. 5.1), p_0 presiunea oxigenului la intrarea în ajutoraj de injecție [bar (sc. abs.)], R_{O_2} constanta oxigenului $R_{O_2} = 260 \text{ J/(kg} \cdot \text{K)}$ (tab. 5.1), iar T_{O_2} temperatura absolută la intrarea în ajutoraj [°K].

Diametrul și aria secțiunii minime a ajutorajului, d_1 [mm] și A_1 [m²] se vor calcula cu relațiile $d_1 = 1128,379 \sqrt{A_1}$ și $A_1 = 7,85 \cdot 10^{-7} d_1^2$.

În legătură cu stabilirea valorii presiunii oxigenului la intrarea în ajutoraj de injecție pentru spălarea sacului respirator, s-a ținut cont de faptul că priza de oxigen, conform schemei de principiu (fig. 5.10) este după reductorul de presiune pilotat 3, care alimentează și regulatorul de presiune treapta a doua 4 a sacului respirator. Pentru buna funcționare a regulatorului de presiune treapta a doua, care livrează "la cerere"

oxigen scafandruului, presiunea de alimentare este cuprinsă între 9 și 12 bar (sc. abs.). Aceste presiuni au trebuit să fie luate în calcul și pentru ajutorul de injecție masică a circuitului de spălare a sacului respirator.

Ținând cont de faptul că, pentru diametre mici ale ajutorului convergent (sub 2 mm), variațiile de debit masic funcție de temperatura gazului la intrarea în ajutor sunt neglijabile, s-a adoptat, pentru calcule, o temperatură medie de 283,16 K.

Înlocuind datele prezentate mai sus în relațiile 5-61 și respectiv 5-62 se obține relația de calcul a debitului volumic de oxigen injectat în sacul respirator funcție de presiunea p_0 , de la intrarea oxigenului în ajutor și diametrul minim d_1 , al ajutorului convergent:

$$Q_{O_2,i} = 8,383 d_1^2 p_0 \quad [\text{Nl/min}] \text{ sau } [\text{IN/min}] \quad (5-63)$$

Rezultatele calculelor efectuate pentru diferite diametre d_1 cuprinse între 0,1 și 1,5 mm și pentru presiunile de intrare ale oxigenului în ajutor de $p_0 = 9, 10, 11$ și 12 bar (sc. abs.), sunt prezentate grafic în figura 5.12.

Pentru efectuarea de determinări experimentale în vederea verificării rezultatelor teoretice, a fost proiectat, executat și echipat un stand pentru testarea ajutorilor de injecție la debit masic blocat. La conceperea standului s-a pornit de la ideea simulării în totalitate a fenomenului corespunzător ajutorului aferent aparatului de respirat sub apă cu oxigen propriu-zis și anume, urmărirea complexă a regimului de injecție masică, la diferite presiuni de alimentare p_0 și la diferite presiuni din aval de ajutor p_e , cu simularea scufundării la adâncimile corespunzătoare de lucru ale aparatului.

Schema de principiu a standului este prezentată în figura 5.13. Acesta se compune din următoarele elemente principale: un sistem de alimentare format din butelii de stocare a gazelor la presiune înaltă 1, reductor de presiune 2, rezervor tampon cu volumul de 1 litru 3, robinet de reglaj 4 în amonte de blocul de injecție masică 5 în care a fost amplasat ajutorul de testare 6. Instalația este completată cu două manometre de control al presiunii, unul în amonte 7 de duza de injecție și unul în aval 8. Robinetele de reglaj 9, plasate în amonte de rotametrul 10, permit stabilirea unei anumite presiuni p_e în aval de ajutor.

Buteliile de stocaj 1 furnizează oxigen sau amestec respirator către instalația de testare. Prin intermediul reductorului de presiune 2 și a robinetului de reglaj din amonte 4, se reglează și se menține presiunea de alimentare a ajutorului p_0 la valoarea dorită. Această presiune este indicată de manometrul din amonte 7, iar operatorul urmărește ca pe perioada unei determinări experimentale, presiunea p_0 să rămână constantă. Astfel, ajutorul convergent 6, care trebuie testat este alimentat cu oxigen sau amestec la presiunea p_0 controlată. Prin intermediul robinetelor de reglaj din aval 9 se stabilește presiunea din aval de ajutorul testat p_e , care este indicată de manometrul din aval 8. Debitul de oxigen sau de amestec gazos care se stabilește prin ajutorul testat,

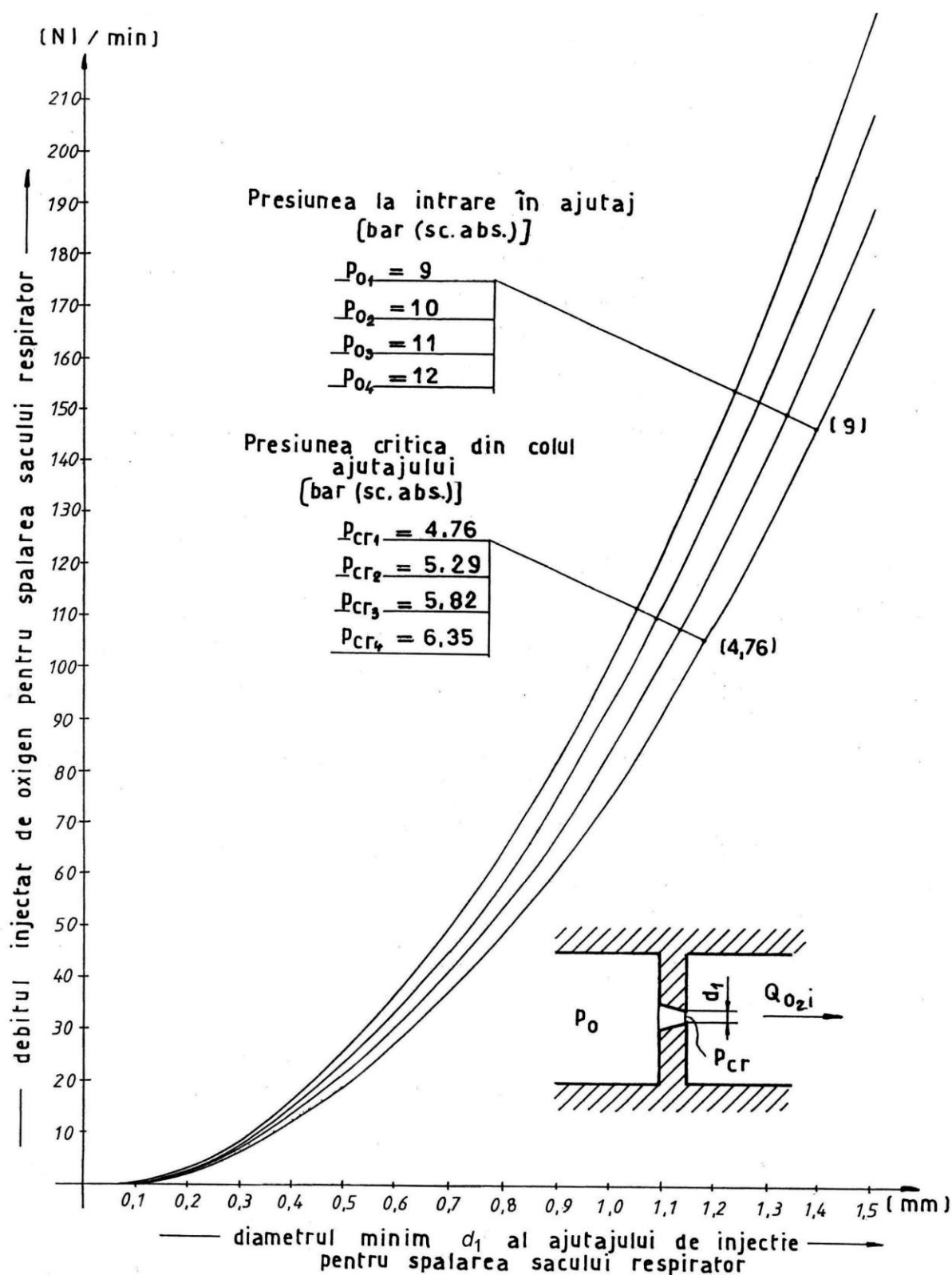


Fig. 5.12. Variația debitului de oxigen injectat $Q_{O_2,i}$ în sacul respirator funcție de diametrul minim al ajutorajului d_1 , la diferite presiuni p_0 din amonte de acesta.

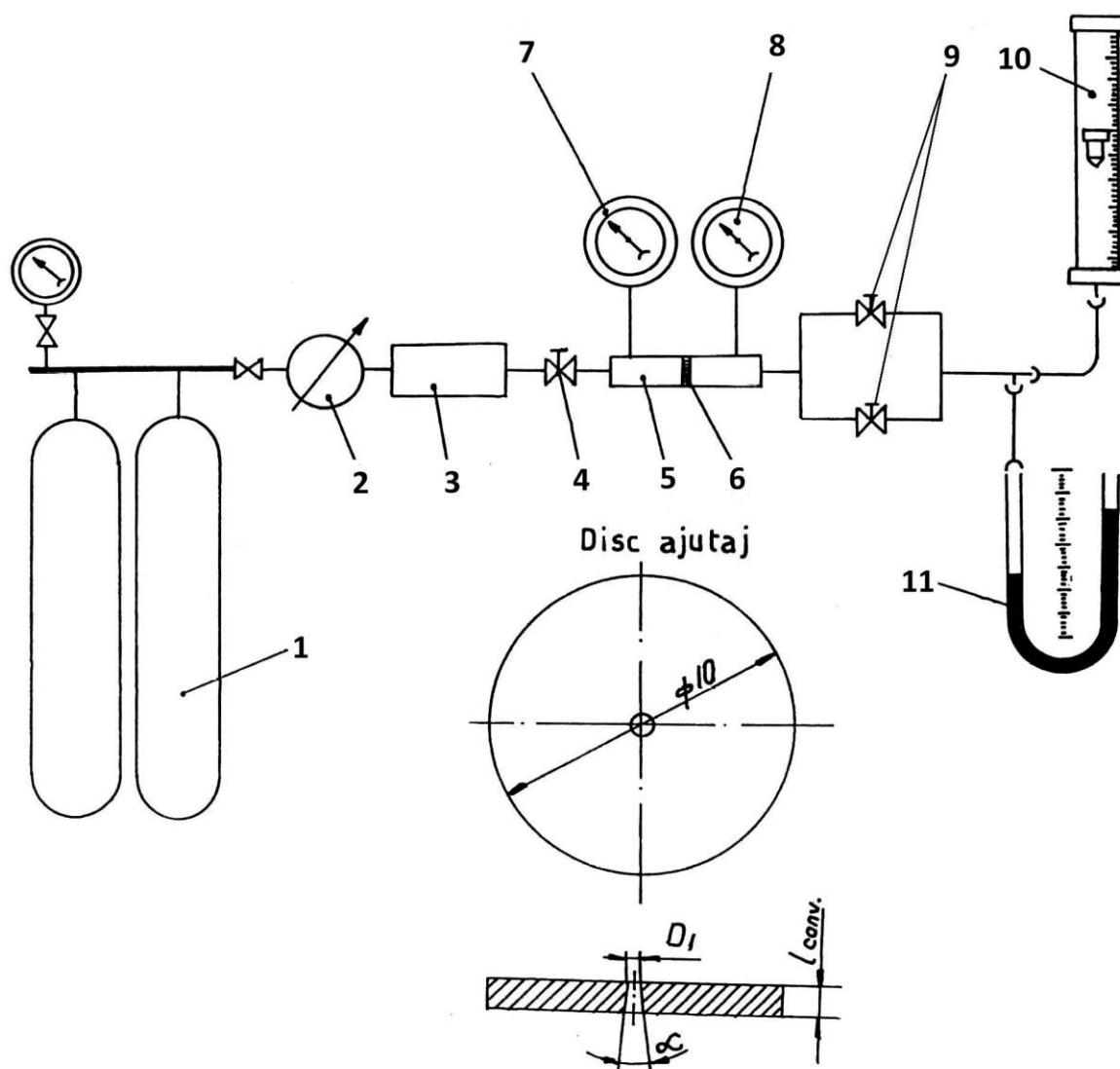


Fig. 5.13. Schema de principiu a standului de verificare a ajutorajelor de injecție:
 1 – butelii de stocaj amestec respirator; 2 – reductor de presiune; 3 – rezervor tampon;
 4 – robinet de reglaj; 5 – bloc de injecție masică; 6 – ajutoraj pentru testare;
 7 – manometru amonte; 8 – manometru aval; 9 – robinete de reglaj; 10 – rotametrul;
 11 – manometru diferențial.

corespunzător presiunilor p_0 și p_e , se măsoară la debitmetrul de tip rotametrul 10, cu evacuarea direct în atmosferă. Cu ajutorul manometrului diferențial 11, tub "U" cu apă, s-a măsurat presiunea gazului înainte de rotametrul, în scopul efectuării unor eventuale corecții, cunoscut fiind faptul că rotametrul este etalonat pentru aer la 760 torr și 20 °C.

Rezultatele determinărilor experimentale sunt prezentate în paragraful următor.

b) *Calculul volumului de oxigen necesar pentru spălarea sacului respirator*

La punerea în funcțiune a aparatului de respirat sub apă cu circuit închis cu oxigen, în sacul respirator și în circuitele aferente (cartușe filtrante de dioxid de carbon, tubulaturi, furtunuri și racorduri) se află aer la presiunea atmosferică.

Concentrația azotului este aproximativ 80% și, dacă nu se execută spălarea acestor circuite, dat fiind faptul că aparatul funcționează în circuit închis și cu debit de oxigen "la cerere", cantitatea de azot din circuitele aferente aparatului devine suficient de mare (mai mare decât volumul curent respirator al scafandruului), astfel încât detentorul treapta a doua 4 a sacului respirator (fig. 5.10) să nu mai poată fi acționat (acesta acționează la realizarea unei depresiuni în sacul respirator de 3...5 cmH₂O). În acest caz, scafandruul riscă o criză hipoxică cu pierderea instantanee a cunoștinței și moartea prin înec. Din acest motiv, azotul existent în circuitele aparatului este considerat gaz poluant.

În general, debitul de ventilație a unei incinte se determină din bilanțul nocivităților. Ecuația diferențială de bilanț este:

$$(QY_r + \Sigma Y - QY)dt = V dY \quad (5-64)$$

unde: Q este debitul volumic de gaz refulat, respectiv evacuat în și respectiv din incintă [m³/s], ΣY debitul masic total de substanță nocivă degajată în incintă [kg/s], Y_r concentrația gazului nociv în gazul refulat [kg/m³], Y concentrația aceleiași substanțe în gazul incintei, variabilă în timp [kg/m³], t timpul [s], V volumul incintei [m³].

Deoarece:

$$d(QY_r + \Sigma Y - QY) = -Q dY,$$

relația 5-64 poate fi scrisă sub forma:

$$\frac{dt}{V} = -\frac{1}{Q} \frac{d(QY_r + \Sigma Y - QY)}{QY_r + \Sigma Y - QY}. \quad (5-65)$$

Integrând expresia 5-65 între momentul $t=0$ (i – inițial) și momentul t (f - final) se obține:

$$e^{\frac{Qt}{V}} = \frac{Q(Y_i - Y_r) - \Sigma Y}{Q(Y_f - Y_r) - \Sigma Y}, \quad (5-66)$$

unde: Y_i este concentrația inițială a substanței nocive din incintă la timpul $t=0$, Y_f concentrația finală după timpul t .

În cazul studiat: $\Sigma Y = 0$ și $Y_r = 0$, iar relația 5-66 devine:

$$Y_f = Y_i e^{-\frac{Qt}{V}}. \quad (5-67)$$

Cu ajutorul relației 5-67, pentru $Y_i = 80\%$, s-au determinat variațiile în timp ale concentrației azotului din diferiți saci respiratori, cu volume de 3, 4, 5 și 6 l, funcție de diferite debite volumice de oxigen injectate. Rezultatele sunt prezentate grafic în figurile 5.14, 5.15, 5.16 și 5.17.

Fig. 5.14. Variațiile compoziției amestecului gazos, funcție de timp, într-un sac respirator cu volumul de 3 l, la diferite debite volumice de oxigen injectate în sac.

La sfârșitul celor 15 secunde de spălare a sacului respirator se obțin parametrii în tabelul 5.4 și timpul cu care este redusă autonomia de scufundare.

Caracteristicile amestecului gazos dintr-un sac respirator cu volumul de 3 l, după spălare cu oxigen la diferite debite, timp de 15 secunde și reducerea autonomiei

Caracteristici	Debit de oxigen injectat [Nl/min]				
	40	50	60	70	80
Concentrația de N ₂ la sfârșitul spălării [%]	2,86	1,24	0,54	0,23	0,21
Volumul de azot rămas în sacul respirator [l]	0,086	0,037	0,016	0,007	0,006
Volumul de oxigen consumat pentru spălare [l]	10	12,5	15	17,5	20
Reducerea autonomiei aparatului prin spălare cu O ₂ [min]	5	6,25	7,5	8,75	10

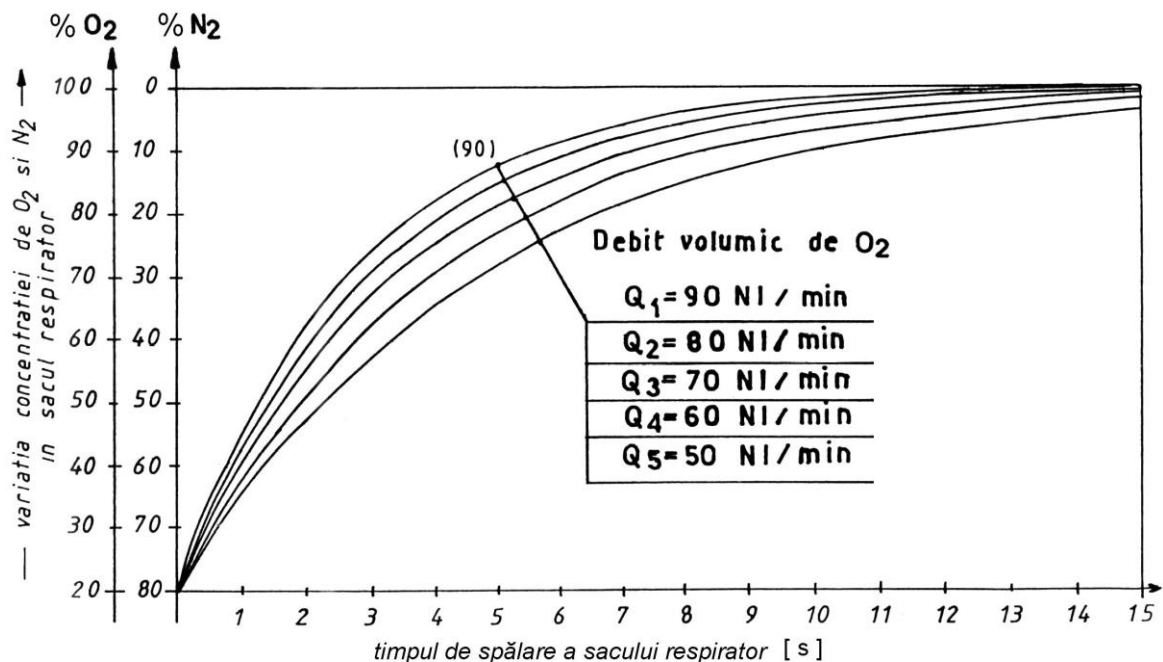


Fig. 5.15. Variațiile compoziției amestecului gazos, funcție de timp, într-un sac respirator cu volumul de 4 l, la diferite debite volumice de oxigen injectate în sac.

La sfârșitul celor 15 secunde de spălare a sacului respirator se obțin parametrii prezentați în tabelul 5.5 și timpul cu care este redusă autonomia de scufundare.

Tabelul 5.5

Caracteristicile amestecului gazos dintr-un sac respirator cu volumul de 4 l, după spălare cu oxigen, la diferite debite, timp de 15 secunde și reducerea autonomiei

Caracteristici	Debit de oxigen injectat [NI/min]				
	50	60	70	80	90
Concentrația de N ₂ la sfârșitul spălării [%]	3,53	1,90	1,00	0,54	0,30
Volumul de azot rămas în sacul respirator [l]	0,14	0,076	0,040	0,022	0,012
Volumul de oxigen consumat pentru spălare [l]	12,5	15	17,5	20	22,5
Reducerea autonomiei aparatului prin spălare cu O ₂ [min]	6,25	7,5	8,75	10	11,25

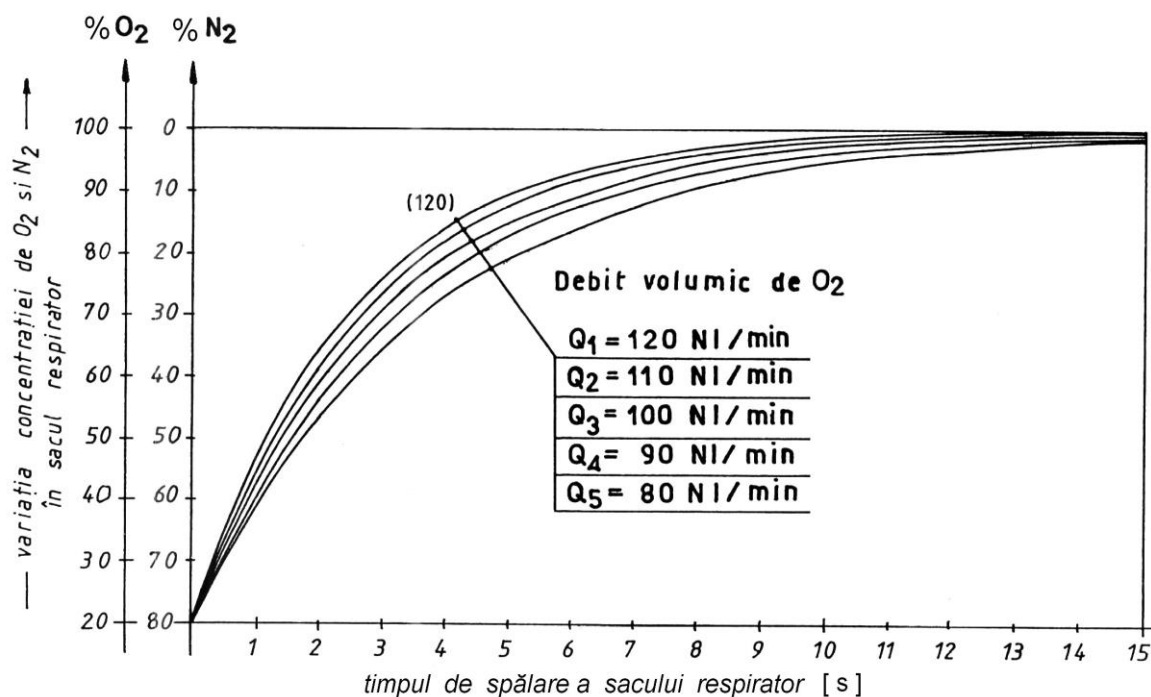


Fig. 5.16. Variațiile compoziției amestecului gazos, funcție de timp, într-un sac respirator cu volumul de 5 l, la diferite debite volumice de oxigen injectate în sac.

La sfârșitul celor 15 secunde de spălare a sacului respirator se obțin parametrii prezentați în tabelul 5.6 și timpul cu care este redusă autonomia de scufundare.

Tabelul 5.6

Caracteristicile amestecului gazos dintr-un sac respirator cu volumul de 5 l, după spălare cu oxigen, la diferite debite, timp de 15 secunde și reducerea autonomiei

Caracteristici	Debit de oxigen injectat [NI/min]				
	80	90	100	110	120
Concentrația de N ₂ la sfârșitul spălării	1,46	0,90	0,54	0,33	0,20
Volumul de azot rămas în sacul respirator [l]	0,073	0,045	0,027	0,017	0,010
Volumul de oxigen consumat pentru spălare [l]	20	22,5	25	27,5	30
Reducerea autonomiei aparatului prin spălare cu O ₂ [min]	10	11,25	12,5	13,75	15

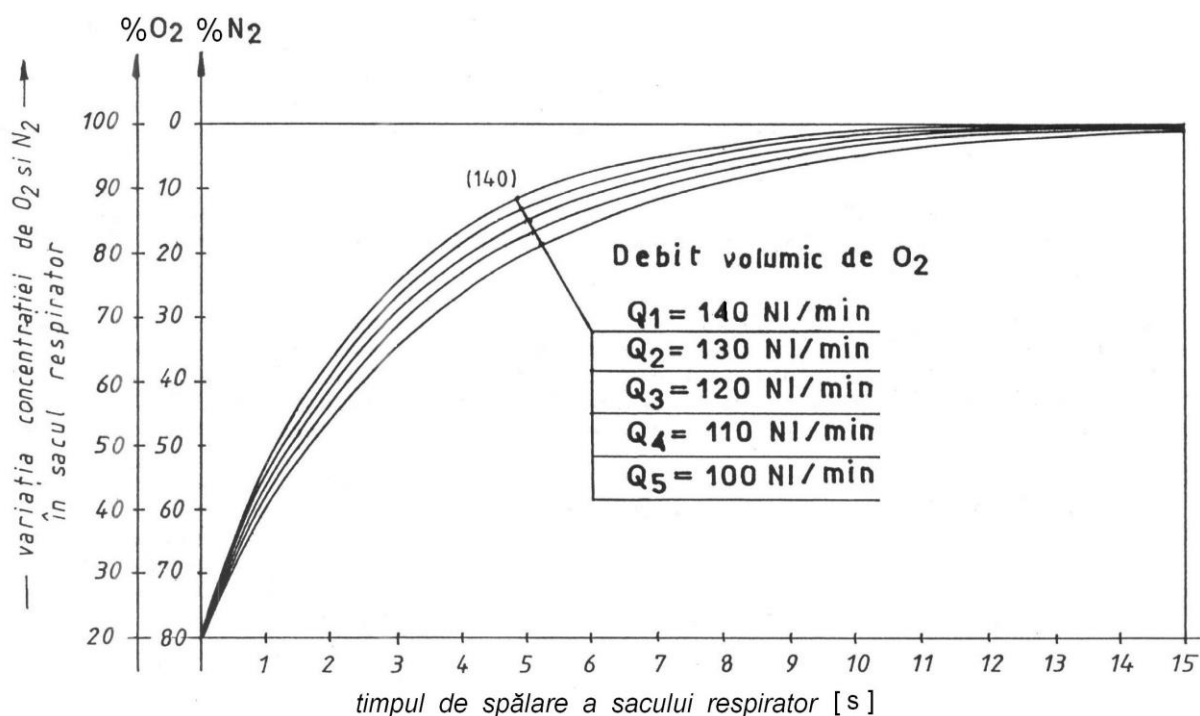


Fig. 5.17. Variațiile compoziției amestecului gazos, funcție de timp, într-un sac respirator cu volumul de 6 l, la diferite debite volumice de oxigen injectate în sac.

La sfârșitul celor 15 secunde de spălare a sacului respirator se obțin parametrii prezentați în tabelul 5.7 și timpul cu care este redusă autonomia de scufundare.

Tabelul 5.7

Caracteristicile amestecului gazos dintr-un sac respirator cu volumul de 6 l, după spălare cu oxigen, la diferite debite, timp de 15 secunde și reducerea autonomiei

Caracteristici	Debit de oxigen injectat [NI/min]				
	100	110	120	130	140
Concentrația de N_2 la sfârșitul spălării	1,24	0,81	0,54	0,36	0,23
Volumul de azot rămas în sacul respirator [l]	0,074	0,048	0,032	0,022	0,014
Volumul de oxigen consumat pentru spălare [l]	25	27,5	30	32,5	35
Reducerea autonomiei aparatului prin spălare cu O_2 [min]	12,5	13,75	15	16,25	17,5

Pentru calculul timpului pierdut din autonomia aparatului de respirat sub apă datorată spălării sacului respirator, s-a considerat un consum maximal de oxigen al utilizatorului de 2 l/min.

Din analiza datelor prezentate în tabelele 5.4 ... 5.7 și din figura 5.12 se pot defini următoarele:

- timpul de 15 secunde necesar pentru spălarea sacului respirator este un timp tehnologic acceptabil, mai mic decât în cazul spălării prin manevre "manuale" a acestuia;
- un debit de 100 Nl/min de oxigen injectat în sacul respirator, timp de 15 secunde, acoperă toate variantele constructive pentru sacul respirator (3 ... 6 l). Adoptarea acestui debit pentru toate variantele constructive ale sacului respirator are avantajul unei soluții unice, inconfundabile, ce conferă securitatea necesară utilizatorului;

- pierderea, din autonomia aparatului de respirat sub apă a unui timp, de 12,5 minute reprezintă 7% din întreaga lui autonomie, pierdere ce nu trebuie luată în considerare, ținând cont de faptul că și în varianta clasică, fără dispozitivul automat, spălarea se execută "manual" prin 4 ... 5 manevre succesive de umplere cu oxigen și golire a sacului respirator;

- intrând cu debitul necesar pentru spălarea sacului respirator în graficul din figura 5.12 s-a determinat că o duză cu diametrul minim de 1,1 mm satisface cerințele de spălare a sacului aferent aparatului de respirat sub apă în circuit închis cu oxigen.

Având definite elementele principale, presiunile de alimentare și timpul necesar pentru spălarea sacului respirator, s-a putut la cea de-a treia etapă a calculului gazodinamic al circuitelor aferente aparatului de respirat sub apă cu circuit închis cu oxigen.

c) Calculul diametrului minim al ajutorajului convergent de compensare

Pentru calculul diametrului minim al ajutorajului convergent de compensare s-a plecat de la relațiile prezentate în figura 5.9. Expresia diametrului minim al ajutorajului de compensare este:

$$d_1 = 1128,379 \sqrt{A_1} \quad [d_1 \text{ mm}], \quad (5-68)$$

unde: A_1 este secțiunea minimă a ajutorajului [m^2];

$$A_1 = E(G + F),$$

unde:

$$E = \frac{V_c 10^{-6}}{R_{aer} T_c t_c \sqrt{\frac{2k_{Ox}}{k_{Ox}-1} \frac{1}{R_{Ox} T_0}}}, \quad (5-69)$$

$$G = \frac{1}{\left(\frac{2}{k_{Ox}+1}\right)^{\frac{1}{k_{Ox}-1}} \sqrt{\frac{k_{Ox}-1}{k_{Ox}+1}}} \left(\frac{p_{cr,c}}{p_0} - \frac{p_{at}}{p_0} \right), \quad (5-70)$$

$$F = \int_{\frac{p_{cr,c}}{p_0}}^{\frac{p_f}{p_0}} \frac{1}{\sqrt{\left(\frac{p_c}{p_0}\right)^{\frac{2}{k_{Ox}}} - \left(\frac{p_c}{p_0}\right)^{\frac{k_{Ox}+1}{k_{Ox}}}}} d\left(\frac{p_c}{p_0}\right). \quad (5-71)$$

Pentru cazul studiat datele de calcul sunt: volumul camerei superioare a dispozitivului de spălare, rezultat din proiectare $V_c = 36,557 \text{ cm}^3$ (fig. 5.11), constanta aerului $R_{aer} = 288,59 \text{ J/(kg} \cdot \text{K)}$, temperatura medie în compartimentul superior al mecanismului de spălare $T_c = 288,16 \text{ K}$, timpul de compensare egal cu timpul de spălare $t_c = 15 \text{ s}$, exponentul adiabatic (izentropic) pentru oxigen $k_{ox} = 1,394$ și temperatura medie în amonte de ajutorul convergent de compensare $T_0 = 288,16 \text{ K}$.

Cu aceste date se poate calcula E . Valoarea lui E conform relației 5-69 este:

$$E = 0,302 \cdot 10^{-8}.$$

Pentru calculul lui G se folosesc următoarele date:

$$p_0 = 9 \text{ bar (sc. abs.)},$$

$$\frac{p_{cr,c}}{p_0} = \left(\frac{2}{k_{Ox} + 1}\right)^{\frac{k_{Ox}}{k_{Ox} - 1}} = 0,529.$$

Înlocuind datele în relația 5-70 se obține:

$$G = 1,628.$$

Pentru calculul lui F , singura dată care lipsește este presiunea finală din compartimentul superior al mecanismului de spălare p_f care este egală cu 8,1 bar (sc. abs.). Această presiune este rezultatul acțiunii resortului clapetei de închidere a circuitului de spălare, care acționează înainte de a se stabili presiunea p_0 și în compartimentul superior al dispozitivului de spălare pe timpul scufundării, datorită faptului că scufundarea se execută în limitele 1 la 1,7 bar (sc. abs.), iar detentorul treapta întâi (fig. 5.10, poz. 4) lucrează pilotat de presiunea hidrostatică. Înlocuind datele în relația 5-71 se obține:

$$F = \int_{0,529}^{0,9} \frac{d\left(\frac{p_c}{p_0}\right)}{\sqrt{\left(\frac{p_c}{p_0}\right)^{1,435} - \left(\frac{p_c}{p_0}\right)^{1,717}}}. \quad (5-72)$$

Deoarece funcția integrală este uniformă, continuă și pozitivă în intervalul 0,529 ... 0,9 se poate aplica o metodă aproximativă de integrare. Astfel, s-a aplicat metoda trapezelor, rezultând:

$$F = 1,674.$$

Se poate determina aria secțiunii minime a ajutorului de compensare folosind relația:

$$A_1 = E(G + F) = 0,302 \cdot 10^{-8} (1,628 + 1,674) = 0,997 \cdot 10^{-8} [\text{m}^2]$$

de unde rezultă diametrul minim al ajutorului de compensare:

$$d_1 = 1128,379 \cdot \sqrt{0,997 \cdot 10^{-8}} = 0,112 [\text{mm}].$$

Astfel, toate elementele aparatului de respirat sub apă în circuit închis cu oxigen au fost dimensionate. Sacul respirator (fig. 5.10, poz. 5) poate fi ales, din punct de vedere constructiv, cu un volum cuprins între 3 și 6 l, funcție de dimensiunile aparatului și modul de purtare. Pentru aparate purtate pe spate s-a ales varianta cu volum de sac respirator de 5 ... 6 l, iar pentru varianta de purtare în față, varianta cu volum de sac respirator de 3 ... 4 l. Cert este că, indiferent de dimensiunile sacului respirator, dispozitivul automat de spălare al acestuia are aceleași caracteristici. Reductorul de presiune treapta a doua (fig. 5.10, poz. 4), care alimentează "la cerere" scafandrul, este un reductor clasic, adaptat sacului respirator. Schema lui de principiu este prezentată în figura 5.18.

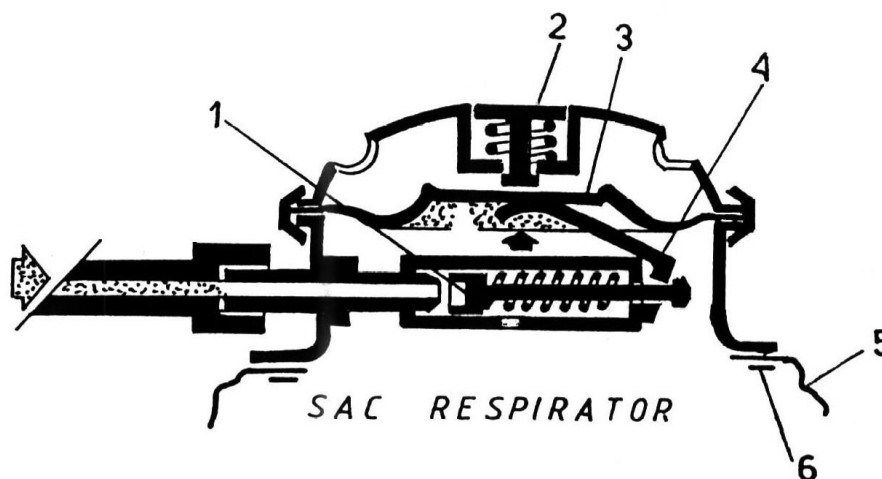


Fig. 5.18. Reductor de presiune treapta a doua pentru sacul respirator al aparatului de respirat sub apă cu circuit închis cu oxigen: 1 – piston clapet; 2 – buton de debit continuu; 3 – membrană; 4 – pârghie de acționare a pistonului clapet; 5 – sac respirator; 6 – sistem de fixare a reductorului de sacul respirator.

Reductorul de presiune treapta întâi este, de asemenea, de tip clasic, utilizabil și pentru aparatele de scufundare în circuit deschis cu aer comprimat. Schema reductorului treapta întâi este prezentată în figura 5.19. Acest reductor de presiune are posibilitatea să alimenteze două circuite la presiunea medie de 9 bar (sc. abs.), unul pentru reductorul treapta a doua a sacului respirator și altul pentru circuitul de spălare. Reductorul mai dispune de o priză de înaltă presiune ce alimentează un manometru indicator al presiunii din butelia de stocare a oxigenului.

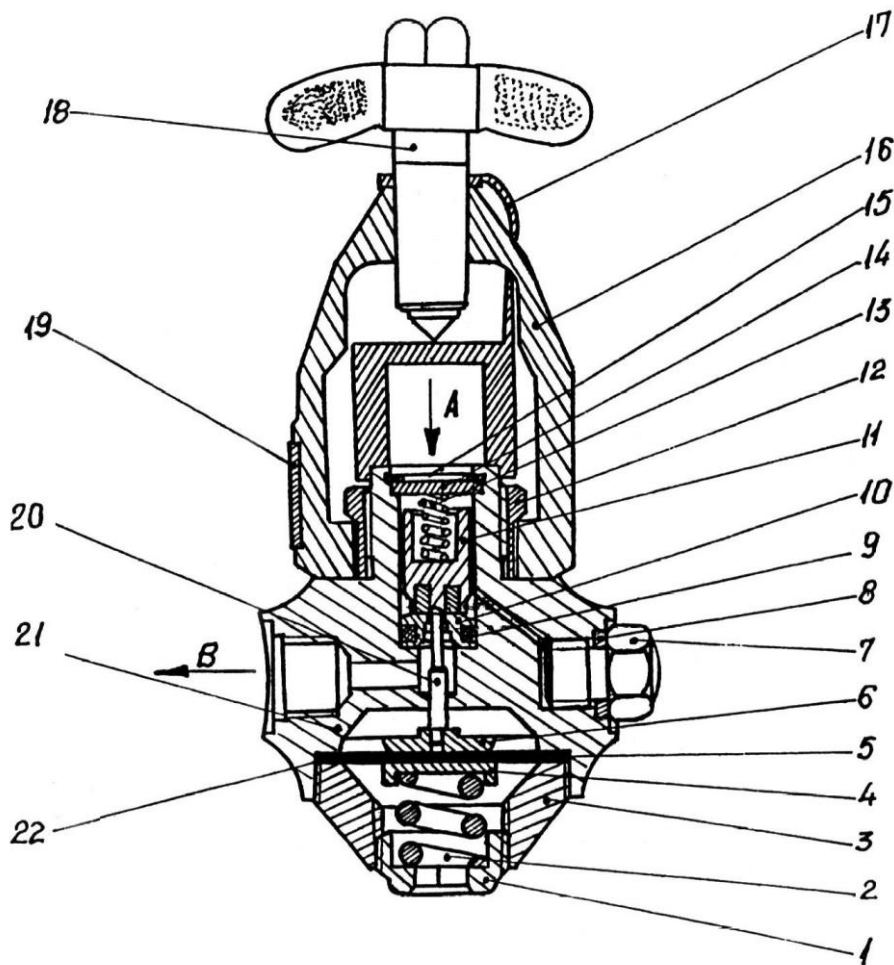


Fig. 5.19. Reductor de presiune treapta întâi: A – alimentare cu amestec de gaze la înaltă presiune; B – ieșire amestec de gaze la medie presiune (0 ... 14 bar); 1 - șurub de reglare; 2 – resort de tarare; 3 – capac; 4 – taler resort; 5 – membrană; 6 - taler tijă; 7 – dop; 8, 9 – inele de etanșare; 10 – scaun supapă; 11 – clapet; 12 - iuliță de fixare; 13 – resort clapet; 14 – filtru sinterizat; 15 – inel de siguranță; 16 – jug de fixare pe butelie; 17 – dop de protecție; 18 – șurub de fixare; 19 – placă de inscripționare; 20 – tijă; 21 – corp detentor.

În concluzie, dispozitivul de spălare a sacului respirator prezentat în figura 5.10 se compune din două circuite, unul de spălare propriu-zisă, caracterizat de o presiune de alimentare de 9 bar (sc. abs.), cu un ajutoraj de injecție masică cu diametrul minim de 1,1 mm și un circuit de compensare, prezentat în figura 5.11, caracterizat de o presiune de alimentare de 9 bar (sc. abs.) cu un ajutoraj de injecție cu diametrul minim de 0,112 mm.

Rezultatele calculelor matematice asupra gazodinamicii circuitelor aparatului de respirat sub apă cu circuit închis cu oxigen, au fost verificate experimental constatându-se o foarte bună suprapunere a datelor. Despre rezultatele experimentale efectuate se vor da detalii în cele ce urmează.

O schemă simplificată a aparatului de respirat sub apă cu circuit închis cu oxigen este prezentată, pentru comparare, în figura 5.20. Acest tip de aparat a fost printre primele aparate cu circuit închis cu oxigen proiectate, dar care nu și-a justificat,

ulterior, competitivitatea. Aparatul funcționează cu debit continuu de oxigen injectat în sacul respirator, un debit care acoperă consumul maximal al scafandruului, consum ce poate varia între 2 și 2,5 l/min. Aparatul oferă o bună securitate scafandruului, dar are dezavantajul unei pierderi însemnate în autonomie, de până la 60%. Acesta este principalul motiv pentru care s-a abandonat utilizarea acestui tip de aparat, deoarece scopurile militare în care este folosit necesită o autonomie maximă.

Aparatele de respirat sub apă cu circuit închis cu oxigen se folosesc numai în scopuri militare și sunt interzise pentru scufundări industriale, datorită pericolului crescut al apariției hiperoxiei la eforturi deosebite ale scafandruului.

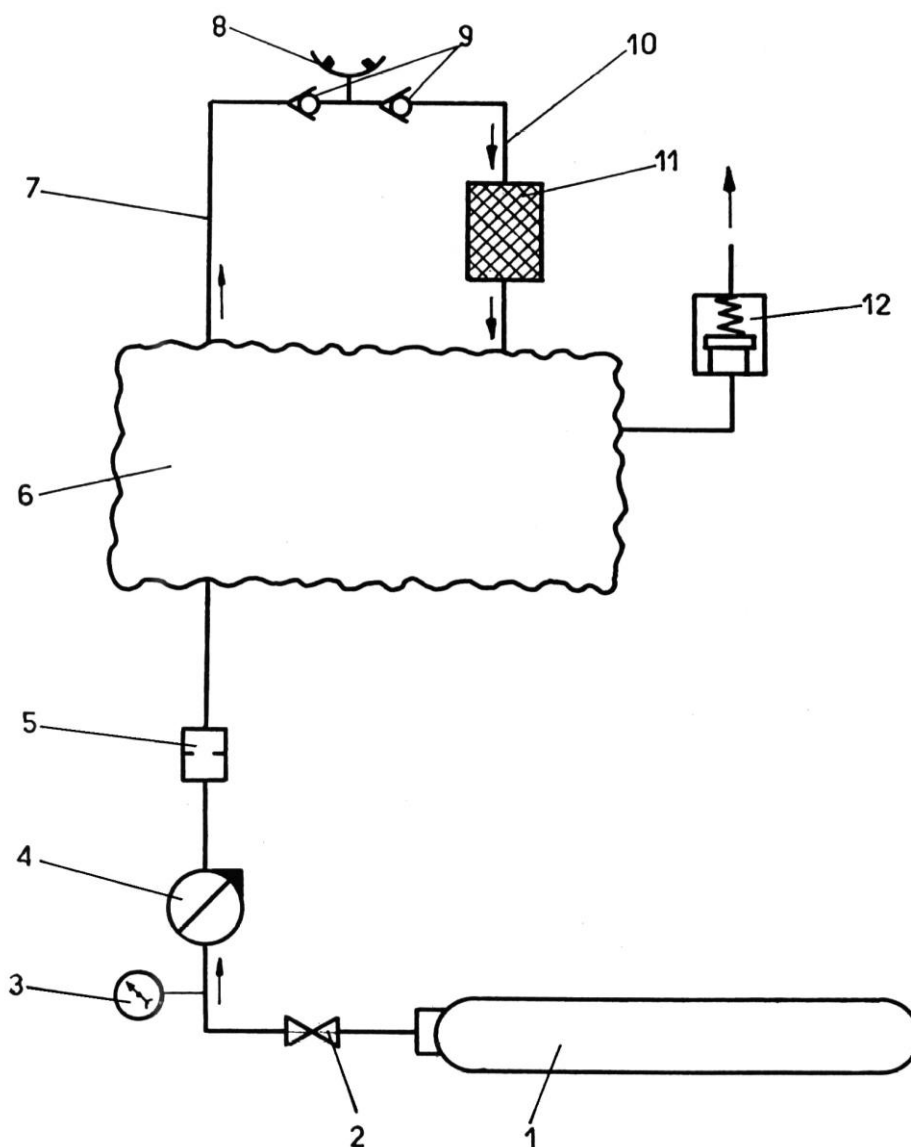


Fig. 5.20. Schema de principiu, simplificată, a aparatului de respirat sub apă cu circuit închis cu oxigen: 1 – butelie cu oxigen; 2 – robinet; 3 – manometru de control presiune; 4 – reductor de presiune; 5 – ajutor de injecție; 6 – sac respirator; 7 – furtun inspirație; 8 – muștiuc; 9 – bloc supape; 10 – furtun expirație; 11 – cartuș filtrant pentru dioxid de carbon; 12 – supapă de evacuare.

5.3.2. CONCEPȚIA ȘI CALCULUL APARATELOR DE RESPIRAT SUB APĂ CU CIRCUIT SEMIÎNCHIS

În cazul aparatelor de respirat sub apă cu circuit semiînchis, reciclarea amestecului respirator se face parțial, deci o parte din gazul expirat de scafandru este eliminat în mediul ambiant, restul fiind trecut prin filtre epuratoare de dioxid de carbon. Presiunea parțială a oxigenului din amestecurile utilizate este menținută în limitele de securitate, fără a se crește prea mult presiunea parțială a gazului inert, care determină, de fapt, durata revenirii la presiunea atmosferică (timpul de decompresie).

Aparatele de respirat sub apă cu circuit semiînchis trebuie să furnizeze, în mod automat, un amestec gazos în care concentrația oxigenului să scadă cu creșterea adâncimii de scufundare, în așa fel încât presiunea parțială a acestuia să rămână în limitele admisibile, sau un amestec gazos cu o concentrație de oxigen pe o anumită gamă de adâncimi. În concluzie, este necesar ca la o adâncime dată, amestecul respirator să fie definitiv stabilit, indiferent de condiția fizică a scafandruului care folosește aparatul, precum și de activitatea sa sub apă (consum de oxigen funcție de intensitatea muncii). Aceste elemente condiționează adâncimea maximă de utilizare a aparatului precum și procedeul de revenire la presiunea atmosferică.

Problema se complică prin faptul că volumul gazelor variază pe timpul schimbării adâncimilor. Funcție de soluțiile adoptate pentru rezolvarea acestei probleme au fost puse la punct diferite aparate. Totuși, aparatele de respirat sub apă cu circuit semiînchis au o caracteristică comună: stabilitatea amestecului respirator este asigurată printr-o evacuare comună, în mediul ambiant, a unei cantități de gaz săracă în oxigen, evacuare compensată de un amestec nou, alimentat din buteliile de stocare.

În cadrul acestei categorii de aparate de respirat sub apă, specialiștii din Centrul de Scafandri Constanța și din Catedra de Hidraulică și Protecția Mediului din Universitatea Tehnică de Construcții București, au pus la punct un aparat de respirat sub apă de mare autonomie care utilizează amestecuri gazoase supraoxigenate (NITROX și HELIOX), prezentat în continuare atât din punct de vedere al concepției cât și al calculului gazodinamic.

5.3.2.1. Concepția aparatului de respirat sub apă cu circuit semiînchis de mare autonomie

Studierea, proiectarea și realizarea unui astfel de aparat de respirat sub apă de mare autonomie, în România, a apărut din necesitatea unor scufundări cu scop industrial sau militar, care să permită durate destul de mari de rezidență la adâncimea de lucru, asociate cu durate de decompresie cât mai scurte posibil, adică cu un randament al scufundării ridicat.

Schema de principiu a aparatului de respirat sub apă cu circuit semiînchis studiat, este prezentată în figura 5.21. Aparatul este alcătuit din următoarele elemente componente principale:

- butelii de alimentare 1 încărcate la 200 bar, conținând amestecuri gazoase supraoxigenate, care alimentează reductoarele de presiune nepilotat 2 și pilotat 3;
- reductorul de presiune nepilotat 2 reduce presiunea de la nivelul presiunii înalte existente în butelii, la nivelul presiunii medii necesare alimentării ajutorului de injecție masică 4. La ieșirea din reductor presiunea este constantă indiferent de adâncimea scufundării;

- sacul respirator 5 are rolul de a prelua variațiile de volum și presiune rezultate din respirație, de a aduce presiunea amestecului respirator din sac la nivelul presiunii corespunzătoare adâncimii de lucru, precum și de a asigura stocarea cantității de amestec gazos necesară următoarei respirații;

- furtunul de expirație 6 și furtunul de inspirație 7, care sunt racordate la piesa bucală 8, au rolul de a asigura expirația și respectiv inspirația utilizatorului. Expirația se realizează prin intermediul furtunului 6 către sacul respirator, amestecul expirat trecând în prealabil prin cartușele filtrante 9 pentru reținerea dioxidului de carbon;

- supapa de evacuare 10 asigură evacuarea surplusului de amestec gazos din sacul respirator către mediul ambiant exterior în timpul imersiei, în timpul staționării la adâncimea de lucru și în timpul revenirii la presiunea atmosferică;

- reductorul de presiune pilotat 3, de tip treapta întâi, alimentează robinetul 12 și regulatorul de presiune treapta a doua 11 cu amestec respirator din buteliile de stocare. Robinetul 12 are rolul de a asigura umplerea manuală a sacului respirator, în caz de necesitate, la momentul inițial al ridicării spre presiunea atmosferică, iar reductorul de presiune treapta a doua 11 asigură, în caz de necesitate, alimentarea scafandruului direct din buteliile de stocare de amestec respirator. În acest ultim caz, scafandruul renunță la piesa bucală 8 folosind muștiucul cu care este prevăzut reductorul de presiune treapta a doua 11;

- manometrul 3 asigură aprecierea continuă a autonomiei aparatului prin indicarea presiunii amestecului gazos din buteliile de stocare.

Aparatul de scufundare cu circuit semiînchis propus are la baza principiului de funcționare, injecția masică, prin care se realizează introducerea permanentă în sacul respirator 5 a unui debit masic din amestecul de gaze supraoxigenat stocat în buteliile de stocare 1. În acest fel, se acoperă deficitul de oxigen din sac, care ar rezulta prin consumarea acestuia de către scafandru. Deci, debitul de amestec injectat în sacul respirator conduce, în mod implicit, la injectarea unui debit de oxigen care să înlocuiască oxigenul consumat în cadrul proceselor metabolice. Cantitatea de oxigen care trebuie înlocuită (oxigenul consumat) reprezintă diferența dintre cantitatea de oxigen inspirat și cantitatea de oxigen expirat. Debitul de amestec injectat în sacul respirator este considerabil mai mic decât debitul de amestec consumat cu un aparat de respirat sub apă cu circuit deschis utilizând același amestec, în aceleași condiții de efort și pentru aceeași adâncime de lucru. Aceasta deoarece o bună parte din oxigenul respirat este recuperată împreună cu cea mai mare parte din gazul inert prin trecerea amestecului gazos expirat, înainte de a intra în sacul respirator, prin cartușul filtrant, reținându-se în întregime dioxidul de carbon.

Surplusul de amestec gazos rezultat în sacul respirator va fi eliminat către exterior prin intermediul supapei de evacuare tarate 10.

Cantitatea de oxigen consumată de către scafandru este funcție de categoria de efort depus în cadrul muncii efectuate. Rezultă, deci, că mărimea debitului de amestec injectat în sacul respirator va fi funcție de activitatea depusă sub apă, astfel încât masa de oxigen injectată să fie cel puțin egală cu masa de oxigen consumată. În acest mod, în interiorul sacului respirator se obține un amestec cu caracteristici mai mult sau mai puțin apropiate de cele ale amestecului injectat din butelii și care, pentru o anumită categorie de activitate își menține parametrii constanți (participația volumică și masică a oxigenului mai mică decât cea din amestecul injectat).

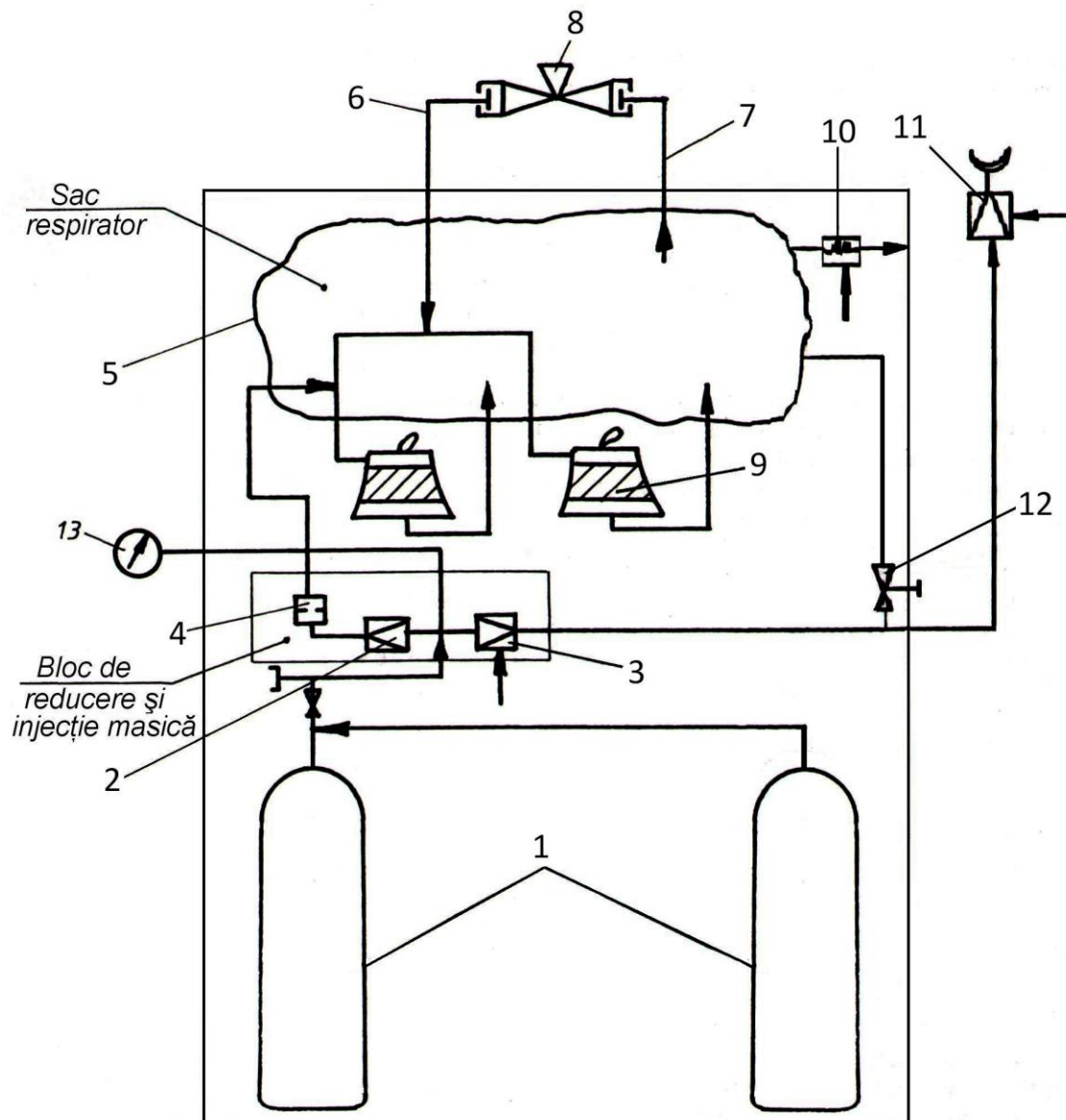


Fig. 5.21. Schema de principiu a aparatului de respirat sub apă cu circuit semiînchis: 1 – butelii stocare amestec respirator; 2 – reductor de presiune treapta întâi nepilotat; 3 – reductor de presiune treapta întâi pilotat; 4 – ajutor de injecție; 5 - sac respirator; 6 – furtun expirație; 7 – furtun inspirație; 8 – bloc supape muștiuc; 9 – filtre epuratoare de CO₂; 10 – supapă de evacuare; 11 – reductor de presiune treapta a doua; 12 – robinet de ventilare; 13 – manometru control presiune.

5.3.2.2. Calculul gazodinamic al circuitelor aferente aparatului de respirat sub apă cu circuit semiînchis de mare autonomie

Calculul gazodinamic al circuitelor aferente aparatelor de respirat sub apă cu circuit semiînchis, conform schemei de principiu prezentată în figura 5.21, a avut două componente principale:

- calculul debitului masic de amestec gazos injectat în sacul respirator funcție de diametrul minim al ajutorajului convergent de injecție; modelele matematice au fost efectuate pentru patru tipuri de amestecuri respiratorii NITROX și anume 32,5; 40; 50 și 60% oxigen;

– calculul parametrilor amestecului gazos din sacul respirator, funcție de consumul de oxigen al scafandrului.

Rezolvarea modelelor matematice de calcul pentru procesele gazodinamice aferente aparatului de respirat sub apă cu circuit semiînchis studiat, a permis definirea următoarelor elemente constructive determinante în funcționarea aparatului: blocul de reducere și injecție masică și sacul respirator (fig. 5.21). Analiza rezultatelor obținute, teoretice și experimentale, a permis definirea următoarelor caracteristici ale aparatului: adâncimea maximă de utilizare în deplină securitate pentru scafandru funcție de amestecul respirator supraoxigenat din buteliile de stocare și procedeul de revenire la presiunea atmosferică (decompresia).

a) *Calculul debitului masic de amestec gazos injectat în sacul respirator*

Calculul debitului masic de amestec gazos injectat în sacul respirator s-a efectuat pentru diferite diametre minime d_1 ale ajutorajului convergent de injecție, diametre cuprinse între 0,1 și 0,8 mm, cu pasul de 0,01 mm. Pentru calcul s-au folosit următoarele relații:

$$Q_{ma,i} = A_1 \left(\frac{2}{k_a + 1} \right)^{\frac{1}{k_a - 1}} \sqrt{\frac{2k_a}{k_a + 1}} \frac{p_0 \cdot 10^5}{\sqrt{R_a T_0}} \quad (5-73)$$

$$Q_{a,i} = \frac{Q_{ma,i} R_a}{0,005685} \quad (5-74)$$

unde: $Q_{ma,i}$ este debitul masic de amestec gazos injectat [kg/s], $Q_{a,i}$ debitul volumic de amestec gazos injectat [Nl/min], A_1 aria secțiunii minime a ajutorajului injecție [m²], $d_1 = 1128,379 \sqrt{A_1}$, diametrul secțiunii minime a ajutorajului [mm], k_a coeficientul adiabatic (izentropic) specific amestecului utilizat (acești coeficienți sunt prezentați în tabelul 5.2), p_0 presiunea amestecului gazos la intrarea în ajutoraj de injecție [bar (sc. abs.)], T_0 temperatura absolută a gazului la intrarea în ajutoraj [K].

Calculul debitului de amestec a fost efectuat cu ajutorul unui program de calcul, conform schemei logice simplificate prezentată în figura 5.22, iar rezultatele sunt prezentate sub forma grafică în figura 5.23 pentru amestec NITROX 32,5/67,5 (32,5% oxigen și 67,5% azot), în figura 5.24 pentru amestec NITROX 40/60, în figura 5.25 pentru amestec NITROX 50/50 și în figura 5.26 pentru amestec NITROX 60/40. Participațiile volumice r ale componentelor celor patru amestecuri NITROX sunt: $r_{O_2} = 0,325$ și $r_{N_2} = 0,675$ pentru NITROX 32,5/67,5, $r_{O_2} = 0,40$ și $r_{N_2} = 0,60$ pentru NITROX 40/60, $r_{O_2} = 0,50$ și $r_{N_2} = 0,50$ pentru NITROX 50/50 și $r_{O_2} = 0,60$ și $r_{N_2} = 0,40$ pentru NITROX 60/40.

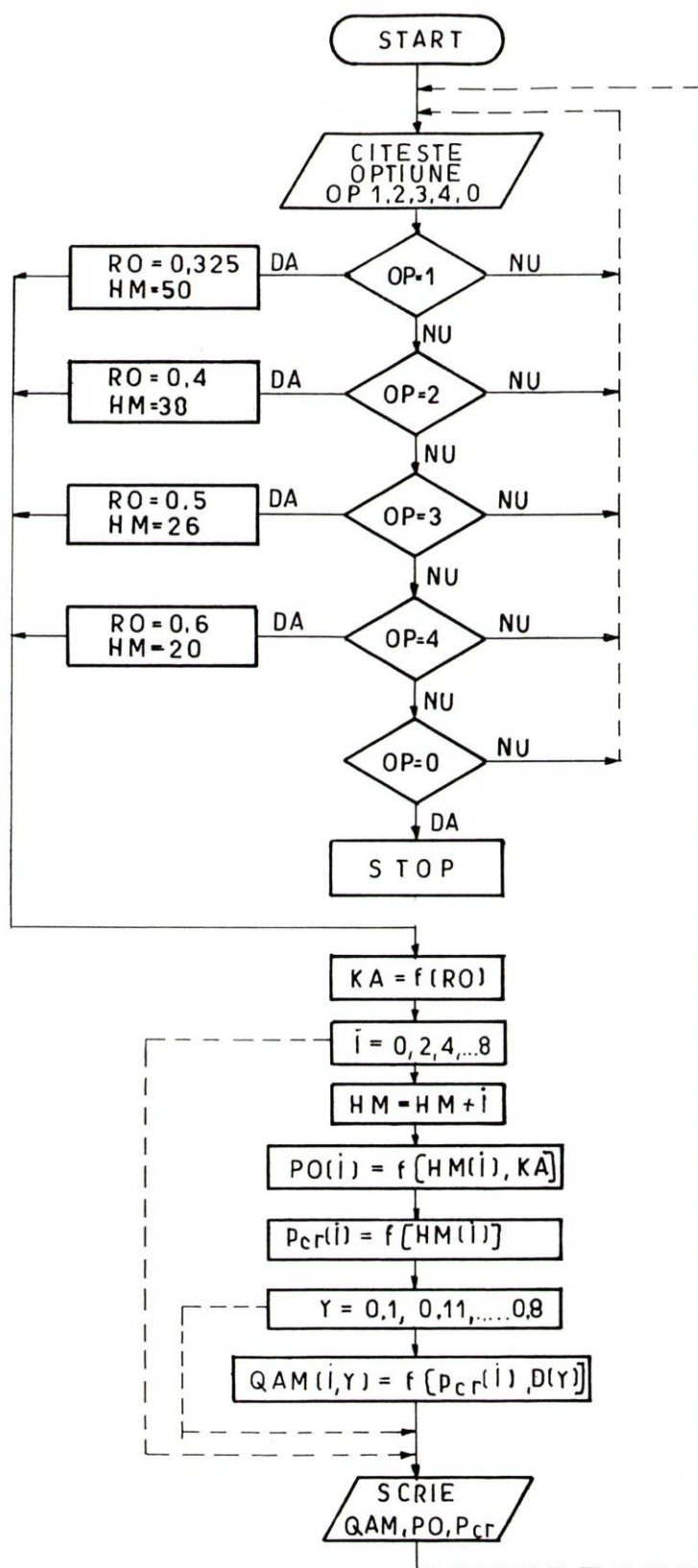


Fig. 5.22. Schema logică simplificată pentru calculul debitului de amestec gazos injectat în sacul respirator.

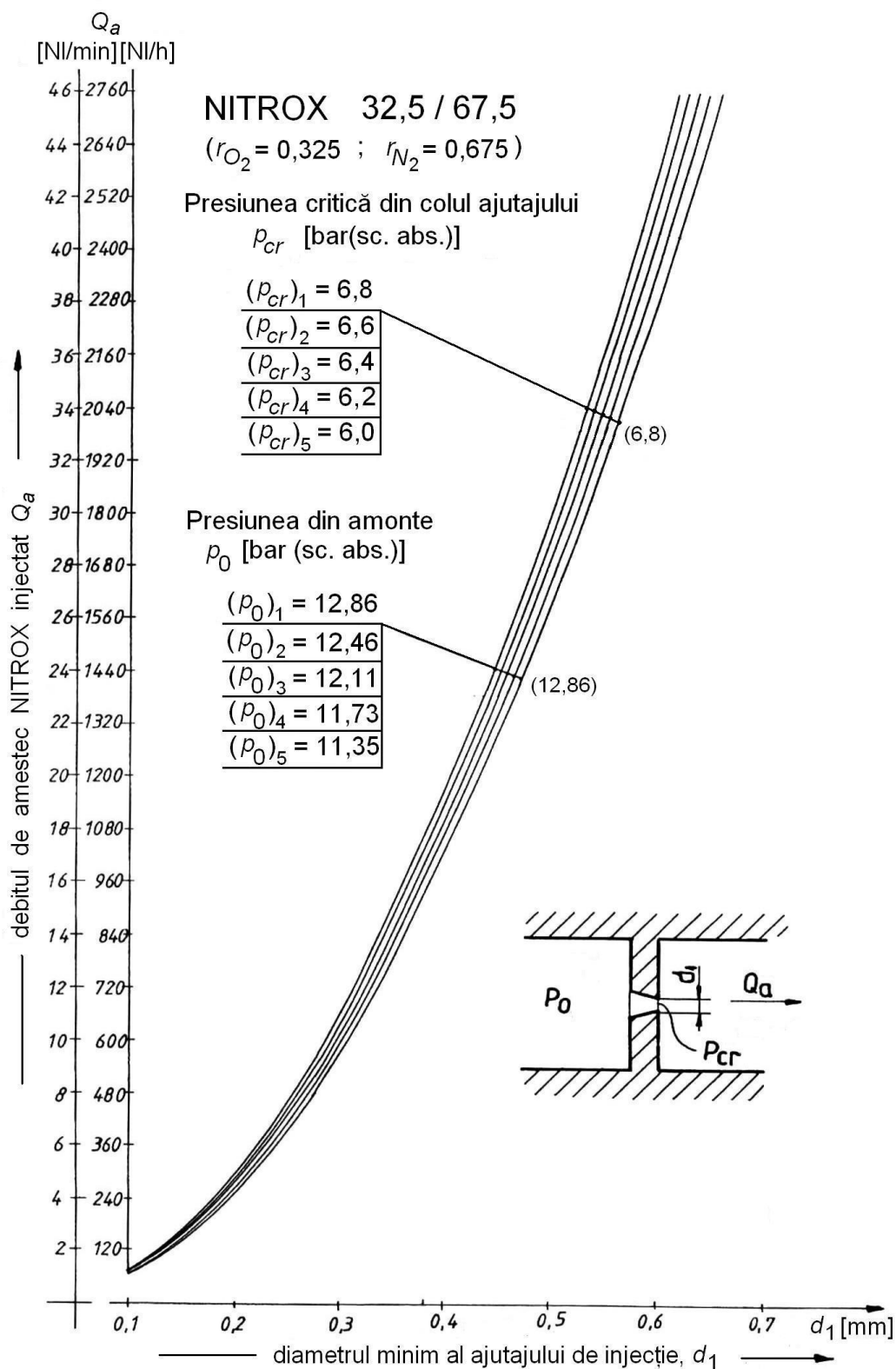


Fig. 5.23. Variația debitului Q_a de amestec NITROX 32,5/67,5 funcție de diametrul minim al ajutorului d_1 , la diferite presiuni de alimentare p_0 .

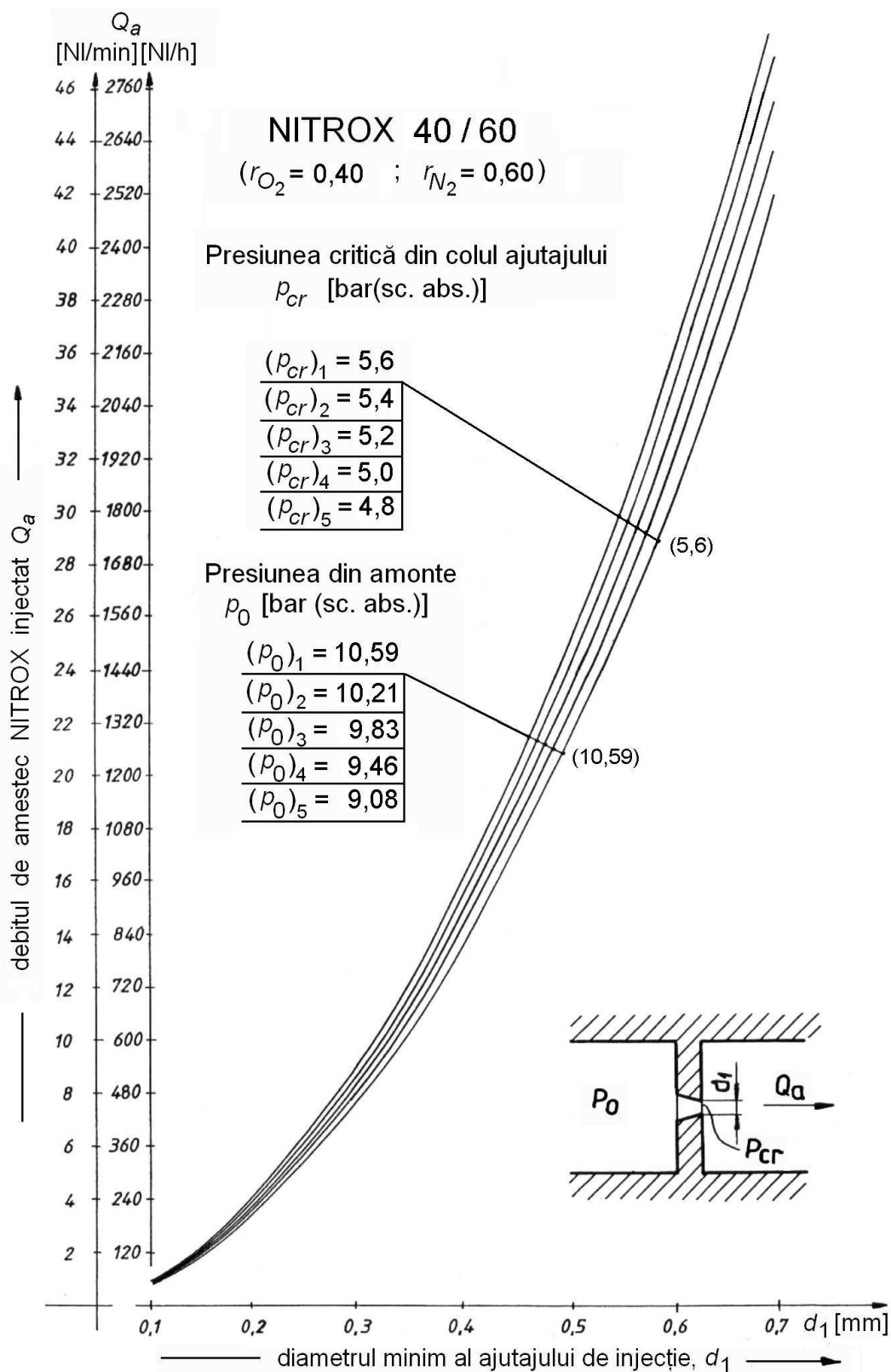


Fig. 5.24. Variația debitului Q_a de amestec NITROX 40/60 funcție de diametrul minim al ajutorului d_1 , la diferite presiuni de alimentare p_0 .

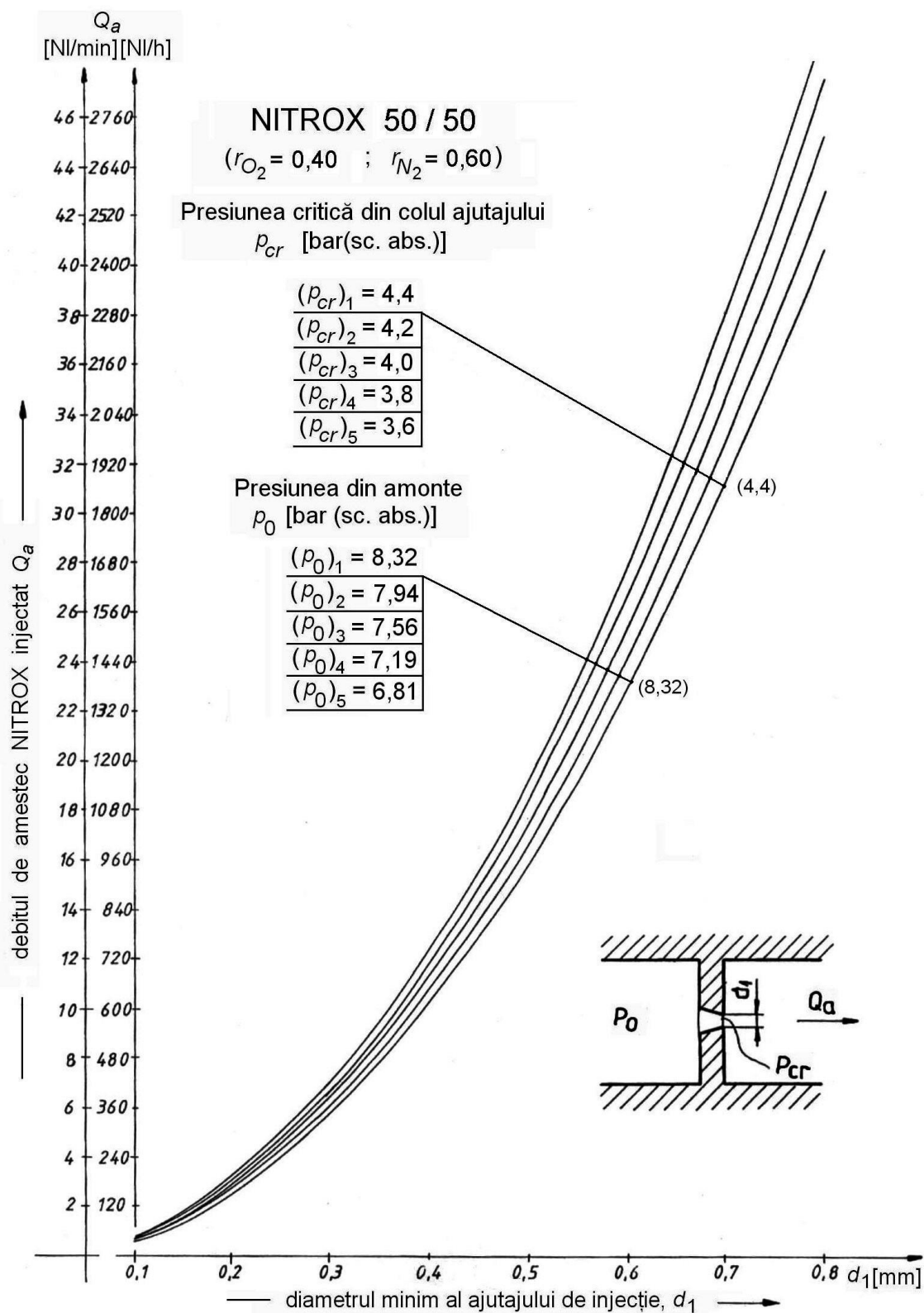


Fig. 5.25. Variația debitului Q_a de amestec NITROX 50/50 funcție de diametrul minim al ajutorului d_1 , la diferite presiuni de alimentare p_0 .

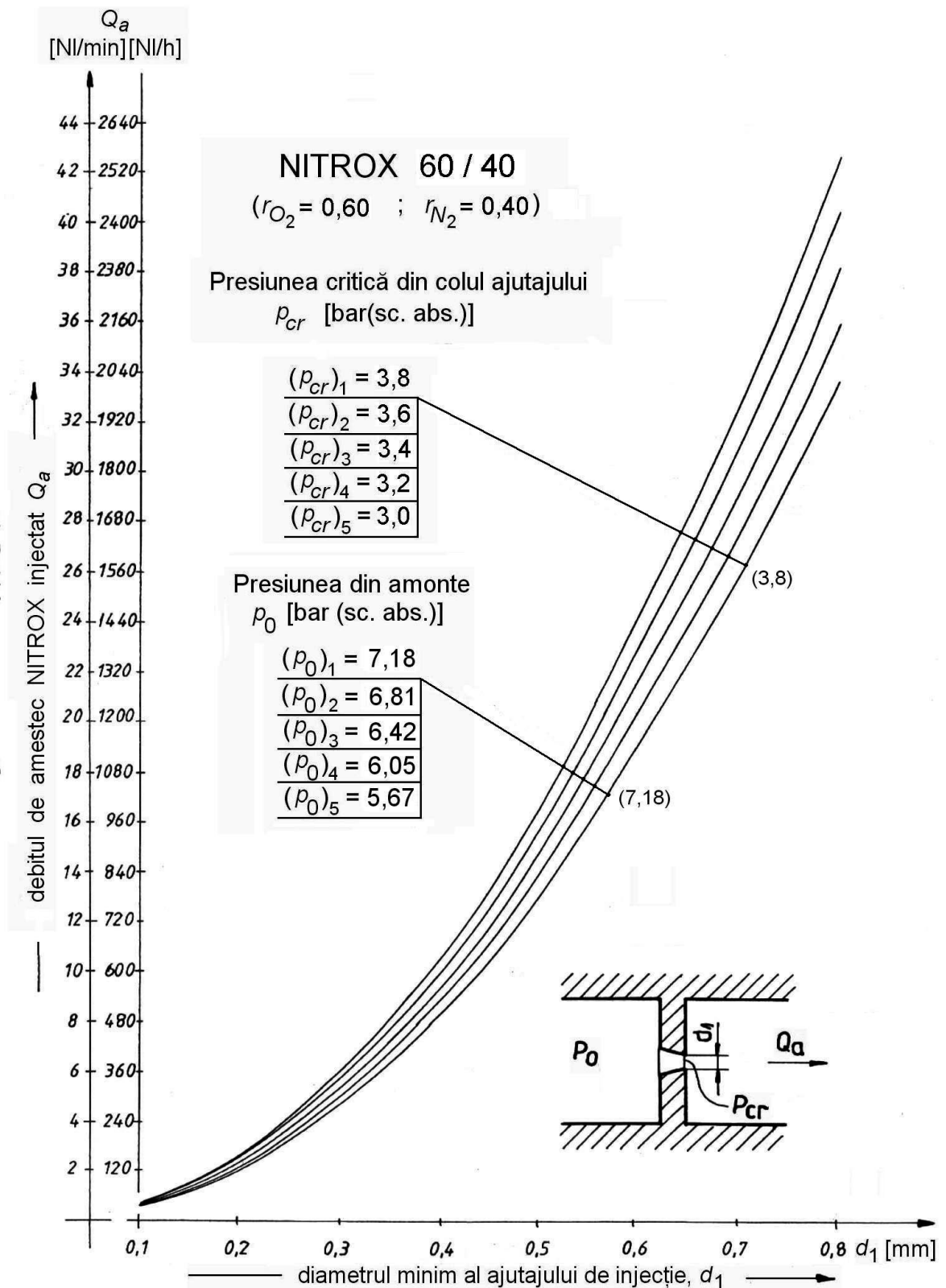


Fig. 5.26. Variația debitului Q_a de amestec NITROX 60/40 funcție de diametrul minim al ajutajului d_1 , la diferite presiuni de alimentare p_0 .

S-au efectuat experimentări privind caracteristicile gazodinamice ale ajutajelor de injecție la debit masic constant prin măsurători ale debitelor de amestecuri gazoase

binare pentru diferite ajutaje caracterizate prin diametrele secțiunilor minime d_1 , la diferite presiuni de alimentare a ajutajului p_0 , cu stabilirea presiunii maxime din aval de ajutaj, $(p_e)_{\max} = p_{cr}$, la care se face trecerea de la regim de curgere cu viteza sunetului (curgere în regim critic) la curgerea subsonică în colul ajutajului. De asemenea, s-a măsurat și diferența de presiune pe debitmetru de tip rotamtru h_{rot} , pentru efectuarea unor eventuale corecții de presiune.

Datorită faptului că ieșirea amestecului gazos din rotamtru are loc direct în atmosferă, se poate considera, cu foarte bună aproximație, că debitul volumic măsurat este determinat totdeauna la condiții standard normale ($p_{at} = 10^5 \text{ N/m}^2$ (sc.abs.) și $T = 293,16 \text{ K}$) și, prin urmare, se poate determina cu ușurință debitul masic utilizând relațiile prezentate la începutul acestui capitol. De asemenea, modificările de debit volumic la rotamtru sunt proporționale cu modificările debitului masic. Astfel, atunci când debitul volumic indicat la rotamtru rămâne constant ca valoare, rezultă că și debitul masic rămâne de asemenea constant.

Amestecurile gazoase binare utilizate pentru efectuarea experimentărilor sunt amestecuri binare NITROX cu două concentrații de oxigen:

- amestec NITROX 21/79 (aer) cu 21% oxigen ($r_{O_2} = 0,21$ și $r_{N_2} = 0,79$);
- amestec NITROX 40/60 cu 40% oxigen ($r_{O_2} = 0,40$ și $r_{N_2} = 0,60$).

Presiunea de alimentare a ajutajului p_0 , a fost citită la manometrul montat în amonte de ajutaj, această presiune fiind menținută constantă de reductorul treapta întâi pe întreaga perioadă a măsurării debitelor la presiunea respectivă. Modificarea presiunii p_0 s-a realizat prin reglarea corespunzătoare a reductorului de presiune treapta întâi și prin manevrarea robinetului de reglaj situat în amonte de ajutajul de injecție masică.

Presiunea de după ajutaj p_e , a fost citită la manometrul montat în aval de ajutaj, această presiune fiind modificată în domeniul $0 \dots (p_e)_{\max} = p_{cr}$, deci corespunzător rapoartelor $p_e / p_0 < p_{cr} / p_0$ la p_0 constant, cu citirea debitului volumic Q_a , la rotamtru. Pentru urmărirea în continuare a fenomenului s-au efectuat măsurători de debite la $p_0 = \text{constant}$ și pentru presiuni de ieșire (aval de ajutaj) $p_e > (p_e)_{\max} = p_{cr}$, deci pentru rapoarte $p_e / p_0 > p_{cr} / p_0$. Reglarea presiunii p_e la valoarea dorită se realizează prin manevrarea corespunzătoare a robinetelor de reglaj de după ajutaj: pentru robinete complet închise $p_e = p_0$ ($p_e / p_0 = 1$), iar pentru robinete complet deschise $p_e = 0$ ($p_e / p_0 = 0$).

Căderea de presiune la rotamtru a fost determinată experimental, utilizând un manometru, tub "U" cu apă, valoarea măsurată corespunzând cu valoarea presiunii în amonte de rotamtru.

O determinare experimentală s-a realizat prin fixarea unei presiuni de alimentare a ajutajului p_0 , prin manevrarea regulatorului treapta întâi și a robinetului amonte (spre exemplu, în cazul utilizării aerului, până când presiunea citită la manometrul din

amonte devine $p_0 = 85$ m col. apă de mare). Se poate considera, cu o foarte bună aproximație, că 10 m col. apă de mare = 1 at = 1 bar. Reglarea presiunii p_0 se realizează cu unul din cele două robinete aval deschis complet (celălalt robinet poate rămâne închis deoarece un singur robinet deschis asigură capacitatea necesară de trecere). Se citește valoarea debitului la rotametrul pentru robinetul aval deschis complet, presiunea critică la manometrul aval fiind $p_e = 0$. Debitul măsurat, corespunzător lui $p_0 = 85$ m col. apă de mare = 9,5 bar (sc. abs.), a fost de 220 Nl/h (la condiții normale). S-au continuat citirile de debite la rotametrul pentru presiuni aval p_e din ce în ce mai mari, debitele citite la rotametrul rămânând la valoarea inițială de 220 Nl/h. Continuând creșterea presiunii aval, peste o anumită valoare a acesteia ($p_e > p_{cr}$) debitul începe să scadă sub 220 Nl/h. În acest fel, se determină și valoarea experimentală a presiunii critice (spre exemplu $p_{cr} = 45$ m col. apă de mare = 5,5 bar (sc. abs.)) până la care debitul injectat prin ajutorul cu diametrul caracteristic $d_1 = 0,205$ mm rămâne blocat la valoarea de 220 Nl/h. În continuare, se poate determina raportul critic pe bază de măsurători.

Rezultatele determinărilor experimentale sunt prezentate sintetic în tabelele 5.8 și 5.9. Astfel, în tabelul 5.8 sunt cuprinse valorile experimentale aferente amestecului NITROX 21/79 cu 21% oxigen (aer), pentru trei tipuri de ajutoare de injecție masică, caracterizate de următoarele diametre minime: $d_1 = 0,205$ mm, $d_1 = 0,228$ mm și $d_1 = 0,300$ mm.

În tabelul 5.9 sunt cuprinse valorile experimentale aferente amestecului NITROX 40/60 cu 40% oxigen, pentru aceleași ajutoare.

Pentru compararea rezultatelor obținute prin metoda experimentală cu rezultatele teoretice, în tabelele 5.8 și 5.9 au fost trecute și valorile obținute prin calculul teoretic (valorile presiunii critice p_{cr} , raportul critic p_{cr} / p_0 și debitul în regim de blocaj Q_a , corespunzătoare diferitelor presiuni de alimentare a ajutorului p_0). Valorile teoretice au fost reprezentate grafic în figura 5.24 alături de cele experimentale ținând cont și de faptul, pus în evidență experimental, că pentru aceleași condiții, debitele sunt aproximativ aceleași, indiferent de tipul amestecului NITROX. Aceasta se întâmplă deoarece atât densitățile diferitelor amestecuri NITROX studiate, cât și vâscozitățile acestora sunt foarte apropiate ca valoare. Faptul că densitățile și vâscozitățile amestecurilor NITROX sunt foarte apropiate ca valoare, conduce, și în cazul măsurătorilor de debite la rotametrul, la valori practic egale ale debitelor de diferite amestecuri NITROX pentru aceleași condiții geometrice, de presiune și temperatură.

Prin urmare, citirea debitelor de amestecuri NITROX la rotametrul etalonat pentru aer la condiții normale, s-a făcut cu o eroare practic neglijabilă (eroarea fiind cu mult sub eroarea de măsură, relativ scăzută, a rotametrului utilizat).

Comparație între parametrii obținuți experimental și teoretic la diferite ajutaje de injecție pentru amestec NITROX 21/79 cu 21% oxigen (aer)

Diametrul minim al ajutajului [mm]	Valori experimentale				Valori teoretice		
	p_0 [bar (sc.abs.)]	p_{cr} [bar (sc.abs.)]	p_{cr} / p_0 [-]	Q_a [Nl/h]	p_{cr} [bar (sc.abs.)]	p_{cr} / p_0 [-]	Q_a [Nl/h]
0,205	9,5	5,5	0,578	220	5,016	0,528	220
	10,0	5,5	0,550	232	5,280	0,528	233
	10,5	6,0	0,571	245	5,544	0,528	247
	11,0	6,0	0,545	258	5,808	0,528	259
	11,5	6,5	0,565	266	6,072	0,528	267
	12,0	6,5	0,541	277	6,336	0,528	279
	12,5	7,0	0,560	288	6,600	0,528	291
	13,5	8,0	0,592	318	7,128	0,528	320
	14,0	8,0	0,571	330	7,392	0,528	330
	14,5	8,5	0,586	345	7,656	0,528	345
	15,0	8,5	0,566	355	7,920	0,528	355
	15,5	9,0	0,560	368	8,184	0,528	368
	16,0	9,0	0,562	379	8,448	0,528	380
	16,5	9,5	0,575	390	8,712	0,528	391
0,228	13,5	8,0	0,592	392	7,128	0,528	395
	14,0	8,0	0,571	408	7,392	0,528	408
	14,5	8,5	0,586	425	7,656	0,528	422
	15,0	8,5	0,566	440	7,920	0,528	440
	15,5	9,0	0,580	455	8,184	0,528	453
	16,0	9,0	0,562	470	8,448	0,528	468
0,300	13,5	8,0	0,592	682	7,128	0,528	682
	14,0	8,0	0,571	708	7,392	0,528	708
	14,5	8,5	0,586	730	7,556	0,528	732
	15,0	8,5	0,586	756	7,920	0,528	759

Din analiza rezultatelor experimentale și din compararea acestora cu rezultatele teoretice (tab. 5.8, 5.9 și fig. 5.27) se desprind următoarele elemente:

– valorile debitelor de amestecuri gazoase binare în regim blocat Q_a , determinate experimental sunt foarte apropiate de cele calculate teoretic, diferențele fiind sub 2%; deci aceste diferențe foarte mici pot fi puse și pe seama clasei de precizie a aparatului. Prin urmare, se poate considera că debitele determinate experimental coincid practic cu debitele stabilite teoretic;

– valorile presiunilor critice p_{cr} , determinate experimental sunt mai mari decât cele calculate teoretic, pentru toate măsurătorile efectuate, diferența ajungând până la 0,9 bar. Acest lucru se datorează faptului că, prin creșterea presiunii din aval de ajutaj p_e , peste valoarea presiunii critice p_{cr} , se ajunge la o scădere relativ lentă a debitului de amestec, sub valoarea din cazul regimului blocat, o dată cu creșterea presiunii p_e , în special pe prima porțiune de după presiunea critică.

Astfel, s-au determinat experimental chiar variații de numai 2 l/h la o creștere a presiunii p_e peste valoarea critică cu 10 m col. apă de mare. Scăderea foarte lentă a debitului pe prima porțiune din afara zonei de blocaj conduce la imposibilitatea de a stabili cu precizie foarte mare valoare experimentală a presiunii critice (în general, valorile măsurate sunt mai mari decât cele calculate);

– rapoartele critice dintre presiunile aval și amonte de ajutoraj p_{cr} / p_0 , determinate experimental sunt, de asemenea, mai mari decât cele calculate teoretic, deoarece valorile experimentale ale lui p_{cr} sunt mai mari decât cele teoretice, explicația fiind prezentată mai sus;

– valorile debitelor în regim de blocaj Q_a , pentru cele două tipuri de amestecuri NITROX utilizate la experimentări în aceleași condiții de presiune și pentru aceleași ajutoraje, sunt practic egale, ceea ce confirmă rezultatele teoretice.

Tabelul 5.9

Comparație între parametrii obținuți experimental și teoretic la diferite ajutoraje de injecție pentru amestec NITROX 40/60 cu 40% oxigen

Diametrul minim al ajutorajului [mm]	Valori experimentale				Valori teoretice		
	p_0 [bar (sc.abs.)]	p_{cr} [bar (sc.abs.)]	p_{cr} / p_0 [-]	Q_a [Nl/h]	p_{cr} [bar (sc.abs.)]	p_{cr} / p_0 [-]	Q_a [Nl/h]
0,205	9,5	5,5	0,578	220	5,016	0,528	220
	10,0	5,5	0,550	232	5,280	0,528	233
	10,5	6,0	0,571	245	5,544	0,528	246
	11,0	6,0	0,545	258	5,808	0,528	256
	11,5	6,5	0,565	266	6,702	0,528	266
	12,0	6,5	0,541	280	6,336	0,528	279
	12,5	7,0	0,560	290	6,600	0,528	290
	14,0	8,0	0,571	325	7,392	0,528	330
0,228	9,5	5,5	0,578	271	5,016	0,528	270
	10,0	5,5	0,550	286	5,280	0,528	286
	10,5	6,0	0,571	302	5,544	0,528	302
	11,0	6,0	0,545	318	5,808	0,528	318
	11,5	6,5	0,565	332	6,702	0,528	333
	12,0	6,5	0,541	348	6,336	0,528	348
	12,5	7,0	0,560	362	6,600	0,528	361
	14,0	8,0	0,571	408	7,392	0,528	408
0,300	9,5	5,5	0,578	470	5,016	0,528	471
	10,0	5,5	0,550	500	5,280	0,528	498
	10,5	6,0	0,571	523	5,544	0,528	523
	11,0	6,0	0,545	555	5,808	0,528	552
	11,5	6,5	0,565	579	6,702	0,528	575
	12,0	6,5	0,541	606	6,336	0,528	599
	12,5	7,0	0,560	630	6,600	0,528	620
	14,0	8,0	0,571	705	7,392	0,528	710

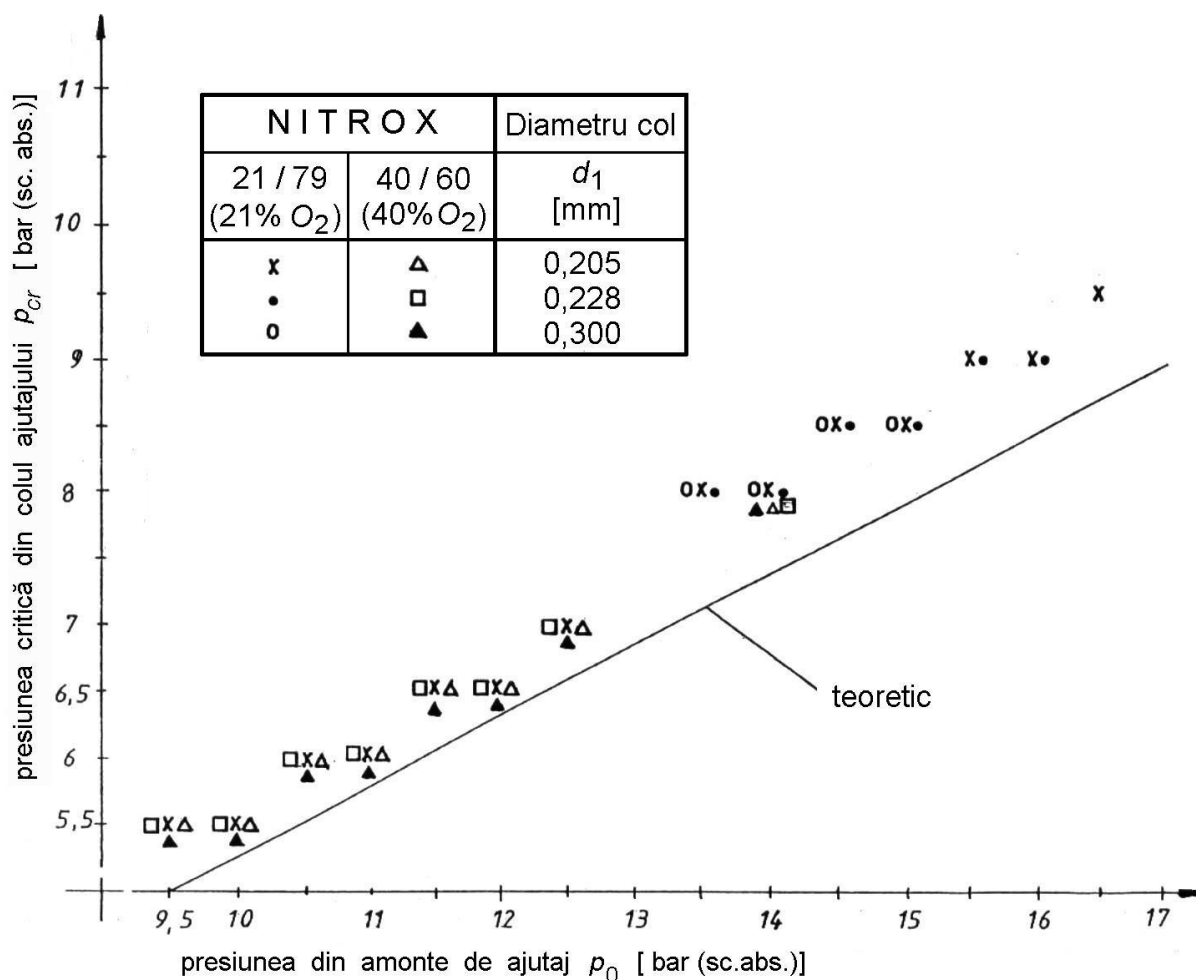


Fig. 5.27. Variația presiunii critice p_{cr} funcție de presiunea de alimentare a ajutorajului p_0 , valori teoretice și experimentale, pentru amestecuri NITROX 21/79 și NITROX 40/60 și pentru ajutoraje de injecție caracterizate de diametrul minim d_1 de 0,205; 0,228 și 0,300 mm.

Trebuie, totodată, menționat faptul că măsurătorile de presiuni în amonte de rotametrul au condus la valori foarte mici, cuprinse între 62 mmH₂O și 82 mmH₂O. Cunoscut fiind faptul că amestecul gazos este evacuat prin rotametrul direct în atmosferă și ținând cont de valorile foarte mici ale presiunii în amonte de rotametrul, se poate admite, cu foarte bună precizie, că debitul indicat la aparat este măsurat la presiunea atmosferică, așa cum este etalonat acest tip de debitmetru (pentru aer la 20 °C și 760 torr).

În ceea ce privește forma ajutorajelor, experimentările au fost efectuate pe ajutoraje convergente (ajutorajele cu $d_1 = 0,205$ mm și $d_1 = 0,300$ mm) și pe ajutoraje cilindrice (ajutorajul cu $d_1 = 0,228$ mm). Concluzia desprinsă a fost aceea că forma ajutorajului nu a influențat cu nimic valorile experimentale, determinant fiind doar diametrul caracteristic d_1 (diametrul minim corespunzător colului ajutorajului). Evident, forma ajutorajului și unghiurile de convergență au importanță în ceea ce privește disiparea de energie a amestecului gazos injectat. Pentru echipamentul de scufundare în circuit

semiînchis studiat, mărimea disipării de energie în ajutor nu este foarte importantă deoarece, la intrarea în sacul respirator are loc, oricum, o disipare substanțială a energiei amestecului gazos injectat.

În ceea ce privește ajutorul convergent – divergent, acesta nu a fost studiat datorită greutăților tehnologice de realizare precum și datorită importanței mici pe care o are studiarea lui pentru acest tip de aparat.

Studiile teoretice și determinările experimentale privind gazodinamica ajutoarelor aparținând blocului de injecție masică aferent aparatului de respirat sub apă cu circuit semiînchis studiat, au pus în evidență următoarele concluzii:

- s-au efectuat studii teoretice și experimentale pentru ajutoare convergente și cilindrice, lucrând în regim critic, cu atingerea vitezei sunetului și deci a regimului critic în colul ajutorului și cu stabilirea unui debit masic injectat în regim blocat;

- studiile teoretice au fost realizate pentru amestecuri binare NITROX cu concentrații ale oxigenului de 21; 32,5; 40; 50 și 60%, amestecuri standardizate în scufundări autonome cu destinație specială;

- calculele teoretice pentru dimensionarea ajutoarelor s-au efectuat corespunzător domeniilor de regim blocat al debitelor masice necesare a fi injectate în sistem. Corespunzător debitelor masice de amestecuri binare NITROX impuse de diferite activități ale scafandrilor și corespunzător adâncimilor maxime de intervenție, au rezultat diametre caracteristice d_1 cuprinse între 0,1 mm și 0,6 mm;

- calculele teoretice pentru determinarea debitelor masice în regim de blocaj Q_a , injectate prin ajutoare, s-au efectuat la diferite presiuni de alimentare p_0 , pentru diferite amestecuri binare NITROX și pentru diferite diametre caracteristice d_1 . Calculele au pus în evidență faptul că debitele masice blocate pentru același diametru d_1 și aceleași condiții de presiune p_0 , sunt practic egale pentru toate amestecurile NITROX;

- presiunile critice p_{cr} , teoretice, sunt determinate de adâncime maximă de imersie, dictată la rândul ei de tipul amestecului, astfel încât să se evite depășirea limitei maxime a presiunii parțiale a oxigenului [$p_{O_2} < 1,6...2,0$ bar (sc. abs.)];

- debitele de amestecuri NITROX în regim de blocaj, determinate experimental, sunt foarte apropiate ca valoare de cele stabilite teoretic, abaterea maximă nedepășind 2%, procentaj care reprezintă eroarea de măsură specifică rotametrului. Deci, se poate afirma că, pentru un anumit ajutor și pentru aceleași condiții de presiune și temperatură, debitele determinate experimental coincid practic cu debitele determinate teoretic;

- presiunile critice p_{cr} , determinate experimental sunt mai mari decât cele stabilite teoretic, diferența de până la 0,9 bar fiind datorată variațiilor foarte mici ale debitului în afara zonei de regim blocat, insesizabile la debitmetru. În calculele de proiectare se pot utiliza valorile teoretice ale lui p_{cr} ;

- în afara domeniului de debit blocat, pe prima porțiune de după presiunea critică, scăderea foarte lentă a debitului (chiar cu 1% la o creștere a presiunii cu 1 bar) creează un important avantaj prin aceea că, pentru o eventuală depășire cu câțiva metri a adâncimii limită, teoretice, de scufundare, debitul de amestec gazos injectat rămâne practic același, fără să fie afectată buna funcționare a aparatului;

– experimentele au pus în evidență faptul că forma ajutorului (convergent sau cilindric) nu influențează valorile debitelor injectate, determinant fiind diametrul caracteristic d_1 .

Studiul teoretic și experimental al ajutorilor aparținând blocului de injecție masică a pus în evidență faptul că rezultatele experimentale confirmă rezultatele teoretice.

Blocul de injecție masică echipat cu ajutori de injecție de tipul celor studiate va putea asigura o livrare în regim permanent a unui debit masic blocat de amestec gazos către sacul respirator al aparatului de respirat sub apă cu mare autonomie, cu circuit semiînchis, utilizând amestecuri binare supraoxigenate.

a) *Calculul parametrilor amestecului gazos din sacul respirator*

Calculul parametrilor amestecului gazos din sacul respirator se efectuează plecând de la bilanțul debitelor volumice de gaze în cazul funcționării în diferite regimuri date de consumul de oxigen al utilizatorului pentru diferite activități subacvatice. Bilanțul debitelor este prezentat grafic în schema de calcul a sacului respirator din figura 5.6, paragraful 5.2.1.

Pentru calcule s-au folosit următoarele relații:

– pentru calculul participației volumice a oxigenului în amestecul gazos din sacul respirator (relația 5-40):

$$r_{O_2,s} = \frac{Q_{O_2,i} - Q_{O_2,c}}{Q_{a,i} - Q_{O_2,c}}, \quad (5-75)$$

– pentru calculul participației volumice a azotului din amestecul gazos al sacului respirator:

$$r_{N_2,s} = 1 - r_{O_2,s}, \quad (5-76)$$

unde: $Q_{O_2,i}$ este debitul volumic de oxigen din amestecul respirator injectat în sac; $Q_{O_2,i} = r_{O_2,i} Q_{a,i}$, $Q_{O_2,c}$ debitul volumic de oxigen consumat de scafandru, $Q_{a,i}$ debitul volumic gazos injectat în sacul respirator, iar $r_{O_2,i}$ participația volumică de oxigen din amestecul gazos injectat în sacul respirator.

Calculul au fost efectuate pentru amestecuri NITROX cu concentrația oxigenului de 32,5; 40; 50 și 60% injectate în sacul respirator și pentru consumuri de oxigen ale scafandrului cuprinse între 0,5 și 2 Nl/min cu pasul de 0,5 Nl/min. Rezultatele calculului sunt prezentate grafic în figura 5.28 pentru amestec NITROX 32,5/67,5 (32,5% N_2 și 67,5% N_2), în figura 5.29 pentru amestec NITROX 40/60, în figura 5.30 pentru amestec NITROX 50/50 și în figura 5.31 pentru amestec NITROX 60/40.

Experimentările au fost efectuate cu 37 de subiecți diferiți, dintre care o parte au fost folosiți la toate scufundările, iar o parte, de cel mult de două ori la aceeași scufundare. Lotul de subiecți pentru experimentări a fost un lot eterogen, ales în mod aleatoriu dintre scafandri profesioniști, amatori și începători (cursanți). Vârstele subiecților au fost cuprinse între 19 și 47 ani.

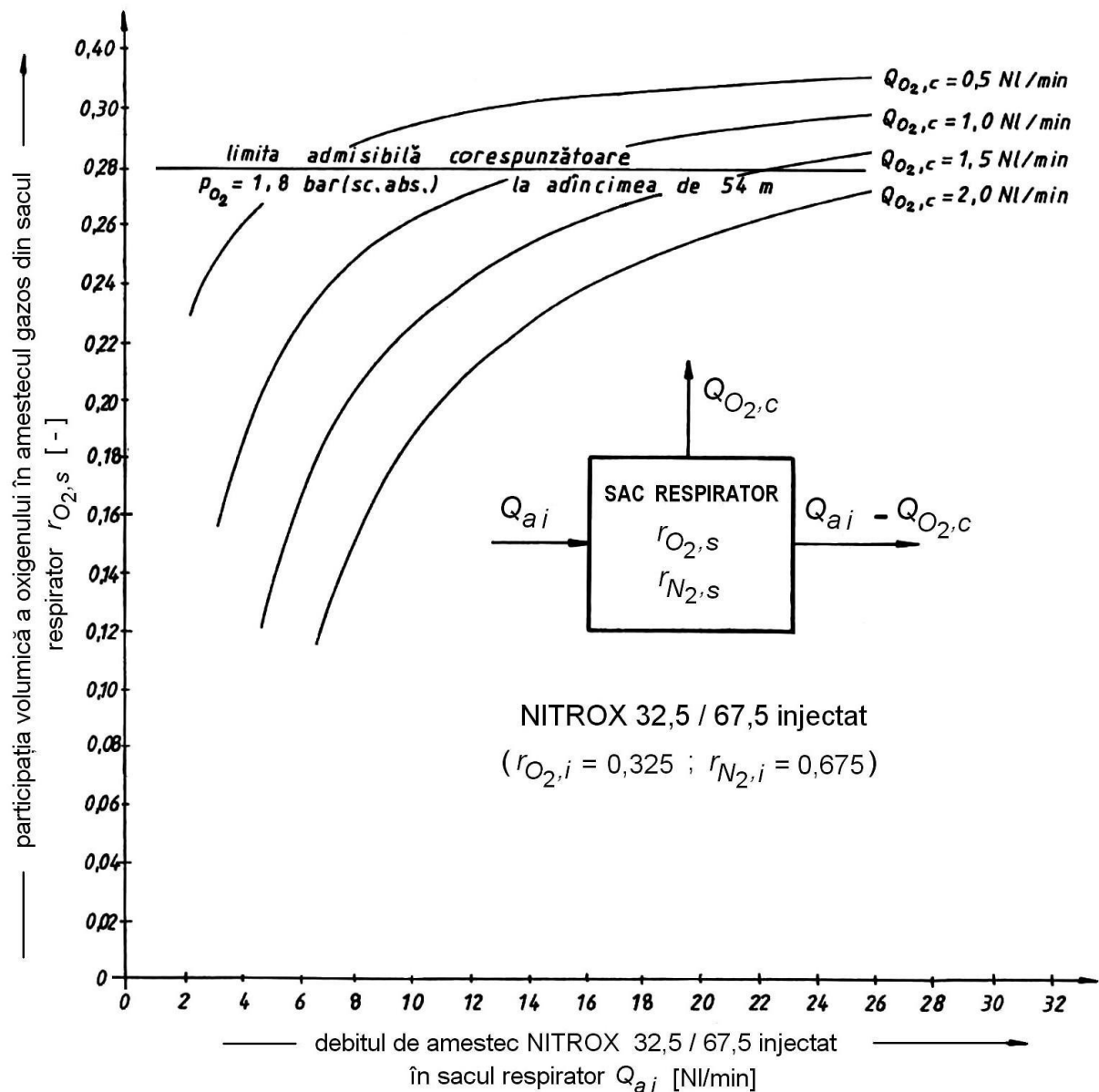


Fig. 5.28. Variațiile participațiilor volumice ale oxigenului din amestecul gazos din sacul respirator $r_{O_2,s}$, la diferite consumuri de oxigen $Q_{O_2,c}$, funcție de debitul de amestec NITROX 32,5/67,5 injectat în sacul respirator Q_{ai} .

O primă serie de încercări a fost efectuată cu aparatul de respirat cu circuit semiînchis reglat pentru un debit continuu de amestec NITROX 40/60 (40% oxigen) de 1,8 NI/min (106 NI/h) în condiții hiperbarice uscate (în barocamere) și la presiunea atmosferică, subiecții aflați în repaus, poziția așezat, precum și în condiții reale, imersați în apă. S-a pornit cu acest debit redus, gândindu-se la o autonomie cât mai mare, dar acest lucru s-a dovedit a nu fi de importanță absolută. Pe timpul experimentărilor s-a respirat timp de 30 minute, în condiții de presiune și temperatură constantă, efectuându-se măsurători ale concentrației de oxigen din sacul respirator din 5 în 5 minute începând cu minutul 10.

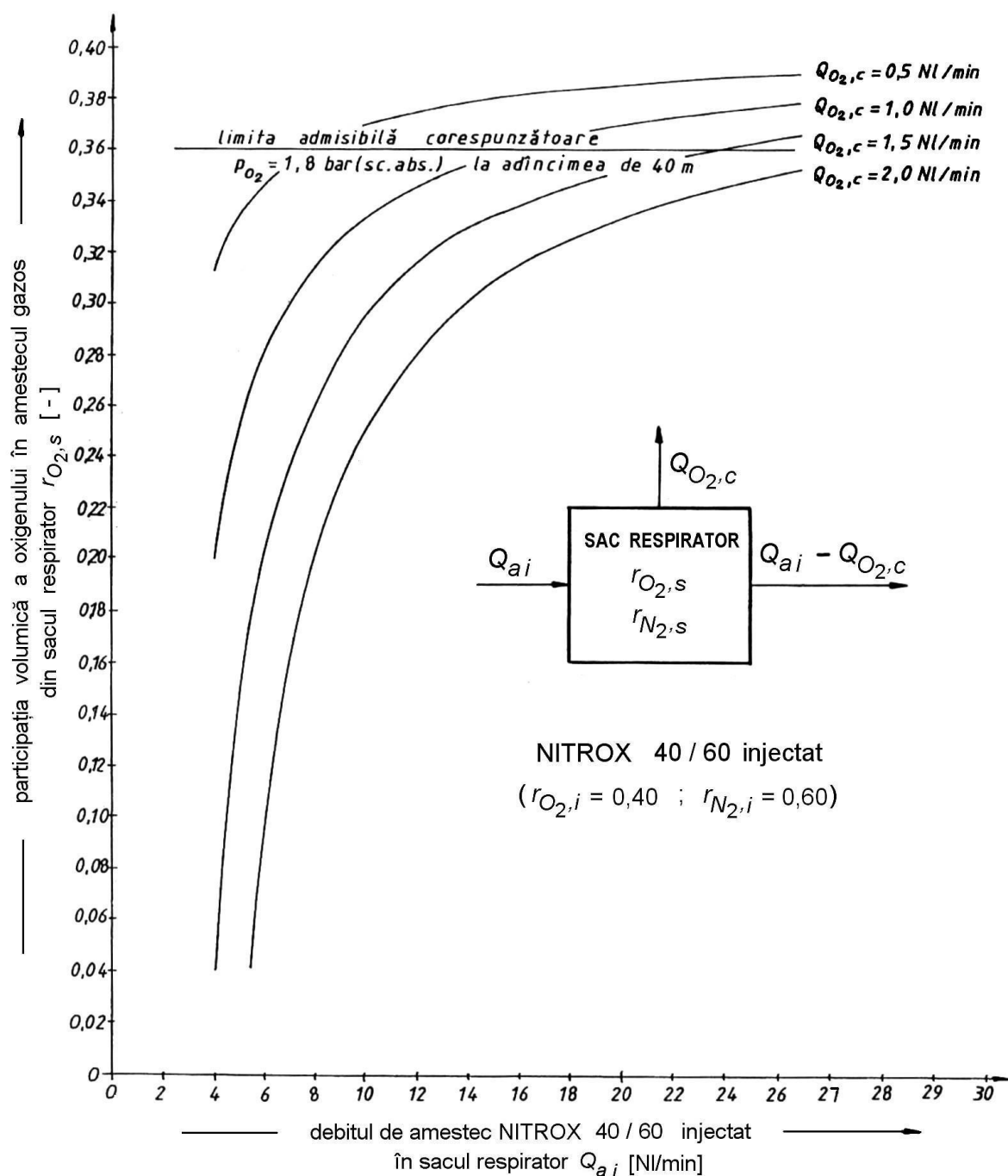


Fig. 5.29. Variațiile participațiilor volumice ale oxigenului din amestecul gazos din sacul respirator $r_{O_2,s}$, la diferite consumuri de oxigen $Q_{O_2,c}$, funcție de debitul de amestec NITROX 40/60 injectat în sacul respirator Q_{ai} .

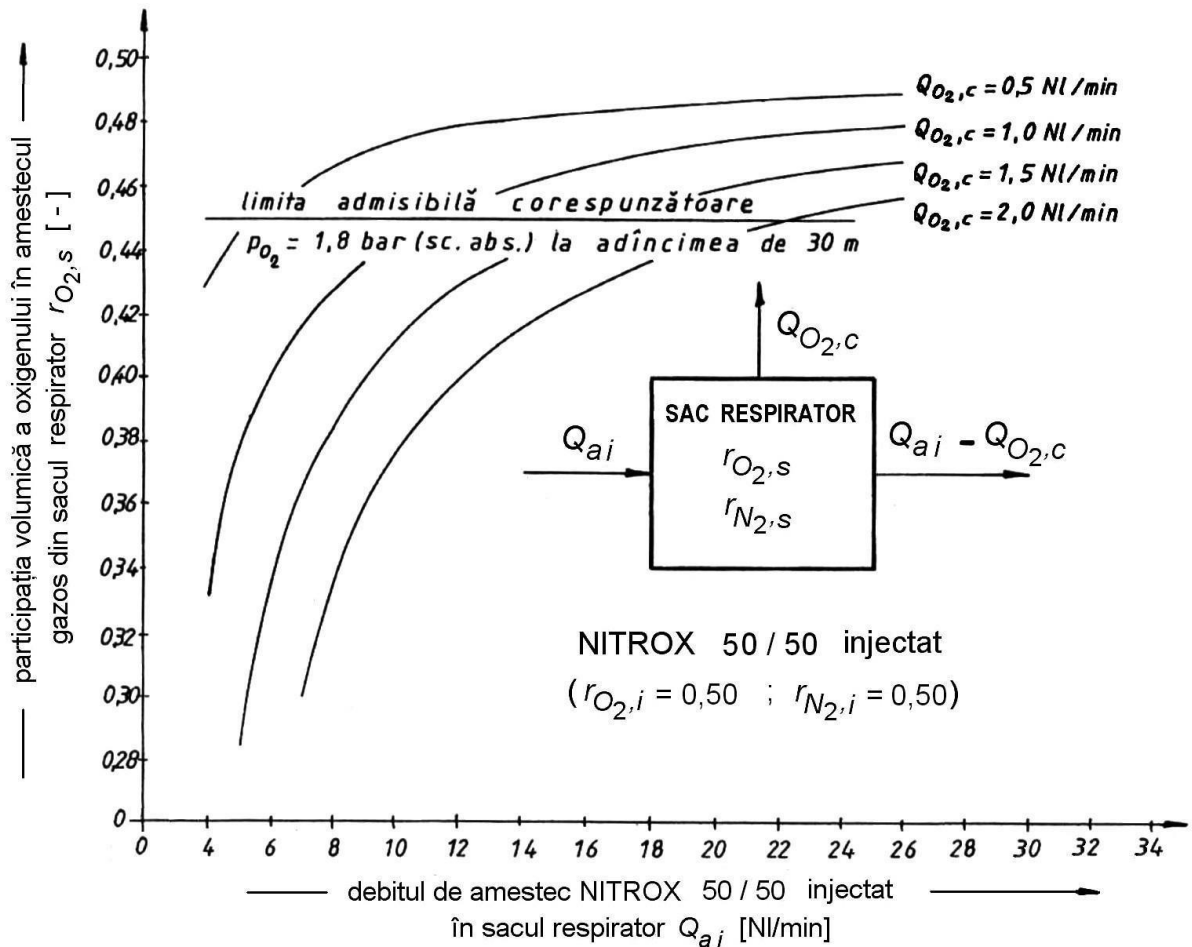


Fig. 5.30. Variațiile participațiilor volumice ale oxigenului din amestecul gazos din sacul respirator $r_{O_2,s}$, la diferite consumuri de oxigen $Q_{O_2,c}$, funcție de debitul de amestec NITROX 50/50 injectat în sacul respirator Q_{ai} .

Măsurătorile au fost efectuate cu ajutorul unui analizor de oxigen tip Taylor-Servomex a cărui clasă de precizie este de 0,1. S-au efectuat măsurători la 87 de subiecți. Rezultatele măsurătorilor sunt prezentate în tabelele 5.10 și 5.11, iar în figura 5.32 sunt reprezentate grafic variațiile participațiilor volumice din amestecul gazos al sacului respirator, pentru diferite situații în care au fost executate măsurătorile.

Din analiza datelor prezentate în tabelele 5.10 și 5.11 și din figura 5.32 se pot trage următoarele concluzii:

- debitul de amestec NITROX 40/60 (40% oxigen) ales, de 1,8 Nl/min, satisface nevoile de consum ale scafandrilor pentru condiții de repaus în mediul hiperbaric uscat sau în imersie;

- abaterea medie pătratică a participațiilor volumice ale oxigenului din amestecul gazos din sacul respirator, ca urmare a consumului scafandrilor, este mare. Cea mai mare abatere este remarcată în experimentul efectuat la presiunea atmosferică (între 19,9% și 32% oxigen), deci o plajă de variație a concentrației de oxigen de 12,1%, care nu poate fi acceptată pentru condiții reale. Cea mai mică variație a fost de 4,2%,

la experimentul în condiții hiperbare uscate (barocameră) la 3,1 bar (sc. abs.), dar și aceasta este destul de mare;

– concentrația minimă a oxigenului din sacul respirator, după consumul scafandrilor, atinge valoarea celei din aerul atmosferic, ceea ce nu conferă utilizării acestui debit de amestec NITROX supraoxigenat alt avantaj decât cel legat de autonomie, nu și un randament al scufundării sporit;

– datele experimentale sunt pentru scafandrii în stare de repaus, în următoarele condiții:

1. La presiunea atmosferică, 1 bar (sc. abs.), (15 subiecți); consum mediu de oxigen: $Q_{O_2,c} = 0,33 \pm 0,06$ NI/min ;
2. La presiunea de 3,1 bar (sc. abs.), în mediu hiperbaric uscat (barocameră) (15 subiecți); consum mediu de oxigen: $Q_{O_2,c} = 0,29 \pm 0,03$ NI/min ;

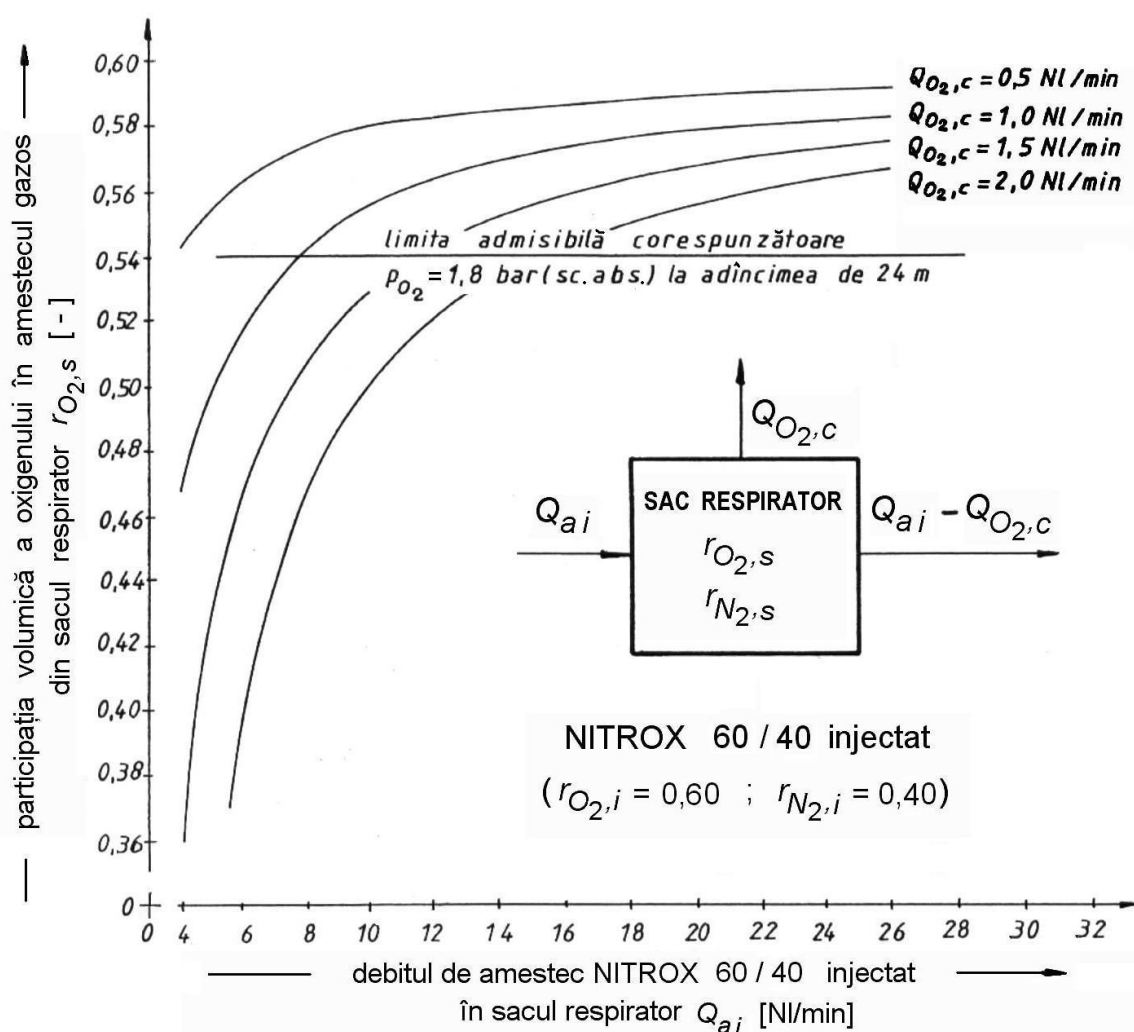


Fig. 5.31. Variațiile participațiilor volumice ale oxigenului din amestecul gazos din sacul respirator $r_{O_2,s}$, la diferite consumuri de oxigen $Q_{O_2,c}$, funcție de debitul de amestec NITROX 60/40 injectat în sacul respirator Q_{ai} .

3. La presiunea de 5,2 bar (sc. abs.), în mediu hiperbaric (barocameră) (14 subiecți); consum mediu de oxigen: $Q_{O_2,c} = 0,28 \pm 0,04$ Nl/min ;
 4. La presiunea de 1,1 bar (sc. abs.), în imersie (15 subiecți); consum mediu de oxigen: $Q_{O_2,c} = 0,35 \pm 0,05$ Nl/min ;
 5. La presiunea de 3,1 bar (sc. abs.), în imersie (13 subiecți); consum mediu de oxigen: $Q_{O_2,c} = 0,32 \pm 0,03$ Nl/min ;
 6. La presiunea de 5,2 bar (sc. abs.), în imersie (15 subiecți); consum mediu de oxigen: $Q_{O_2,c} = 0,28 \pm 0,05$ Nl/min ;
- datorită utilizării, la măsurători, a unui analizor de oxigen cu clasa de precizie foarte bună (0,1), rezultatele experimentale privind variația participăției volumice de oxigen din sacul respirator se suprapun cu cele rezultate din calcul.

Tabelul 5.10

Datele experimentale obținute la utilizarea aparatului de respirat sub apă cu circuit semiînchis de mare autonomie, în mediu hiperbaric uscat (barocameră) cu debit de amestec NITROX 40/60 (40% oxigen) injectat $Q_{ai} = 1,8$ Nl/min

Subiect	Vârsta [ani]	P r e s i u n e a					
		atmosferică		3,1 bar (sc. abs.)		5,2 bar (sc. abs.)	
		$Q_{O_2,c}$ [Nl/min]	% $O_{2,s}$	$Q_{O_2,c}$ [Nl/min]	% $O_{2,s}$	$Q_{O_2,c}$ [Nl/min]	% $O_{2,s}$
SL	31	0,34	25,6±0,62	0,23	31,0±0,35	0,21	31,7±0,26
GM	38	0,45	19,9±0,82	0,32	27,0±0,50	0,34	25,4±0,34
BV	36	0,36	24,1±0,97	0,30	27,8±0,69	0,29	28,4±0,69
SA	29	0,22	31,5±0,84	0,23	31,7±1,02		
GM	38	0,37	24,1±0,55	0,31	27,1±0,50		
SL	31	0,29	28,1±0,52	0,24	30,5±0,38		
NP	20	0,42	21,4±0,74	0,33	26,8±1,82	0,36	24,6±0,49
MI	20	0,34	25,4±0,65	0,31	27,7±1,07	0,30	27,6±0,75
OG	20	0,31	27,0±0,84			0,20	29,7±0,87
EF	20	0,34	25,4±1,24	0,26	29,6±0,41	0,28	28,8±0,64
PD	35	0,23	31,2±1,35	0,26	29,6±0,54	0,25	29,9±0,38
BA	41	0,25	30,3±0,42				
MM	32	0,34	25,8±0,75				
SG	31	0,30	27,5±0,63				
FR	34	0,32	26,8±1,04	0,29	28,4±0,35	0,23	31,0±0,52
B	31			0,29	26,4±1,30		
D							
PD	25			0,25	30,3±0,80	0,25	29,9±0,43
B	36			0,26	30,2±0,85		
V							
LV	40			0,29	28,4±0,12	0,35	26,3±1,34
PD	25					0,26	29,8±0,27
TP	34					0,29	28,9±1,24
Media		0,33	26,3±3,30	0,29	28,9±1,52	0,28	28,7±2,06

Tabelul 5.11

Datele experimentale obținute la utilizarea aparatului de respirat sub apă cu circuit semiînchis de mare autonomie, la imersia în apă, în condiții de repaus, cu debit de amestec NITROX 40/60 (40% oxigen) injectat $Q_{ai} = 1,8 \text{ Nl/min}$

Subiect	Vârsta [ani]	P r e s i u n e a					
		1,1 bar (sc. abs.)		3,1 bar (sc. abs.)		5,2 bar (sc. abs.)	
		$Q_{O_2,c}$ [Nl/min]	% $O_{2,sac}$	$Q_{O_2,c}$ [Nl/min]	% $O_{2,sac}$	$Q_{O_2,c}$ [Nl/min]	% $O_{2,sac}$
SL	31	0,30	27,7±0,50			0,29	28,3±1,25
BV	36	0,30	27,7±0,43	0,32	26,9±0,85	0,23	31,0±0,00
AM	33	0,33	26,4±0,65			0,36	24,9±1,38
DG	20	0,41	21,9±0,51				
GC	19	0,41	21,9±0,51	0,30	27,5±0,71		
SA	29	0,28	23,7±1,18	0,27	29,4±1,08	0,20	32,5±1,06
CI	20	0,43	20,5±0,39				
PD	35	0,30	27,7±0,48	0,29	28,5±1,11	0,27	28,5±1,22
IM	20	0,36	24,6±0,48				
LV	40	0,40	22,8±1,10	0,37	24,5±1,94	0,36	24,4±2,05
BV	36	0,33	26,2±1,21			0,28	28,5±1,29
SA	29	0,30	28,0±0,79			0,23	31,0±0,50
MM	32	0,36	24,6±0,65	0,29	28,4±0,63	0,24	30,5±0,50
LV	40	0,36	24,9±0,42			0,28	28,5±1,32
BG	20			0,30	28,2±1,80		
IG	20			0,32	26,8±1,15		
PA	41			0,34	25,5±0,82		
PD	35			0,31	27,1±0,30		
MM	32			0,34	25,8±0,59	0,27	29,0±1,32
JC	20			0,37	24,3±1,85	0,29	28,3±1,93
SL	31					0,31	27,1±1,75
MM	32					0,26	29,5±1,29
Media		0,35	24,9±2,40	0,32	26,8±1,60	0,28	28,6±2,18

Ca urmare a concluziilor de mai sus s-a trecut la etapa a doua de experimentări, în care debitul de amestec NITROX a fost mărit la 10,5 Nl/min (630 Nl/h). Pentru că pe timpul acestor experimentări a fost utilizat un amestec NITROX 38/62 (cu concentrația oxigenului de 38%), calculele au fost refăcute pentru acest amestec. Experimentările s-au realizat cu un număr de 81 subiecți care au format un lot eterogen, în condiții de efort dozat (30 W) în mediu hiperbaric uscat și în imersie în apă. Efortul a fost realizat prin ridicarea unei greutate, cu ajutorul unui picior într-un ritm specific caracteristicilor morfometrice ale subiecților. Condițiile privind efectuarea analizei concentrației de oxigen din sacul respirator au fost aceleași ca și la etapa precedentă.

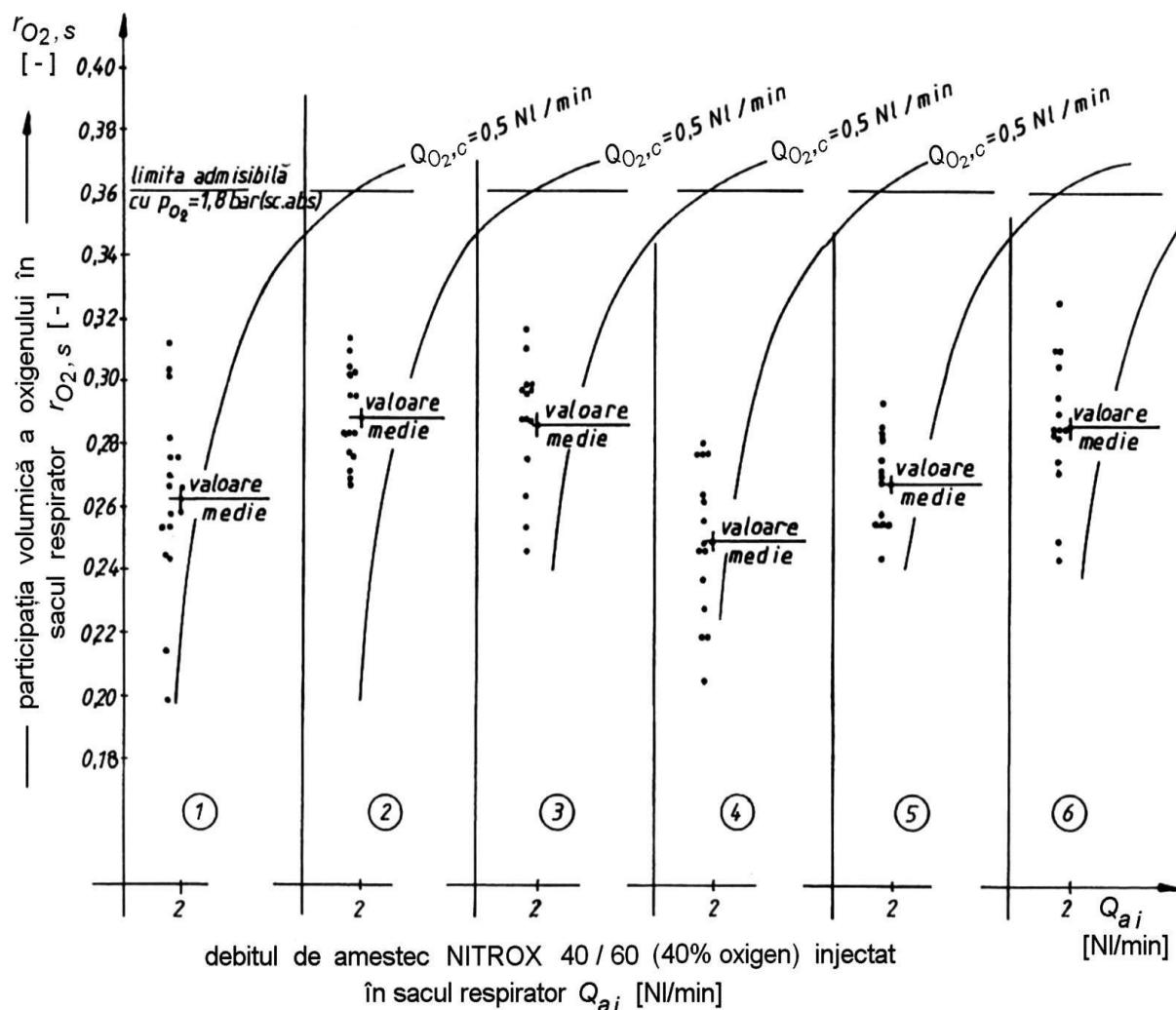


Fig. 5.32. Variația participațiilor volumice de oxigen din sacul respirator $r_{O_2,s}$, funcție de consumul scafandului $Q_{O_2,c}$, la un debit de amestec NITROX 40/60 (40% oxigen) injectat $Q_{ai} = 1,8$ Nl/min, pentru cele 6 situații prezentate în text. Punctele din grafice reprezintă valorile experimentale, iar curbele continue rezultă din calcule teoretice pentru $Q_{O_2,c} = 0,5$ Nl/min.

Rezultatele determinărilor experimentale sunt prezentate în tabelele 5.12 și 5.13, iar în figura 5.33 sunt reprezentate grafic variațiile participațiilor volumice ale oxigenului din amestecul gazos al sacului respirator $r_{O_2,s}$, pentru diferite situații în care au fost executate experimentările.

Tabelul 5.12

Datele experimentale obținute la utilizarea aparatului de respirat sub apă cu circuit semiînchis de mare autonomie, în mediu hiperbaric uscat, în condiții de efort dozat (30 W) cu debit de amestec NITROX 38/62 (38% oxigen) injectat $Q_{ai} = 10,5 \text{ Nl/min}$

Subiect	Vârsta [ani]	P r e s i u n e a					
		1,5 bar (sc. abs.)		3,4 bar (sc. abs.)		5,2 bar (sc. abs.)	
		$Q_{O_2,c}$ [Nl/min]	$\%O_{2,sac}$	$Q_{O_2,c}$ [Nl/min]	$\%O_{2,sac}$	$Q_{O_2,c}$ [Nl/min]	$\%O_{2,sac}$
LV	40	0,98	32,8±0,45			0,77	33,5±0,72
BV	36	0,85	33,7±0,43	0,78	33,9±0,96	0,72	33,0±0,06
PD	35	1,01	32,6±0,95	1,03	32,3±0,41	0,71	33,0±0,00
IR	47	0,76	34,2±1,50	0,76	34,3±1,04		
TP	35	0,72	34,6±0,55				
SL	32	0,78	34,1±0,42	0,63	35,1±0,65		
BV	36	0,85	33,7±0,90	0,90	33,4±0,65	0,83	32,5±0,57
BA	36	0,89	33,1±0,75	0,76	33,9±0,89		
AN	39	0,99	32,7±0,29				
PD	35	0,96	33,0±0,61				
SA	30	0,89	33,3±1,50	0,94	33,1±0,42	1,00	32,4±0,43
NM	41	1,05	32,1±0,65				
SV	36	1,06	32,3±0,50				
MI	32	0,94	32,7±1,15				
PD	35	0,92	33,1±0,42				
PM	36			0,81	33,6±0,96	1,01	31,2±1,50
VB	37			1,05	32,3±0,27	1,06	32,0±0,31
SL	32			1,01	32,4±0,22		
MA	30			0,80	33,0±0,50		
HP	34			0,87	32,2±1,14	0,90	31,6±0,25
FC	36			1,25	31,3±0,35		
SA	30					0,70	33,4±0,43
PM	36					0,83	32,4±0,63
AM	33					0,83	32,3±1,04
CF	31					0,85	32,0±0,00
VS	31					0,97	31,4±0,48
BL	37					0,64	33,5±0,52
AD	32					0,86	32,3±1,04
RM	39					0,77	33,0±0,10
CF	31					0,86	32,4±0,25
BD	33					0,78	32,6±0,25
SA	30					0,97	31,4±0,63
AD	32					1,06	30,4±0,25
PM	36					0,99	30,5±1,08
CF	31					1,11	30,5±0,63
BD	33					1,18	30,3±0,35
ID	33					0,90	32,1±0,25
NV	39					0,88	30,7±0,21
Media		0,91	33,2±0,73	0,90	33,1±1,03	0,89	32,1±0,97

Tabelul 5.13

Datele experimentale obținute la utilizarea aparatului de respirat sub apă cu circuit semî închis de mare autonomie, în imersie, în condiții de efort dozat (30 W), cu debit de amestec NITROX 38/62 (38% oxigen) injectat $Q_{ai} = 10,5 \text{ Nl/min}$

Subiect	Vârsta [ani]	P r e s i u n e a					
		1,5 bar (sc. abs.)		3,4 bar (sc. abs.)		5,2 bar (sc. abs.)	
		$Q_{O_2,c}$ [Nl/min]	% $O_{2,sac}$	$Q_{O_2,c}$ [Nl/min]	% $O_{2,sac}$	$Q_{O_2,c}$ [Nl/min]	% $O_{2,sac}$
LV	41	1,02	30,8±0,29	1,09	31,1±0,55		
PM	36	1,08	30,3±0,27	0,94	31,8±0,24	1,22	29,7±0,36
ID	33	1,17	29,6±0,25				
PM	36	1,01	30,8±0,26	0,76	33,1±0,25	0,77	31,9±0,48
HP	34	1,16	30,0±0,65				
SA	30	0,87	31,4±1,31	1,09	31,3±1,03	0,88	31,7±0,14
DF	25	1,29	29,0±0,60				
CF	31	1,13	30,0±0,00				
LV	41	1,19	30,2±0,47				
SL	32	1,26	29,4±0,75	0,86	32,5±0,00	0,81	32,4±0,31
BV	36	0,97	31,0±0,82	0,90	32,1±0,82	1,20	30,0±0,00
PD	35	1,15	29,9±1,34	0,87	32,6±0,65		
SL	32	1,13	30,4±0,22			1,27	29,4±0,25
SA	30	0,97	31,3±1,32			0,84	31,5±0,00
PA	41			0,98	31,6±0,43		
NV	39			0,96	32,0±0,54	1,41	28,5±0,20
BV	36			1,08	31,3±0,50		
MM	32			1,02	31,1±0,48	0,84	31,4±0,48
BT	20			1,21	30,4±1,12		
DG	20					1,21	29,7±0,47
NV	39					1,03	31,2±0,24
MM	32					0,65	32,5±0,70
Media		1,10	30,3±0,71	0,98	31,7±0,77	1,01	30,8±1,30

Din analiza datelor prezentate în tabelele 5.12 și 5.13 și din figura 5.33 se pot trage următoarele concluzii:

- debitul de amestec NITROX ales ($Q_{ai} = 10,5 \text{ Nl/min}$) satisface nevoile de consum ale scafandrilor în condiții de efort, în mediul hiperbaric uscat sau în imersie;
- abaterea medie pătratică a participației volumice a oxigenului din amestecul respirator, ca urmare a consumului scafandrului, se încadrează în limitele $\pm 1\%$, cu un maxim de $\pm 2\%$, ceea ce permite utilizarea aparatului în condiții de securitate și revenirea la presiunea atmosferică după tabelele calculate pentru amestecuri supraoxigenate cu 30% oxigen;
- datorită utilizării unui analizor de oxigen cu clasa de precizie foarte bună (0,1), rezultatele experimentale privind variația participației volumice de oxigen din amestecul gazos al sacului respirator, funcție de consumul scafandrului, se suprapun cu cele rezultate din calcul;

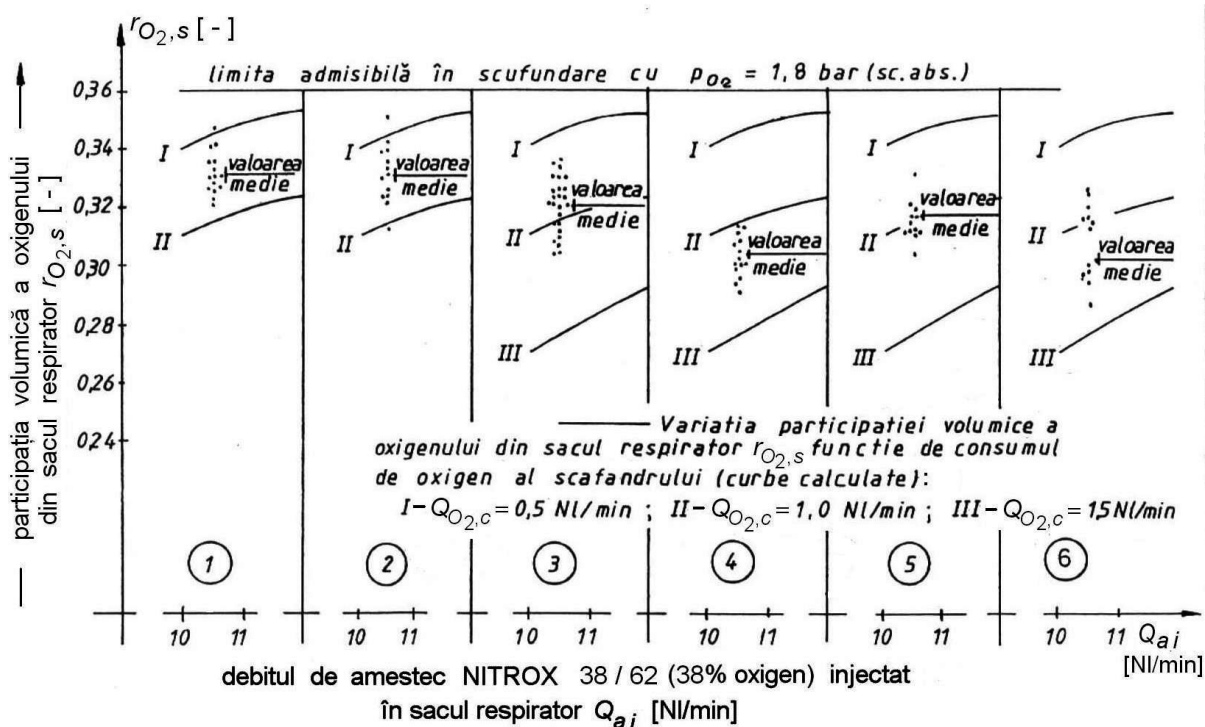


Fig. 5.33. Variația participățiilor volumice de oxigen din amestecul gazos al sacului respirator $r_{O_2,s}$, funcție de consumul scafandruului $Q_{O_2,c}$, la un debit de amestec NITROX 38/62 (38% oxigen) injectat $Q_{ai} = 10,5 \text{ Nl/min}$, pentru cele 6 situații prezentate în text.

– datele experimentale pentru scafandri supuși unui efort dozat (30 W), au fost obținute în următoarele condiții:

1. La presiunea de 1,5 bar (sc. abs.) (15 subiecți); consum mediu de oxigen: $Q_{O_2,c} = 0,91 \pm 0,10 \text{ Nl/min}$, în mediu hiperbaric uscat (barocameră);
2. La presiunea de 3,4 bar (sc. abs.) (13 subiecți); consum mediu de oxigen: $Q_{O_2,c} = 0,90 \pm 0,16 \text{ Nl/min}$, în mediu hiperbaric uscat (barocameră);
3. La presiunea de 5,2 bar (sc. abs.) (25 subiecți); consum mediu de oxigen: $Q_{O_2,c} = 0,89 \pm 0,14 \text{ Nl/min}$, în mediu hiperbaric uscat (barocameră);
4. La presiunea de 1,5 bar (sc. abs.) (14 subiecți); consum mediu de oxigen: $Q_{O_2,c} = 1,10 \pm 0,12 \text{ Nl/min}$, în imersie;
5. La presiunea de 3,4 bar (sc. abs.) (12 subiecți); consum mediu de oxigen: $Q_{O_2,c} = 0,98 \pm 0,13 \text{ Nl/min}$, în imersie;
6. La presiunea de 5,2 bar (sc. abs.) (12 subiecți); consum mediu de oxigen: $Q_{O_2,c} = 1,01 \pm 0,24 \text{ Nl/min}$, în imersie.

Experimentările au continuat și pentru un debit de amestec NITROX injectat, de 12,2 Nl/min. În figura 5.34 sunt prezentate pentru comparație, rezultatele experimentale privind variația participățiilor volumice ale oxigenului din amestec gazos al sacului respirator, funcție de consumul scafandruului, în condiții de scufundare în mediul hiperbaric uscat, la presiunea de 5,2 bar (sc. abs.).

Se remarcă o diferență foarte mică între caracteristicile amestecului gazos din sacul respirator pentru debite de 10,5 Nl/min și 12,2 Nl/min amestec gazos NITROX supraoxigenat, injectat. În aceste situații, unde concentrația de oxigen nu scade sub 30%, se permite revenirea la presiunea atmosferică conform tabelii de decompresie după scufundări cu amestecuri supraoxigenate cu 30% oxigen. Pentru a ilustra mai exact diferențele dintre aparatele de respirat sub apă utilizate și debitul de amestec NITROX injectat în sacul respirator aferent aparatului de respirat sub apă cu circuit semiînchis, este prezentată o comparație în figura 5.35.

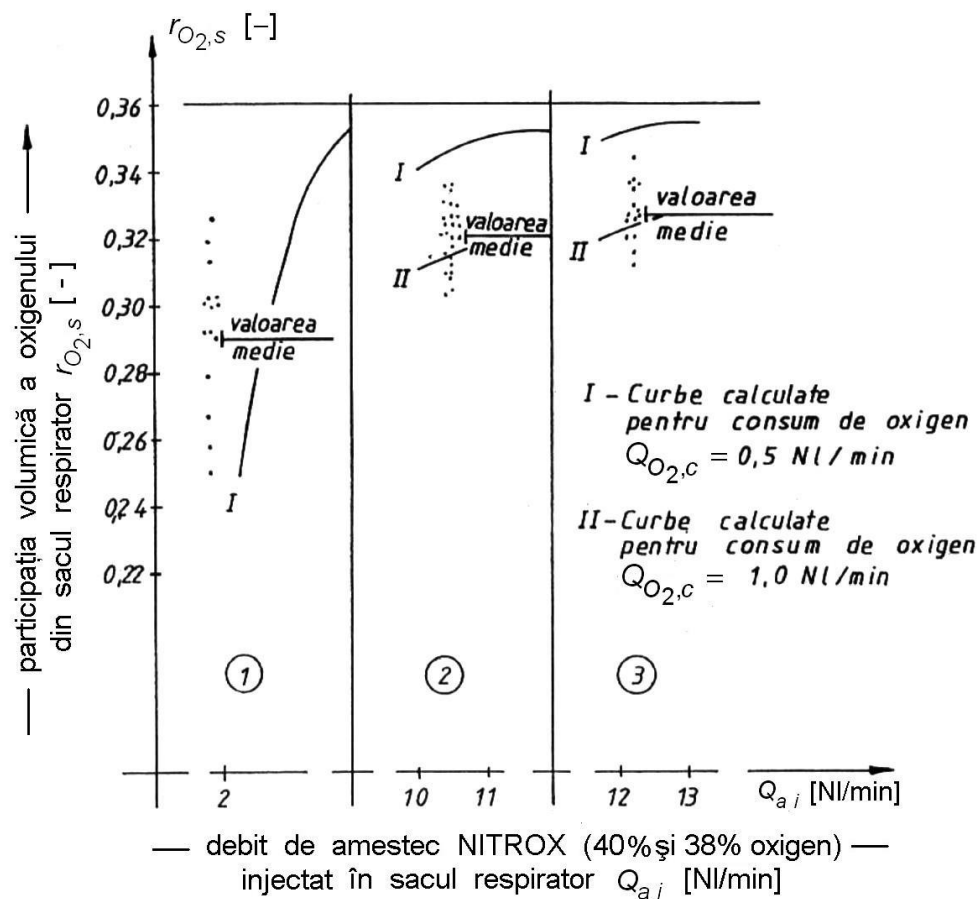


Fig. 5.34. Comparație între rezultatele experimentale obținute pentru participațiile volumice ale oxigenului din sacul respirator $r_{O_2,s}$, funcție de consumul scafandrului $Q_{O_2,c}$, în condiții de scufundare în mediul hiperbaric uscat, la presiunea de 5,2 bar (sc. abs.), pentru cele 3 situații prezentate în text.

Ținând cont de faptul că aparatul de respirat sub apă în circuit semiînchis, cu debit masic constant, este dotat cu o rezervă de amestec gazos NITROX formată din două butelii de 4 l fiecare, presurizate la 200 bar, capacitatea totală fiind de 1600 Nl, din care sunt utilizabili 1480 Nl, s-au făcut calculele privind autonomia aparatului, funcție de consumul scafandrilor, pentru patru situații:

- aparat de respirat sub apă cu circuit deschis: 26 minute autonomie;
- aparat de respirat sub apă cu circuit semiînchis, cu debit de amestec NITROX injectat de 1,8 Nl/min: 822 minute autonomie;

- aparat de respirat sub apă cu circuit semiînchis, cu debit de amestec NITROX injectat de 10,5 Nl/min: 140 minute autonomie;
- aparat de respirat sub apă cu circuit semiînchis, cu debit de amestec NITROX injectat de 12,2 Nl/min: 121 minute autonomie.

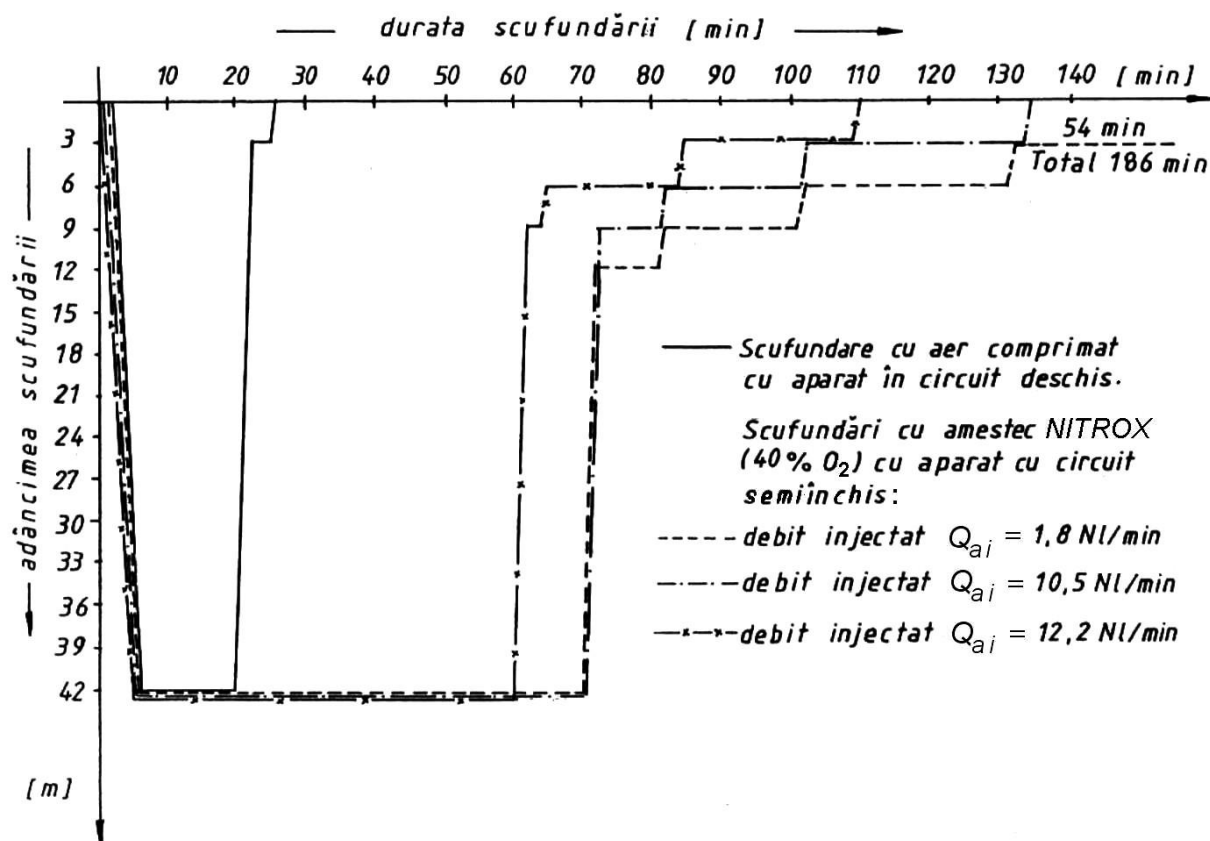


Fig. 5.35. Comparație între utilizarea diferitelor aparate de respirat sub apă la diferite debite de injecție a amestecului NITROX supraoxigenat, la 42 m adâncime. Decompresia este realizată după tabelele LH – 82 și cu amestecuri supraoxigenate, calculate în cadrul Laboratorului Hiperbar din Constanța.

Din datele prezentate mai sus se remarcă o diferență foarte mare între autonomia aparatului de respirat sub apă cu circuit deschis și cele cu circuit semiînchis. Diferențele dintre aceste autonomii sunt mai mult decât semnificative, de 4,6 până la 31,6 ori mai mici, în cazul utilizării aparatului de respirat sub apă cu circuit deschis. O analiză mai completă este realizată printr-o exemplificare (fig. 5.35), pentru o scufundare la 42 m adâncime, ținându-se cont de autonomia aparatelor.

Se remarcă, și în acest exemplu, eficiența aparatului de respirat sub apă cu circuit semiînchis, cu debit masic constant de amestec NITROX injectat.

Datele comparate în figura 5.34 sunt pentru următoarele situații:

1. 15 subiecți în repaus; debit de injecție $Q_{ai} = 1,8 \text{ Nl/min}$;
2. 25 subiecți la efort dozat (30 W); debit de injecție $Q_{ai} = 10,5 \text{ Nl/min}$;
3. 14 subiecți la efort dozat (30 W); debit de injecție $Q_{ai} = 12,2 \text{ Nl/min}$.

Din analiza graficului din figura 5.35 se observă că aparatul de respirat sub apă cu circuit semiînchis, cu debit constant de amestec NITROX mic ($Q_{ai} = 1,8 \text{ Nl/min}$), deși oferă o autonomie foarte mare, nu permite un timp de lucru efectiv sub apă mai mare decât același aparat alimentat cu un debit constant $Q_{ai} = 10,5 \text{ Nl/min}$. În plus, durata decompresiei, în primul caz, este de 186 minute, față de 74 minute în cazul al doilea. Acest lucru se datorează faptului că revenirea la presiunea atmosferică, pentru aparatul alimentat cu debit minim ($Q_{ai} = 1,8 \text{ Nl/min}$) se face după tabela de decompresie cu aer LH – 82, iar pentru aparatul alimentat cu debit $Q_{ai} = 10,5 \text{ Nl/min}$ după tabela cu amestecuri supraoxigenate cu 30% oxigen. Deci, se poate concluziona că este necesară o optimizare în care trebuie luați în considerare următorii factori: debitul de amestec gazos injectat, natura amestecului injectat, consumul de oxigen al scafandrului, timpul efectiv de lucru sub apă și durata revenirii la presiunea atmosferică.

Dacă se definește randamentul scufundării ca fiind raportul dintre timpul efectiv de lucru sub apă t_e și durata totală a scufundării t_t , care cuprinde timpul necesar atingerii adâncimii de lucru, timpul efectiv de lucru sub apă și timpul necesar revenirii la presiunea atmosferică ($\eta_s = t_e / t_t$), atunci există următoarele situații:

- pentru scufundarea cu aparat de respirat sub apă cu circuit deschis, cu aer comprimat, la $t_e = 65$ minute corespunde un $t_t = 186$ minute și deci un randament al scufundării $\eta_s = 65 / 186 = 0,35$;

- pentru scufundarea cu aparat de respirat sub apă cu circuit semiînchis cu amestec NITROX supraoxigenat (40% oxigen) cu debit continuu, constant, $Q_{ai} = 1,8 \text{ Nl/min}$, la $t_e = 65$ minute corespunde un $t_t = 186$ minute și deci un randament al scufundării $\eta_s = 65 / 186 = 0,35$. Acest randament se datorează faptului că revenire la presiunea atmosferică se face tot după tabela cu aer comprimat, ca și în primul caz;

- pentru scufundarea cu aparat de respirat sub apă cu circuit semiînchis, cu amestec NITROX supraoxigenat (40% oxigen) cu debit continuu, constant, $Q_{ai} = 10,5 \text{ Nl/min}$, la $t_e = 65$ minute corespunde un $t_t = 134$ minute și deci un randament al scufundării $\eta_s = 65 / 134 = 0,48$;

- pentru scufundarea cu aparat de respirat sub apă cu circuit semiînchis cu amestec NITROX supraoxigenat (40% oxigen) cu debit continuu, constant, $Q_{ai} = 12,2 \text{ Nl/min}$, la $t_e = 65$ minute corespunde un $t_t = 134$ minute și deci un randament al scufundării $\eta_s = 65 / 134 = 0,48$. Acest randament se datorează faptului că revenirea la presiunea atmosferică, ca și în cazul precedent, se face după tabela de decompresie cu amestec supraoxigenat cu 30% oxigen.

Din analiza datelor prezentate mai sus se poate concluziona:

- caracteristicile aparatelor de respirat sub apă cu circuit semiînchis, cu debite de amestecuri NITROX injectate mai mari de 10 Nl/min oferă un randament sporit scufundărilor, cu 37,5% mai mare decât cel oferit de aparatul de respirat sub apă cu circuit deschis;

– creșterea debitului de amestec NITROX injectat în sacul respirator Q_{ai} de la 10,5 Nl/min la 12,2 Nl/min, nu oferă un avantaj deosebit din punct de vedere al randamentului scufundării, ci dimpotrivă, autonomia aparatului scade cu aproximativ 13,5%;

– pentru amestec NITROX supraoxigenat (40% oxigen), debitul injectat în sacul respirator $Q_{ai} = 10,5$ Nl/min poate fi considerat acceptabil, realizându-se scufundări operaționale până la 42 m adâncime, în deplină securitate și cu randament sporit.

Revenind la graficele privind participațiile volumice de oxigen din amestecul gazos al sacului respirator $r_{O_2,s}$, la diferite consumuri de oxigen $Q_{O_2,c}$, funcție de debitul amestecului NITROX injectat Q_{ai} (fig. 5.28, 5.29, 5.30 și 5.31) și având în vedere faptul că rezultatele experimentale s-au suprapus foarte bine cu cele teoretice, se poate extrapola această concluzie și pentru celelalte amestecuri NITROX supraoxigenate.

Luând în considerare un consum de oxigen mediu de $Q_{O_2,c} = 1,5$ Nl/min, se pot face următoarele afirmații privind utilizarea amestecurilor NITROX supraoxigenate la alimentarea aparatelor de respirat sub apă cu circuit semiînchis, cu debit continuu de amestec gazos injectat în sacul respirator:

– pentru amestec NITROX 32,5/67,5 (32,5% oxigen și 67,5% azot), debitul de amestec injectat în sacul respirator trebuie să fie de $Q_{ai} = 18$ Nl/min, ceea ce corespunde unui ajutoraj de injecție masică cu următoarele caracteristici: diametrul minim al ajutorajului $d_1 = 0,40$ mm, presiunea de amonte $p_0 = 11,73$ bar (sc. abs.) și presiunea critică $p_{cr} = 6,2$ bar (sc. abs.). Decompresia se poate realiza fie după tabela de decompresie cu aer LH – 82, fie după o tabelă specială în care să se țină cont de faptul că amestecul respirator la decompresie conține cel puțin 24% oxigen;

– pentru amestec NITROX 40/60, debitul de amestec injectat în sacul respirator trebuie să fie $Q_{ai} = 16$ Nl/min, ceea ce corespunde unui ajutoraj de injecție masică cu următoarele caracteristici: diametrul minim al ajutorajului $d_1 = 0,40$ mm, presiunea din amonte $p_0 = 10,59$ bar (sc. abs.) și presiunea critică $p_{cr} = 5,6$ bar (sc. abs.). Decompresia se poate realiza după tabela cu amestecuri NITROX supraoxigenate pentru concentrația oxigenului egală cu 30%;

– pentru amestec NITROX 50/50, debitul de amestec injectat în sacul respirator trebuie să fie $Q_{ai} = 12$ Nl/min, ceea ce corespunde unui ajutoraj de injecție masică cu următoarele caracteristici: diametrul minim al ajutorajului $d_1 = 0,40$ mm, presiunea din amonte $p_0 = 8,32$ bar (sc. abs.) și presiunea critică $p_{cr} = 4,4$ bar (sc. abs.). Decompresia se poate realiza după tabela cu amestecuri NITROX supraoxigenate pentru concentrația oxigenului egală cu 40%;

– pentru amestec NITROX 60/40, debitul de amestec injectat în sacul respirator trebuie să fie $Q_{ai} = 10$ Nl/min, ceea ce corespunde unui ajutoraj de injecție masică cu următoarele caracteristici: diametrul minim al ajutorajului $d_1 = 0,40$ mm, presiunea din amonte $p_0 = 6,81$ bar (sc. abs.) și presiunea critică $p_{cr} = 3,6$ bar (sc. abs.).

Decompresia se poate realiza după tabela cu amestecuri NITROX supraoxigenate pentru concentrația oxigenului egală cu 50%.

Se remarcă faptul că, folosind același tip de ajutor de injecție masică din punct de vedere constructiv (cu diametrul colului $d_1 = 0,40$ mm), se pot realiza debitele de amestec injectate în sacul respirator Q_{ai} necesare obținerii diferitelor amestecuri gazoase în sacul respirator, acționându-se numai asupra valorii presiunii din amonte de ajutor p_0 . Acest lucru este posibil deoarece reductorul de presiune ce alimentează ajutorul de injecție masică are posibilitatea de a asigura presiuni în limitele 0 la 14 bar (sc. abs.).

Analizând, prin comparație, posibilitatea de pătrundere sub apă cu diferite amestecuri NITROX, într-o scufundare reală la 24 m adâncime, funcție de autonomia maximă a aparatelor de respirat sub apă cu circuit semiînchis, se obține situația prezentată în figura 5.36.

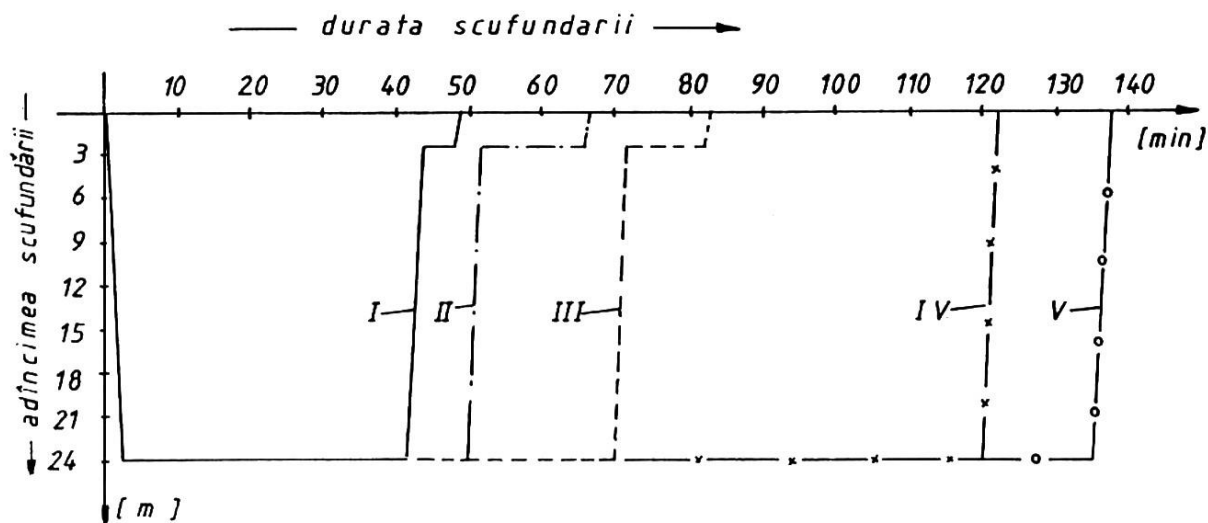


Fig. 5.36. Profilele decompresiilor după o scufundare la 24 m adâncime:

I – cu aparat de respirat sub apă cu circuit deschis, cu aer comprimat, adică amestec NITROX 21/79, cu 21% oxigen;

II – cu aparat de respirat sub apă cu circuit semiînchis, cu amestec NITROX 32,5/67,5, cu 32,5% oxigen;

III – cu aparat de respirat sub apă cu circuit semiînchis, cu amestec NITROX 40/60, cu 40% oxigen;

IV – cu aparat de respirat sub apă cu circuit semiînchis, cu amestec NITROX 50/50, cu 50% oxigen;

V – cu aparat de respirat sub apă cu circuit semiînchis, cu amestec NITROX 60/40, cu 60% oxigen.

Din analiza profilelor de decompresie prezentate în figura 5.36, se poate concluziona faptul că eficiența scufundărilor cu aparatul studiat crește cu 19% pentru amestec NITROX supraoxigenat 32,5/67,4 până la 221,4% pentru amestec NITROX supraoxigenat 60/40, față de utilizarea aparatului de respirat cu circuit deschis, cu aer comprimat. Se remarcă un randament apropiat de 100% la scufundările cu amestecuri NITROX supraoxigenate 50/50 și 60/40, care nu necesită un timp suplimentar pentru revenirea la presiunea atmosferică.

Astfel, se poate afirma că toate calculele teoretice și determinările experimentale legate de proiectarea și stabilirea metodei de lucru cu aparatul de respirat sub apă studiat au fost rezolvate. Spre exemplificare, se prezintă în figura 5.37 blocul de reductoare al aparatului de respirat sub apă cu circuit semiînchis, cu injecție masică constantă de amestec supraoxigenat, cu mare autonomie conceput în cadrul Centrului de Scafandri Constanța, în colaborare cu Departamentul de Hidraulică și Protecția Mediului din Universitatea Tehnică de Construcții București.

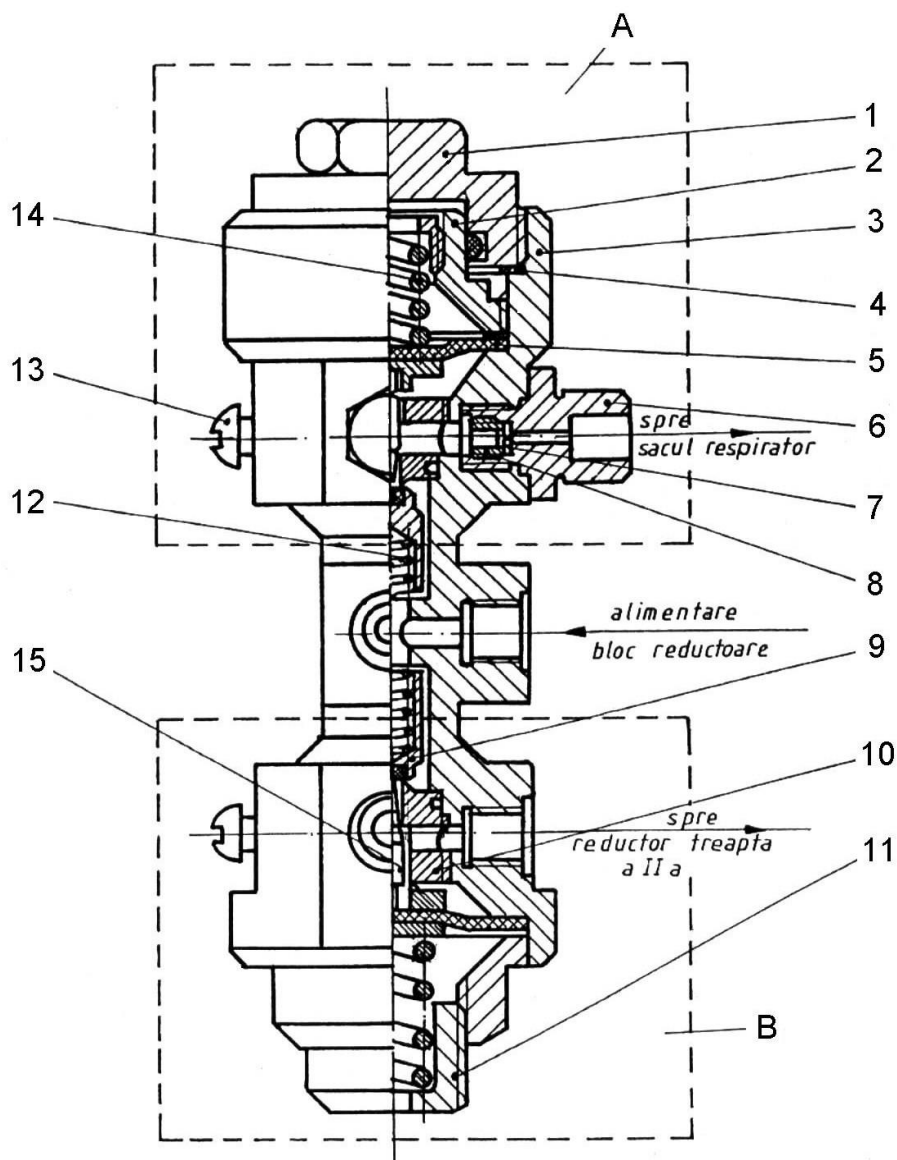


Fig. 5.37. Blocul de reductoare al aparatului de respirat sub apă cu circuit semiînchis:

1 – capac etanș; 2 – piuliță; 3 – corp reductoare; 4 – garnitură; 5 – membrană; 6 – racord injecție masică; 7 – ajutoraj injecție; 8 – suport ajutoraj de injecție; 9 – clapet; 10 – scaun clapet; 11 – șurub reglare; 12 – resort de rapel; 13 – șurub de fixare; 14 – resort reglare; 15 – tijă.

Blocul de reductoare este compus din două elemente principale: reductorul de presiune treapta întâi nepilotat A cu ajutorajul convergent pentru injectarea amestecului

gazos supraoxigenat în sacul respirator, prevăzut cu o piuliță 2 pentru reglarea presiunii din aval de ajutor și reductorul de presiune treapta întâi pilotat de presiunea hidrostatică exterioară B pentru alimentarea reductorului treapta a doua care oferă scafandului, în condiții de securitate, amestec respirator "la cerere", în cazul unor eventuale defecțiuni ale sistemului, direct din buteliile de stocare, obligându-l să revină la presiunea atmosferică.

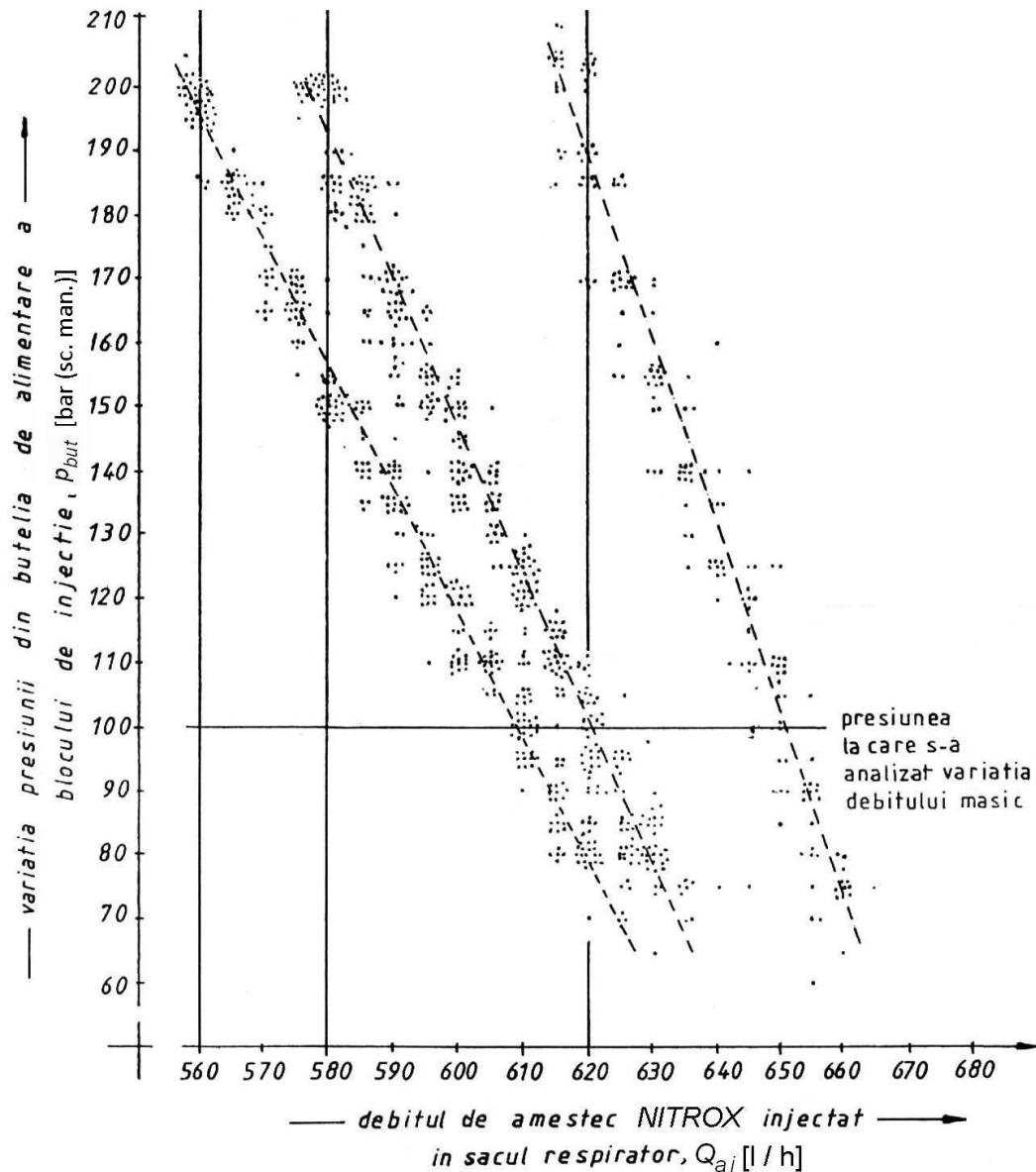


Fig. 5.38. Variația debitului de amestec NITROX injectat în sacul respirator Q_{ai} , funcție de variația presiunii din butelia de alimentare a blocului de injecție p_{but} .

Determinări experimentale.

Sacul respirator a fost realizat cu o capacitate de 4...5 l, iar filtrele pentru reținerea dioxidului de carbon au fost concepute astfel încât să asigure întreaga autonomie oferită de cele două butelii de 4 l umplute cu amestec NITROX la 200 bar (sc. man.), cu care este dotat aparatul.

O problemă importantă, care a fost verificată experimental, este cea legată de stabilitatea sistemului proiectat: variația presiunii din buteliile de stocare, caracteristicile reductorului de presiune și debitul de amestec gazos supraoxigenat către sacul respirator. Rezultatele experimentărilor sunt prezentate în figura 5.38. Au fost efectuate un număr de 118 experimentări, pentru același tip de ajutoraj, dar la diferite debite de injecție realizate prin varierea presiunii p_0 din amonte de ajutoraj, astfel: 49 experimentări pentru un debit de 560 Nl/h, 49 experimentări pentru un debit de 580 Nl/h și 20 experimentări pentru un debit de 620 Nl/h. Experimentările au fost efectuate la presiunea atmosferică prin punerea în funcțiune a aparatului și măsurarea, la fiecare 15 minute, a valorii presiunii din buteliile de stocare și a debitului de amestec gazos supraoxigenat injectat spre sacul respirator, rezultatele fiind reprezentate grafic în figura 5.38. Se observă faptul că, în toate cele trei cazuri experimentate, are loc o creștere a debitului de amestec gazos injectat, pe măsură ce presiunea din buteliile de stocare scade. Astfel, la jumătate din presiunea buteliilor de stocare gaze (100 bar) apare o creștere a debitului de amestec injectat în sacul respirator cu 49 Nl/h (0,82 Nl/min) pentru debitul inițial de 560 Nl/h (9,3 Nl/min), cu 40 Nl/h (0,67 Nl/min) pentru debitul inițial de 580 Nl/h (9,7 Nl/min) și cu 31 Nl/h (0,52 Nl/min) pentru debitul inițial de 620 Nl/h (10,3 Nl/min). Deci, apare o creștere a debitului injectat în sacul respirator cu 5...9% față de debitul inițial. Această creștere se pune pe seama variației presiunii din amonte de ajutoraj, datorată elementelor elastice din reductorul de presiune. Reductorul de presiune are în componență arcuri elicoidale de compresiune, calculate pentru sarcina maximă corespunzătoare presiunii la ieșire de 14 bar (sc. man.), deci cu o plajă între 0 și 14 bar (sc. man.). Deoarece caracteristica reală a arcului nu este liniară, iar rigiditatea lui este direct proporțională cu sarcina, atunci este explicabilă creșterea presiunii la sarcini exterioare pe arc, mici.

Ar trebui calculate reductoare de presiune corespunzătoare caracteristicilor fiecărui ajutoraj de injecție în parte, dar soluția adoptată de specialiștii Centrului de Scafandri Constanța a simplificat și universalizat reductorul din punct de vedere constructiv, ținând cont de creșterea relativ mică a debitului injectat în sacul respirator, care nu afectează funcționarea corectă a aparatului.

5.3.2.3. Concepția aparatului de respirat sub apă cu circuit semiînchis, de mare autonomie, pentru scufundări de sistem

O variantă a aparatului de respirat sub apă cu circuit semiînchis, conceput și proiectat prin colaborarea dintre specialiștii din Centrul de Scafandri Constanța și Departamentul de Hidraulică și Protecția Mediului din Universitatea Tehnică de Construcții București, se referă la un aparat autonom pentru scufundări de sistem, care este tot un aparat de scufundare cu circuit semiînchis, cu autonomie sporită, ce permite realizarea unor intervenții subacvatice cu ieșirea din turele de scufundare presurizate sau din camera hiperbarică a unui minisubmarin și revenirea scafandrilor în interiorul acelorași incinte. Schema de principiu a acestui aparat este prezentată în figura 5.39. Folosirea acestui aparat permite scafandrilor o îndepărtare mare de mijlocul suport imersat de până la 100...150 m comparativ cu sistemul actual, cu alimentare din mijlocul imersat prin "ombilical" (un ansamblu format din furtun de alimentare cu amestec respirator, furtun de alimentare cu apă caldă pentru încălzire și cablu de comunicații) de numai 25...30 m.

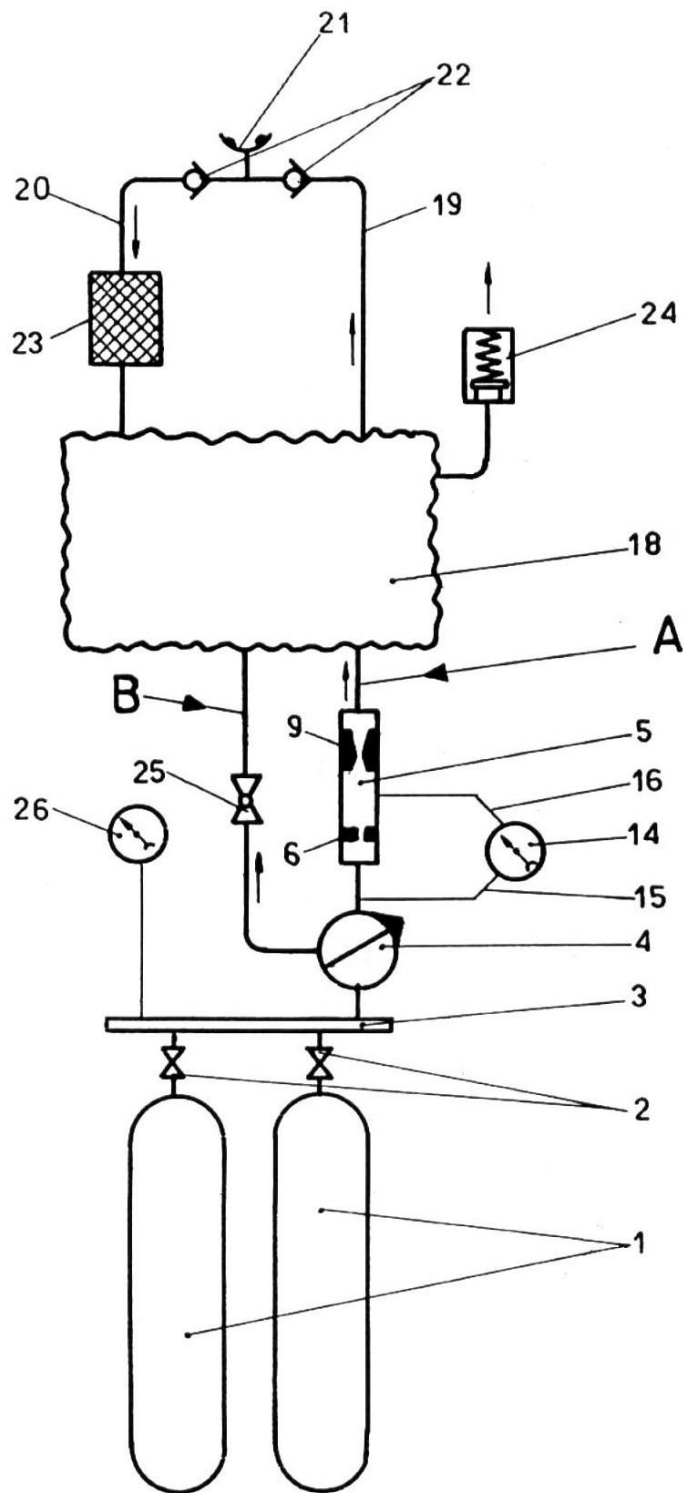


Fig. 5.39. Schema de principiu a aparatului de respirat sub apă cu circuit semiînchis pentru scufundări de sistem: 1 – baterie de butelii; 2 – robineti înaltă presiune; 3 – distribuitor amestec respirator; 4 – reductor de presiune treapta întâi nepilotat; 5 – bloc de injecție și control; 6 – microajutaj cilindric pentru regim subsonic; 9 – microajutaj convergent – divergent; 14 – manometru diferențial; 15, 16 – furtunuri pentru manometru; 18 – sac respirator; 19 – furtun inspirație; 20 – furtun expirație; 21 – muștiuc; 22 – supape unisens; 23 – cartuş filtrant pentru CO₂; 24 – supapă evacuare; 25 – vană de spălare; 26 – manometru control presiune.

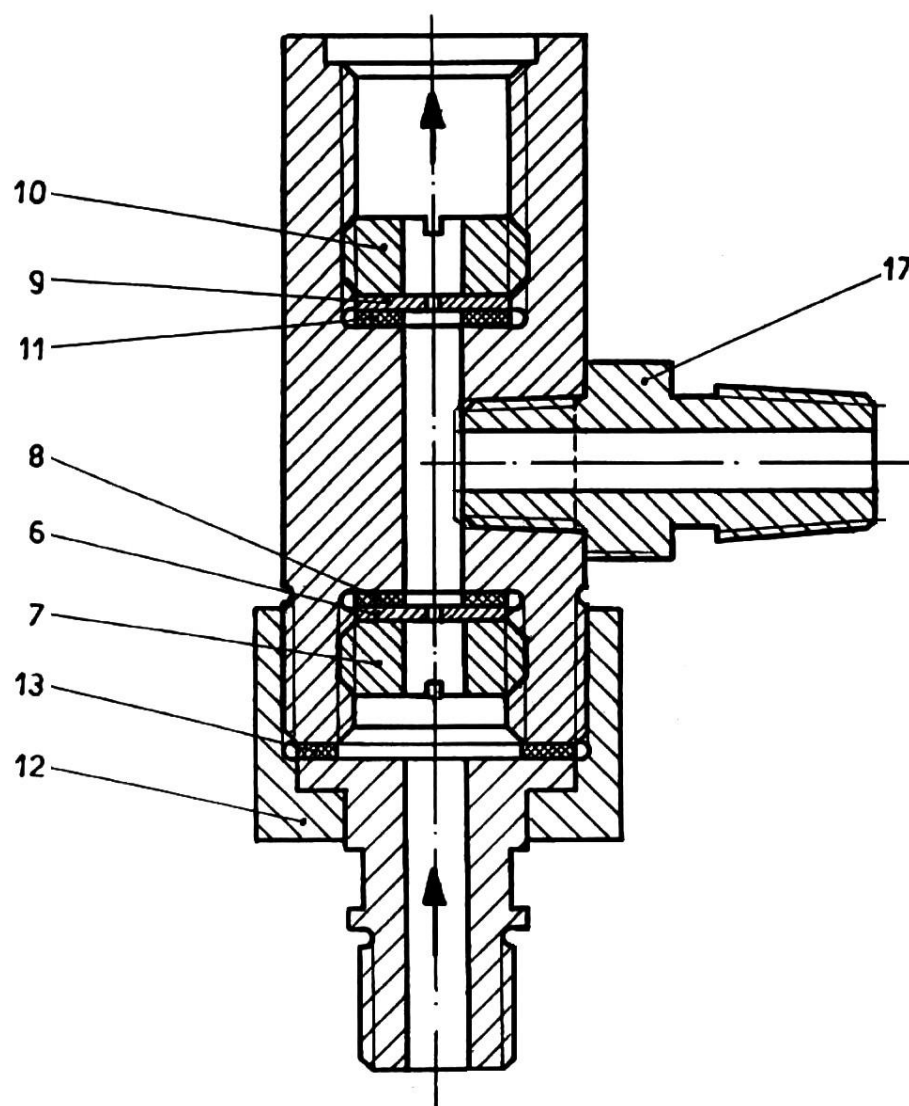


Fig. 5.40. Blocul de injecție al aparatului de respirat sub apă cu circuit semiînchis pentru scufundări de sistem: 6 – microajutaj pentru regim subsonic; 7 – șurub de fixare; 8 – garnitură de etanșare; 9 – microajutaj convergent – divergent; 10 – șurub de fixare; 11 – garnitură de etanșare; 12 – racord olandez; 13 – garnitură de etanșare; 17 – ștuț de legătură.

Aparatul de respirat sub apă cu circuit semiînchis pentru scufundări de sistem este alcătuit dintr-o baterie de butelii 1, fiecare butelie fiind prevăzută cu câte un robinet de înaltă presiune 2 de admisie a amestecului respirator către un distribuitor 3. Distribuitorul 3 asigură alimentarea cu amestec gazos binar a două circuite: un circuit principal de injecție A și un circuit de umplere și spălare B.

Circuitul principal de injecție A este alcătuit, în primul rând, dintr-un reductor de presiune treapta întâi nepilotat 4, având ca referință presiunea atmosferică. Acest reductor de presiune are rolul de a reduce presiunea de la nivelul presiunii înalte existente în bateria de butelii, la nivelul presiunii medii necesare alimentării unui bloc de injecție și control 5 a cărei execuție este prezentată în figura 5.40.

Blocul de injecție și control este prevăzut cu un microajutaj cilindric lucrând în domeniul subsonic 6, având o secțiune s și fixat prin intermediul unui șurub de fixare 7. Etanșarea este realizată cu garnitura 8. Blocul de injecție și control este prevăzut și cu un microajutaj convergent – divergent 9, lucrând în domeniul sonic, critic, în porțiunea divergentă a microajutajului având o secțiune minimă s_1 și fixat de bloc prin intermediul șurubului de fixare 10. Etanșarea se realizează cu garnitura 11. Prinderea blocului de injecție de reductorul de presiune se realizează prin intermediul unui racord olandez 12, etanșarea fiind realizată de garnitura 13.

Diferența de presiune Δp dintre presiunea $p_0 + \Delta p$ care se stabilește în amonte de microajutajul cilindric 6 și presiunea p_0 care se stabilește în aval de microajutajul cilindric, este indicată la un manometru diferențial 14 prin intermediul unor furtunuri 15 și respectiv 16 (fig. 5.39). Presiunea din aval de ajutajul cilindric este captată prin ștuțul 17 (fig. 5.40).

Lucrând în secțiunea minimă în regim sonic, microajutajul convergent – divergent realizează livrarea unui debit masic de amestec gazos binar constant în sacul respirator 18. Inspirația și expirația din și respectiv către sacul respirator se realizează prin intermediul unui circuit de respirație alcătuit din furtunurile 19 și 20, racordate la piesa bucală 21 prevăzută cu două supape unisens 22 (fig. 5.39). Amestecul expirat către sacul respirator trece în prealabil, printr-un cartuș filtrant 23, care asigură reținerea dioxidului de carbon. Surplusul de amestec gazos este eliminat prin supapa de evacuare 24.

Circuitul de umplere și de spălare B asigură completarea cu amestec gazos binar a sacului respirator înainte de începerea scufundării. Circuitul B este alimentat la medie presiune prin intermediul reductorului de presiune treapta întâi 4 și este prevăzut cu o vană 25 de tipul "închis - deschis" cu acționare manuală.

Aparatul de respirat sub apă este echipat cu un manometru de înaltă presiune 26 pentru controlul presiunii amestecului binar stocat în butelii.

Microajutajul cilindric 6 asigură măsurarea și controlul debitului din circuitul principal de injecție, realizând o cădere de presiune Δp care, în domeniul subsonic, este funcție de debitul masic injectat, $Q_{m,a}^i$, conform relației:

$$\Delta p = \frac{p_0}{\left(1 + \sqrt{1 + 4 \frac{(Q_{m,a}^i)^2}{p_0 s^2 g^2} R_{a,i} T_0 \frac{k_{a,i} - 1}{2k_{a,i}}} \right)^{\frac{k_{a,i}}{1-k_{a,i}}} + p_0}, \quad (5-77)$$

unde p_0 și T_0 sunt presiunea absolută și respectiv temperatura absolută din aval de microajutajul cilindric 6, $R_{a,i}$ este constanta amestecului gazos injectat, $k_{a,i}$ este exponentul izentropic corespunzător amestecului injectat, g este accelerația gravitațională, iar s reprezintă aria secțiunii orificiului microajutajului cilindric 6.

Microajutajul convergent – divergent 9, atingând viteza sunetului și deci starea critică în zona secțiunii minime, asigură injectarea în regim permanent a unui debit masic pe toată durata scufundării. Valoarea debitului masic injectat în regim constant, $Q_{m,a}^i$, este dată de relația corespunzătoare curgerii izentropice:

$$Q_{m,a}^i = s_1 \left(\frac{2}{k_{a,i} + 1} \right)^{\frac{1}{k_{a,i} - 1}} \sqrt{\frac{2k_{a,i}}{k_{a,i} + 1}} \frac{p_0 g}{\sqrt{R_{a,i} T_0}}, \quad (5-78)$$

unde s_1 este aria secțiunii minime a microajutajului convergent – divergent, iar p_0 și T_0 sunt presiunea absolută și respectiv temperatura absolută din amonte de microajutajul convergent – divergent.

Dimensiunile microajutajului convergent – divergent și stabilirea presiunii p_0 din amonte de aceasta trebuie astfel alese încât pentru o presiune p_e din avalul microajutajului convergent – divergent să se atingă regimul sonic și deci starea critică caracterizată prin presiunea critică p_{cr} în secțiunea minimă a microajutajului convergent – divergent, precum și un regim subsonic în divergentul aceluiași ajutaj. Trebuie menționat faptul că presiunea p_e din avalul microajutajului convergent-divergent poate fi considerată, cu o foarte bună aproximație, ca fiind egală cu presiunea amestecului gazos din sacul respirator și cu presiunea exterioară corespunzătoare adâncimii de imersie la nivelul sacului respirator.

Aceasta înseamnă că, pentru microajutajul convergent – divergent, din mulțimea curbelor de funcționare, variația raportului de presiuni p/p_0 în lungul microajutajului, unde p este presiunea în diferite secțiuni ale acestuia, trebuie să aibă loc după curba I, Cr, II din graficul general de variație a raportului de presiuni p/p_0 în lungul unui microajutaj convergent – divergent, prezentat în figura 5.41.

Această funcționare are loc atunci când presiunea p_e din aval de microajutajul convergent – divergent atinge valoarea p_e' , iar raportul de presiuni valoarea p_e'/p_0 . Din analiza graficului prezentat în figura 5.41 se observă că valoarea presiunii p_0 din amonte de microajutajul convergent – divergent este foarte apropiată de valoarea presiunii p_e' din aval de același microajutaj, aceasta conducând, în final, la o utilizare maximă a amestecului gazos stocat în butelii, funcționarea normală a aparatului având loc până ce presiunea amestecului gazos din butelii devine doar cu puțin mai ridicată decât presiunea echivalentă corespunzătoare adâncimii de scufundare la nivelul sacului respirator.

În acest fel se asigură, implicit, pe întreaga perioadă a scufundării, injectarea unui debit masic constant de amestec gazos și deci a unui debit masic constant de oxigen, valoarea debitului asigurând acoperirea deficitului de oxigen din sacul respirator, rezultat din procesele metabolice.

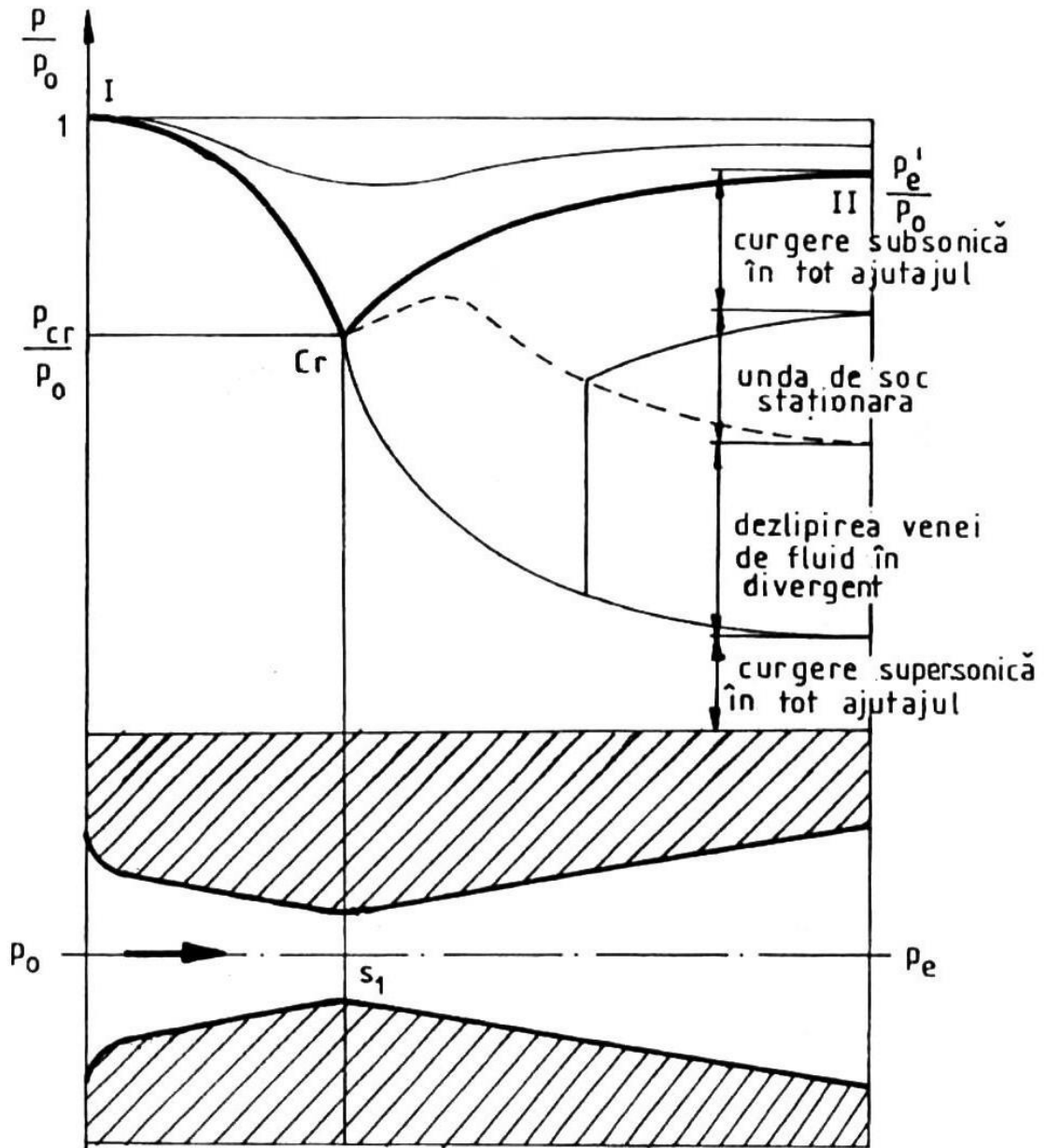


Fig. 5.41. Variația raportului de presiuni p/p_0 în lungul unui ajutoraj convergent – divergent.

Prin realizarea acestui aparat se obțin următoarele avantaje:

- utilizare pentru scufundări autonome de sistem, cu ieșirea scafandruului din turelă, minisubmarin sau laborator submers, fără cablu "ombilical", cu o utilizare maximă a amestecului gazos stocat în butelii;
- autonomie sporită în scufundarea de sistem;
- randament ridicat și siguranță în funcționare;
- control permanent al funcționării pe întreaga durată a scufundării;
- utilizare atât pentru scufundări la adâncime medie cât și pentru scufundări la mare adâncime.

5.3.3. CONCEPȚIA ȘI CALCULUL APARATELOR DE RESPIRAT SUB APĂ CU CIRCUIT MIXT

Aparatele de respirat sub apă cu circuit mixt sunt acele aparate care funcționează, pe măsură ce se pătrunde în apă, în cel puțin două moduri:

- inițial în circuit închis, iar apoi în circuit deschis;
- inițial în circuit închis, iar apoi în circuit semiînchis.

Cea mai reușită combinație, în special pentru aplicații militare, este funcționarea inițială în circuit închis, cu oxigen, până la adâncimi de 6,5...7 m și apoi în circuit semiînchis cu amestec NITROX supraoxigenat, la adâncimi mai mari. Aceste aparate oferă o autonomie mare, adâncimi de lucru relativ mari, timpi de decompresie scăzuți și o bună siguranță în funcționare.

5.3.3.1. Concepția aparatului de respirat sub apă cu circuit mixt

În continuare, este prezentat un aparat de respirat sub apă cu circuit mixt (circuit închis cu oxigen și circuit semiînchis cu amestec NITROX supraoxigenat) cu trei variante constructive:

- Varianta 1: oxigen și amestec NITROX supraoxigenat injectat în sacul respirator;
- Varianta 2: oxigen livrabil "la cerere" și amestec NITROX supraoxigenat injectat în sacul respirator;
- Varianta 3: oxigen și amestec NITROX supraoxigenat livrabile "la cerere" în sacul respirator.

Schemele de principiu ale aparatelor de respirat sub apă cu circuit mixt, variantele 1, 2 și 3 sunt prezentate în figurile 5.42 (varianta 1) și figura 5.43 (variantele 2 și 3), legenda pentru aceste figuri fiind următoarea:

- B1 - butelie amestec (4 l la 200 bar);
- R1 - robinet butelie amestec;
- MIP1 - manometru înaltă presiune pentru amestec;
- RPN1 - reductor de presiune treapta întâi nepilotat pentru amestec;
- RPP1 - reductor de presiune treapta întâi pilotat pentru amestec;
- MA1 - mecanism de alimentare cu amestec;
- MS1 - mecanism de spălare cu amestec;
- AJC1 - ajutoraj de compensare pentru amestec;
- AJS1 - ajutoraj de spălare cu amestec;
- AJI1 - ajutoraj de injecție cu amestec;
- MD1 - mecanism de descărcare pentru amestec;
- R3C - robinet cu trei căi pentru amestec;
- BP1 - by-pass pentru amestec;
- B2 - butelie pentru oxigen (1 l la 200 bar);
- R2 - robinet butelie oxigen;
- MIP2 - manometru înaltă presiune pentru oxigen;
- RPN2 - reductor de presiune treapta întâi nepilotat pentru oxigen;
- RPP2 - reductor de presiune treapta întâi pilotat pentru oxigen;
- MA2 - mecanism de alimentare cu oxigen;
- MS2 - mecanism de spălare cu oxigen;
- AJC2 - ajutoraj de compensare pentru oxigen;

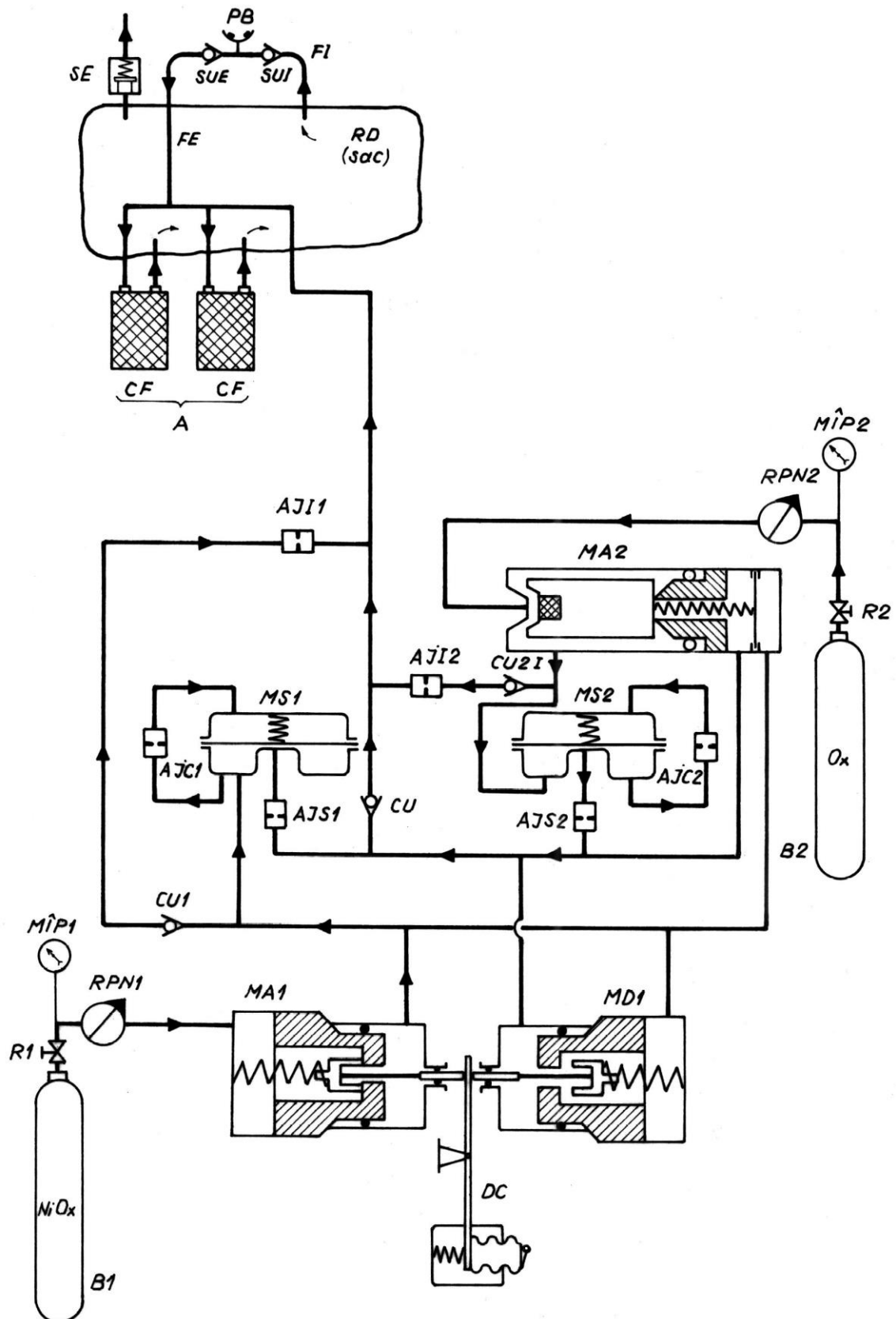


Fig. 5.42. Schema de principiu a aparatului de respirat sub apă cu circuit mixt, varianta 1: NITROX – injectat și Oxigen – injectat.

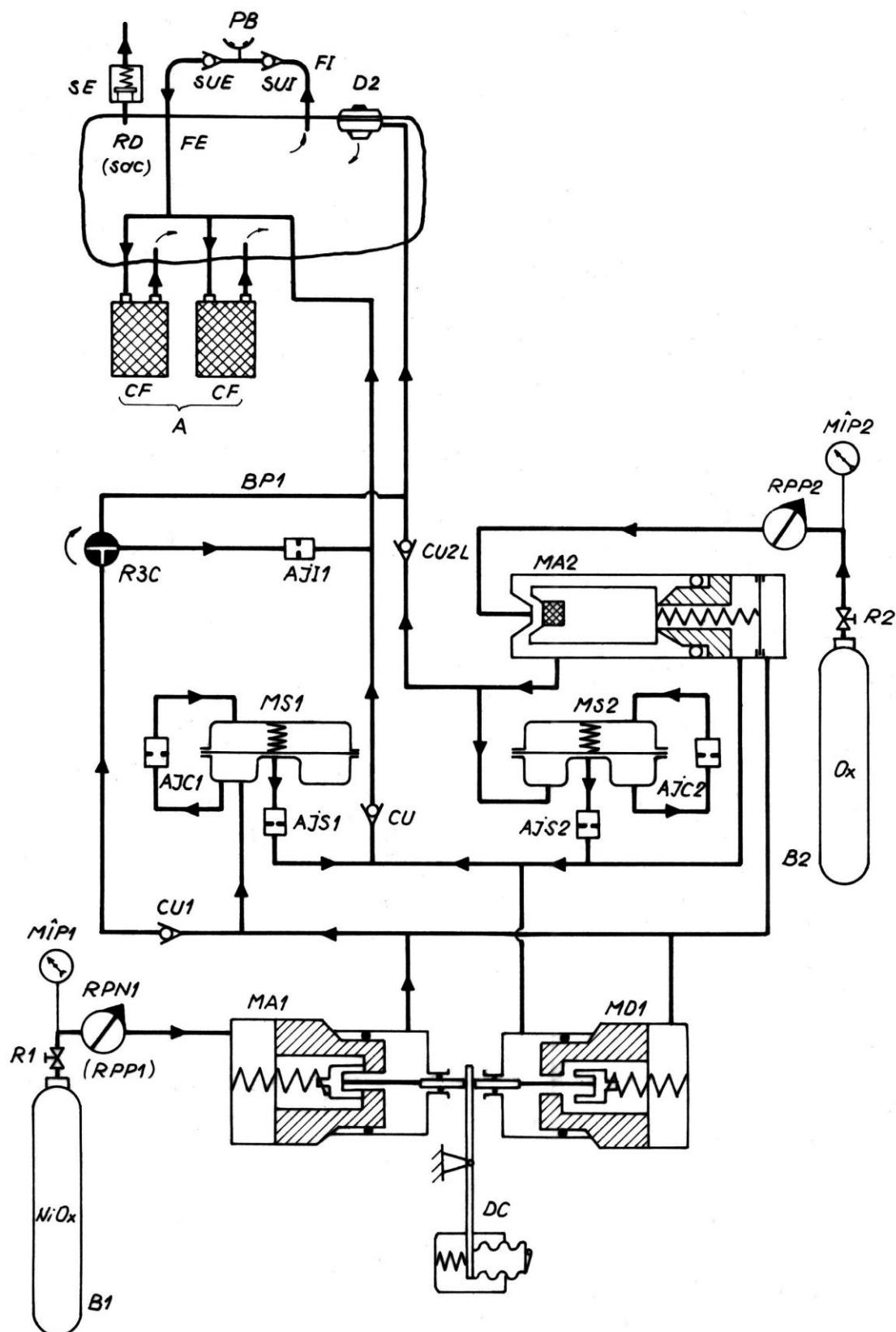


Fig. 5.43. Schema de principiu a aparatului de respirat sub apă cu circuit mixt, varianta 2: NITROX – injectat și Oxigen – la cerere; varianta 3: NITROX – la cerere și Oxigen – la cerere.

- AJS2 - ajutoraj de spălare cu oxigen;
- D2 - reductor de presiune treapta a doua (detentor) pentru oxigen;
- DC - dispozitiv de comutare;
- RD - rezervor deformabil (sac respirator);
- FI - furtun de inspirație;
- FE - furtun de expirație;
- PB - piesă bucală;
- SUI - supapă unisens inspirație;
- SUE - supapă unisens expirație;
- A - absorber de dioxid de carbon;
- CF - cartușe filtrante;
- SE - supapă de evacuare;
- CU, CU1, CU2I, CU2L - clapeți unisens.

Conceperea, cercetarea, proiectarea și realizarea aparatului de respirat sub apă cu circuit mixt s-au impus ca urmare a necesității efectuării unor scufundări autonome, în scopuri militare, presupunând durate de scufundare relativ mari, la adâncimi până la 40 m, asociate cu randamente ale scufundării ridicate prin reducerea substanțială a timpului de revenire la presiunea atmosferică a scafandrului. Aparatul existent până la data studierii acestor aparate era cu circuit închis cu oxigen și debit livrabil "la cerere", care nu permite decât scufundări până la adâncimea de 6,5...7 m.

Aparatul studiat este astfel conceput încât să furnizeze scafandrului oxigen pur pe primul interval de scufundare (între suprafață și 6,5...7 m adâncime), după care amestec NITROX supraoxigenat până la adâncimea maximă de intervenție. Trecerea, în timpul coborârii, de la funcționarea cu oxigen pur la funcționarea cu amestec NITROX supraoxigenat, se face la o adâncime notată cu h_{tr} (adâncime de trecere). La revenirea către suprafață, la adâncimea h_{tr} are loc o nouă trecere, de la funcționarea aparatului cu amestec NITROX supraoxigenat la funcționarea cu oxigen. Această adâncime de trecere h_{tr} , este astfel aleasă încât să fie cât mai mare posibilă, pentru a obține timpi de descompresie reduși la minim, dar limitată pentru evitarea crizei hiperoxice. Astfel, la 7 m scafandrul poate respira timp îndelungat oxigen pur, dar poate face și incursiuni de scurtă durată până la 18 m adâncime, fără riscul apariției crizei hiperoxice. Deci, h_{tr} se poate stabili între 7 și 18 m adâncime.

Deoarece schemele aparatului, în cele trei variante, au marea majoritate a elementelor comune, se vor prezenta unitar, iar pentru fiecare variantă în parte se vor prezenta elementele specifice. Aparatele sunt alcătuite din următoarele componente principale:

- butelia de amestec binar B1 conținând amestec NITROX supraoxigenat, care alimentează prin intermediul robinetului R1 reductorul de presiune treapta întâi nepilotat RPN1 în cazul variantelor 1 și 2 și respectiv, reductorul de presiune treapta întâi pilotat RPP1 în cazul variantei 3;

- reductorul de presiune treapta întâi nepilotat pentru amestec RPN1 pentru variantele 1 și 2, sau reductorul de presiune treapta întâi pilotat pentru amestec RPP1 pentru varianta 3, care reduc presiunea amestecului NITROX supraoxigenat de la nivelul presiunii înalte existente în butelie la nivelul presiunii necesare alimentării ajutorajelor de injecție AJI1, de spălare AJS1 și de compensare AJC1 în cazul

variantelor 1 și 2, sau la nivelul presiunii de alimentare a detentorului D2 precum și a ajutorajelor AJS1 și AJC1 în cazul variantei 3. Reductorul de presiune treapta întâi nepilotat RPN1 asigură la ieșire o presiune constantă indiferent de adâncimea scufundării, iar reductorul de presiune treapta întâi pilotat RPP1 asigură la ieșire o suprapresiune constantă față de presiunea corespunzătoare adâncimii;

- mecanismul de alimentare cu amestec NITROX supraoxigenat MA1, care are rolul de a închide (în cazul funcționării aparatului cu oxigen pur) și de a deschide (în cazul funcționării aparatului cu amestec NITROX supraoxigenat) alimentarea ajutorajelor AJI1, AJS1 și AJC1 sau detentorului D2 și ajutorajelor AJS1 și AJC1, cu amestec gazos. Mecanismul MA1 se deschide la coborârea scafandruului sub adâncimea h_{tr} și se închide, din nou, la urcare;

- ajutorajul de injecție cu amestec AJI1 existent numai la variantele 1 și 2 și care asigură injecția către sacul respirator RD a unui debit masic constant de amestec NITROX supraoxigenat, independent de adâncimea de imersie. Ajutajul AJI1 este astfel alimentat încât lucrează în regim critic pe toată durata scufundării cu amestec;

- ajutorajul de spălare cu amestec AJS1 asigură spălarea sacului respirator RD cu amestec NITROX supraoxigenat. Spălarea are loc cu un debit masic constant de amestec, un timp predeterminat, astfel încât întregul sac să fie golit de oxigenul pur și să fie umplut cu amestec respirator atunci când scafandruul coboară sub adâncimea h_{tr} .

Ajutajul de spălare lucrează în regim critic la debit masic blocat;

- mecanismul de spălare cu amestec MS1 permite alimentarea ajutorajului de spălare AJS1, timpul de spălare fiind asigurat prin temporizarea deschiderii mecanismului cu ajutorul ajutorajului de compensare AJC1;

- ajutorajul de compensare pentru amestec AJC1 asigură deschiderea ventilului mecanismului MS1 până când se produce compensarea presiunii în compartimentul superior al acestuia. Acest ajutoraj lucrează la început în regim critic, apoi în regim necritic, subsonic;

- butelia de oxigen B2 alimentează, prin intermediul robinetului R2, reductorul de presiune treapta întâi nepilotat RPN2 în cazul variantei 1 și respectiv reductorul de presiune treapta întâi pilotat RPP2 în cazul variantelor 2 și 3;

- reductorul de presiune treapta întâi nepilotat pentru oxigen RPN2 pentru varianta 1, sau reductorul de presiune treapta întâi pilotat pentru oxigen RPP2 pentru variantele 2 și 3, care reduc presiunea oxigenului de la nivelul presiunii înalte din butelie la nivelul presiunii necesare alimentării ajutorajelor de injecție AJI2, de spălare AJS2 și de compensare AJC2 în cazul variantei 1, sau la nivelul presiunii de alimentare a detentorului D2 precum și a ajutorajelor AJS2 și AJC2 în cazul variantelor 2 și 3. Reductorul de presiune treapta întâi nepilotat asigură la ieșire o presiune constantă indiferent de adâncimea scufundării, iar reductorul de presiune treapta întâi pilotat asigură la ieșire o suprapresiune constantă față de presiunea corespunzătoare adâncimii;

- mecanismul de alimentare cu oxigen MA2, care are rolul de a deschide în cazul funcționării aparatului cu oxigen pur și de a închide, în cazul funcționării aparatului cu amestec NITROX supraoxigenat, alimentarea ajutorajelor AJI2, AJS2 și AJC2 sau a detentorului D2 și ajutorajelor AJS2 și AJC2 cu oxigen pur. Mecanismul MA2 este deschis în timpul coborârii scafandruului până la adâncimea h_{tr} , peste această adâncime se închide, deschizându-se din nou la urcare;

- ajutorul de injecție cu oxigen AJI2 existent numai la varianta 1 și care asigură injecția către sacul respirator a unui debit masic constant de oxigen, independent de adâncimea scufundării. Ajutorul este astfel alimentat încât lucrează în regim critic pe toată durata scufundării cu oxigen pur;

- ajutorul de spălare cu oxigen AJS2 asigură spălarea sacului respirator cu oxigen pur. Spălarea are loc cu un debit masic constant de oxigen, un timp predeterminat, astfel încât întregul sac să fie golit de amestec și umplut cu oxigen (atunci când scafandru pleacă de la suprafață – golirea de aer și atunci când scafandru se ridică la adâncimea h_{tr}). Ajutorul de spălare lucrează în regim critic;

- mecanismul de spălare cu oxigen MS2 permite alimentarea ajutorului de spălare AJS2, timpul de spălare fiind asigurat prin temporizarea deschiderii mecanismului cu ajutorul ajutorului de compensare AJC2;

- ajutorul de compensare pentru oxigen AJC2 asigură deschiderea ventilului mecanismului MS2 până când se produce compensarea presiunii în compartimentul superior al mecanismului. Acest ajutor lucrează la început în regim critic, apoi în regim necritic, subsonic;

- mecanismul de descărcare a amestecului MD1, care are rolul de a descărca amestecul NITROX supraoxigenat aflat sub presiune în anumite porțiuni ale circuitelor, atunci când are loc trecerea de la funcționarea aparatului cu amestec la funcționarea cu oxigen pur;

- robinetul cu trei căi pentru amestec R3C, care permite comutarea pe o nouă poziție, oprește alimentarea cu amestec a ajutorului de injecție AJI1 asigurând, în schimb, alimentarea cu amestec a detentorului D2 prin intermediul conductei de by-pass BP1, obținându-se prin această manevră funcționarea aparatului în varianta 3, caracterizată prin livrarea de amestec NITROX supraoxigenat către sacul respirator "la cerere";

- clapete unisens CU, CU1, CU2I și CU2L având rolul de a izola circuitele de amestec NITROX supraoxigenat de circuitele de oxigen;

- dispozitivul de comutare DC, care are rolul de a comuta aparatul din regim de funcționare cu oxigen pur la regim de funcționare cu amestec NITROX supraoxigenat și invers, prin deschiderea clapetului aferent mecanismului MD1 și, respectiv invers. Această comutare are loc atât în timpul coborârii scafandrului (de la oxigen la amestec NITROX supraoxigenat), cât și în timpul ridicării acestuia (de la amestec NITROX supraoxigenat la oxigen), la adâncimea h_{tr} . Comutarea are loc automat, comandată de presiunea hidrostatică;

- celelalte elemente ale aparatului (sac respirator și echipamente aferente) sunt similare cu cele descrise pentru aparatele de respirat sub apă cu circuit închis și semiînchis în paragrafele 5.3.1 și 5.3.2.

Modul de funcționare al aparatului de respirat sub apă cu circuit mixt este următorul:

- se deschid robinetele R1 și R2, alimentându-se mecanisme MA1 și MA2. În această situație, clapetul mecanismului de alimentare cu amestec NITROX supraoxigenat MA1 este închis, circuitul de amestec rămânând în așteptare;

- sub acțiunea presiunii oxigenului de după reductorul de presiune pentru oxigen se deschide clapetul mecanismului de alimentare cu oxigen. Astfel, se asigură

alimentarea cu oxigen a ajutorajelor și detentorului corespunzătoare variantelor prezentate;

- sub acțiunea presiunii oxigenului de după reductor, membrana aferentă mecanismului de spălare cu oxigen MS2 se ridică deschizând accesul oxigenului către ajutorajul AJS2 realizându-se, în acest fel, spălarea cu un debit masic de oxigen constant până când ajutorajul de compensare AJC2 asigură în compartimentul superior o presiune suficientă, care împreună cu acțiunea resortului să conducă la coborârea membranei și la oprirea alimentării cu oxigen a ajutorajului de spălare AJS2. În acest moment, spălarea sacului respirator cu oxigen se încheie. Totodată, se asigură și alimentarea cu oxigen a ajutorajului de injecție AJI2 în varianta 1, sau a detentorului D2 în variantele 2 și 3;

- în cazul variantei 1, ajutorajul de injecție AJI2 asigură injecția permanentă a unui debit masic constant de oxigen, către sacul respirator;

- odată deschise robinetele R1 și R2, după efectuarea spălării sacului respirator cu oxigen, aparatul este gata pentru pătrunderea sub apă. Din acesta se poate respira oxigen pur în circuit semiînchis (în cazul variantei 1) deficitul de oxigen fiind compensat de ajutorajul AJI2 prin injectarea de oxigen către sacul respirator, sau în circuit închis (în variantele 2 și 3) deficitul de oxigen fiind compensat "la cerere" prin detentorul treapta a doua D2. Acest regim de funcționare se păstrează până la adâncimea de trecere h_{tr} , ce poate fi stabilită și reglată funcție de tehnologia de scufundare;

- atunci când se depășește adâncimea de trecere h_{tr} , se deschide clapetul mecanismului de alimentare cu amestec MA1, care acționează pneumatic asupra mecanismului de alimentare cu oxigen MA2 conducând la blocarea alimentării cu oxigen și asigurând, totodată, alimentarea cu amestec NITROX supraoxigenat a ajutorajelor de injecție AJT1, de spălare AJS1 și de compensare AJC1 în cazul variantelor 1 și 2, sau a detentorului D2 și a ajutorajelor de spălare și de compensare în cazul variantei 3;

- sub acțiunea presiunii amestecului gazos de după reductorul de presiune pentru amestec, membrana aferentă mecanismului de spălare MS1 se ridică deschizând accesul amestecului către ajutorajul AJS1 realizându-se, în acest fel, spălarea sacului cu un debit masic constant de amestec, până când ajutorajul de compensare AJC1 asigură în compartimentul superior o presiune suficientă, care împreună cu acțiunea resortului să conducă la coborârea membranei și la oprirea alimentării cu amestec a ajutorajului de spălare AJS1. În acest moment, spălarea sacului respirator cu amestec NITROX supraoxigenat se încheie. Totodată, se asigură și alimentarea cu amestec a ajutorajului de injecție AJI1 în variantele 1 și 2, sau alimentarea detentorului D2 în varianta 3 (poziție corespunzătoare a robinetului cu trei căi);

- în cazul variantelor 1 și 2, ajutorajul de injecție AJI1 asigură injectarea permanentă a unui debit masic de amestec constant către sacul respirator;

- în varianta 3, detentorul D2 va livra amestec "la cerere" către sacul respirator;

- după efectuarea spălării sacului cu amestec, din aparat se poate respira amestec NITROX supraoxigenat în circuit semiînchis (în cazul variantelor 1 și 2) deficitul de oxigen fiind compensat de ajutorajul AJI1 prin injecția de amestec către sacul respirator, sau în circuit închis (în cazul variantei 3) deficitul de oxigen fiind compensat prin livrare "la cerere" de amestec către detentorul D2.

Acest regim de funcționare se păstrează până la adâncimea maximă de lucru pe toată durata scufundării sub adâncimea h_{tr} ;

– atunci când, prin revenirea la suprafață, scafandrul urcă deasupra adâncimii h_{tr} , se deschide clapetul mecanismului MA1 blocându-se alimentarea cu amestec a aparatului și se deschide clapetul mecanismului MD1 asigurându-se descărcarea circuitelor de amestec sub presiune. Odată descărcarea făcută, clapetul mecanismului de alimentare cu oxigen MA2 se poate deschide din nou sub acțiunea presiunii oxigenului de după reductorul de presiune pentru oxigen, asigurând din nou spălarea sacului cu oxigen și în continuare, alimentarea acestuia cu oxigen pentru compensarea deficitului de oxigen rezultat din consumul metabolic;

– în continuare, funcționarea aparatului cu oxigen în timpul revenirii la presiunea atmosferică este asemănătoare aparatului cu oxigen prezentată anterior, în cazul coborârii.

Presiunile amestecului NITROX supraoxigenat și oxigenului după reductoarele de presiune treapta întâi pilotate și nepilotate, trebuie să satisfacă condițiile unei bune și sigure funcționări a circuitelor de compensare, spălare, injecție și livrare "la cerere", condiții rezultate din calculele gazodinamice.

5.3.3.2. Calculul gazodinamic al circuitelor aferente aparatelor de respirat sub apă cu circuit mixt

Studiul privind calculul gazodinamic al circuiteor aferente aparatelor de respirat sub apă cu circuit mixt, conform schemelor de principiu prezentate în figurile 5.42 și 5.43 a fost efectuat conform modelelor matematice prezentate anterior.

În figurile 5.44 și 5.45 sunt arătate schemele simplificate ale aparatului de respirat sub apă cu circuit mixt, variantele 1 și respectiv 2, necesare calculului gazodinamic al circuitelor aferente.

În figurile 5.46, 5.47 și 5.48 sunt prezentate alcătuirea, schema de calcul și respectiv caracteristicile termodinamice ale amestecului NITROX pentru circuitele de compensare, spălare și injecție masică aferente aparatului de respirat sub apă cu circuit mixt, variantele 1 și 2.

În figurile 5.49, 5.50 și 5.51 sunt prezentate alcătuirea, schema de calcul și respectiv caracteristicile termodinamice ale oxigenului pentru circuitele de compensare, spălare și injecție masică aferente aparatului de respirat sub apă cu circuit mixt, varianta 1.

În figurile 5.52, 5.53 și 5.54 sunt prezentate alcătuirea, schema de calcul și respectiv caracteristicile termodinamice ale oxigenului pentru circuitele de compensare, spălare și livrare "la cerere" aferente aparatului de respirat sub apă cu circuit mixt, variantele 2 și 3.

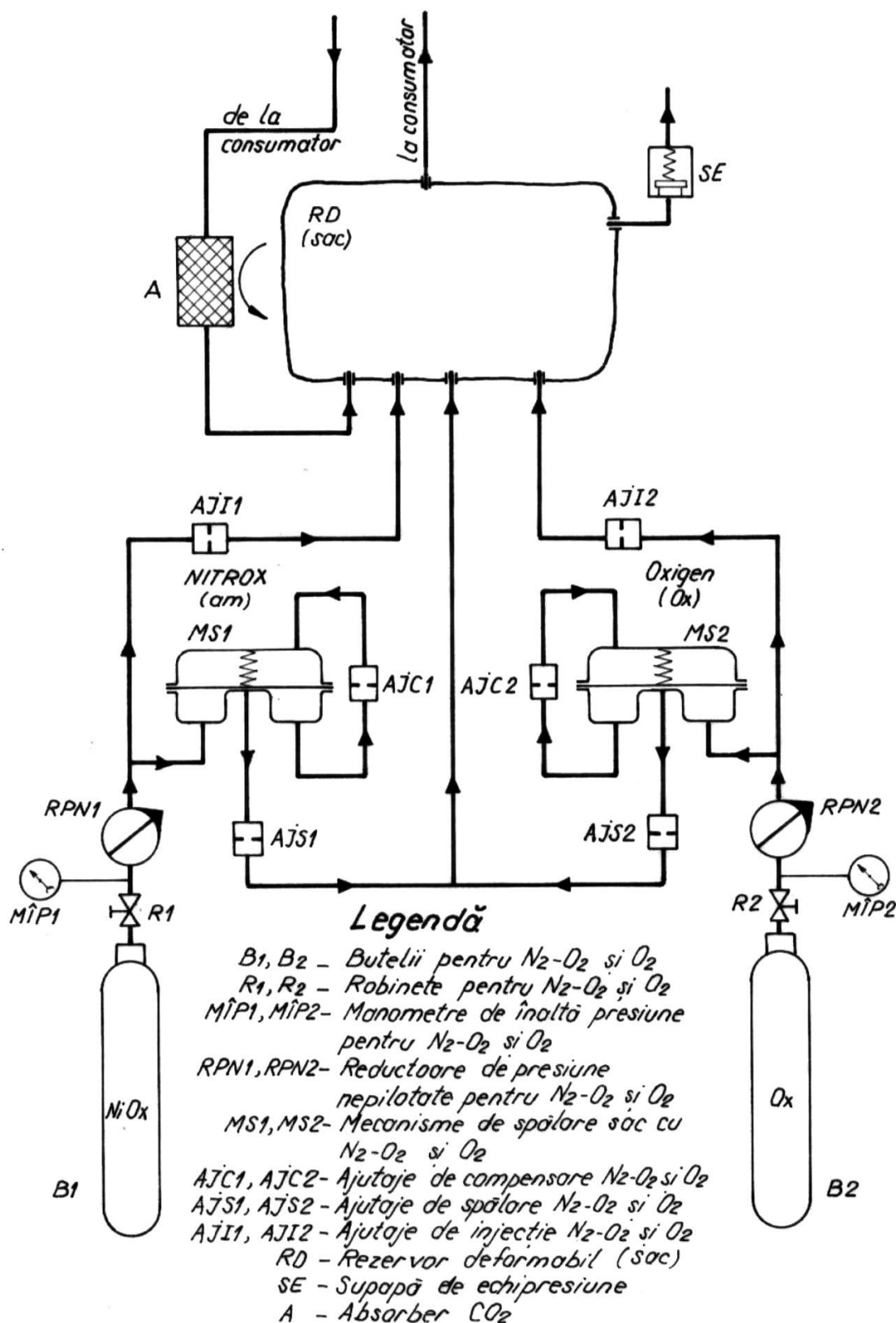


Fig. 5.44. Schema simplificată a aparatului de respirat sub apă cu circuit mixt, cu circuitele de compensare, spălare și injecție masică pentru varianta 1.

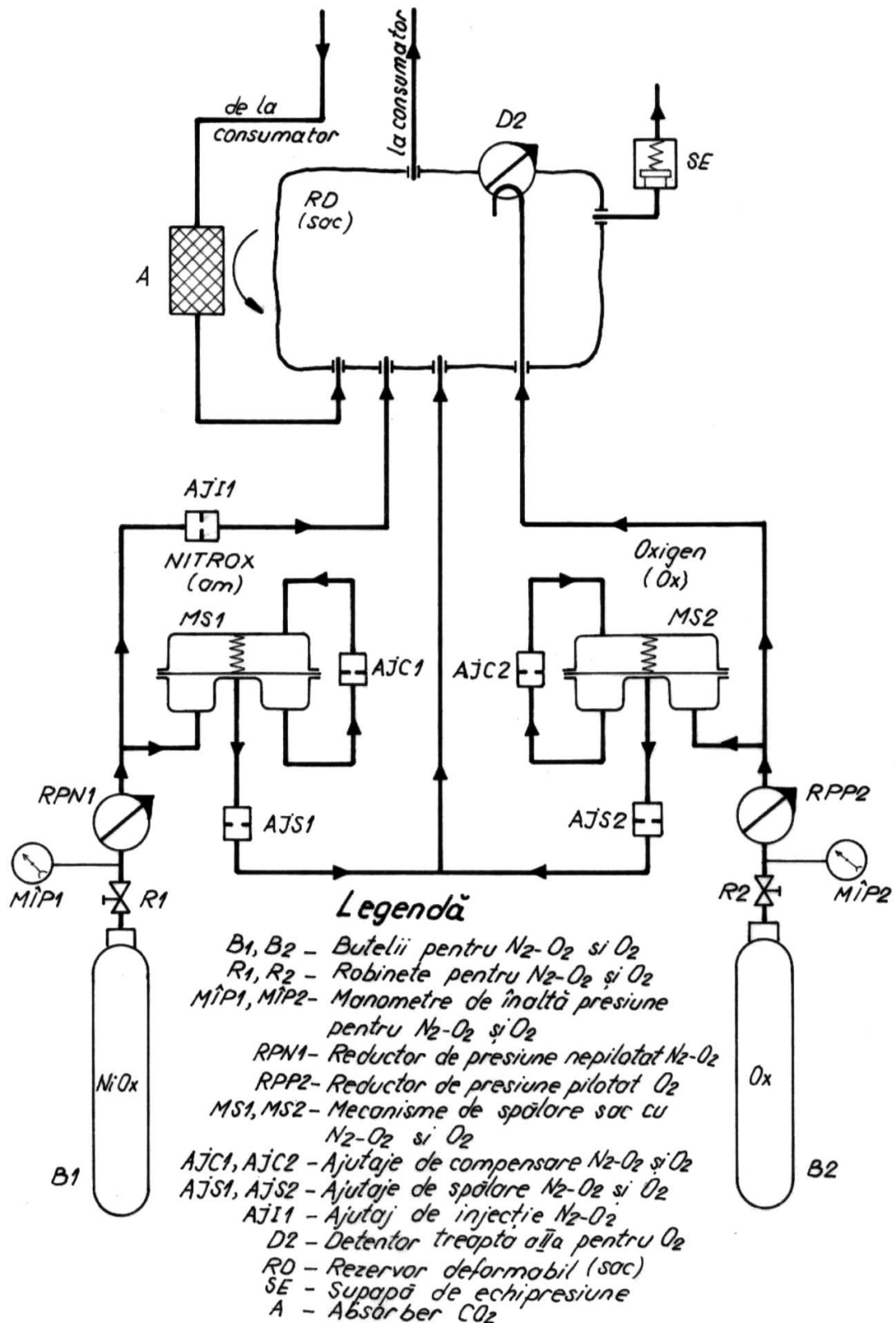


Fig. 5.45. Schema simplificată a aparatului de respirat sub apă cu circuit mixt, cu circuitele de compensare, spălare, injecție masică și livrare la cerere, pentru varianta 2.

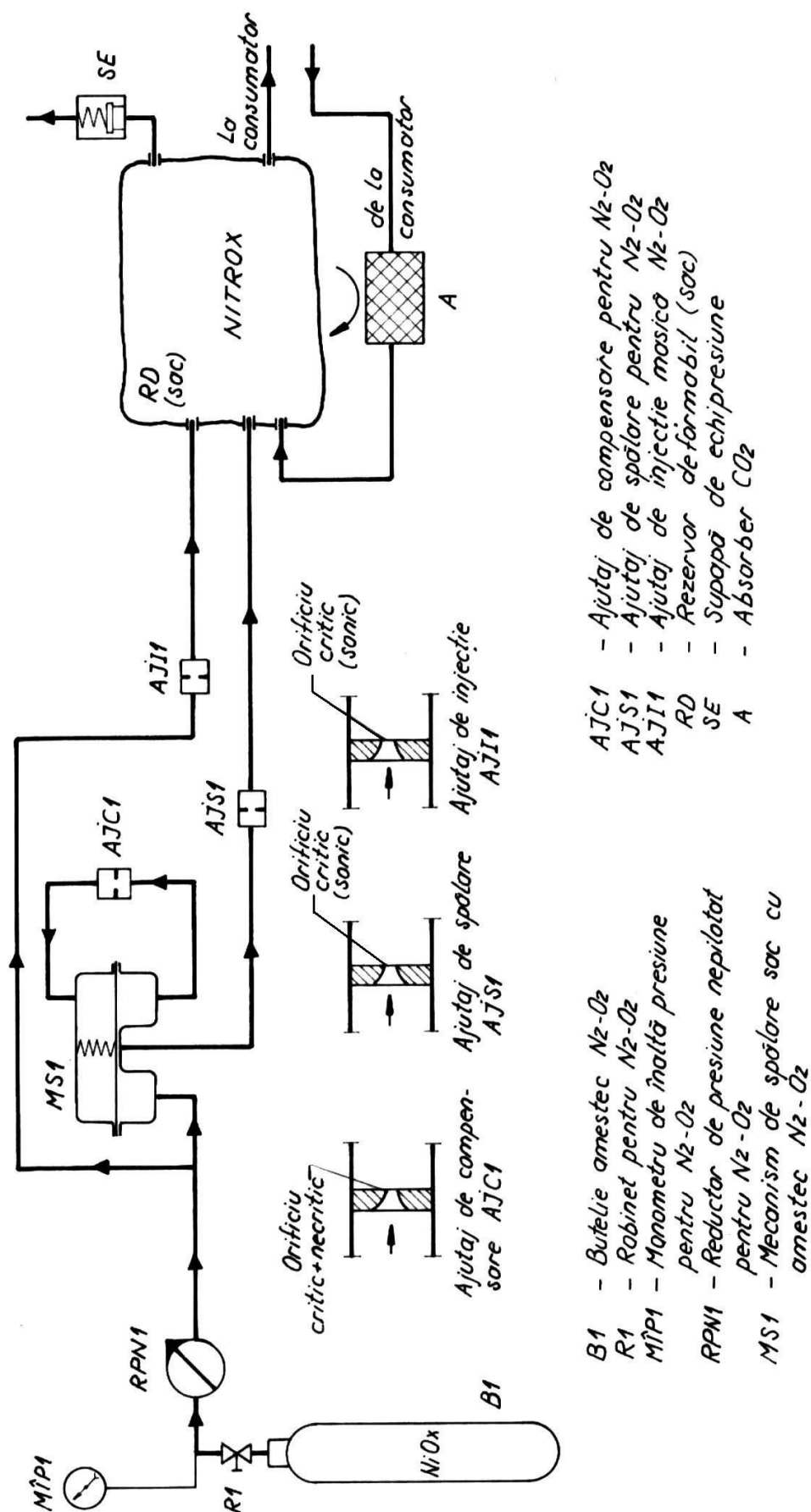


Fig. 5.46. Alcătuirea circuitelor de compensare, spălare și injecție masică cu amestec NITROX pentru aparatul de respirat sub apă cu circuit mixt, variantele 1 și 2.

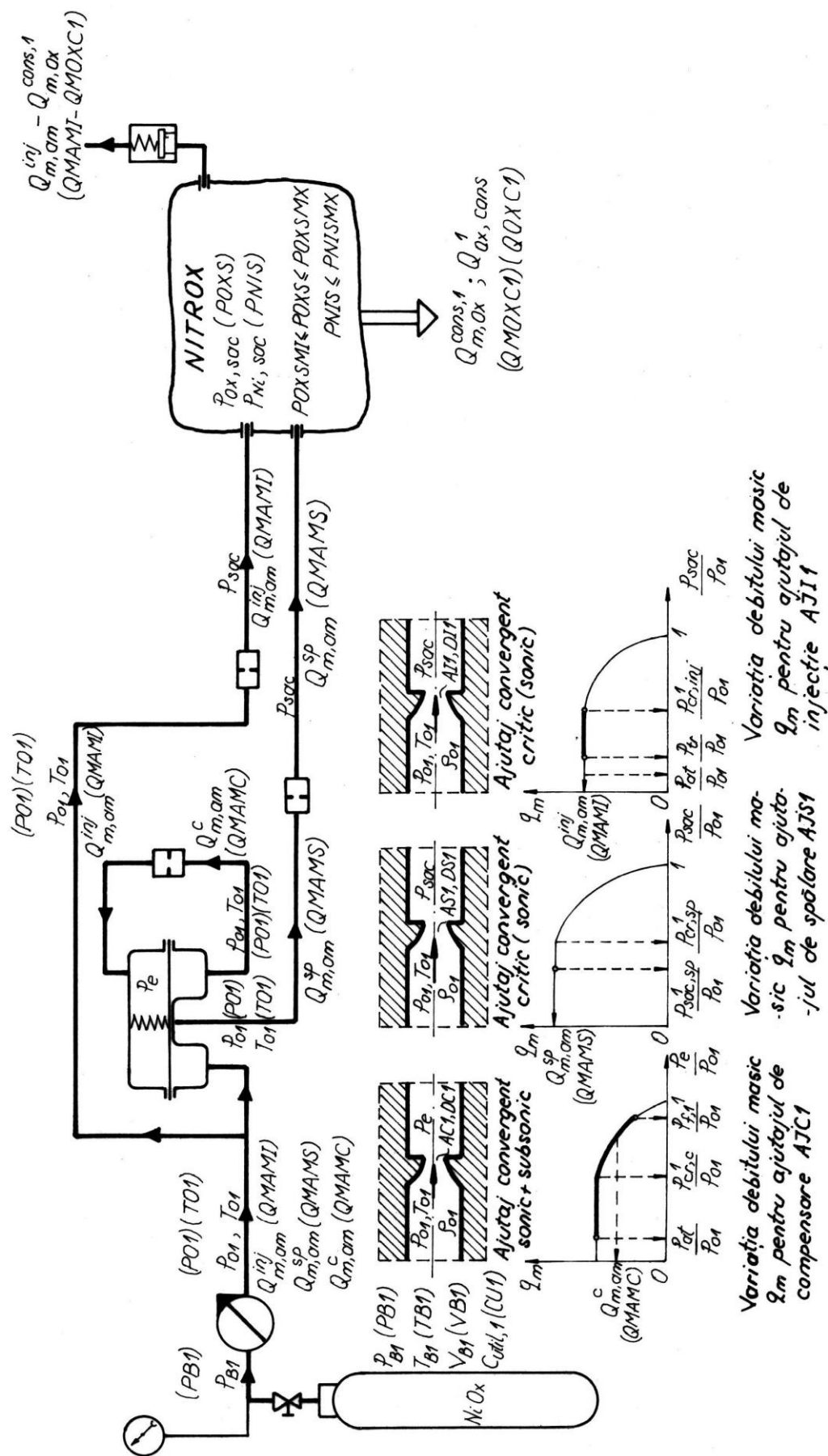


Fig. 5.47. Schema de calcul a circuitelor cu NITROX și parametrării amestecului în lungul acestora pentru aparatul de respirat sub apă cu circuit mixt, variantele 1 și 2.

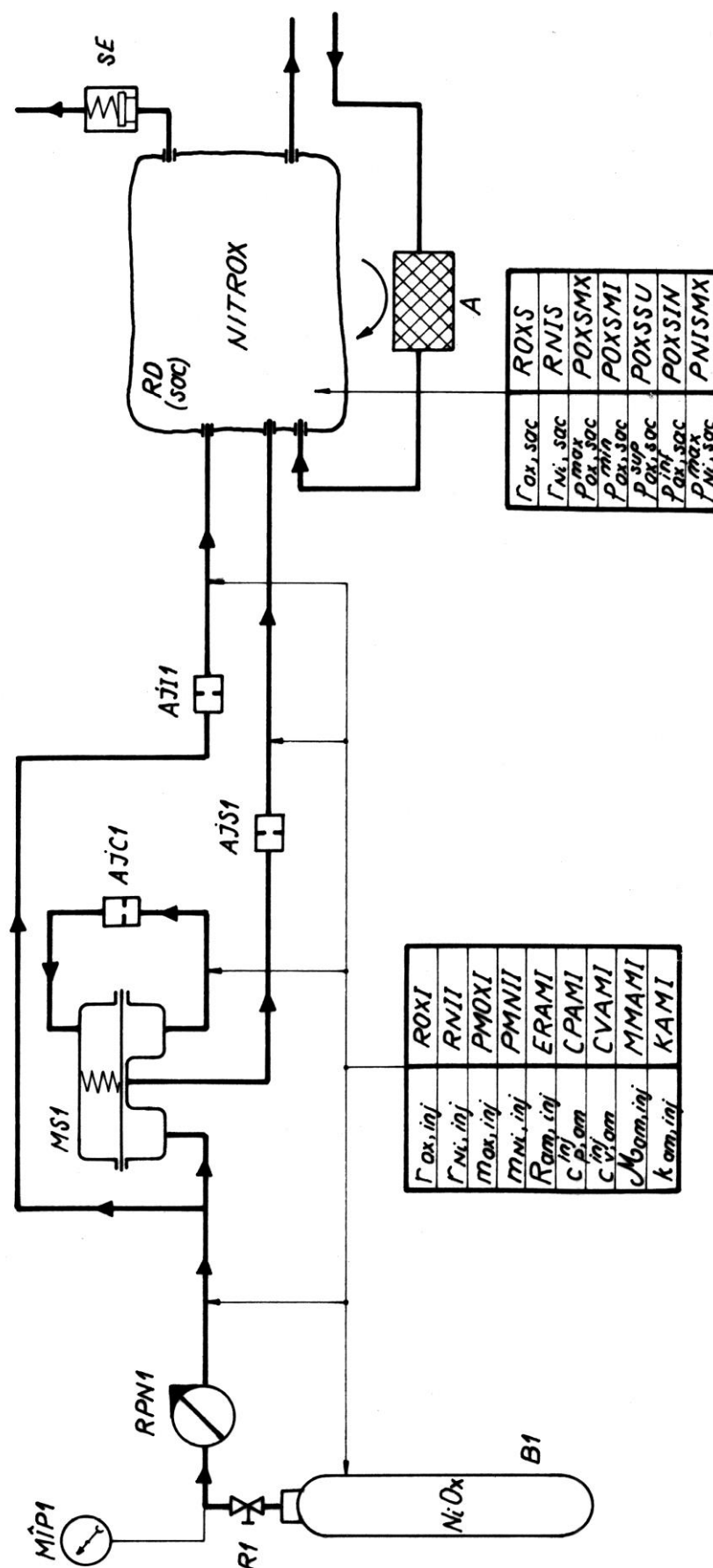


Fig. 5.48. Caracteristicile termodinamice ale amestecului NITROX pe circuitele de compensare, spălare și injecție și în rezervorul deformabil (sacul respirator) pentru aparatul de respirat sub apă cu circuit mixt, variantele 1 și 2.

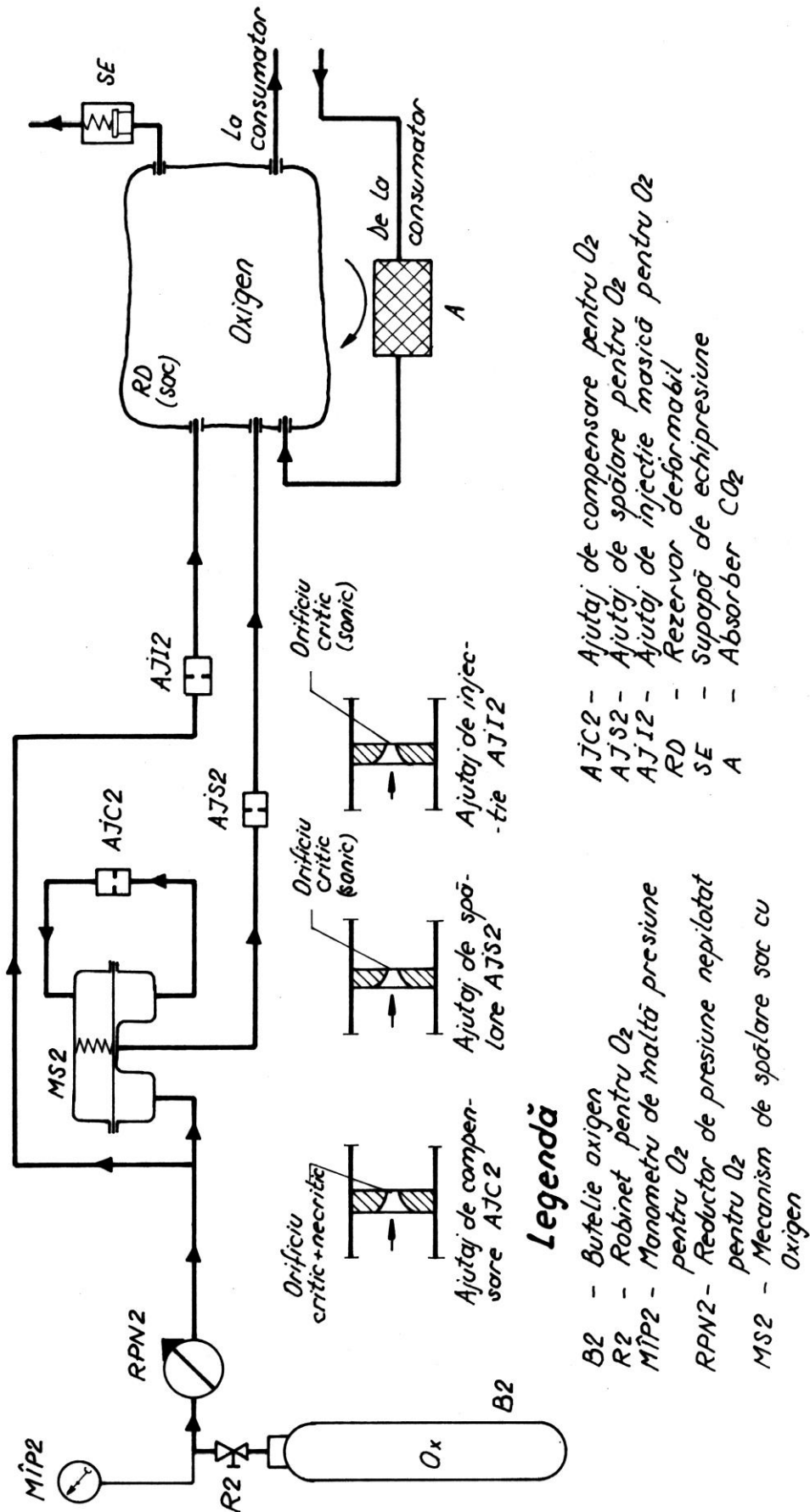


Fig. 5.49. Alcătuirea circuitelor de compensare, spălare și injecție masică cu oxigen pentru aparatul de respirat sub apă cu circuit mixt, varianta 1.

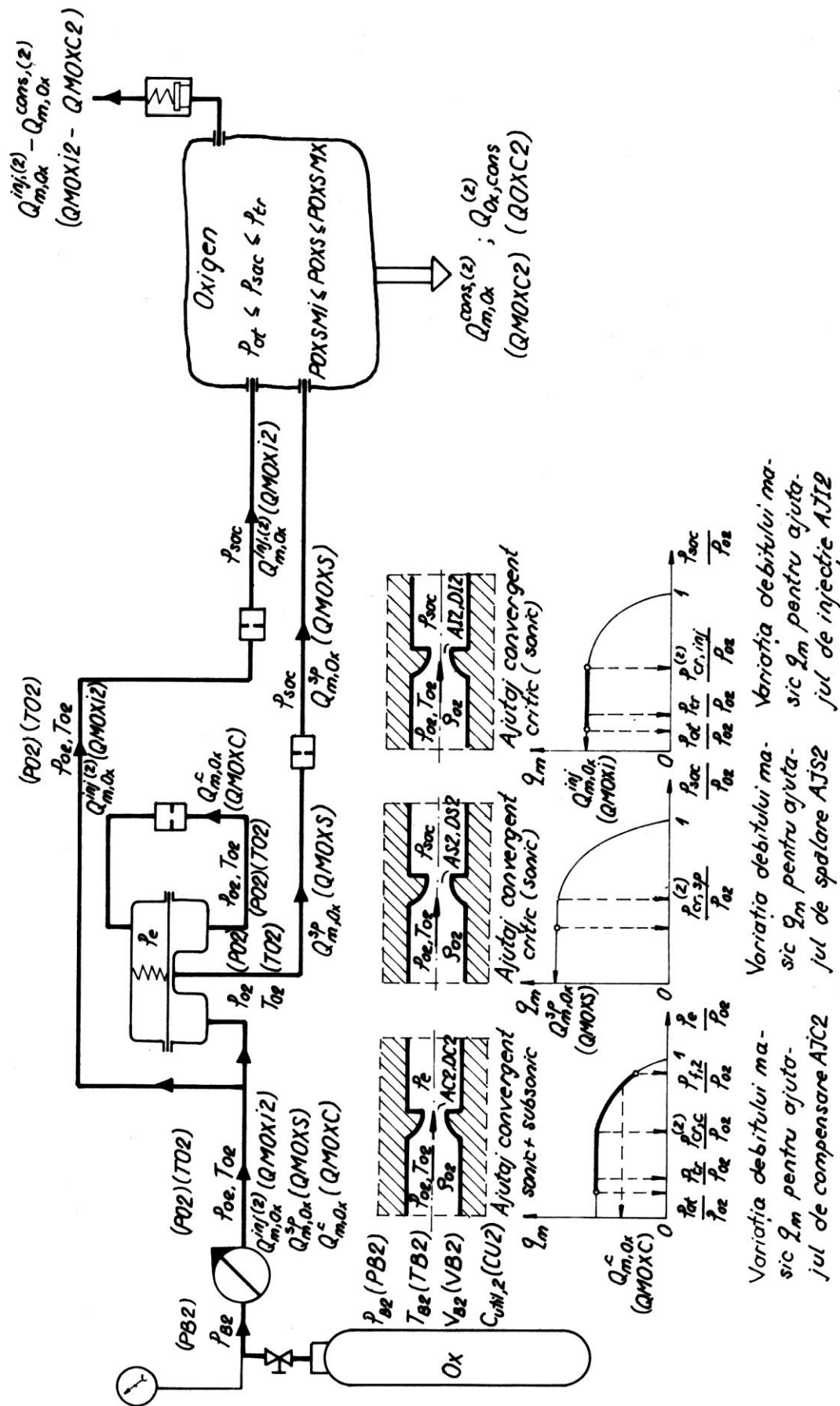


Fig. 5.50. Schema de calcul a circuitelor cu oxigen și parametrii oxigenului în lungul acestora pentru aparatul de respirat sub apă cu circuit mixt, varianta 1.

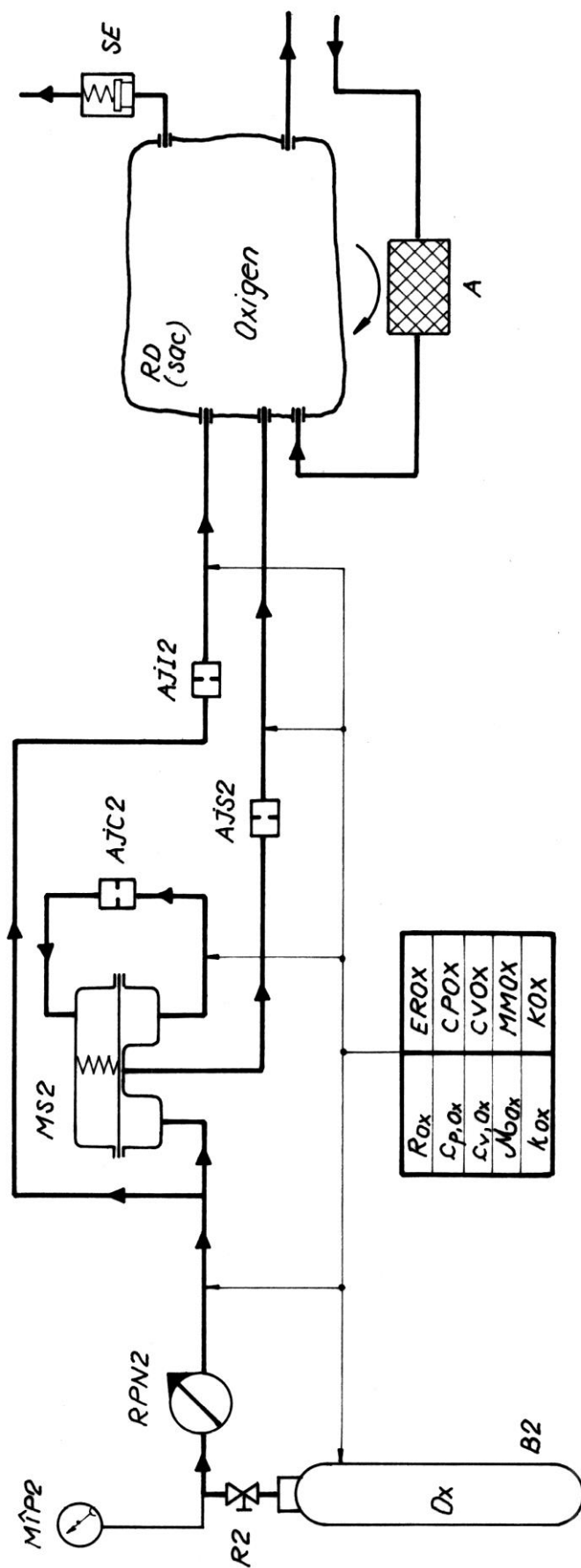


Fig. 5.51. Caracteristicile temodinamice ale oxigenului pe circuitele de compensare, spălare și injecție masică pentru aparatul de respirat sub apă cu circuit mixt, varianta 1.

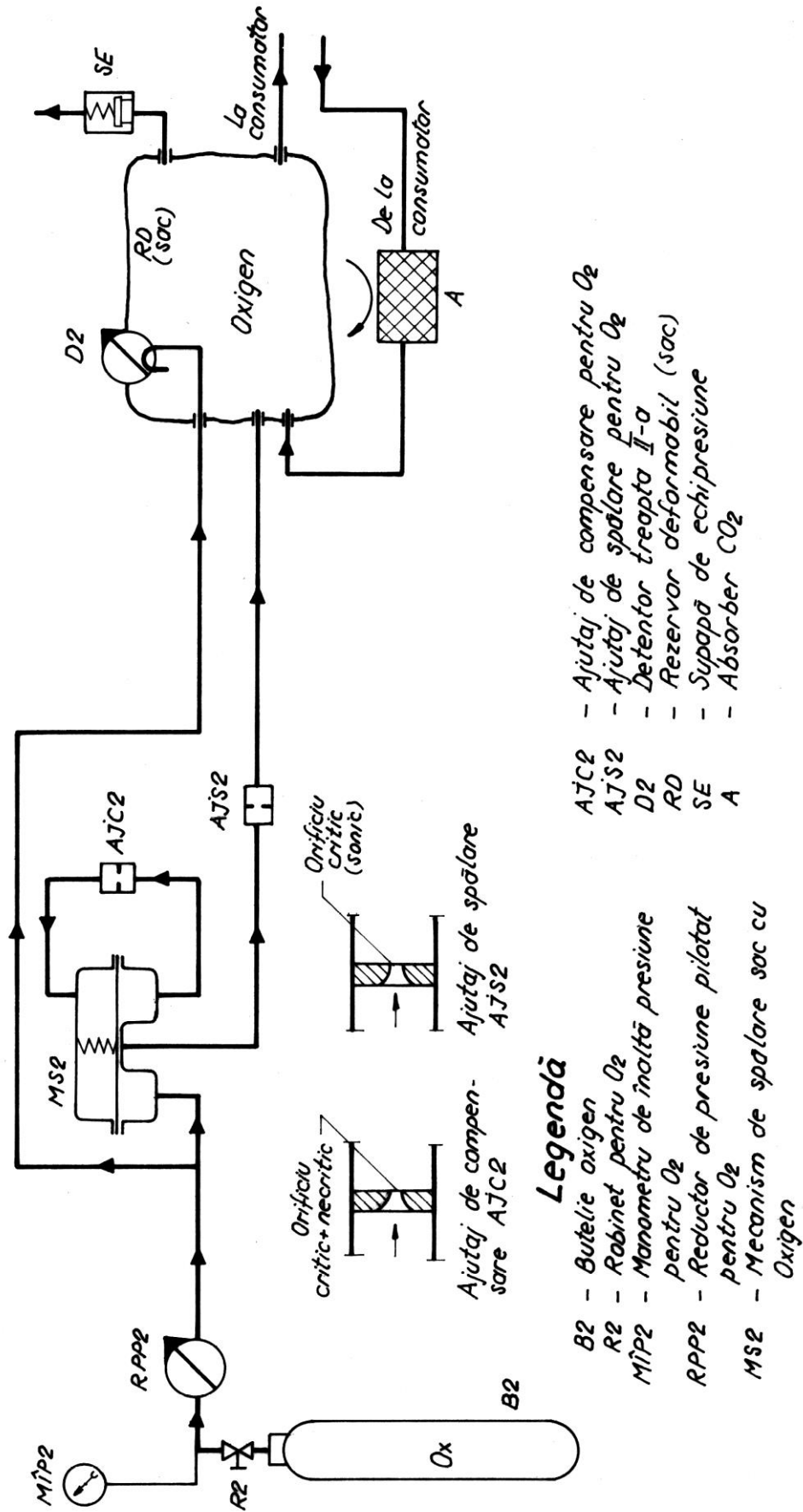


Fig. 5.52. Alcătuirea circuitelor de compensare, spălare și livrare la cerere a oxigenului, pentru aparatul de respirat sub apă cu circuit mixt, variantele 2 și 3.

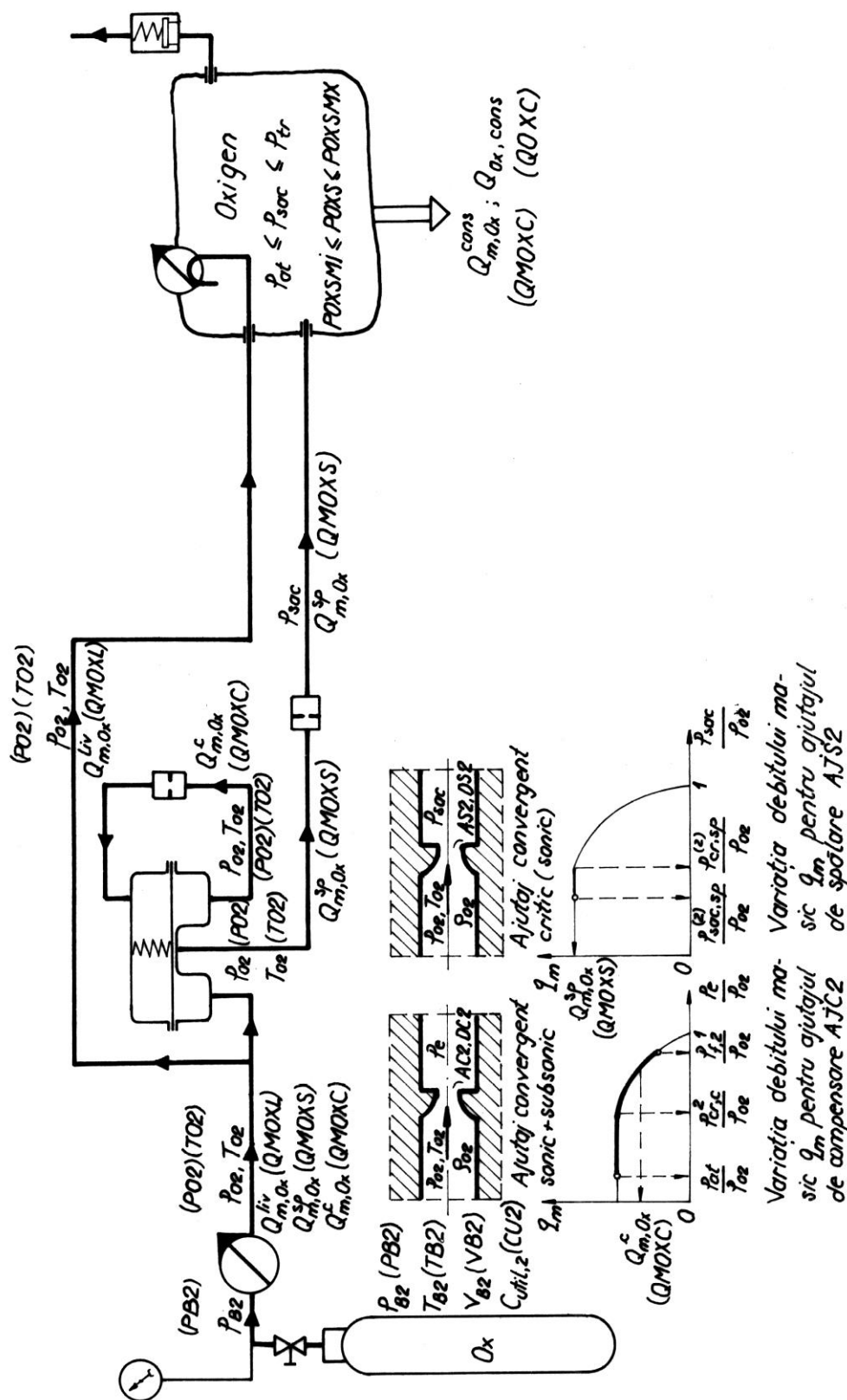


Fig. 5.53. Schema de calcul a circuitelor cu oxigen și parametrilor oxigenului în lungul acestora pentru aparatul de respirat sub apă cu circuit mixt, variantele 2 și 3.

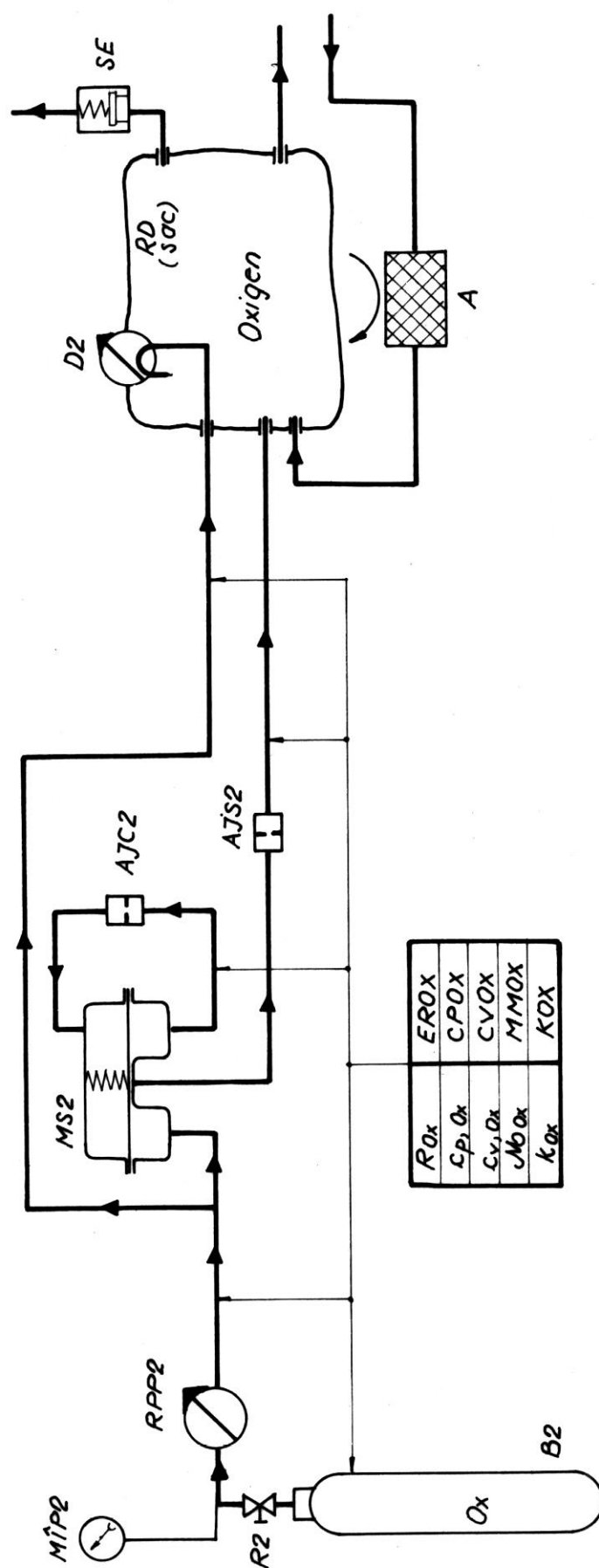


Fig. 5.54. Caracteristicile termodinamice ale oxigenului pe circuitele de compensare, spălare și livrare la cerere pentru aparatul de respirat sub apă cu circuit mixt, variantele 2 și 3.

Dintre cele trei variante, un interes deosebit a suscitat varianta aparatului de respirat sub apă în circuit mixt în care, până la 7 m adâncime, scafandru respiră oxigen pur "la cerere", iar după această adâncime amestec NITROX supraoxigenat 40/60 (40% oxigen și 60% azot) în circuit semiînchis până la 40 m adâncime.

Pentru determinare adâncimii de trecere h_{tr} , de pe circuitul de oxigen pe cel de amestec, s-a plecat de la următoarele elemente: viteza maximă de coborâre a scafandru este de 30 m/min, iar timpul de spălare a sacului respirator este de 15 secunde. În această situație, cea mai sigură variantă este începerea spălării sacului respirator de la 10 m adâncime, unde presiunea parțială a oxigenului este de 2 bar (sc. abs.), terminându-se la aproximativ 17,5 m. În cazul revenirii la presiunea atmosferică, când viteza de ridicare este de 15 m/min, spălarea sacului respirator începe la 10 m adâncime și se termină la aproximativ 6,25 m, ceea ce corespunde tehnologiilor de revenire la presiunea atmosferică după scufundări cu amestecuri NITROX supraoxigenate. Ținând cont de autonomia aparatului de respirat sub apă cu circuit mixt rezultă că se pot executa scufundări cu randamente apropiate de 100%, deoarece revenirea la presiunea atmosferică, în general, nu necesită paliere de decompresie.

Calcululele de gazodinamic aferente sacului respirator și circuitelor de alimentare cu oxigen și amestec NITROX supraoxigenat sunt similare cu cele prezentate pentru aparatul de respirat sub apă în circuit semiînchis.

5.4. COMPARAȚIE ASUPRA EFICIENȚEI APARATELOR SPECIALE DE RESPIRAT SUB APĂ

Pentru a se putea face o comparație asupra eficienței aparatelor speciale de respirat sub apă față de aparatul cu circuit deschis cu debit "la cerere" s-a adoptat ca indicator de eficiență raportul:

$$\frac{\text{Consum de oxigen în unitatea de timp}}{\text{Amestec respirator alimentat în unitatea de timp}} \cdot 100 [\%]$$

Ținând cont de faptul că eficiența celor mai multe aparate este funcție de adâncimea la care sunt utilizate, s-a realizat comparația pentru o scufundare la 30 m adâncime [4 bar (sc. abs.)] la un ritm respirator de 12 resp/min cu un volum de maxim 1 l/respirație. Datele comparative sunt prezentate în tabelul 5.14.

Tabelul 5.14

Comparație asupra eficienței aparatelor de respirat sub apă

Aparat de respirat sub apă	Eficiența la adâncimea de 30 m [%]	Condiții
în circuit deschis "la cerere"	1,2 ... 4,2	$Q_{O_2,c} = 0,5...2 \text{ Nl/min}$ $Q_{aer} = 48 \text{ Nl/min}$
în circuit semiînchis cu amestec NITROX supraoxigenat 40/60	4,8 ... 19,0	$Q_{O_2,c} = 0,5...2 \text{ Nl/min}$ $Q_{a,i} = 10,5 \text{ Nl/min}$
în circuit mixt	14,4 ... 57,0	$Q_{O_2,c} = 0,5...2 \text{ Nl/min}$

Din analiza datelor prezentate se observă diferențe foarte mari între eficiența aparatelor speciale de respirat sub apă și aparatul cu debit "la cerere" în circuit deschis. Astfel, se constată o creștere a eficienței de 4...5 ori în cazul utilizării aparatelor de respirat sub apă în circuit semiînchis comparativ cu cele în circuit deschis cu debit "la cerere" și de 12 ... 13,5 ori în cazul utilizării aparatului în circuit mixt comparativ cu cel în circuit deschis cu debit "la cerere". Aparatele în circuit mixt studiate oferă o eficiență de trei ori mai mare decât aparatele în circuit semiînchis.

Totuși, fiecare dintre aceste aparate au o utilizare specifică, ceea ce le detașează atât din punct de vedere al eficienței cât și din punct de vedere al siguranței pe care o oferă în exploatare. Aparatelor de respirat sub apă studiate oferă o bună securitate, dar sunt recomandate numai scafandrilor profesioniști, testați, cu aptitudini fiziologice și fizice corespunzătoare pentru utilizarea lor.

BIBLIOGRAFIE

- ATANASIU, T., GRAD, V., MIHAI, C., GEORGESCU, ȘT. – *Acțiunile scafandrilor deminori în viziunea flotelor occidentale*. Editura EX PONTO, Constanța, 2000.
- BADIU, G., ILIESCU, C., PETRU, A. – *Dynamic study of postural tremor in high pressure conditions*. Roumanian Journal of Physiology, Vol. 28, nr. 3-4, pp. 83-87, București, 1991.
- BENNETT, P.B. – *Atlantis III, an experimental deep dive to 686 m using TRIMIX 10*. Medicine Subaquatique et Hyperbare, vol. XX, nr. 80, pp. 320-322, 1981.
- BERRY, Y., GAVARRY, P., HUBERT, J.P., LE CHUITON, J., PARC, J. – *La plongée et l'intervention sous la mer*. Ed. Arthaud, Paris, 1977.
- BÜHLMANN, A.A. – *Decompression. Decompression sickness*. Springer Verlag, pp. 4-62, Berlin, 1984.
- BÜHLMANN, A.A. – *Untersuchungen zur Dekompression bei erniedrigtem Luftdruck*. Schweizerische Medizinische Wochenschrift, nr. 114, 1984.
- CAYFORD, J.E. – *Underwater Work*. Ed. Lornelle Maritime Press Centreville, Maryland, 1982.
- CONSTANTIN, A. – *Transportul gazelor prin sistemul respirator uman și mijloacele de protecția respirației, în procese hiperbare*. Tează de doctorat, Universitatea "Ovidius" Constanța, 1998.
- DEGERATU, M., PETRU, A., BEIU, V. – *Computer – aided Simulation of Theoretical Processes in Binary and Ternary Mixtures of Hyperbaric Systems Used in Deep Diving*. **Chemical Abstracts, page 346, 9-Biochem. Methods, vol. 107, Columbus, Ohio, U.S.A., 1986.**
- DEGERATU, M. – *Studiu privind gazodinamica unui dispozitiv cu injecție masică constantă pentru amestecuri binare*. Catedra de Hidraulică, Raport tehnic la C.C. nr. 45/1986, I.C.B., București, 1986.
- DEGERATU, M. – *Modelarea matematică a fenomenelor gazodinamice specifice unui sistem cu injecție la debit masic constant pentru amestecuri respiratorii binare*. A II-a Sesiune de Comunicări științifice cu tema Inginerie, tehnologie și medicină subacvatică, Centrul de Scafandri, Constanța, 1988.
- DEGERATU, M. – *Simularea teoretică a funcționării aparatului de scufundare ASMA cu amestec Helium-Oxigen*. A IV-a Sesiune de Comunicări Științifice cu tema Inginerie, tehnologie și medicină subacvatică, Centrul de Scafandri, Constanța, 1989.
- DEGERATU, M. – *Modelarea matematică a proceselor gazodinamice din cadrul aparatelor de scufundare utilizând oxigen pur și amestec binar*. Catedra de Hidraulică, Raport tehnic la C.C. nr. 73/1989, I.C.B., București, 1989.
- DEGERATU, M. – *Calculul termohidraulic al circuitelor aferente echipamentelor de scufundare ASMAR-AMOX*. Catedra de Hidraulică și Protecția Mediului, Raport tehnic la C.C. nr. 108/1991, I.C.B., București, 1991.
- DEGERATU, M., PETRU, A., IONIȚĂ, S. – *Manualul scafandrului*. Ed. Per Omnes Artes, București, 1999.

Bibliografie

- DEGERATU, M., PETRU, A., GEORGESCU, Șt. – *Aparate de respirat sub apă*. Ed. MATRIX ROM, București, 2003.
- DEGERATU, M., PETRU, A., GEORGESCU, Șt., IONIȚĂ, S. – *Tehnologii hiperbare pentru scufundări unitare și în saturație*. Ed. MATRIX ROM, București, 2003.
- DEGERATU, M. – *Studii de optimizare a activităților de scufundare prin utilizarea amestecurilor de gaze și a tabelelor de decompresie tip NITROX*. Raport tehnic la C. C. Poziția 124 din Planul sectorial de cercetare-dezvoltare al Ministerului Apărării Naționale, București, 2013.
- DEGERATU, M. – *Analiza teoretică a curgerii gazelor prin ajutaje și conceperea unui stand experimental de preparare a amestecurilor de gaze în flux continuu*. Raport tehnic la C. C. Nr.A3312/11.09.2014, Contract UTCB Nr. 208/2014, București, 2014.
- DINU, D., VLAD, C. – *Scafandri și vehicule subacvatice*. Editura Științifică și Enciclopedică, București, 1986.
- DINU, D., PÎNZARU, M., STANCU, C., VLAD, C. – *Tehnologii subacvatice. Autorizarea activităților subacvatice*. Ed. Tehnică, București, 2000.
- FRUCTUS, X., SCIARLI, R.L. – *La plongée santé et sécurité*. Editions Maritimes et d'Outre-Mer, Paris, 1980.
- GARDETTE, B. – *HYDRA IV and HYDRA V, human deep hydrogen dives 1983-1985. In hydrogen as a diving gas*. 33-rd Under sea and Hyperbare Medical Society Workshop. Ed. BRAUER R. W., 1987.
- HALDANE, J.S., PRIESTLEY, J.G. – *Respiration*. 2nd ed. New Haven, Yale University Press, 1935.
- HAUX, G. – *Tauchtechnik. Band I*. Springer-Verlag, Berlin, Heidelberg, New York, 1969.
- HEMPLEMAN, H.V., GARRARD, J.T., HARRIS, D.J., HAYES, P.A., HENNESSY, T.Y., NICHOLS, G., TOROK, Z., WINSBOROUGH, M.N. – *U.K. deep diving trials*. Phil. Trans. R. Soc. London, B304, pp. 119-141, London, 1984.
- IAMANDI, C., DEGERATU, M. – *Studiu teoretic privind circuitul de injecție a amestecului gazos aferent echipamentului de scufundare tip ASMA*. Sesiune de Comunicări Științifice cu tema "Contribuții românești în ingineria și tehnologia activităților subacvatice", Centrul de Scafandri, Constanța, 1987.
- JONES, H.S. – *Respiration System: Nitrogen Elimination*. Medical Physics, vol. II, Chicago Year Book Publishers, 1950.
- LAMBERTSEN, C.J. – *Effects of Excessive Pressure of Oxygen, Nitrogen, Helium, Carbon Dioxide and Carbon Monoxide*. Medical Physiology. Ed. V.B. Mountcastle, vol. II, 1980.
- LARN, R., WHISTLER, R. – *Commercial Diving Manual*. Ed. David & Charles, 1984.
- LEMAIRE, C. – *Utilisation de l'oxigen en plongée*. C.E.H. COMEX, Marseille, 1977.
- LUBITZSCH, W. – *Aspekte der modernen Tauchgeräte-technik*. Drägerheft, nr. 301, Lübeck, 1975.
- PASTUCH, C.O. – *Testarea solicitării funcției respiratorii și circulatorii în cursul adaptării și muncii în mediul hiperbar*. Teză de doctorat, Institutul de Medicină și Farmacie Cluj-Napoca, 1987.
- PETRU, A. – *Aparate autonome de respirat sub apă*. Buletinul Marinei Militare, nr. 2, Constanța, 1985.

- PETRU, A., BEIU, V., DEGERATU, M. – *Studiu privind optimizarea rezervei de gaz pentru creșterea autonomiei în scufundare*. A II-a Sesiune de Comunicări Științifice cu tema "Inginerie, tehnologie și medicină subacvatică", Centrul de Scafandri, Constanța, 1985.
- PETRU, A. – *Amestecuri respiratorii*. Buletinul Tehnica Militară, nr. 3-4 , București, 1987.
- PETRU, A. – *Aparate de respirat sub apă cu circuit semiînchis*. Buletinul Tehnica Militară, nr. 4, București, 1989.
- PETRU, A., DEGERATU, M., IONIȚĂ, S. – *Ghidul scafandrului autonom*. Editura Olimp-Press, București, 1992.
- PETRU, A. – *Hidraulica proceselor hiperbare*. Teză de doctorat, Universitatea Tehnică de Construcții București, 1993.
- PENZIAS, W., GOODMAN, M.V. – *Man Beneth the Sea – A Review of Underwater Ocean Engineering*. Ed. Wiley-Interscience, New York, 1973
- POULET, G., BARINCOU, R. – *La plongée*. Ed. Denöel, Paris, 1988.
- VANN, R.D. – *Decompression theory and applications. The Physiology and Medicine of Diving*. 3-th edition. Ed. P.B. BENNETT & D.H. ELLIOT, pp. 353-380, London, 1982.
- VLAD, C., DINU, D. – *Intevenții subacvatice*. Editura Tehnică, București, 1982.
- WILLIAMS, S. – *Underwater Breathing Apparatus*. The Physiology and Medicine of Diving and Compresed Air Work, Ed. P.B. Bennett & Elliot D.H. Bailliere Tindal and Cassell, London, 1969.
- WORKMAN, R.D. – *Calculation of decompression schedule for nitrogen-oxygen and helium-oxygen dives*. Report 6-65 US Navy Experimental Diving Unit, Washington D.C., 1965.
- ZINKOWSKI, N.B – *Commercial Oil-Field Diving*. Ed. Cornelle Maritime Press, Centreville, Maryland, 1985.
- * * * - *The NOAA Diving Manual-Diving for Science and Tehnology*. U.S. Government Printing Office, Washington, 1975.
- * * * - *U.S. Navy Diving Manual*. U. S. Government Printing Office, Washington, 1975.
- * * * - *Linde Gasekatalog*. Linde AG, Werksgruppe Technische Gase, München.